# V-3-2-7 クラス3管の強度計算方法

### 目次

	1.	
	1.1	概 $\mathbf{g}$ $\cdots$ $1$
	1.2	適用規格及び基準との適合性・・・・・・・・・・1
	1.3	強度計算書の構成とその見方・・・・・・・・・5
	1.4	計算精度と数値の丸め方・・・・・・・・・・・・・・・・・・6
	1.5	材料の表示方法・・・・・・・・・・・・・・・・・・ 7
		概略系統図の管継手及び仕様変更点の表示方法・・・・・・・8
	2. ク	7 ラス 3 管の強度計算方法・・・・・・・・・・・・・・・・・・・9
	2.1	共通記号9
	2. 2	管の板厚計算・・・・・・・・・・・・・・・・・・・・・・・10
RO	2.3	平板の強度計算・・・・・・・・・・・・・・・・・・・・・・・14
-3-2-7	2.4	鏡板の強度計算・・・・・・・・・・・・・・・・・・・・・・・・・・・・25
V-3-	2. 5	レジューサの強度計算・・・・・・・・・・・・・・・・・・ 28
		管の穴と補強計算・・・・・・・・・・・・・・・・31
<b>無</b>	2.7	フランジの強度計算・・・・・・・・・・ 72
NT2	2.8	伸縮継手の強度計算・・・・・・・・・・・・・・・・・・・・・・・・87

#### 1. 一般事項

#### 1.1 概要

本計算方法は、発電用原子力設備のうちクラス3管の基本板厚計算書(以下「強度計算書」 という。)について説明するものである。

#### 1.2 適用規格及び基準との適合性

(1) 強度計算は、発電用原子力設備規格(設計・建設規格(2005年版(2007年追補版含む。)) JSME S NC1-2005/2007) (日本機械学会 2007年9月) (以下「設計・建設規格」という。)及び昭和45年通商産業省告示第501号「発電用原子力設備に関する構造等の技術基準」(以下「告示第501号」という。)により行う。

設計・建設規格各規格番号及び告示第501号各条項と強度計算書との対応は、表1-1に示すとおりである。

(2) 設計・建設規格及び告示第501号に計算式の規定がないものについては、他の規格及び基準を適用して行う。

日本工業規格(以下「JIS」という。)と強度計算書との対応は、表1-2に示すとおりである。

- (3) 強度計算書で計算するもの以外の管継手は、以下に掲げる規格(形状及び寸法に関する部分に限る。)又は設計・建設規格 別表4に掲げるものとし、接続配管のスケジュール番号と同等以上のものを使用する。(設計・建設規格 PPD-3415)
  - a. JIS B 2301 (2001) 「ねじ込み式可鍛鋳鉄製管継手」
  - b. IIS B 2302 (1998) 「ねじ込み式鋼管製管継手」
  - c. JIS B 2303 (1995) 「ねじ込み式排水管継手」
  - d. JIS B 2311 (2001) 「一般配管用鋼製突合せ溶接式管継手」
  - e. IIS B 2312 (2001) 「配管用鋼製突合せ溶接式管継手」
  - f. JIS B 2313 (2001) 「配管用鋼板製突合せ溶接式管継手」
  - g. JIS B 2316 (1997) 「配管用鋼製差込み溶接式管継手」
  - h. JIS G 3451 (1987) 「水輸送用塗覆装鋼管の異形管」
  - i. JIS G 5527 (1998) 「ダクタイル鋳鉄異形管」
  - (4) 強度計算書で計算するもの以外のフランジ継手については、以下に掲げる規格(材料に関する部分を除く。)又は設計・建設規格 別表2に掲げるものを使用する。(設計・建設規格 PPD-3414)
  - a. JIS B 2238 (1996) 「鋼製管フランジ通則」
  - b. JIS B 2239 (1996) 「鋳鉄製管フランジ通則」
  - c. JIS B 8210 (1994) 「蒸気用及びガス用ばね安全弁」

### (5) 管の接続

管と管を接続する場合は、設計・建設規格 PPD-3430により溶接継手、フランジ継手、ねじ込み継手又は機械的継手(メカニカルジョイント、ビクトリックジョイント等であって当該継手が十分な強度を有する機械的な締付けにより行われ、かつ、漏えいを防止する方法によるものに限る。)とする。ただし、継手部に著しい配管反力が生じる場合は、ねじ込み継手又は機械的継手としない。

表1-1 設計・建設規格各規格番号及び告示第501号各条項と強度計算書との対応

告示第501号 条項	強度計算書の計算式 (章節番号)	備考
	2. 2	
第58条	2. 2. 1	管の板厚計算(告示第501号)
第1項第1号		
第2号		
第3号		
PPD-3411 (直管)	2. 2. 2	管の板厚計算(設計・建設規格)
PPD-3411(1)	2. 4	鏡板の強度計算(フランジ部)
PPD-3411(2)	2. 5	レジューサの強度計算(フランジ
PPD-3411(3)		部)
PPD-3412 (曲げ管)		
PPD-3411 (直管) を準用する。		
PPD-3414 (フランジ)	2. 7	フランジの強度計算
PPD-3414(1)		(1.2(4)フランジ継手)
PPD-3414(2)		
PPD-3414(3)		
PPD-3415 (管継手)		1.2(3)管継手
PPD-3415(1)		
PPD-3415.1 (レジューサ)	2.5	レジューサの強度計算
PPD-3415.1(1)		
PPD-3415. 1(2)		
PPD-3415. 1(3)		
準用		
PVC-3124.2(外面に圧力を受ける円		レジューサの強度計算(円すい及
すい形の胴の厚さ)		びすその丸みの部分(外面に圧力 を受けるもの))

設計・建設規格 規格番号	強度計算書の計算式	/++: +y.
告示第501号 条項	(章節番号)	備考
PPD-3415.2(鏡板)	2. 4	鏡板の強度計算
PPD-3415.2(1)		
PPD-3415.2(2)		
PPD-3416 (伸縮継手)	2.8	伸縮継手の強度計算
	-	
	2.6	
第60条	2. 6. 1	管の穴と補強計算(告示第501
準用 準用		号)
第31条		
第2項第2号イ、ハ		
第5項第1号		
第2号イ,ロ		
第6項第1号イ、ロ、ハ		
第2号イ,ロ,ハ		
第3号		
第4号		
第5号		
第6号7,口		
第7号イ		
PPD-3420 (穴と補強)	2. 6. 2	管の穴と補強計算(設計・建設規
PPD-3421		格)
PPD-3422		
PPD-3423		
PPD-3424		
PPD-3422(3)	2.3	平板の強度計算

表1-2 JISと強度計算書との対応

JIS		強度計算書の計算式	/++ -+ <b>x</b>
No.	項	(章節番号)	備考
JIS B 8 2 6 5 (2003)	2	2.7	フランジの強度計算*
「圧力容器の構造-一般事項」	3		
附属書3(規定)「圧力容器のボル	4		
ト締めフランジ」	5		

注記 \*:設計・建設規格 PPC-3414(2)により J I S B 8 2 6 5 (2003) 「圧力容器の構造 -一般事項」 (以下「 J I S B 8 2 6 5 」という。)の附属書3 (規定) 「圧力容 器のボルト締めフランジ」を用いて計算を行う。

#### 1.3 強度計算書の構成とその見方

- (1) 強度計算書は、本計算方法と各配管の強度計算書から成る。
- (2) 各配管の強度計算書では、記号の説明及び計算式を省略しているので、本計算方法によるものとする。
- (3) 各配管の強度計算書において、NO. の番号は概略系統図の丸で囲んだ番号を表す。

# 1.4 計算精度と数値の丸め方 計算の精度は6桁以上を確保する。 表示する数値の丸め方は表1-3に示すとおりとする。

表1-3 表示する数値の丸め方

数値の種類		単位	処理桁	処理方法	表示桁
圧	下記以外の圧力	MPa	小数点以下第3位	四捨五入	小数点以下第2位
	最高使用圧力	MPa	_		小数点以下第2位
力	外面に受ける最高 の圧力	MPa		_	小数点以下第2位*2
温度	: :	$^{\circ}\! \mathbb{C}$	_	_	整数位
許容	F応力*1	MPa	小数点以下第1位	切捨て	整数位
算出応力		MPa	小数点以下第1位	切上げ	整数位
	下記以外の長さ	mm	小数点以下第3位	四捨五入	小数点以下第2位
長	計算上必要な厚さ	mm	小数点以下第3位	切上げ	小数点以下第2位
	最小厚さ	mm	小数点以下第3位	切捨て	小数点以下第2位
さ	ボルト谷径	mm			小数点以下第3位
	ガスケット厚さ	mm	_	_	小数点以下第1位
面積		$\mathrm{mm}^2$	有効数字5桁目	四捨五入	有効数字4桁*3
カ		N	有効数字5桁目	四捨五入	有効数字4桁*3
モーメント		N•mm	有効数字5桁目	四捨五入	有効数字4桁*3
角度		0	小数点以下第2位 (小数点以下第1位)*4	四捨五入	小数点以下第1位 (整数位)*4

注記 \*1:設計・建設規格 付録材料図表及び告示第501号 別表に記載された温度の中間に おける許容引張応力及び設計降伏点は、比例法により補間した値の小数点以下第1位を 切り捨て、整数位までの値とする。(告示第501号は非SI単位をSI単位に換算する。)

\*2:必要に応じて小数点以下第3位を用いる。

\*3:絶対値が1000以上のときは、べき数表示とする。

\*4:管の穴と補強計算の主管と分岐管とのなす角度に用いる。

#### 1.5 材料の表示方法

材料は次に従い表示するものとする。

(1) 設計・建設規格に定める材料記号を原則とする。

設計・建設規格に記載されていないが設計・建設規格に相当材が記載されている場合は、 次のように表示する。

相当材記号 相当(当該材記号)

(例1) SM400A 相当 (SMA400AP)

(例2) SCMV3-1 相当 (ASME SA387 Gr. 11Cl. 1)

(2) 管の強度計算書において管の製造方法の区別を表示するので、材料表示としては、製造方法の区別を特に表示しない。

(継目無管:S, 溶接管:W)

(3) 強度区分により許容引張応力の値が異なる場合、材料記号の後にJISで定める強度区分を付記する。

(例)

N 11		
設計	・建設規格の表示	計算書の表示
	/ 付録材料図表	
SCMV3	Part5 表5の許容	SCMV3-1
	く 引張応力の上段	
	/付録材料図表 \	
SCMV3	Part5 表5の許容	SCMV3-2
	引張応力の下段	

- (4) 使用する厚さ又は径等によって許容引張応力の値が異なる場合、材料記号の後に該当する 厚さ又は径等の範囲を付記して表示する。
  - (例) SS400 (16 mm<径≦40 mm)
- (5) ガスケット材料で非石綿の場合の表示は、各計算「記号の説明」の「計算書の表示」による。
  - (例) NON-ASBESTOS

なお、この場合のガスケット係数 (m) 及びガスケットの最小設計締付圧力 (y) は、 J I S B 8 2 6 5 附属書3 表2 備考3によりガスケットメーカ推奨値を適用する。

### 1.6 概略系統図の管継手及び仕様変更点の表示方法

(1) 管継手の表示方法

概略系統図において、計算対象となる管と管継手の区別をするために管継手のみの管番号に"\*"を付け、概略系統図中に"注記 \*:管継手"と表示する。

(2) 管の仕様変更点の表示方法

概略系統図中、管の途中において仕様変更が生じた場合は " ──" のように表示する。

### 2. クラス3管の強度計算方法

発電用原子力設備のうちクラス3管の強度計算に用いる計算式と記号を以下に定める。

### 2.1 共通記号

特定の計算に限定せず、一般的に使用する記号を共通記号として次に掲げる。なお、以下に示す記号のうち、各計算において説明しているものはそれに従う。

設計・建設			
規格又は		+ - 4.65	224 /4-
告示第501	計算書の表示	表示内容	単位
号の記号			
	NO.	管, 平板, 鏡板, レジューサ, 管の穴, フラン	_
		ジ及び伸縮継手等の番号	
		数字のみ:管	
		B:平板	
		C:鏡板	
		R:レジューサ	
		T:管の穴	
		F:フランジ	
		E:伸縮継手	
		SP:穴あき管	
Р	Р	最高使用圧力(内圧)	MPa
P e *	P <sub>e</sub>	外面に受ける最高の圧力	MPa
	Q	厚さの負の許容差	%, mm
η	$\eta$	継手の効率	_
		管及び鏡板は設計・建設規格 PVD-3110によ	
		る。レジューサは設計・建設規格 PVC-3130に	
		よる。	
		告示第501号より計算を実施する場合、告示	
		第501号第31条第3項第1号による。	

注記 \*:告示第501号で使用されていない記号

### 2.2 管の板厚計算

管の板厚計算は、告示第501号第58条第1項又は設計・建設規格 PPD-3411を適用する。

### 2.2.1 管の板厚計算(告示第501号)

告示第501 号の記号	計算書の表示	表示内容	単位
D 0	D <sub>o</sub>	管の外径	mm
S	S	最高使用温度における材料の許容引張応力	MPa
		告示第501号 別表第4及び別表第5による。	
t	t	管の計算上必要な厚さ	mm
t	t o p	管の計算上必要な厚さ	mm
	t r	管に必要な厚さ	mm
	t s	管の最小厚さ	mm
	t t	炭素鋼鋼管の告示第501号上必要な最小厚さ	mm
	算式	t r として用いる値の算式	_
	製法		_
	S	継目無管	
	W	溶接管	

#### (2) 算式

管に必要な厚さは、次に掲げる値のいずれか大きい方の値とする。

a. 内面に圧力を受ける管

告示第501号第58条第1項第1号により求めた値: t

b. 外面に圧力を受ける管

告示第501号第58条第1項第2号により求めた値: top

- ..... (B)
- c. 炭素鋼鋼管の告示第501号上必要な最小厚さ: t<sub>t</sub> 告示第501号第58条第1項第3号により求めた値 ......(C)
- (3) 評価

t, t  $_{0p}$ 又は t  $_{1}$ のいずれか大きい方の値を t  $_{1}$ とする。 管の最小厚さ ( t  $_{s}$ )  $\geq$ 管に必要な厚さ ( t  $_{r}$ ) ならば強度は十分である。

- (4) 補足
  - a. 計算書中, 算式の項の文字は(2)a項, b項及びc項の文字A, B及びCに対応する。
  - b. 曲げ管は、管に必要な厚さが確保されている場合は、直管と同等に考えるものとし、 表示はしないものとする。

# 2.2.2 管の板厚計算(設計・建設規格)

設計・建設 規格の記号	計算書の表示	表示内容	単位
В	В	外面に圧力を受ける場合の計算に用いる係数	_
		設計・建設規格 付録材料図表Part7 図1~図	
		20により求めた値(Bを求める際に使用した板	
		の厚さは繰返し計算により最終的にt。pとな	
		る。)	
D <sub>0</sub>	D <sub>o</sub>	管の外径	mm
$\ell$	$\ell$	管の座屈の長さ	mm
S	S	最高使用温度における材料の許容引張応力	MPa
		設計・建設規格 付録材料図表 Part5 表5に	
		よる。	
t	t	管の計算上必要な厚さ	mm
t	t op	管の計算上必要な厚さ	mm
	t r	管に必要な厚さ	mm
	t s	管の最小厚さ	mm
	t t	炭素鋼鋼管の設計・建設規格上必要な最小厚さ	mm
	算式	t r として用いる値の算式	_
	製法		_
	S	継目無管	
	W	溶接管	

#### (2) 算式

管に必要な厚さは、次に掲げる値のいずれか大きい方の値とする。

a. 内面に圧力を受ける管

設計・建設規格 PPD-3411(1)の式より求めた値: t

b. 外面に圧力を受ける管

設計・建設規格 PPD-3411(2)の図PPD-3411-1より求めた値。ただし、図から求められない場合は次の式より求めた値:  $t_{\rm op}$ 

$$t \circ p = \frac{3 \cdot P \cdot D \circ}{4 \cdot B} \qquad \dots \tag{B}$$

- c. 炭素鋼鋼管の設計・建設規格上必要な最小厚さ: t t
  - 設計・建設規格 PPD-3411(3)の表PPC-3411-1より求めた値 … (C)
- (3) 評価

t,  $t_{op}$ 又は  $t_{t}$ のいずれか大きい方の値を  $t_{r}$ とする。 管の最小厚さ  $(t_{s})$  ≧管に必要な厚さ  $(t_{r})$  ならば強度は十分である。

- (4) 補足
  - a. 計算書中, 算式の項の文字は(2)a項, b項及びc項の文字A, B及びCに対応する。
  - b. 曲げ管は、管に必要な厚さが確保されている場合は、直管と同等に考えるものとし、 表示はしないものとする。

# 2.3 平板の強度計算

平板の強度計算は、設計・建設規格 PPD-3413及び設計・建設規格 PPD-3422(3)を適用する。

設計·建設規			
格又は JISの記号	計算書の表示	表示内容	単位
Аь	Аь	実際に使用するボルトの総有効断面積	$\mathrm{mm}^2$
$A_{m}$	Am	ボルトの総有効断面積	$\mathrm{mm}^2$
$A_{m1}$	$A_{m1}$	使用状態でのボルトの総有効断面積	$\mathrm{mm}^2$
$A_{\mathrm{m}2}$	A <sub>m2</sub>	ガスケット締付時のボルトの総有効断面積	$\mathrm{mm}^2$
b	b	ガスケット座の有効幅	mm
b 0	b o	ガスケット座の基本幅(JIS B 8265	mm
		附属書3 表3による。)	
С	С	ボルト穴の中心円の直径	mm
d	d	設計・建設規格の表PPD-3413-1に規定する方法	mm
		によって測った平板の径又は最小内のり	
dь	dь	ボルトのねじ部の谷の径と軸部の径の最小部の	mm
		小さい方の径	
	d <sub>h</sub>	穴の径	mm
F	F	全体のボルトに作用する力	N
G	G	ガスケット反力円の直径	mm
	G s	ガスケット接触面の外径	mm
Н	Н	内圧によってフランジに加わる全荷重	N
$H_P$	HР	気密を十分に保つためにガスケット又は継手接	N
		触面に加える圧縮力	
h g	h g	ボルトのピッチ円の直径とdとの差の2分の1	mm
K	K	平板の取付け方法による係数	_
$\ell$	$\ell$	フランジの長さ	mm
m	m	t <sub>r</sub> /t <sub>s</sub>	_
m	m g	ガスケット係数(JIS B 8265 附属	_
		書3 表2による。)	
N	N	ガスケットの接触面の幅(JIS B 8265	mm
		附属書3 表3による。)	
n	n	ボルトの本数	_
r	r	すみの丸みの内半径	mm

設計・建設規	I		
設計・建設規 格又は	31 M 4 0 4 7	4-4-5	W. 11.
JISの記号	計算書の表示	表示内容	単位
S	S	最高使用温度における平板材料の許容引張応力	MPa
		  設計・建設規格 付録材料図表 Part5 表5に	
		よる。	
Оа	S a	〜 〜 〜 │   常温におけるボルト材料の許容引張応力	MPa
o a	a a	設計・建設規格 付録材料図表 Part5 表7に	m c
		よる。	
σь	S <sub>b</sub>	~~。   最高使用温度におけるボルト材料の許容引張応	MPa
Б	J b	力	MI G
		^^   設計・建設規格 付録材料図表 Part5 表7に	
		成前・建取が作   内域内内因及 Taito 表刊に   よる。	
	S <sub>x</sub>	゚゚゚゚   ボルトの許容引張応力(Sa又はSbのいずれか	MPa
	S <sub>x</sub>	か/レトの町谷り城心刀(3g又は3gの)(940//・    小さい方の値)	МГа
	$S_1$	小さい力の値/   最高使用温度におけるねじ込み輪,分割リング	MPa
	S 1	取同使用価度におけるねし込み輪、ガラック	МГа
		設計・建設規格 付録材料図表 Part5 表5又	
	_	は表6による。	
t	t	平板の計算上必要な厚さ 平板のすみ肉ののど厚	mm
t c	t c	平板のすみ肉ののと厚     平板のフランジ部の厚さ	mm
t <sub>f</sub> , t	t f	平板のクグング間の序で     平板ののど厚	mm
t w	t i	千板ののと序   ガスケット溝を考慮した平板の厚さ	mm
t n	t n	ガスケット構を与慮した干板の序で   平板の最小厚さ	mm
t	t p	平板の取り写さ	mm
	t po	一千板の呼び序で   管の最小厚さ	mm
t s	t s	電の取り字で     継目のない管の計算上必要な厚さ	mm
t r	t r		mm
tw, tw1	t w t w 2	平板の俗族部の保含   平板の溶接部の長さ	mm
$egin{array}{c} t_{ m w2} \ W \end{array}$	$egin{array}{ccc} \mathfrak{t}_{\mathrm{W}2} \ \mathrm{W} \end{array}$	千板の俗塚前の衣さ   パッキンの外径又は平板の接触面の外径内の面	mm N
vv	l vv	プッキンの外径又は千板の接触面の外径内の面	1N
W g	$\mathbf{W}_{\mathrm{g}}$	横に1Fmgる主圧刀   ガスケット締付時のボルト荷重	N
W <sub>m 1</sub>	W <sub>m 1</sub>	ガスケラド帰内時のホルド何里   使用状態での必要な最小ボルト荷重	N
W <sub>m 2</sub>	$W_{m 2}$	ガスケット締付時に必要な最小ボルト荷重	N
$\mathbf{W}_{0}$	W m 2	使用状態でのボルト荷重	N
у	у	ガスケットの最小設計締付圧力	$ m N/mm^2$
,	,	(JIS B 8265 附属書3 表2によ	- 1/ mm
		( 115	
		<b>9</b> 0 /	

設計・建設規 格又は JISの記号	計算書の表示	表示内容	単位
π	π	円周率	_
	σр	平板に作用する力によって生じる応力	MPa
	NON-ASBESTOS	非石綿ジョイントシート	_
	SUS-NON-	渦巻形金属ガスケット(非石綿)(ステンレス鋼)	_
	ASBESTOS		
	ガスケット座	JIS B 8265 附属書3 表2による。	_
	面の形状		
	平板の取付け	平板の取付け方法で設計・建設規格 PPD-3413	_
	方法	の表PPD-3413-1による。	
$(a)\sim(o)$	3A∼30	取付け方法の表示区分	

# (2) 形状の制限

	取付け方法	形状の制限
(a)	d t p	無し
(b)	r≥0.25 · t f	$d \le 600$ mm, $d/20 \le t_p < d/4$ かつ, $r \ge 0.25 \cdot t_f$ であること。
(c)	$\begin{array}{cccccccccccccccccccccccccccccccccccc$	$t_f \ge 2 \cdot t_s$ かつ, $r \ge 3 \cdot t_f$ であること。
(d)	$\begin{array}{c c} t_f & t_f \geq t_s \\ \hline \\ t_s & \\ \hline \\ r \geq 1.5 \cdot t_f \end{array}$	t <sub>f</sub> ≥t <sub>s</sub> かつ, r≥1.5・t <sub>f</sub> であること。
(e)	溶接部中心 t t r ≥ 3 · t f	r ≧3・tfであること。

	取付け方法	形状の制限
(f)	<b>分割リング</b>	0.8・S₁≧σρであること。
	ね じ 込 み 輪	
(g)	t p	0.8・S <sub>x</sub> ≥ σ <sub>p</sub> であること。
(h)	t i 45° UT	t i ≥2・ t r かつ, t i ≥1.25・ t s であること。
( i )	$\begin{array}{c c} & & & & \\ & & & \\ & & & \\ & & \\ & & \\ t_{w} & \\ & & \\ t_{w} & \\ & \\ & \\ & \\ & \\ & \\ & \\ & \\ & \\ & $	$t_w + t_{w2} \ge 2 \cdot t_s$ , $t_w \ge t_s$ かつ, $t_s \ge 1.25 \cdot t_r$ であること。

	取付け方法	形状の制限		
(j)	t <sub>c</sub> t <sub>d</sub>	<ul> <li>(1) 平板が鍛造品で、かつ、平板の面からの開先角度が45°未満の場合         tw≧Min (0.5・ts, 0.25・tp) かつ、         tc≧Min (0.7・ts, 6 mm) であること。</li> <li>(2) (1)以外の場合         tw≧Min (ts, 0.5・tp) かつ、         tc≧Min (0.7・ts, 6 mm) であること。</li> </ul>		
(k)	t c	t c ≧ Min (0.7・t s, 6 mm) であること。		
(1)	$t_{w2}$ $t_{w2}$ $t_{w+1}$ $t_{w2} \ge 2 \cdot t_{s}$	t <sub>w</sub> +t <sub>w2</sub> ≥2・t <sub>s</sub> であること。		

	取付け方法	形状の制限
(m)	t n p p t p p t p p	無し
(n)	r ≧3· t <sub>f</sub>	$0.8 \cdot S_x \ge \sigma_p$ , $r \ge 3 \cdot t_f$ であること。
(o)	その他の場合	無し

#### (3) 算式

平板の計算上必要な厚さは,次の式による値とする。

a. 平板に穴がない場合

$$t = d \cdot \sqrt{\frac{K \cdot P}{S}}$$

Kの値は以下による。

取付け方法	Kの値
(a)	0. 17
(b)	0. 13
( c )	0. 17
( d )	Max $(0.33 \cdot m, 0.2)$ $m = t_r / t_s$
(e)	0. 17*1
	0. 10
( f )	0. 20
( g )	0. 20*2
(h)	Max $(0.33 \cdot m, 0.2)$ $m = t_r / t_s$
( i )	0. 33
( j )	
( k )	Max $(0.33 \cdot m, 0.2)$ $m = t_r / t_s$
$(\ell)$	
(m)	$0.20 + \frac{1.0 \cdot F \cdot h_g}{W \cdot d}$
	ただし, t nの厚さの場合は
	1.0 · F · h g *3
	W·d
(n)	0. 20
( o )	0. 50

注記 \*1:取付け方法(e)の場合

 $t_{\rm f}$ から  $t_{\rm s}$ へ移行するテーパが1対4又はそれより緩やかであり、かつ、以下の(a)又は(b)いずれかの場合、K=0.10とできる。

(a) 
$$\ell \ge \left(1.1 - 0.8 \cdot \frac{t s^2}{t f^2}\right) \cdot \sqrt{d \cdot t f}$$
 の場合

(b) 管が
$$2 \cdot \sqrt{d \cdot t_s}$$
 以上の長さにわたって  $t_s \ge 1.12 \cdot t_f \cdot \sqrt{1.1 - \ell / \sqrt{d \cdot t_f}}$  の場合

注記 \*2: 取付け方法 (g) の場合の  $\sigma$  は以下による。

(a) ガスケット座の有効幅及びガスケット反力円の直径 ガスケット座の有効幅(b)及びガスケット反力円の直径(G)は,ガ スケット座の基本幅(b。)に従い以下のように求める。

$$b \circ \leq 6.35 \text{ mm}$$
の場合  $b = b \circ$   $G = G \circ N$   $b \circ > 6.35 \text{ mm}$ の場合  $b = 2.52 \cdot \sqrt{b} \circ$   $G = G \circ -2 \cdot b$  ただし, $b \circ k J I S B 8 2 6 5 附属書3 表3による。  $d = G$$ 

- (b) 計算上必要なボルト荷重
- イ. 使用状態で必要なボルト荷重

$$W_{m1} = H + H_{P}$$

$$H = \frac{\pi}{4} \cdot G^{2} \cdot P$$

$$W = H$$

$$H_{P} = 2 \cdot \pi \cdot b \cdot G \cdot m_{g} \cdot P$$

ただし、Pは2.7項(1)のフランジの強度計算の記号の説明による。

ロ. ガスケット締付時に必要なボルト荷重

$$W_{m2} = \pi \cdot b \cdot G \cdot y$$

(c) ボルトの総有効断面積及び実際に使用するボルトの総有効断面積

$$A_{m1} = \frac{W_{m1}}{S_b}$$
 (使用状態)
 $A_{m2} = \frac{W_{m2}}{S_a}$  (ガスケット締付時)
 $A_m = Max(A_{m1}, A_{m2})$ 
 $A_b = \frac{\pi}{4} \cdot d_b^2 \cdot n$ 

(d) フランジの計算に用いるボルト荷重

$$W_o = W_{m 1}$$
 (使用状態) 
$$W_g = \left(\frac{A_m + A_b}{2}\right) \cdot S_a \quad (ガスケット締付時)$$
  $F = Max(W_o, W_g)$ 

(e) 平板に作用する力によって生じるボルトの応力

$$\sigma_p = \frac{F}{A_b}$$

注記 \*3:取付け方法(m)の場合のF, hg, W及びdは以下による。

(a) ガスケット座の有効幅及びガスケット反力円の直径 ガスケット座の有効幅(b)及びガスケット反力円の直径(G)は、ガ スケット座の基本幅(b。)に従い以下のように求める。

$$b \circ \le 6.35 \text{ mm}$$
の場合  
 $b = b \circ$   
 $G = G \circ - N$   
 $b \circ > 6.35 \text{ mm}$ の場合  
 $b = 2.52 \cdot \sqrt{b} \circ$   
 $G = G \circ - 2 \cdot b$ 

ただし、b。はJ I S B 8 2 6 5 附属書3 表3による。 d=G

- (b) 計算上必要なボルト荷重
- イ. 使用状態で必要なボルト荷重

$$W_{m1} = H + H_{P}$$

$$H = \frac{\pi}{4} \cdot G^{2} \cdot P$$

$$W = H$$

$$II_{P} = 2 \cdot \pi \cdot b \cdot G \cdot m_{g} \cdot P$$

ただし、Pは2.7項(1)のフランジの強度計算の記号の説明による。

ロ. ガスケット締付時に必要なボルト荷重

$$W_{m2} = \pi \cdot b \cdot G \cdot y$$

(c) ボルトの総有効断面積及び実際に使用するボルトの総有効断面積

$$A_{m1} = \frac{W_{m1}}{S_b}$$
 (使用状態)
 $A_{m2} = \frac{W_{m2}}{S_a}$  (ガスケット締付時)
 $A_b = \frac{\pi}{4} \cdot d_b^2 \cdot n$ 

(d) フランジの計算に用いるボルト荷重

$$W_o = W_{m1}$$
 (使用状態)
 $W_g = \left(\frac{A_m + A_b}{2}\right) \cdot S_a$  (ガスケット締付時)
 $F = Max(W_o, W_g)$ 

(e) 使用状態でのフランジ荷重に対するモーメントアーム  $h \ g = \frac{C - G}{2}$ 

- b. 平板に穴を設ける場合は、設計・建設規格 PPD-3422(3)により平板の計算上必要な厚さを、次の式より計算した値とする。
  - (a) 穴の径  $(d_h)$  が平板の径又は最小内のり (d) の値の2分の1以下の場合

$$t = d \cdot \sqrt{\frac{2 \cdot K \cdot P}{S}}$$

ただし、Kの値は(m)の取付け方法を除き0.375以上とすることを要しない。

(b) 穴の径  $(d_n)$  が平板の径又は最小内のり (d) の値の2分の1を超える場合

$$t = d \cdot \sqrt{\frac{2.25 \cdot K \cdot P}{S}}$$

(4) 評価

平板の最小厚さ(t₂)≧平板の計算上必要な厚さ(t)ならば強度は十分である。

- (5) 補足
  - a. 取付け方法は、設計・建設規格 PPD-3413の表PPD-3413-1の条件を満足するものとする。
  - b. スペクタクルフランジの取付け方法は(g)タイプとする。

### 2.4 鏡板の強度計算

鏡板の強度計算は、設計・建設規格 PPD-3415.2及び設計・建設規格 PPD-3411を適用する。

設計・建設 規格の記号	計算書の表示	表示内容	単位
В	В	中高面に圧力を受ける場合の計算に用いる係数	_
		設計・建設規格 付録材料図表 Part7 図1~	
		図20により求めた値	
		(Bを求める際に使用した板の厚さは繰返し計	
		算により最終的に t となる。)	
D	D	半だ円形鏡板の内面における長径	mm
$D_0$	D o	鏡板が取り付けられる管の外径	mm
		(フランジ部の外径に同じ。)	
	D o c	さら形鏡板の外径	mm
h	h	半だ円形鏡板の内面における短径の2分の1	mm
K	K	半だ円形鏡板の形状による係数	_
K	K <sub>K</sub>	半だ円形鏡板の中高面に圧力を受ける場合の計	_
		算に用いる係数	
		設計・建設規格 PPD-3415.2(2)f.の表PPD-	
		3415.2-1による。	
R	R	さら形鏡板の中央部における内半径又は全半球	mm
		形鏡板の内半径	
R	$R_D$	さら形又は全半球形鏡板の中央部の外半径	mm
		R <sub>D</sub> =R+ (最小厚さ)	
R	R <sub>R</sub>	半だ円形鏡板の外面の長径	mm
		R <sub>R</sub> =D+2・ (最小厚さ)	
r	r	さら形鏡板のすみの丸みの内半径	mm
S	S	最高使用温度における材料の許容引張応力	MPa
		設計・建設規格 付録材料図表 Part5 表5に	
		よる。	
t	t	鏡板の鏡部及びフランジ部の計算上必要な厚さ	mm
	t c	鏡板の最小厚さ	mm
	t c o	鏡板の公称厚さ	mm
W	W	さら形鏡板の形状による係数	_
	形式	鏡板の形式及び計算箇所を示す名称	_
	算式	t として用いる値の算式	_

#### (2) 算式

鏡板の計算上必要な厚さは、次に掲げる値とする。

a. さら形鏡板鏡部

形状は設計・建設規格 PPD-3415.2(1)a. により以下とする。

$$D \circ c \ge R$$

$$r \ge 3 \cdot t co$$

$$r \geq 0.06 \cdot D \circ c$$

$$r \geq 50 \text{ mm}$$

設計・建設規格 PPD-3415.2(2)a.の式PPD-1.12又は設計・建設規格 PPD-3415.2(2)b. の式PPD-1.14より求めた値

(a) 中低面に圧力を受けるもの

$$t = \frac{P \cdot R \cdot W}{2 \cdot S \cdot n - 0.2 \cdot P} \qquad \dots \tag{A}$$

ただし,

$$W = \frac{1}{4} \cdot \left( 3 + \sqrt{\frac{R}{r}} \right)$$

(b) 中高面に圧力を受けるもの

$$t = \frac{P e \cdot R_D}{B} \qquad (A')$$

b. 全半球形鏡板鏡部

設計・建設規格 PPD-3415.2(2)c.の式PPD-1.15又は設計・建設規格 PPD-3415.2(2)d. の式PPD-1.16より求めた値

(a) 中低面に圧力を受けるもの

$$t = \frac{P \cdot R}{2 \cdot S \cdot \eta - 0.2 \cdot P} \qquad \dots \tag{B}$$

(b) 中高面に圧力を受けるもの

$$t = \frac{P e \cdot R D}{B} \qquad (B')$$

c. 半だ円形鏡板鏡部

形状は設計・建設規格 PPD-3415.2(1)c.により以下とする。

$$2 \ge \frac{D}{2 \cdot h}$$

設計・建設規格 PPD-3415.2(2)e.の式PPD-1.17又は設計・建設規格 PPD-3415.2(2)f. より求めた値

(a) 中低面に圧力を受けるもの

$$t = \frac{P \cdot D \cdot K}{2 \cdot S \cdot \eta - 0.2 \cdot P} \qquad \dots \tag{C}$$

ただし,

$$K = \frac{1}{6} \cdot \left\{ 2 + \left( \frac{D}{2 \cdot h} \right)^2 \right\}$$

(b) 中高面に圧力を受けるもの

$$t = \frac{P_e \cdot K_K \cdot R_R}{B} \qquad (C')$$

d. 鏡板のフランジ部

設計・建設規格 PPD-3411により求めた値

- (a) 内面に圧力を受ける管 ····· (D)
- (b) 外面に圧力を受ける管 ······(D')
- (c) 炭素鋼鋼管の設計・建設規格上必要な最小厚さ …………… (D'') (a), (b)又は(c)のいずれか大きい方の値とする。
- (3) 評価

鏡板の最小厚さ (t。) ≧鏡部 (上段) 及びフランジ部 (下段) の計算上必要な厚さ (t) ならば強度は十分である。

(4) 補足

計算書中, 算式の項の文字は(2)a項, b項, c項及びd項の文字A, A', B, B', C, C', D, D'及びD''に対応する。

### 2.5 レジューサの強度計算

レジューサの強度計算は、設計・建設規格 PPD-3415.1 (設計・建設規格 PVC-3124.2準用)及び設計・建設規格 PPD-3411を適用する。

設計・建設 規格の記号	計算書の表示	表示内容	単位
В	В	外面に圧力を受ける場合の計算に用いる係数	_
		設計・建設規格 付録材料図表 Part7 図1~図	
		20により求めた値	
		(Bを求める際に使用した板の厚さは繰返し計算	
		により最終的に t 3となる。)	
D i	D i	円すいの部分がすその丸みの部分に接続する部分	mm
		の軸に垂直な断面の内径	
D <sub>0</sub>	D <sub>o</sub>	レジューサのフランジ部の外径	mm
	Dol	大径端側の外径	mm
K	K	設計・建設規格 PPD-3415.1(3)の図PPD-3415.1-1	_
		より求めた係数	
$r$ , $r_0$ , $r_s$	r	円すいのすその丸みの部分の内半径	mm
		(円すいの丸みの外半径)	
S	S	最高使用温度における材料の許容引張応力	MPa
		設計・建設規格 付録材料図表 Part5 表5又は	
		表6による。	
S	S 1	最高使用温度における設計・建設規格 付録材料	MPa
		図表 Part5 表5又は表6に定める値の2倍,又は	
		設計・建設規格 付録材料図表 Part5 表8に定	
		める値の0.9倍の値のいずれか小さい方の値	
t	t	レジューサの計算上必要な厚さ	mm
	t 1	円すいの部分の計算上必要な厚さ	mm
	t 2	すその丸みの部分の計算上必要な厚さ	mm
	t 3	外面に圧力を受ける場合の計算上必要な厚さ	mm
	t s	レジューサの最小厚さ	mm
	$t_{s\ell}$	大径端側の最小厚さ	mm
W	W	円すいの形状による係数	_
θ	θ	円すいの頂角の2分の1	0
	算式	t として用いる値の算式(計算上必要な厚さが最	_
		大となる算式)	
	端部記号	大径端,小径端及びフランジ部を示す名称	_

#### (2) 算式

レジューサの計算上必要な厚さは、次に掲げる値とし、大径端側及び小径端側のそれぞれ について計算を行う。

a. 円すいの部分(内面に圧力を受けるもの)

設計・建設規格 PPD-3415.1(1)a.の式PPD-1.8より求めた値

$$t_{1} = \frac{P \cdot D_{i}}{2 \cdot \cos \theta \cdot (S \cdot \eta - 0.6 \cdot P)} \qquad \dots \tag{A}$$

b. すその丸みの部分(内面に圧力を受けるもの)

大径端側

設計・建設規格 PPD-3415.1(1)b.の式PPD-1.9より求めた値

$$t_2 = \frac{P \cdot D_i \cdot W}{4 \cdot \cos \theta \cdot (S \cdot \eta - 0.1 \cdot P)} \qquad \dots$$

ただし,

$$W = \frac{1}{4} \cdot \left( 3 + \sqrt{\frac{D i}{2 \cdot r \cdot \cos \theta}} \right)$$

小径端側

設計・建設規格 PPD-3415.1(3)の式PPD-1.11より求めた値

$$t_2 = \frac{K}{\eta} \cdot \frac{P \cdot D_0}{2 \cdot S + 0.8 \cdot P} \qquad \cdots$$

- (B)

ただし、Kは設計・建設規格 PPD-3415.1(3)の図PPD-3415.1-1より求めた値

c. レジューサのフランジ部

設計・建設規格PPD-3411により求めた値

- (a) 内面に圧力を受ける管 ····· (C)
- (b) 外面に圧力を受ける管 .....(C')
- (c) 炭素鋼鋼管の設計・建設規格上必要な最小厚さ ………(C'')
  - (a), (b)又は(c)のいずれか大きい方の値とする。

- d. 円すい及びすその丸みの部分(外面に圧力を受けるもの) 設計・建設規格 PVC-3124.2により求める。
  - (a) 円すいの頂角の2分の1が22.5°以下のもの
  - イ. 外面に圧力を受ける場合の計算上必要な厚さが外径の0.1倍以下の場合

$$t_{3} = \frac{3 \cdot P_{e} \cdot D_{o}}{4 \cdot B} \qquad \dots \tag{D}$$

ただし、D。=D。, 長さは円すい部の軸方向の長さとする。

ロ. 外面に圧力を受ける場合の計算上必要な厚さが外径の0.1倍を超える場合 次の2つの式より計算したいずれか大きい方の値

$$t_{3} = \frac{D_{0} \cdot (P_{e} / B + 0.0833)}{2.167}$$

$$t_{3} = \frac{D_{0}}{2} \cdot \left(1 - \sqrt{1 - \frac{2 \cdot P_{e}}{S_{1}}}\right)$$
(D')

ただし、D。=D。《, 長さは円すい部の軸方向の長さとする。

- (b) 円すいの頂角の2分の1が22.5°を超え60°以下のもの
- イ. 外面に圧力を受ける場合の計算上必要な厚さが外径の0.1倍以下の場合

$$t_{3} = \frac{3 \cdot P_{e} \cdot (D_{o} - 2 \cdot t_{s})}{4 \cdot B} \qquad \dots (D'')$$

ただし、 $D_o = D_{o\ell}$ 、 $t_s = t_{s\ell}$ 、長さは  $(D_{o\ell} - 2 \cdot t_{s\ell})$  とする。

ロ. 外面に圧力を受ける場合の計算上必要な厚さが外径の0.1倍を超える場合 次の2つの式より計算したいずれか大きい方の値

$$t_{3} = \frac{(D_{0} - 2 \cdot t_{s}) \cdot (P_{e} / B + 0.0833)}{2.167}$$

$$t_{3} = \frac{(D_{0} - 2 \cdot t_{s}) \cdot (1 - \sqrt{1 - \frac{2 \cdot P_{e}}{S_{1}}})}{2}$$
 ......(D''')

ただし、 $D_o = D_{o\ell}$ 、 $t_s = t_{s\ell}$ 、長さは  $(D_{o\ell} - 2 \cdot t_{s\ell})$  とする。

(3) 評価

大径端側及び小径端側のそれぞれについて、レジューサの最小厚さ( $t_s$ ) $\ge$ レジューサの計算上必要な厚さ(t)ならば強度は十分である。

- (4) 補足
  - a. 計算書中、NO. (レジューサの番号)に\*印の付いているものは、偏心レジューサを示す。
  - b. 偏心レジューサの場合の $\theta$ は、円すいの頂角をそのまま使用する。
  - c. 計算書中, 算式の項の文字は(2)a項, b項, c項及びd項の文字A, B, C, C', C'', D, D', D''及びD'''に対応する。

# 2.6 管の穴と補強計算

### 2.6.1 管の穴と補強計算(告示第501号)

管の穴と補強計算は、告示第 5 0 1 号第60条(第31条第2項、第5項及び第6項準用)を適用する。

告示第501号に関して記載の内容は、全て直管又は曲げ管の場合のみに限る。

	告示第501 号の記号	計算書の表示	表示内容	単位
	В	В	外面に圧力を受ける場合の計算に用いる係数	_
			告示第501号 別図第1~第8により求めた値	
			(Bを求める際に使用した板の厚さは繰返し計算に	
			より最終的にtыг及びtггとなる。)	
直	D, D <sub>o</sub>	D <sub>or</sub>	主管の外径	mm
	d	d	断面に現われる穴の径	mm
管	d	d fr	補強を要しない穴の最大径	mm
又	K	K	穴の補強計算の係数	_
は			$\left( = \frac{P \cdot D_{or}}{1.82 \cdot S_{r} \cdot \eta \cdot t_{r}} \right)$	
曲			(1.82 · S · · η · · · · )	
ゖヂ		$Q_{ m r}$	主管の厚さの負の許容差	%, mm
	S	S <sub>r</sub>	最高使用温度における主管の材料の許容引張応力	MPa
管			告示第501号 別表第4又は別表第5による。	
の	t s	t r	主管の最小厚さ	mm
記		t ro	主管の公称厚さ	mm
号	$t$ , $t_{sr}$	$t_{rr}$	主管の計算上必要な厚さ	mm
	$\eta$	η	継手の効率	_
			穴が管の長手継手を通る場合	
			告示第501号第60条(第31条第3項第1号準用)に	
			規定する効率	
			その他の場合は1.00とする。	

	告示第501 号の記号	計算書の表示	表示内容	単位
	A	Α 0	穴の補強に有効な面積の総和	$\mathrm{mm}^2$
		A 1	穴の補強に有効な主管部の面積	$\mathrm{mm}^2$
		A 2	穴の補強に有効な管台部の面積	$\mathrm{mm}^2$
		A 3	穴の補強に有効なすみ肉部の面積	$\mathrm{mm}^2$
		A 4	穴の補強に有効な強め材部の面積	$\mathrm{mm}^2$
	A <sub>r</sub>	A r	穴の補強に必要な面積	$\mathrm{mm}^2$
		A r D	大穴の補強に必要な面積	$\mathrm{mm}^2$
		$A_{0D}$	大穴の補強に有効な面積の総和	$\mathrm{mm}^2$
直		$A_{ m 1D}$	大穴の補強に有効な主管部の面積	$\mathrm{mm}^2$
		$A_{ m 2D}$	大穴の補強に有効な管台部の面積	$\mathrm{mm}^2$
管		$A_{3D}$	大穴の補強に有効なすみ肉部の面積	$\mathrm{mm}^2$
		$A_{4\mathrm{D}}$	大穴の補強に有効な強め材部の面積	$\mathrm{mm}^2$
又	$A_s$	A s r	2つの穴の間の主管の必要な断面積	$\mathrm{mm}^2$
は		$\Lambda$ s o	2つの穴の間の主管の断面積	$\mathrm{mm}^2$
100		A <sub>ri</sub>	2つの穴の補強に必要な面積	$\mathrm{mm}^2$
曲		A o i	2つの穴の間にある補強に有効な面積	$\mathrm{mm}^2$
		A <sub>rs</sub>	隣接する穴の補強に必要な面積	$\mathrm{mm}^2$
げ		A 2 s	隣接する穴の補強に有効な管台部の面積	$\mathrm{mm}^2$
***		Аз я	隣接する穴の補強に有効なすみ肉部の面積	$\mathrm{mm}^2$
管		A 4 s	隣接する穴の補強に有効な強め材部の面積	$\mathrm{mm}^2$
<b>の</b>	D i	D <sub>ib</sub>	管台の内径	mm
		D <sub>ir</sub>	主管の内径	mm
記		D <sub>ob</sub>	管台の外径	mm
		D <sub>oe</sub>	強め材の外径	mm
号	d	d <sub>D</sub>	断面に現われる隣接する穴の径	mm
		d frD	大穴の補強を要しない限界径	mm
		d <sub>r 1</sub>	補強を要しない穴の最大径	mm
		d <sub>r 2</sub>	補強を要しない穴の最大径	mm
	F	F	告示第501号第60条 (第31条第6項第1号ロ(イ)準	_
			用)により求められる係数	
		F 1	すみ肉溶接のせん断応力係数	_
		F 2	突合せ溶接の引張応力係数	_
		F 3	突合せ溶接のせん断応力係数	_

	告示第501 号の記号	計算書の表示	表示内容	単位
		L	   2つの穴の径の平均値の3分の 4 倍の値	mm
		L <sub>A</sub>	   穴の中心線に平行な直線で区切られる補強に有効な	mm
			範囲	
		$L_{ m AD}$	穴の中心線に平行な直線で区切られる大穴の補強に	mm
			有効な範囲	
		$L_N$	主管の面に平行な直線で区切られる補強に有効な範	mm
			囲	
直		$L_{ m ND}$	主管の面に平行な直線で区切られる大穴の補強に有	mm
			効な範囲	
管	$\ell$	$L_{s}$	2つの穴の中心間の距離	mm
		L 1	管台のすみ肉部の脚長 (A形, B形) 又は管台補強	mm
又			部の短辺長さ (C形) *	
は		$_{ m L_{2}}$	強め材のすみ肉部の脚長*	mm
100	Р	Р	最高使用圧力又は外面に受ける最高の圧力	MPa
曲		$Q_{b}$	管台の厚さの負の許容差	%, mm
	S	S <sub>b</sub>	最高使用温度における管台の材料の許容引張応力	MPa
げ			告示第501号 別表第4及び別表第5による。	
A-A-				
管	S	S <sub>e</sub>	最高使用温度における強め材の材料の許容引張応力	MPa
0			告示第501号 別表第4及び別表第5による。	
記		S w 1	すみ肉溶接の許容せん断応力	MPa
		S w 2	突合せ溶接の許容引張応力	MPa
号		S w 3	突合せ溶接の許容せん断応力	MPa
	t n	tь	管台の最小厚さ	mm
		t <sub>b n</sub>	管台の公称厚さ	mm
	t	t <sub>br</sub>	管台の計算上必要な厚さ	mm
		t e	強め材の最小厚さ	mm
		W	溶接部の負うべき荷重	N
		$W_{\mathrm{e}1}$	管台取付部すみ肉溶接部の許容せん断力	N
		W e 2	管台取付部突合せ溶接部の許容せん断力	N

	告示第501 号の記号	計算書の表示	表示内容	単位
		W e 3	管台取付部突合せ溶接部の許容せん断力	N
		W e 4	強め材取付部突合せ溶接部の許容引張力	N
直管又は曲げ管の		W e 5	強め材取付部すみ肉溶接部の許容せん断力	N
人は		Webp1	予想される破断箇所の強さ	N
曲  げ		W <sub>ebp2</sub>	予想される破断箇所の強さ	N
管の	$\theta$	W <sub>ebp3</sub>	予想される破断箇所の強さ	N
記		α	分岐管の中心線と主管の中心線との交角	0
号		π	円周率	_
		形式	管台の取付け形式	_

## (2) 計算手順及び算式

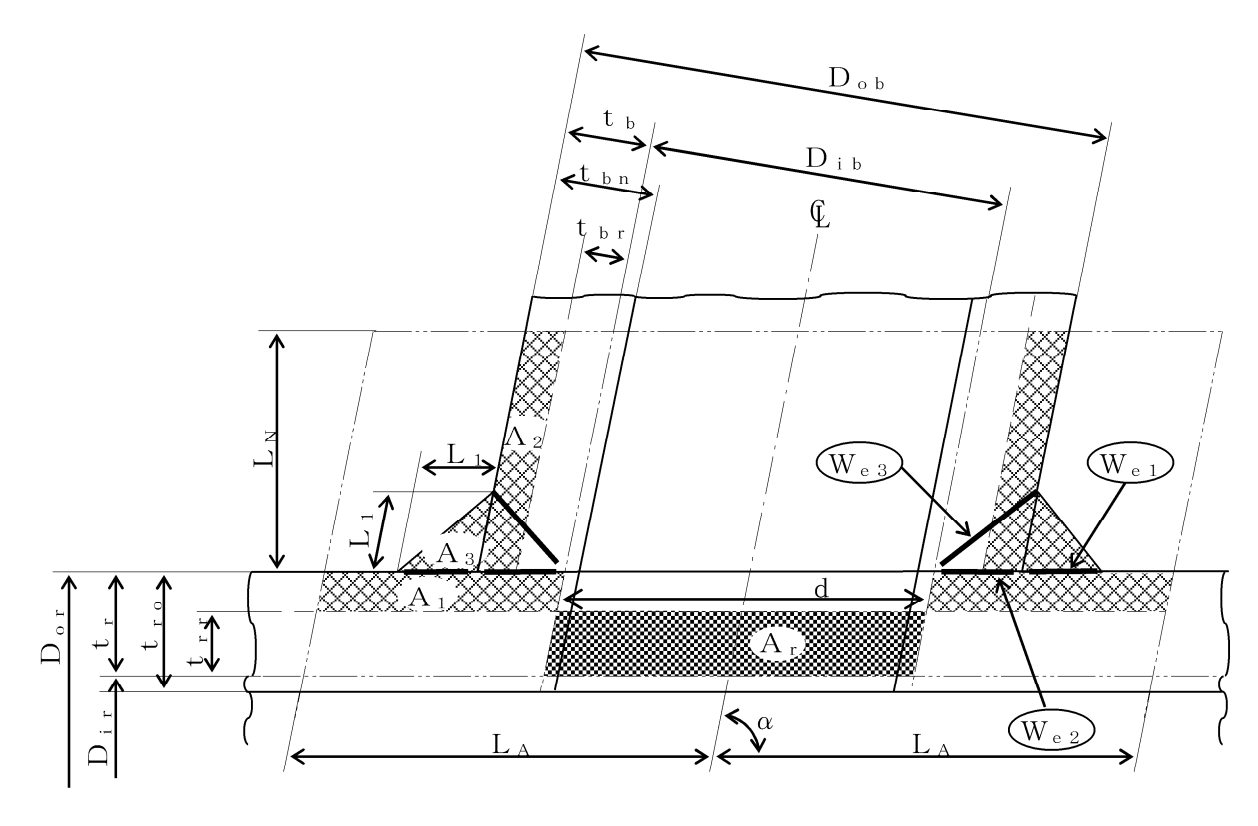
#### a. 穴の形状

管に設ける穴は、告示第501号第60条(第31条第5項第1号準用)により円形又はだ 円形であること。

## b. 管台の取付け形式

図2-1~図2-3に管台の取付け形式及び予想される破断形式を示す。

ただし、すみ肉溶接部分の破断箇所については、両方の脚長が等しいため、片側の脚 長の破断形式のみを図示する。



※※ 補強に有効な面積

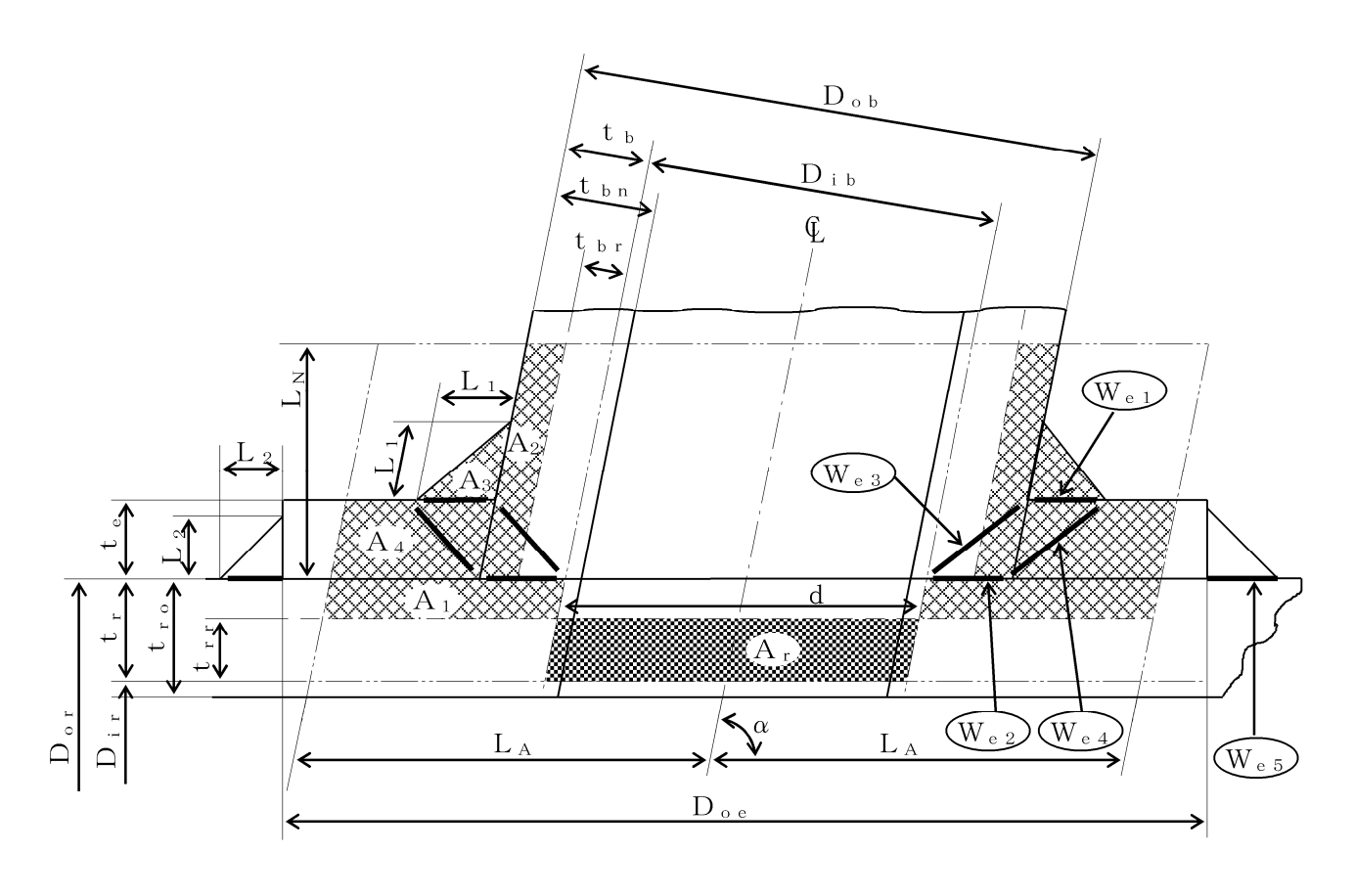
補強に必要な面積

予想される破断形式

・W<sub>e 3</sub> を通る破断

・W<sub>e 1</sub> W<sub>e 2</sub> を通る破断

図2-1 A形 (強め材のない場合)



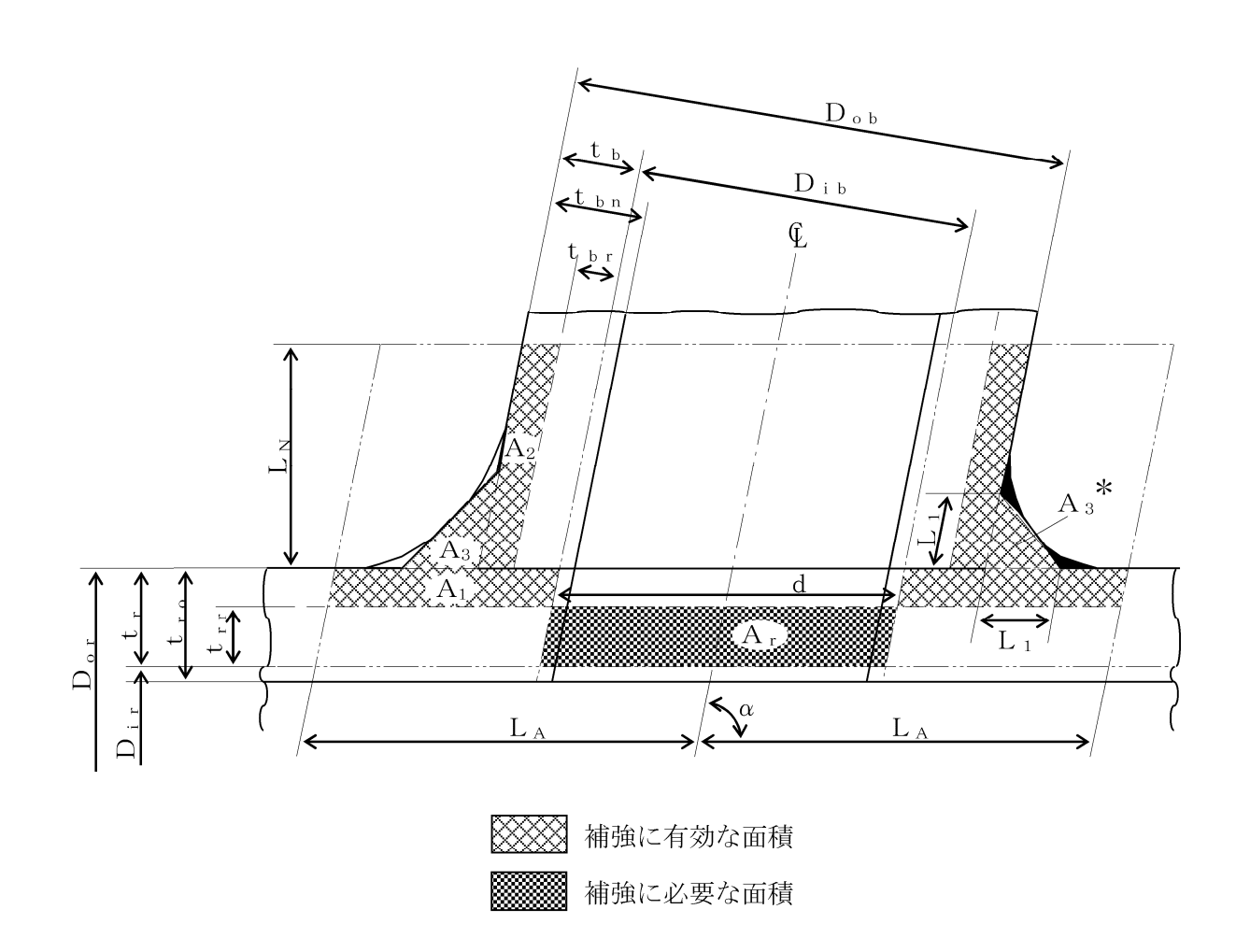
補強に有効な面積

補強に必要な面積

# 予想される破断形式

- Wej Wej を通る破断
- ・ W<sub>e 2</sub> W<sub>e 4</sub> を通る破断
- W<sub>e 2</sub> W<sub>e 5</sub> を通る破断

図2-2 B形 (強め材のある場合)



注記 \*:本形式における補強に有効な面積 $A_3$ はA形及びB形と同様に $A_3$ = $(L_1)^2 \cdot \sin \alpha \cdot S_b / S_r$ (上記 部)として算出するものとし、同補強部外側の余肉部(上記 部)は、補強面積評価上は考慮しない。

図2-3 C形 (一体形で強め材のない場合)

## c. 穴の補強の要否

穴の補強の要否は、告示第501号第60条(第31条第5項第2号イ、ロ準用)を適用する。

(a) 算式

補強を要しない穴の最大径は、次のイ項又はロ項で計算した値のいずれか大きい値 (d<sub>fr</sub>) とする。

- イ. 管に設ける穴であって,穴の径が61 mm以下で,かつ,管の内径の4分の1以下の穴(d<sub>r1</sub>)
- ロ. 管に設ける穴であって、イ項に掲げるものを除き、穴の径が200 mm以下で、かつ、告示第501号第60条(第31条第5項第2号ロ準用)により求めた値以下の穴( $d_{r2}$ )

$$d_{r2} = 8.05 \cdot \sqrt[3]{D_{or} \cdot t_{r} \cdot (1 - K)}$$

ただし、Kの値は次の算式による。

$$K = \frac{P \cdot D \circ r}{1.82 \cdot S \cdot r \cdot \eta \cdot t \cdot r}$$

ただし、K>0.99の場合はK=0.99とする。

(b) 評価

補強を要しない穴の最大径( $d_{fr}$ )  $\geq$ 断面に現われる穴の径(d)ならば、穴の補強計算及び溶接部の強度計算は必要ない。

必要な場合は、d項以降による。

d. 穴の補強に有効な範囲

穴の補強に有効な範囲は、告示第501号第60条(第31条第6項第1号イ準用)を適用する。

ただし、構造上計算した有効範囲が取れない場合は、構造上取り得る範囲とする。

(a) 穴の中心線に平行な直線で区切られる補強に有効な範囲 ( $L_A$ ) は、次の2つの式 より計算したいずれか大きい方の値

$$L_A = d$$
  $X = \frac{d}{2} + t_r + t_b$ 

(b) 主管の面に平行な直線で区切られる補強に有効な範囲  $(L_N)$  は、次の2つの式より計算したいずれか小さい方の値

$$L_N=2.5 \cdot t_r$$
  $\forall L_N=2.5 \cdot t_b+t_e$ 

e. 主管の厚さの計算

主管の計算上必要な厚さ( $t_{rr}$ )は、告示第 5 0 1 号第60条(第31条第2項第2号イ並びにハ準用)を適用する。

$$t_{rr} = \frac{P \cdot D_{ir}}{2 \cdot S_{r} \cdot \eta - 1.2 \cdot P}$$
 (内圧)

$$t_{r} = \frac{P \cdot D_{or}}{B}$$
 (外圧)

#### f. 管台の厚さの計算

管台の計算上必要な厚さ (t<sub>br</sub>)は,告示第501号第60条 (第31条第6項第1号ロ(ロ)準用)を適用する。

t b r = 
$$\frac{P \cdot D i b}{2 \cdot S b - 1, 2 \cdot P} \qquad ($$
 内 圧 )

$$t_{br} = \frac{P \cdot D_{ob}}{B} \qquad (外 E)$$

#### g. 穴の補強計算

穴の補強計算は、告示第501号第60条(第31条第6項準用)を適用する。

#### (a) 算式

#### イ. 補強に必要な面積

補強に必要な面積は、告示第501号第60条(第31条第6項第1号ハ準用)を適用する。

$$A_r = d \cdot t_{rr} \cdot F$$

#### ロ. 補強に有効な面積

補強に有効な面積は、告示第501号第60条(第31条第6項第1号ロ、第4号及び第5号準用)を適用する。

$$A_1 = (\eta \cdot t_r - F \cdot t_{rr}) \cdot (2 \cdot L_A - d)$$
 $A_2 = 2 \cdot (t_b - t_{br}) \cdot \csc\alpha \cdot L_N \cdot \frac{S_b}{S_r}$ 
 $A_3 = (L_1)^2 \cdot \sin\alpha \cdot \frac{S_b}{S_r}$ 
 $A_4 = (D_0 e - D_0 b \cdot \cos\alpha) \cdot t_e \cdot \frac{S_e}{S_r} + (L_2)^2 \cdot \frac{S_e}{S_r}$ 
(強め材が有効範囲 $L_A$ 内にある場合)
 $A_4 = (2 \cdot L_A - D_0 b \cdot \cos\alpha) \cdot t_e \cdot \frac{S_e}{S_r}$ 

(強め材が有効範囲 L<sub>A</sub>の外まである場合)

$$A_0 = A_1 + A_2 + A_3 + A_4$$

#### (b) 評価

穴の補強に有効な面積( $A_0$ )>穴の補強に必要な面積( $A_r$ )ならば穴の補強は十分である。

## h. 大穴の補強の要否

大穴の補強の要否は、告示第501号第60条(第31条第6項第3号準用)を適用する。

(a) 算式

大穴の補強を要しない限界径(dfrD)

イ. D<sub>ir</sub>が1500 mm以下の場合

$$d_{f r D} = D_{i r} / 2$$

ただし,500 mmを超える場合500 mmとする。

ロ. D<sub>ir</sub>が1500 mmを超える場合

$$d_{f r D} = D_{i r} / 3$$

ただし, 1000 mmを超える場合1000 mmとする。

(b) 評価

大穴の補強を要しない限界径( $d_{frD}$ )  $\geq$ 断面に現われる穴の径(d)ならば大穴の補強計算は必要ない。

必要な場合は, i 項以降による。

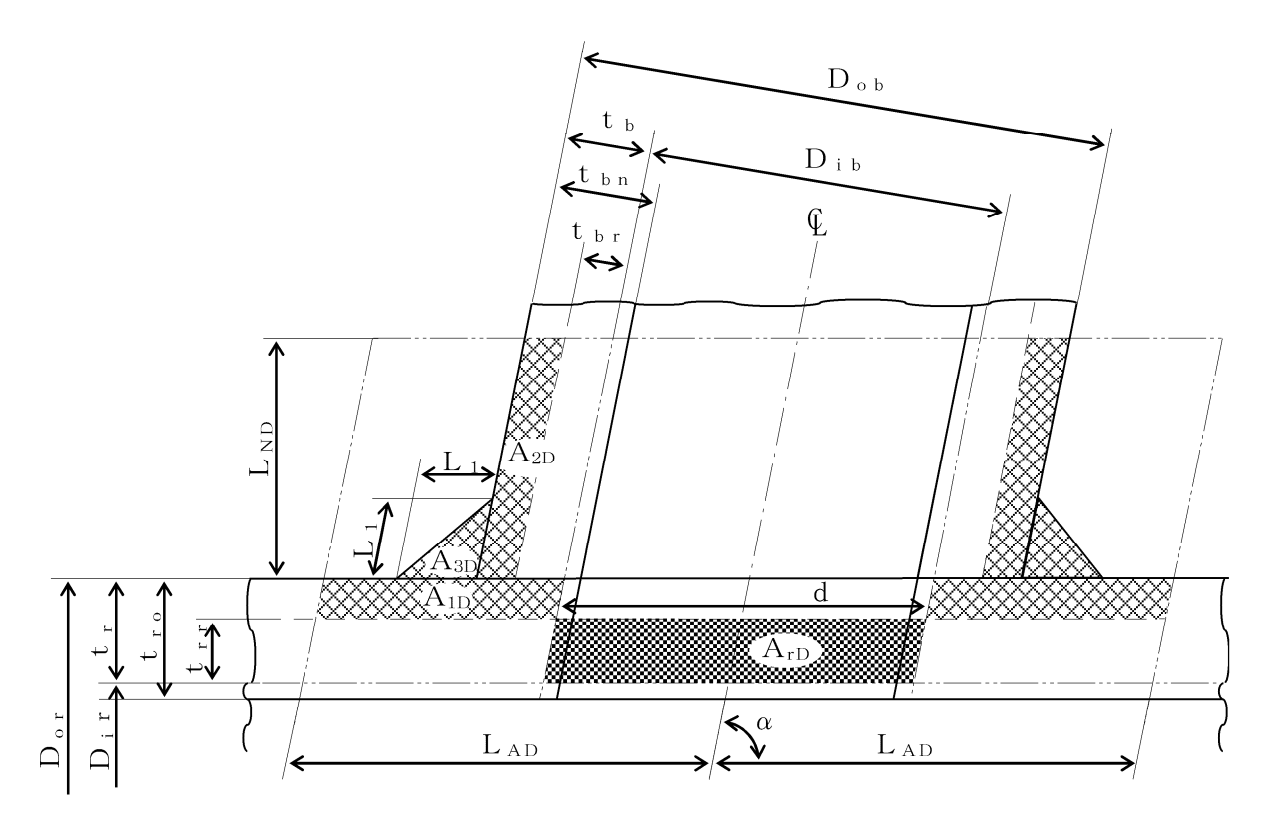
## i. 大穴の補強に有効な範囲

大穴の補強に有効な範囲は、告示第501号第60条(第31条第6項第1号イ準用)を適用する。

ただし、構造上計算した有効範囲が取れない場合は、構造上取り得る範囲とする。

## (a) 大穴の補強における管台の取付け形式

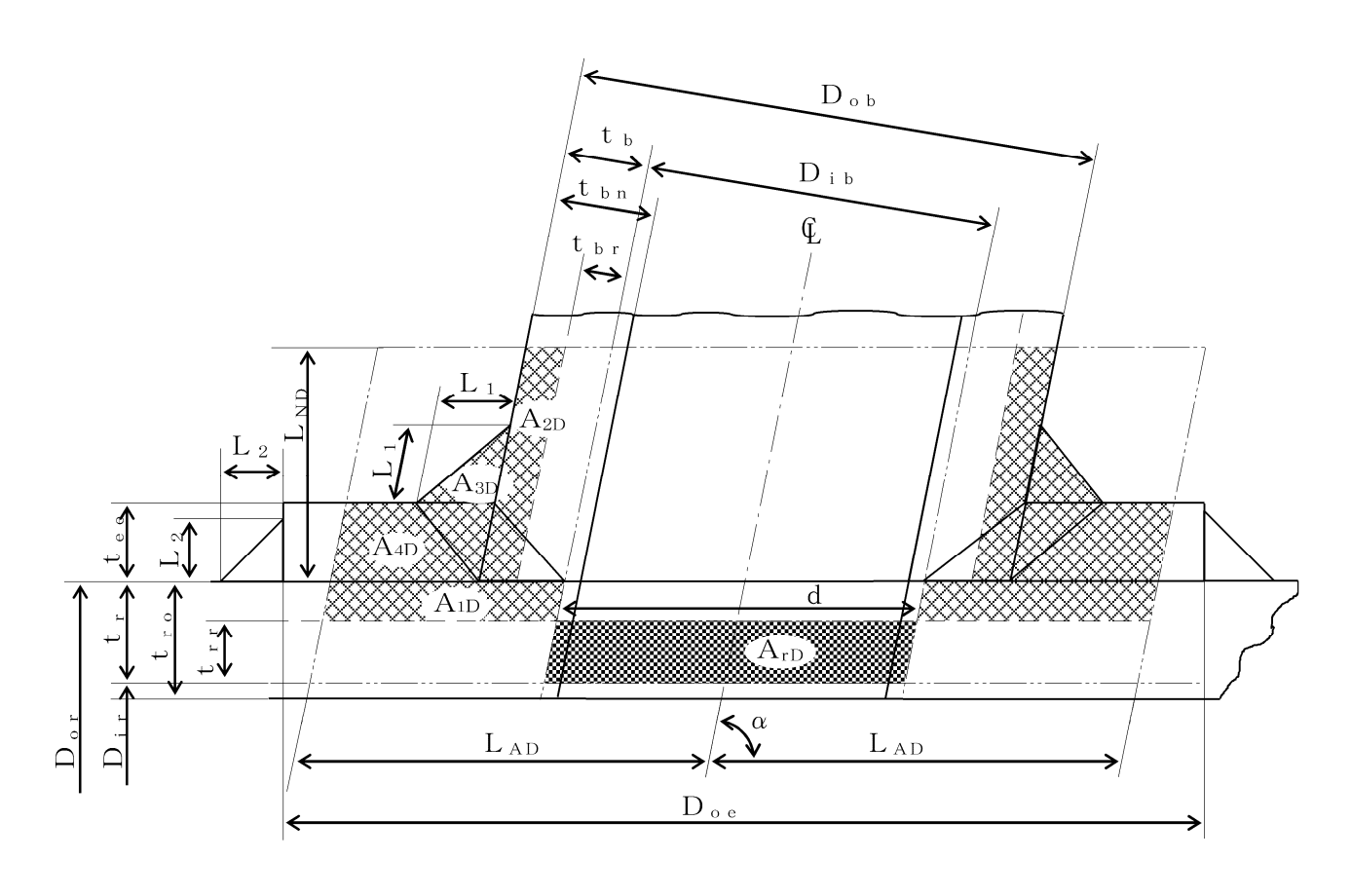
図2-4~図2-6に大穴の補強における管台の取付け形式を示す。



※※※ 補強に有効な面積

補強に必要な面積

図2-4 A形 (強め材のない場合)



補強に有効な面積

補強に必要な面積

図2-5 B形 (強め材のある場合)

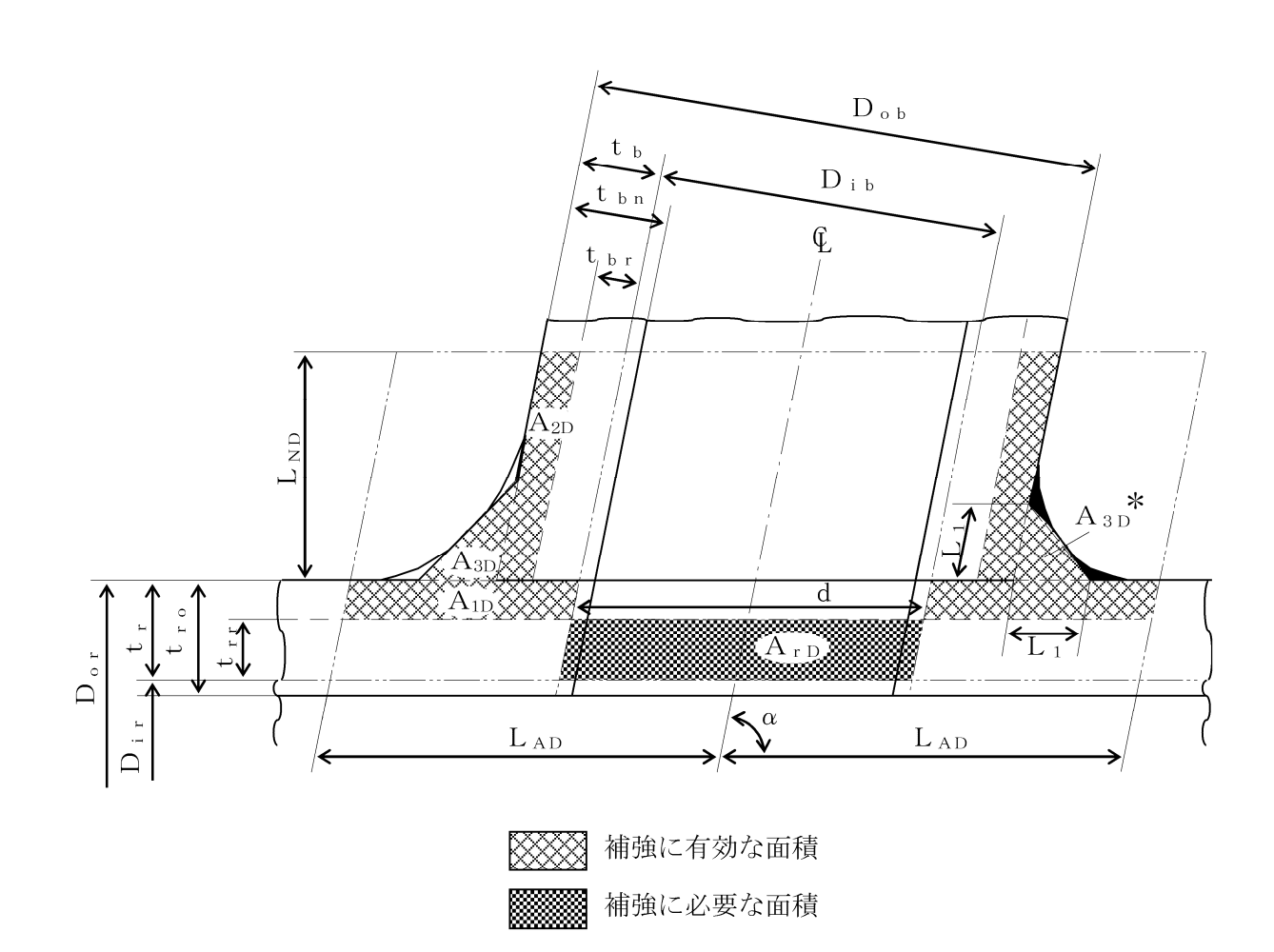


図2-6 C形 (一体形で強め材のない場合)

(b) 穴の中心線に平行な直線で区切られる大穴の補強に有効な範囲

$$L_{AD} = \frac{d}{2} + \frac{d}{4}$$

(c) 主管の面に平行な直線で区切られる大穴の補強に有効な範囲

$$L_{ND} = L_N$$

j. 大穴の補強計算

大穴の補強計算は、告示第501号第60条(第31条第6項第3号準用)を適用する。

- (a) 算式
- イ. 大穴の補強に必要な面積

$$A r D = \frac{2}{3} \cdot A r$$

ロ. 大穴の補強に有効な面積

$$A_{1D} = (\eta \cdot t_r - F \cdot t_{rr}) \cdot (2 \cdot L_{AD} - d)$$

$$A_{2D} = A_{2}$$

(管台の外径が有効範囲 Lan内にある場合)

$$A_{2D}=2\cdot\left(\frac{d}{4}-t_{br}\cdot cosec\alpha\right)\cdot L_{ND}\cdot\frac{S_{b}}{S_{r}}$$

(管台の外径が有効範囲 LADの外まである場合)

$$A_{3D} = A_{3}$$

(すみ肉部の脚長が有効範囲 LAD内にある場合)

$$A_{3D} = 0$$

(すみ肉部の脚長が有効範囲 L<sub>AD</sub>の外まである場合)

$$A_{4D} = A_{4}$$

(強め材が有効範囲 L AD内にある場合)

$$A_{4D} = \left(3 \cdot \frac{d}{2} - D_{ob} \cdot \csc \alpha\right) \cdot t_{e} \cdot \frac{S_{e}}{S_{r}}$$

(強め材が有効範囲 LADの外まである場合)

$$A_{0D} = A_{1D} + A_{2D} + A_{3D} + A_{4D}$$

(b) 評価

大穴の補強に有効な面積( $A_{0D}$ ) $\geq$ 大穴の補強に必要な面積( $A_{rD}$ )ならば大穴の補強は十分である。

## k. 2つ穴の補強計算

2つ以上の穴の補強に有効な範囲が重なり合う場合の補強計算は、告示第501号第60条(第31条第6項第2号準用)を適用する。

以下, 直管の2つ穴の計算方法を示す。

- (a) 算式
- イ. 2つの穴の間にある主管の必要な断面積

$$A_{sr} = 0.7 \cdot L_{s} \cdot t_{rr} \cdot F$$

ロ. 2つの穴の間にある主管の断面積

$$A_{so} = \left(L_s - \frac{d + d_D}{2}\right) \cdot t_r$$

(b) 算式

2つの穴の径の平均値の3分の4倍の値

$$L = \frac{4}{3} \left( \frac{d + d D}{2} \right)$$

- (c) 算式
- イ. 2つの穴の補強に必要な面積

$$A_{ri} = A_r + A_{rs}$$

Ar及びArsは1つの穴の計算に準じる。

ロ. 2つの穴の間にある補強に有効な面積

$$A_{oi} = \left(L_{s} - \frac{d + d_{D}}{2}\right) \cdot (t_{r} - t_{rr}) + A_{2} + A_{2s} + A_{3} + A_{3s} + A_{4} + A_{4s}$$

A<sub>2</sub>, A<sub>2s</sub>, A<sub>3</sub>, A<sub>3s</sub>, A<sub>4</sub>及びA<sub>4s</sub>は, 1つの穴の計算に準じる。

(d) 評価

穴の補強は,以下の条件を満足すれば十分である。

- イ. 2つの穴の間にある主管の断面積( $A_{so}$ ) $\geq$ 2つの穴の間にある主管の必要な断面積( $A_{sr}$ )
- ロ. 2つの穴の間にある補強に有効な面積( $A_{oi}$ ) $\geq$ 2つの穴の補強に必要な面積( $A_{ri}$ )
- ハ. 2つの穴の中心間の距離 (L<sub>s</sub>) ≥2つの穴の径の平均値の3分の4倍 (L)
- ニ. それぞれの穴に共通な強め材の断面積( $A_4$ ) $\geq 2$ つの穴の補強に必要な面積( $A_{r,i}$ )

#### 1. 溶接部の強度計算

溶接部の強度計算は、告示第501号第60条(第31条第6項第6号、第7号準用)を適用する。

ただし、C形に関しては評価すべき溶接部がないため、強度計算は行わない。

- (a) 算式
- イ. 溶接部の負うべき荷重

$$W = d \cdot t r r \cdot S r - (\eta \cdot t r - F \cdot t r r) \cdot (2 \cdot L A - d) \cdot S r$$

ロ. 溶接部の許容応力

$$S\,w_1 \!= S\,{}_r\,\boldsymbol{\cdot}\,F_{\,1}$$

$$Sw_2 = S_r \cdot F_2$$

$$Sw_3 = S_r \cdot F_3$$

ハ. 溶接部の破断強さ

$$\begin{split} W_{\,e\,\,1} &= \pi \, \cdot \left(\frac{d}{2} + \, t_{\,\,b} \cdot \text{cosec}\alpha\right) \cdot \, L_{\,\,1} \cdot \, S\,w_{\,1} \\ W_{\,e\,\,2} &= \pi \, \cdot \, d_{\,\,} \cdot \, t_{\,\,b} \cdot \, S\,w_{\,3} \cdot \text{cosec}\alpha_{\,\,}/2 \\ W_{\,e\,\,3} &= \pi \, \cdot \, d_{\,\,} \cdot \, t_{\,\,b} \cdot \, S\,w_{\,3} \cdot \text{cosec}\alpha_{\,\,}/2 \\ W_{\,e\,\,3} &= \pi \, \cdot \, d_{\,\,} \cdot \, t_{\,\,b} \cdot \, S\,w_{\,3} \cdot \text{cosec}\alpha_{\,\,}/2 \\ W_{\,e\,\,4} &= \pi \, \cdot \, \left(\frac{d}{2} + \, t_{\,\,b} \cdot \text{cosec}\alpha_{\,\,}\right) \cdot \, t_{\,\,e} \cdot \, S\,w_{\,2} \\ W_{\,e\,\,5} &= \pi \, \cdot \, D_{\,\,o\,\,e} \cdot \, L_{\,\,2} \cdot \, S\,w_{\,1}/2 \end{split}$$

- ニ. 予想される破断箇所の強さ
  - (イ) A形の管台形式の場合

(ロ) B形の管台形式の場合

- (b) 評価
- イ. 溶接部の負うべき荷重(W)が0以下の場合 溶接部の強度は十分とみなし、溶接部の強度計算は行わない。
- ロ. 溶接部の負うべき荷重 (W) が0を超える場合溶接部の負うべき荷重 (W) ≦予想される破断箇所の強さ (Wеbpi, Wеbp2, Wеbp3) ならば溶接部の強度は十分である。
- (3) 補足
  - a. 穴の補強計算,大穴の補強計算及び2つ穴の補強計算において面積の計算をする際,  $\frac{Sb}{Sr}$  ,  $\frac{Sb}{S}$  又は  $\frac{Se}{Sr}$  が1を超える場合は,値を1として計算する。
  - b. 断面が長手軸となす角度により求めた係数Fは、1として計算する。

# 2.6.2 管の穴と補強計算(設計・建設規格) 管の穴と補強計算は、設計・建設規格 PPD-3420を適用する。

# (1) 記号の説明

	設計・建設	計算書の表示	表示内容	単位
$\Box$	規格の記号	FI 5F E 17 20.7	2C(1) 17H	1 1-1-4
	В	В	外面に圧力を受ける場合の計算に用いる係数	_
			設計・建設規格 付録材料図表 Part7 図1~図20	
			により求めた値	
			(Bを求める際に使用した板の厚さは繰返し計算に	
			より最終的に t ь г及び t г г となる。)	
	D	D o r	主管の外径	mm
	d	d	断面に現われる穴の径	mm
直	d	d f r	補強を要しない穴の最大径	mm
管	K	K	穴の補強計算の係数	_
			$\left(=\frac{P \cdot D \cdot r}{1.82 \cdot S \cdot r \cdot \eta \cdot t \cdot r}\right)$	
又			( 1.82 · S · · η · t · )	
は		$Q_{ m r}$	主管の厚さの負の許容差	%, mm
曲	S	S r	最高使用温度における主管の材料の許容引張応力	MPa
げ			設計・建設規格 付録材料図表 Part5 表5によ	
管			る。	mm
の	t s	t r	主管の最小厚さ	mm
記		t ro	主管の公称厚さ	mm
	t s r, t r 3	t r r	主管の計算上必要な厚さ	_
号	$\eta$	$\eta$	継手の効率	
			穴が管の長手継手を通る場合	
			穴が鏡板を継ぎ合わせて作る場合の当該継手を通る	
			場合	
			穴が管と全半球形鏡板との接合部の周継手を通る場	
			合	
			設計・建設規格 PVD-3110に規定する効率	
			その他の場合は1.00とする。	

	設計・建設 規格の記号	計算書の表示	表示内容	単位
	В	В	中高面に圧力を受ける場合の計算に用いる係数	_
			設計・建設規格 付録材料図表 Part7 図1~図20	
			により求めた値	
			(Bを求める際に使用した板の厚さは繰返し計算に	
			より最終的に t ь г及び t с гとなる。)	
		D	鏡板の内面における長径	mm
	D	D o	鏡板が取り付けられる管の外径	mm
			(フランジ部の外径に同じ)	
	d	d	断面に現われる穴の径	mm
	d	d f r	補強を要しない穴の最大径	mm
鏡	K	K	穴の補強計算の係数	_
	$K_1$	K 1	半だ円形鏡板の中底面に圧力を受ける場合の計算に	_
板			用いる係数	
			設計・建設規格 PPD-3424(1)の表PPD-3424-1及び	
			表PPD-3424-2による。	
記	K	K <sub>K</sub>	半だ円形鏡板の中高面に圧力を受ける場合の計算に	_
			用いる係数	
号			設計・建設規格 PPD-3415.2(2)f.の表PPD-3415.2-	
			1による。	
	R	R	さら形鏡板の中央部における内面の半径又は全半球	mm
			形鏡板の内半径	
	S	S	最高使用温度における鏡板の材料の許容引張応力	MPa
			設計・建設規格 付録材料図表 Part5 表5によ	
			る。	mm
	t s	t c	鏡板の最小厚さ	mm
		tco	鏡板の公称厚さ	mm
	t <sub>sr</sub> , t <sub>r1</sub>	t c r	鏡板の計算上必要な厚さ	_
	W	W	さら形鏡板の形状による係数	

	設計・建設 規格の記号	計算書の表示	表示内容	単位
	d	d	平板の径又は最小内のり	mm
	d	d н	断面に現われる穴の径	mm
	K	K	平板の取付け方法による係数	_
	S	S	最高使用温度における平板材料の許容引張応力	MPa
平			設計・建設規格 付録材料図表 Part5 表5によ	
板	t	t	る。	mm
の	t s	t c	補強を要しない平板の計算上必要な厚さ	mm
記		t c o	平板の最小厚さ	mm
号	t <sub>sr</sub> , t <sub>r2</sub>	t c r	平板の呼び厚さ	mm
		取付け方法	平板の計算上必要な厚さ	_
			平板の取付け方法で設計・建設規格 PPD-3413の表	
	$(a)\sim (o)$	3A∼30	PPD-3413-1による。	
			取付け方法の表示区分	

	設計・建設	計算書の表示	表示内容	単位
	規格の記号		200101	·
	A	$A_0$	穴の補強に有効な面積の総和	$\text{mm}^2$
		A 1	穴の補強に有効な主管部の面積	$\text{mm}^2$
		A 2	穴の補強に有効な管台部の面積	$\text{mm}^2$
		A 3	穴の補強に有効なすみ肉部の面積	$\text{mm}^2$
		A 4	穴の補強に有効な強め材部の面積	$\mathrm{mm}^2$
	$A_r$	A r	穴の補強に必要な面積	$\text{mm}^2$
		A <sub>rD</sub>	大穴の補強に必要な面積	$\mathrm{mm}^2$
		$A_{0D}$	大穴の補強に有効な面積の総和	$\mathrm{mm}^2$
共		$A_{1D}$	大穴の補強に有効な主管部の面積	$\mathrm{mm}^2$
通		$A_{2D}$	大穴の補強に有効な管台部の面積	$\mathrm{mm}^2$
理		$A_{3D}$	大穴の補強に有効なすみ肉部の面積	$\mathrm{mm}^2$
記		$A_{4D}$	大穴の補強に有効な強め材部の面積	$\mathrm{mm}^2$
	$A_s$	A <sub>sr</sub>	2つの穴の間の主管の必要な断面積	$\mathrm{mm}^2$
号		$\Lambda_{ m s~o}$	2つの穴の間の主管の断面積	$\mathrm{mm}^2$
		A <sub>ri</sub>	2つの穴の補強に必要な面積の2分の1の面積	$\mathrm{mm}^2$
( 管		A o i	2つの穴の間にある補強に有効な面積	$\mathrm{mm}^2$
		A <sub>rs</sub>	隣接する穴の補強に必要な面積	$\mathrm{mm}^2$
の		$A_{2s}$	隣接する穴の補強に有効な管台部の面積	$\mathrm{mm}^2$
穴		A 3 s	隣接する穴の補強に有効なすみ肉部の面積	$\mathrm{mm}^2$
と		A 4 s	隣接する穴の補強に有効な強め材部の面積	$\mathrm{mm}^2$
補	$D_{i}$	D <sub>ib</sub>	管台の内径	mm
強		D <sub>ir</sub>	主管の内径	mm
計		D <sub>ob</sub>	管台の外径	mm
		D <sub>oe</sub>	強め材の外径	mm
算		d <sub>D</sub>	断面に現われる隣接する穴の径	mm
		d frD	大穴の補強を要しない限界径	mm
		d <sub>r 1</sub>	補強を要しない穴の最大径	mm
	d	d <sub>r 2</sub>	補強を要しない穴の最大径	mm
	F	F	設計・建設規格 PPD-3424(1)b. により求められる	_
			係数	
		F 1	すみ肉溶接のせん断応力係数	_
		F 2	突合せ溶接の引張応力係数	_
		F 3	突合せ溶接のせん断応力係数	_

	設計・建設 規格の記号	計算書の表示	表示内容	単位
П		L	2つの穴の径の平均値の1.5倍の値	mm
		L <sub>A</sub>	   穴の中心線に平行な直線で区切られる補強に有効な	mm
			範囲	
		Lad	穴の中心線に平行な直線で区切られる大穴の補強に	mm
			有効な範囲	
		L <sub>N</sub>	主管の面に平行な直線で区切られる補強に有効な範	mm
			囲	
共		$L_{\rm ND}$	主管の面に平行な直線で区切られる大穴の補強に有	mm
/宝			効な範囲	
通	$\ell$	L s	2つの穴の中心間の距離	mm
記		L 1	管台のすみ肉部の脚長 (A形, B形) 又は管台補強	mm
			部の短辺長さ (C形) *	
号		L 2	強め材のすみ肉部の脚長*	mm
	Р, Ре	Р	最高使用圧力又は外面に受ける最高の圧力	MPa
管		Q <sub>b</sub>	管台の厚さの負の許容差	%, mm
  の	S	S <sub>b</sub>	最高使用温度における管台の材料の許容引張応力	MPa
			設計・建設規格 付録材料図表 Part5 表5によ	
穴			る。	MPa
と	S	S c	最高使用温度における強め材の材料の許容引張応力	
補			設計・建設規格 付録材料図表 Part5 表5によ	MPa
強			る。	MPa
計		S w 1	すみ肉溶接の許容せん断応力	MPa
算		S w 2	突合せ溶接の許容引張応力	mm
		S w 3	突合せ溶接の許容せん断応力	mm
	t n	t <sub>b</sub>	管台の最小厚さ	mm
		t <sub>b n</sub>	管台の公称厚さ	mm
	t n r	t br	管台の計算上必要な厚さ	N
		t e	強め材の最小厚さ	N
		W	溶接部の負うべき荷重	N
		W <sub>e</sub> 1	管台取付部すみ肉溶接部の許容せん断力	
		W e 2	管台取付部突合せ溶接部の許容せん断力	

注記 \*:設計・建設規格の図PPD-4000-4による。

	設計・建設 規格の記号	計算書の表示	表示内容	単位
共通記号		W e 3	管台取付部突合せ溶接部の許容せん断力	N
		W e 4	強め材取付部突合せ溶接部の許容引張力	N
		W <sub>e 5</sub>	強め材取付部すみ肉溶接部の許容せん断力	N
(管		W <sub>ebp1</sub>	予想される破断箇所の強さ	N
(管の穴と補強計算)		W <sub>ebp2</sub>	予想される破断箇所の強さ	N
		W <sub>ebp3</sub>	予想される破断箇所の強さ	N
	θ	α	分岐管の中心線と主管の中心線との交角	0
		π	円周率	_
		形式	管台の取付け形式	_

## (2) 計算手順及び算式

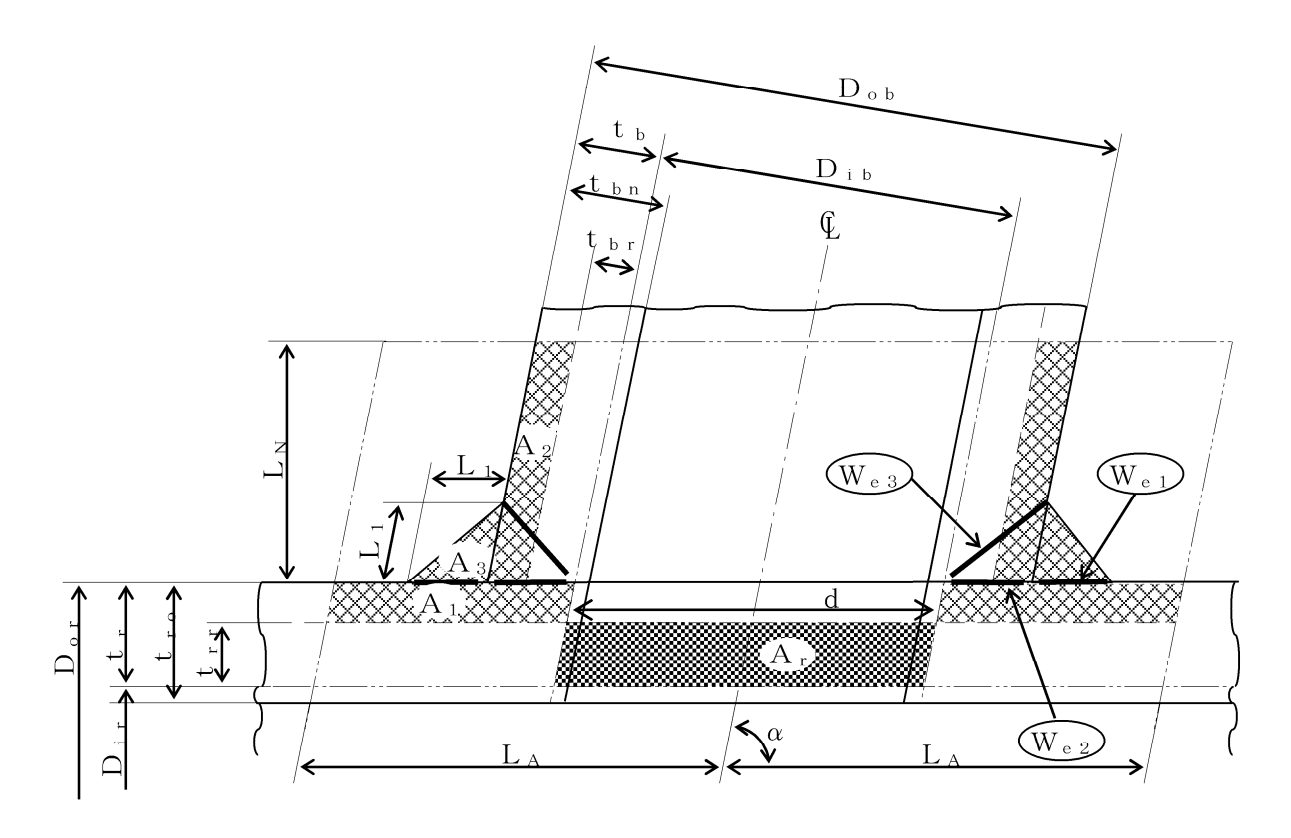
a. 穴の形状

管に設ける穴は、設計・建設規格 PPD-3421(2)により円形又はだ円形であること。

b. 管台の取付け形式

図2-1~図2-5に管台の取付け形式及び予想される破断形式を示す。

ただし, すみ肉溶接部分の破断箇所については, 両方の脚長が等しいため, 片側の脚 長の破断形式のみを図示する。



🔆 補強に有効な面積

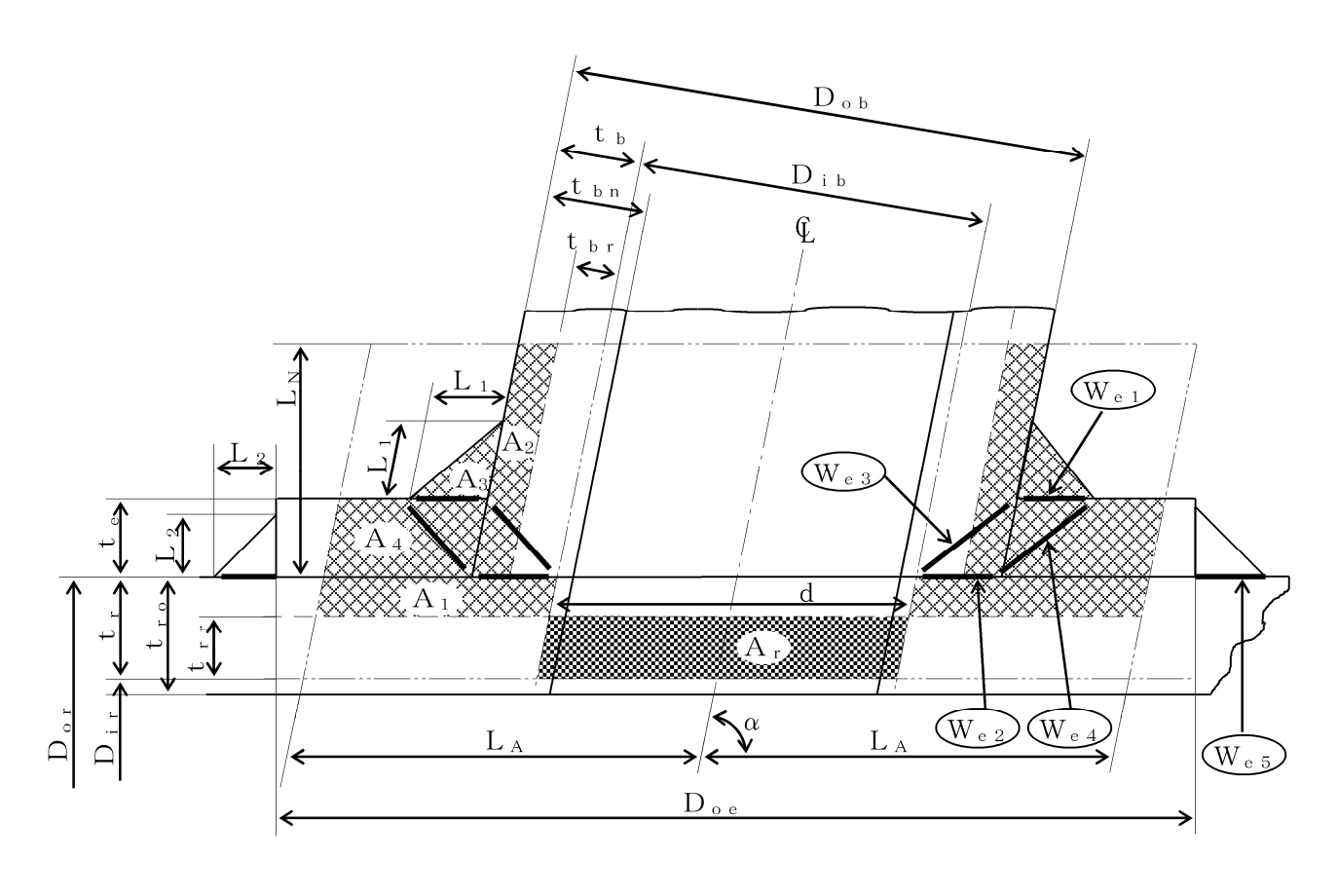
補強に必要な面積

予想される破断形式

・(W<sub>e3</sub>) を通る破断

· (W<sub>e 1</sub>) (W<sub>e 2</sub>) を通る破断

図2-1 A形(強め材のない場合)



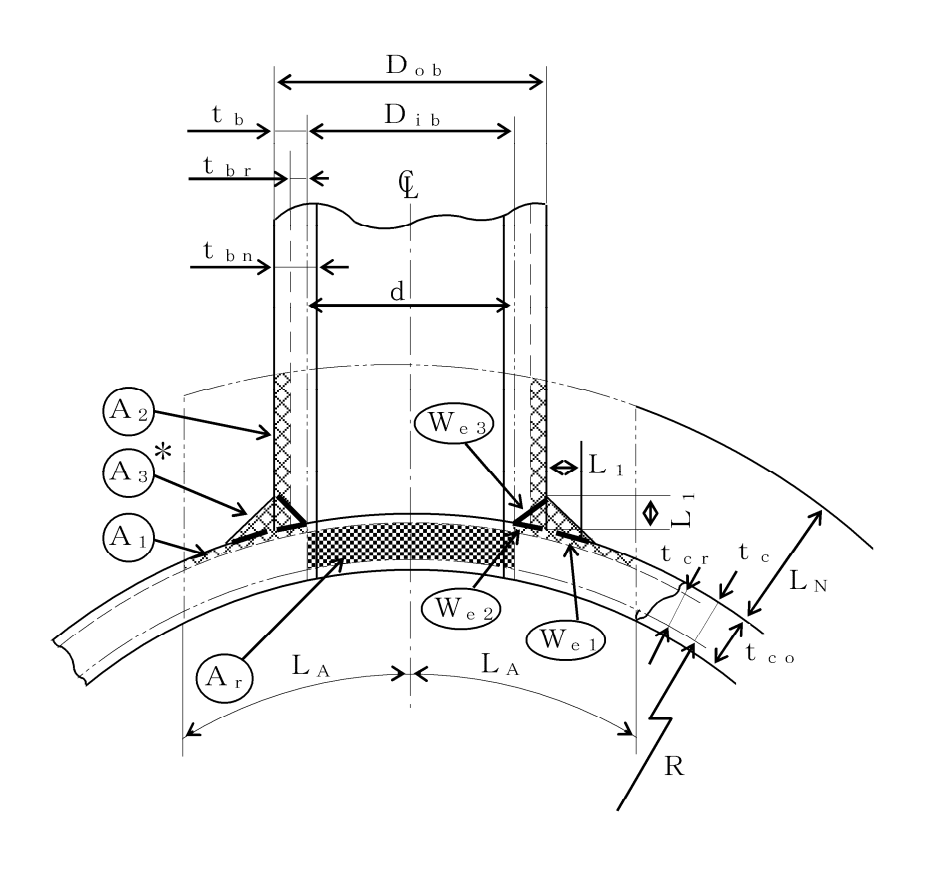
※※ 補強に有効な面積

補強に必要な面積

# 予想される破断形式

- ・ W<sub>e 1</sub> W<sub>e 3</sub> を通る破断
- ・ (W<sub>e 2</sub>) (W<sub>e 4</sub>) を通る破断
- ・ W<sub>e 2</sub> W<sub>e 5</sub> を通る破断

図2-2 B形 (強め材のある場合)



補強に有効な面積

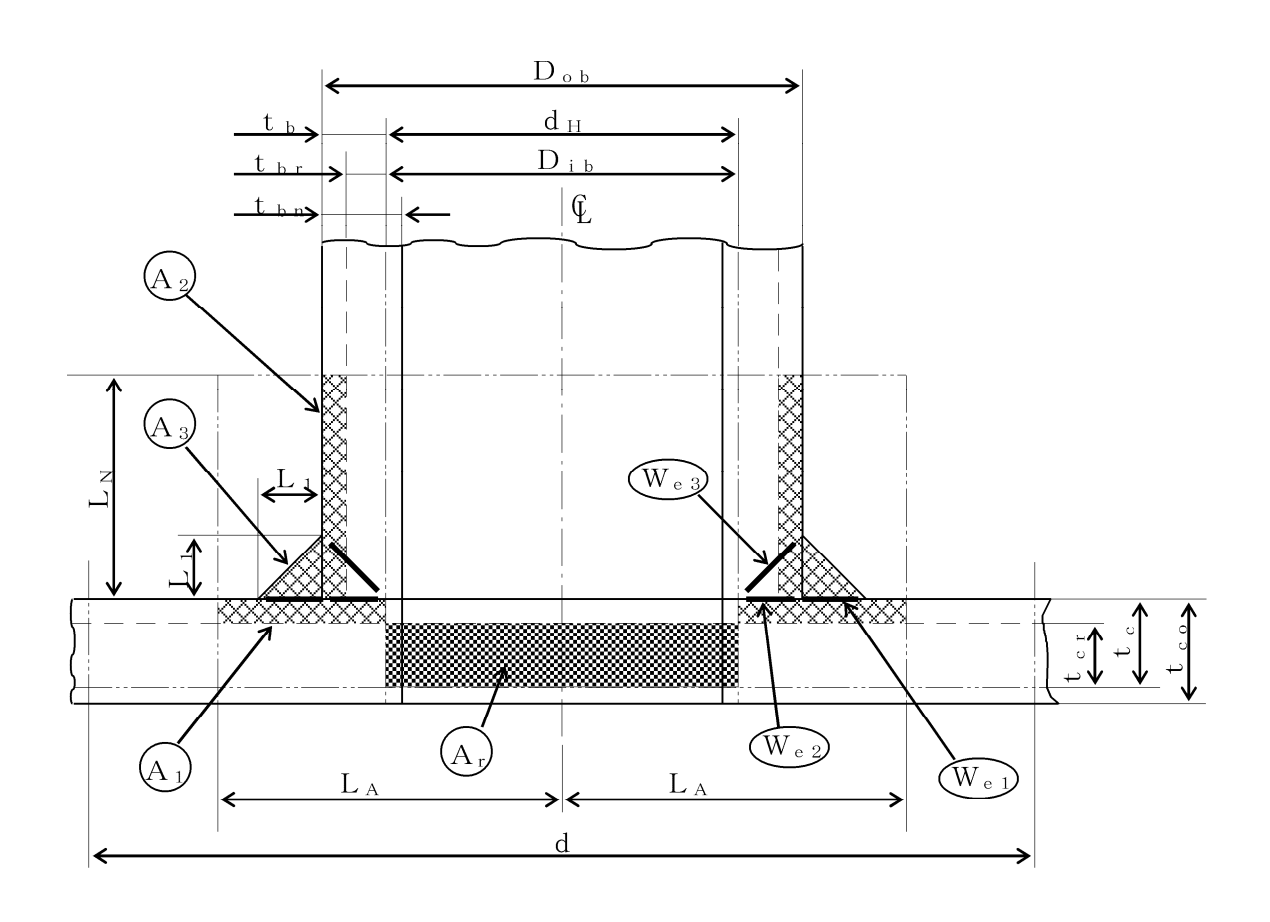
補強に必要な面積

予想される破断形式

- ・ W<sub>e 3</sub> を通る破断
- W<sub>e</sub>」 W<sub>e</sub>2 を通る破断

注記 \*: $A_3$ の面積で $(L_1)^2$ 以外の部分は, 補強面積計算上は考慮しない。

図2-3 A形 (鏡板で強め材のない場合)



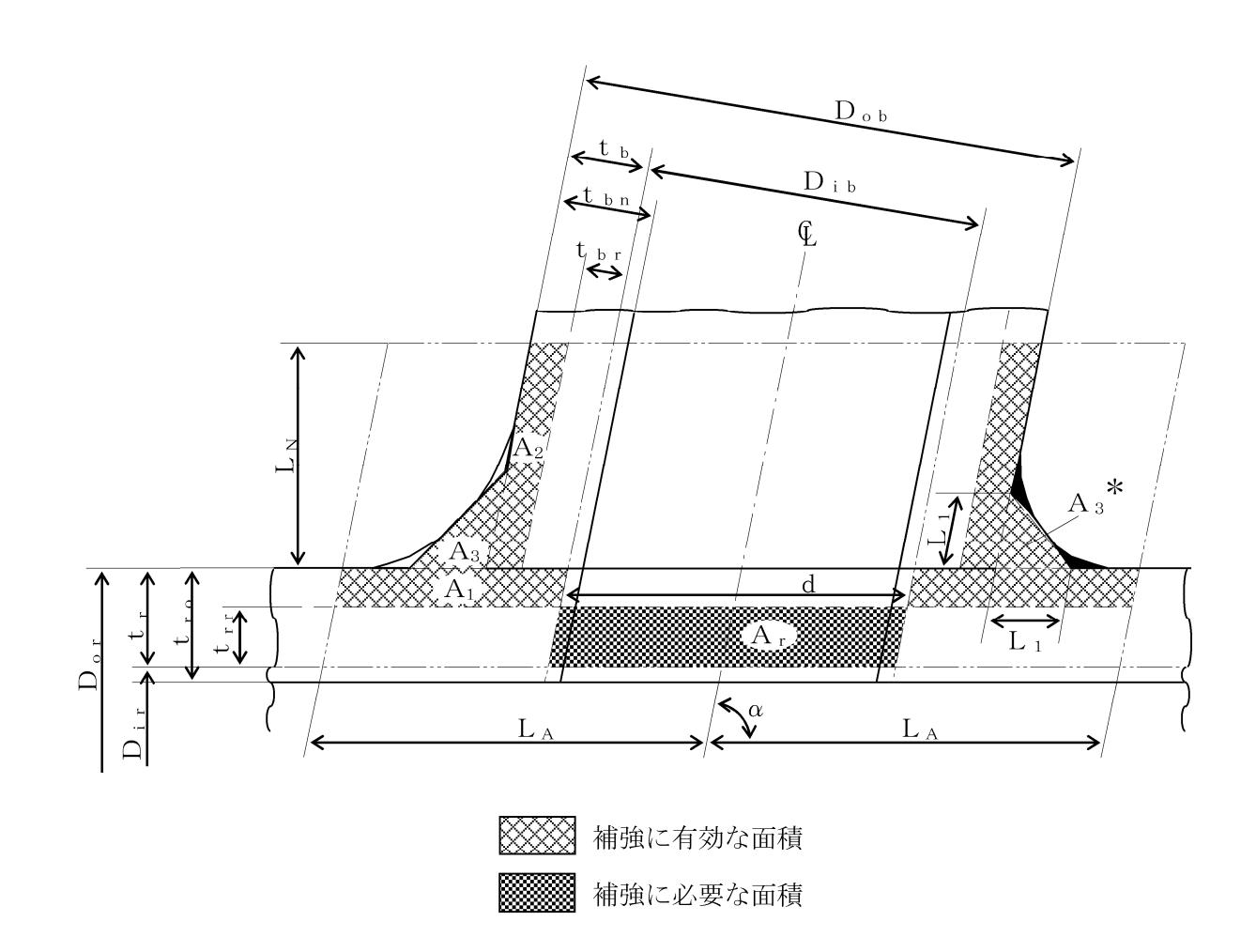
※※ 補強に有効な面積

補強に必要な面積

予想される破断形式

- W<sub>e3</sub> を通る破断
- ・ W<sub>e 1</sub> W<sub>e 2</sub> を通る破断

図2-4 A形 (平板で強め材のない場合)



注記 \*:本形式における補強に有効な面積 $A_3$ はA形及びB形と同様に $A_3 = (L_1)^2 \cdot \sin \alpha \cdot S_b / S_r$ (上記 部)として算出するものとし、同補強部外側の余肉部(上記 部)は、補強面積評価上は考慮しない。

図2-5 C形 (一体形で強め材のない場合)

c. 穴の補強の要否

穴の補強の要否は、設計・建設規格 PPD-3422を適用する。

(a) 算式

補強を要しない穴の最大径は、次のイ項又はロ項で計算した値のいずれか大きい値 (dfr) とする。

- イ. 平板以外の管に設ける穴であって、穴の径が61 mm以下で、かつ、管の内径の4分 の1以下の穴( $d_{r,1}$ )
- ロ. 平板以外の管に設ける穴であって、イ項に掲げるものを除き、穴の径が200 mm以下で、かつ、設計・建設規格の図PPD-3422-1及び図PPD-3422-2により求めた値以下の穴(d<sub>r2</sub>)

直管又は曲げ管の場合

d r 2=8.05 • 
$$\sqrt[3]{D \circ r} \cdot t \cdot r \cdot (1-K)$$

鏡板の場合

$$d r_2 = 8.05 \cdot \sqrt[3]{D_0 \cdot t_c \cdot (1 - K)}$$

ただし、Kの値は次の算式による。

(イ) 直管又は曲げ管の場合

$$K = \frac{P \cdot D_{or}}{1.82 \cdot S_{r} \cdot \eta \cdot t_{r}}$$

(ロ) さら形鏡板又は半だ円形鏡板の場合

$$K = \frac{P \cdot D_{\circ}}{1.82 \cdot S \cdot \eta \cdot t_{\circ}}$$

(ハ) 全半球形鏡板の場合

$$K = \frac{P \cdot D_{\circ}}{3.64 \cdot S \cdot \eta \cdot t_{\circ}}$$

ただし、K>0.99の場合はK=0.99とする。

- ハ. 平板に穴を設ける場合であって、平板の最小厚さ(t。)が次の式により計算した値以上のもの
  - (イ) 穴の径が平板の径又は最小内のりであるdの値の2分の1以下の場合

$$t = d \cdot \sqrt{\frac{2 \cdot K \cdot P}{S}}$$

ただし、Kの値は設計・建設規格 PPD-3413の表PPD-3413-1中で(m)の取付け 方法を除き、0.375以上とすることを要しない。

(ロ) 穴の径が平板の径又は最小内のりであるdの値の2分の1を超える場合

$$t = d \cdot \sqrt{\frac{2.25 \cdot K \cdot P}{S}}$$

#### (b) 評価

補強を要しない穴の最大径( $d_{fr}$ )  $\geq$ 断面に現われる穴の径(d)又は平板の最小厚さ( $t_c$ )  $\geq$ 補強を要しない平板の計算上必要な厚さ(t)ならば,穴の補強計算及び溶接部の強度計算は必要ない。

必要な場合は、d項以降による。

d. 穴の補強に有効な範囲

穴の補強に有効な範囲は、設計・建設規格 PPD-3424(1)a. を適用する。

ただし、構造上計算した有効範囲が取れない場合は、構造上取り得る範囲とする。

- (a) 穴の中心線に平行な直線で区切られる補強に有効な範囲 ( $L_A$ ) は、次の2つの式 より計算したいずれか大きい方の値
- イ. 直管又は曲げ管の場合

$$L_A = d \qquad X l t \quad L_A = \frac{d}{2} + t_r + t_b$$

ロ. 鏡板の場合

$$L_A = d$$
  $X = \frac{d}{2} + t_c + t_b$ 

ハ. 平板の場合

- (b) 主管の面に平行な直線で区切られる補強に有効な範囲( $L_N$ )は、次の2つの式より計算したいずれか小さい方の値
- イ. 直管又は曲げ管の場合

$$L_N=2.5 \cdot t_r$$
 又は  $L_N=2.5 \cdot t_b+t_e$ 

ロ. 鏡板の場合

$$L_N=2.5 \cdot t_c$$
 又は  $L_N=2.5 \cdot t_b$ 

ハ. 平板の場合

$$L_N=2.5 \cdot t_c \quad Xl$$
  $L_N=2.5 \cdot t_b$ 

e. 主管の厚さの計算

主管の計算上必要な厚さ (t<sub>rr</sub>又はt<sub>cr</sub>)は,設計・建設規格 PPD-3424(1)b.(a)を適用する。

(a) 直管又は曲げ管の場合

$$t_{rr} = \frac{P \cdot D_{or}}{2 \cdot S_{r} \cdot \eta + 0.8 \cdot P} \qquad (内圧)$$

ただし、
$$\eta = 1.00$$
  

$$t_{rr} = \frac{3 \cdot P \cdot D_{or}}{4 \cdot B}$$
 (外圧)

- (b) 鏡板の場合
- イ. さら形鏡板

$$t_{cr} = \frac{P \cdot R \cdot W}{2 \cdot S \cdot \eta - 0.2 \cdot P}$$
 (中低面)

ただし、W=1.00及び $\eta$ =1.00

$$t_{cr} = \frac{P \cdot (R + t_c)}{B}$$
 (中高面)

ロ. 半だ円形鏡板

$$t_{cr} = \frac{P \cdot K_1 \cdot D}{2 \cdot S \cdot \eta - 0.2 \cdot P} \qquad \dots \qquad (中低面)$$

$$t_{cr} = \frac{P \cdot K_K \cdot (D+2 \cdot t_c)}{B}$$
 (中高面)

ハ. 全半球形鏡板

$$t_{cr} = \frac{P \cdot R}{2 \cdot S \cdot \eta - 0.2 \cdot P}$$
 (中低面)

$$t_{cr} = \frac{P \cdot (R + t_c)}{B}$$
 (中高面)

(c) 平板の場合

$$t_{cr} = d \cdot \sqrt{\frac{K \cdot P}{S}}$$

f. 管台の厚さの計算

管台の計算上必要な厚さ (tbr) は、設計・建設規格 PPD-3424(1)b. (b)を適用する。

$$t_{br} = \frac{P \cdot D_{ib}}{2 \cdot S_{b} - 1.2 \cdot P} \qquad ($$
 内 圧 )

$$t_{br} = \frac{3 \cdot P \cdot D_{ob}}{4 \cdot B} \qquad (A E)$$

g. 穴の補強計算

穴の補強計算は、設計・建設規格 PPD-3424(1)を適用する。

- (a) 算式
- イ. 補強に必要な面積
  - (イ) 直管又は曲げ管の場合

$$A_r = 1.07 \cdot d \cdot t_{rr} \cdot (2 - \sin \alpha)$$

(ロ) 鏡板の場合

$$A r = d \cdot t c r$$

(ハ) 平板の場合

$$A r = 0.5 \cdot d H \cdot t cr$$

#### ロ. 補強に有効な面積

(イ) 直管又は曲げ管の場合

$$A_1 = (\eta \cdot t r - F \cdot t r r) \cdot (2 \cdot L_A - d)$$
 $A_2 = 2 \cdot (t b - t b r) \cdot coseca \cdot L_N \cdot \frac{S b}{S r}$ 
 $A_3 = (L_1)^2 \cdot sina \cdot \frac{S b}{S r}$ 
 $A_4 = (D_0 e - D_0 b \cdot coseca) \cdot t e \cdot \frac{S e}{S r} + (L_2)^2 \cdot \frac{S e}{S r}$ 
(強め材が有効範囲  $L_A$ 内にある場合)
 $A_4 = (2 \cdot L_A - D_0 b \cdot coseca) \cdot t e \cdot \frac{S e}{S r}$ 

(強め材が有効範囲 LAの外まである場合)

$$A_0 = A_1 + A_2 + A_3 + A_4$$

(ロ) 鏡板の場合

$$A_{1} = (\eta \cdot t \cdot c - F \cdot t \cdot r) \cdot (2 \cdot L_{A} - d)$$

$$A_{2} = 2 \cdot (t \cdot b - t \cdot b \cdot r) \cdot L_{N} \cdot \frac{S \cdot b}{S}$$

$$A_{3} = (L_{1})^{2} \cdot \frac{S \cdot b}{S}$$

$$A_0 = A_1 + A_2 + A_3$$

(ハ) 平板の場合

$$A_{1} = (\eta \cdot t \cdot c - F \cdot t \cdot c \cdot r) \cdot (2 \cdot L_{A} - d_{H})$$

$$A_{2} = 2 \cdot (t \cdot b - t \cdot b \cdot r) \cdot L_{N} \cdot \frac{S \cdot b}{S}$$

$$A_{3} = (L_{1})^{2} \cdot \frac{S \cdot b}{S}$$

$$A_0 = A_1 + A_2 + A_3$$

(b) 評価

穴の補強に有効な面積( $A_0$ )>穴の補強に必要な面積( $A_r$ )ならば穴の補強は十分である。

h. 大穴の補強の要否

大穴の補強の要否は、設計・建設規格 PPD-3424(4)を適用する。

(a) 算式

大穴の補強を要しない限界径(dfrD)

イ. D<sub>ir</sub>が1500 mm以下の場合

$$d_{frD} = D_{ir}/2$$

ただし,500 mmを超える場合500 mmとする。

ロ. D<sub>ir</sub>が1500 mmを超える場合

$$d_{frD} = D_{ir}/3$$

ただし, 1000 mmを超える場合1000 mmとする。

(b) 評価

大穴の補強を要しない限界径( $d_{frD}$ )  $\geq$ 断面に現われる穴の径(d)ならば大穴の補強計算は必要ない。

必要な場合は, i 項以降による。

i. 大穴の補強に有効な範囲

大穴の補強に有効な範囲は、設計・建設規格 PPD-3424(4)を適用する。 ただし、構造上計算した有効範囲が取れない場合は、構造上取り得る範囲とする。

(a) 大穴の補強における管台の取付け形式

図2-6~図2-10に大穴の補強における管台の取付け形式を示す。

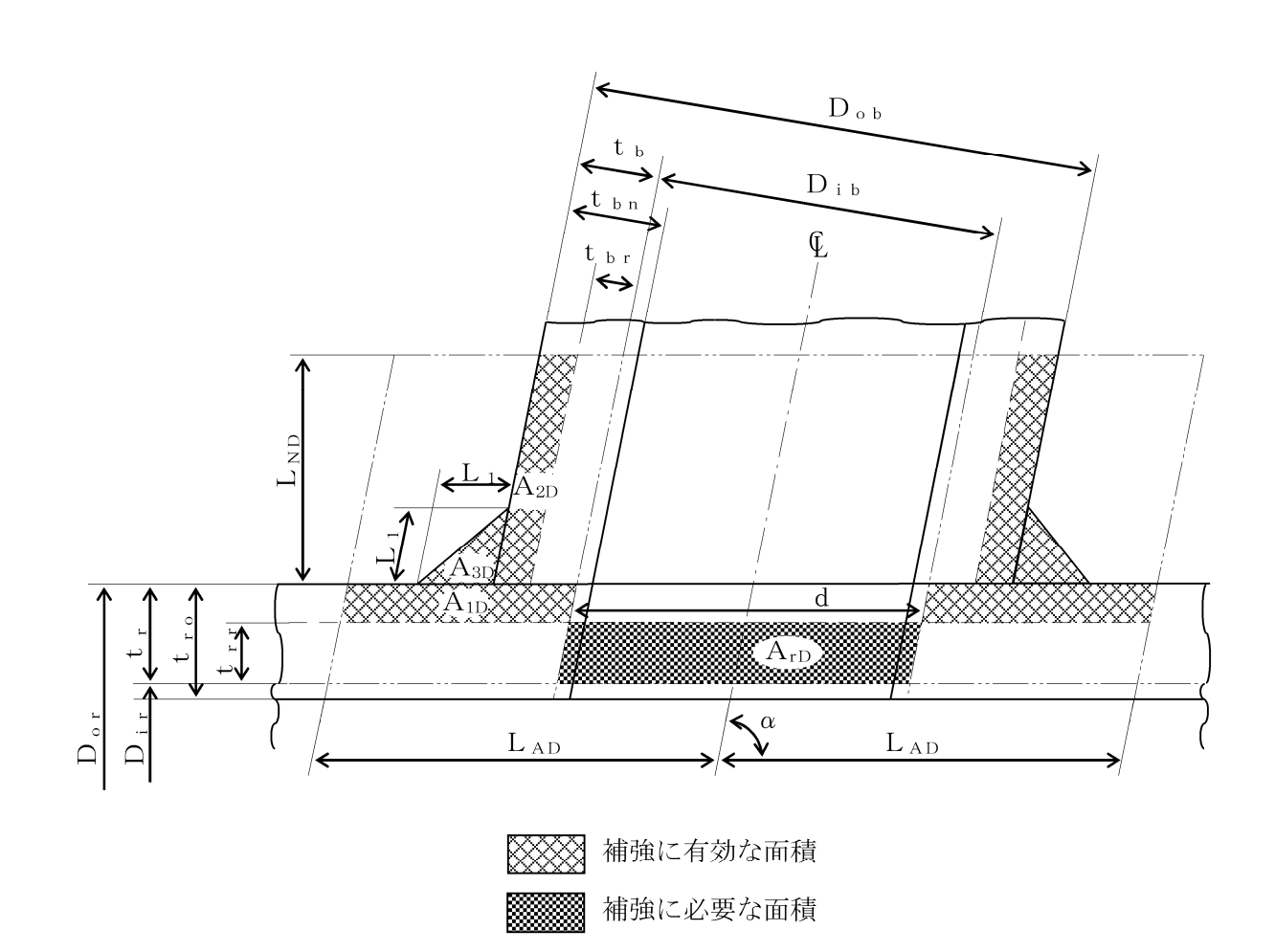
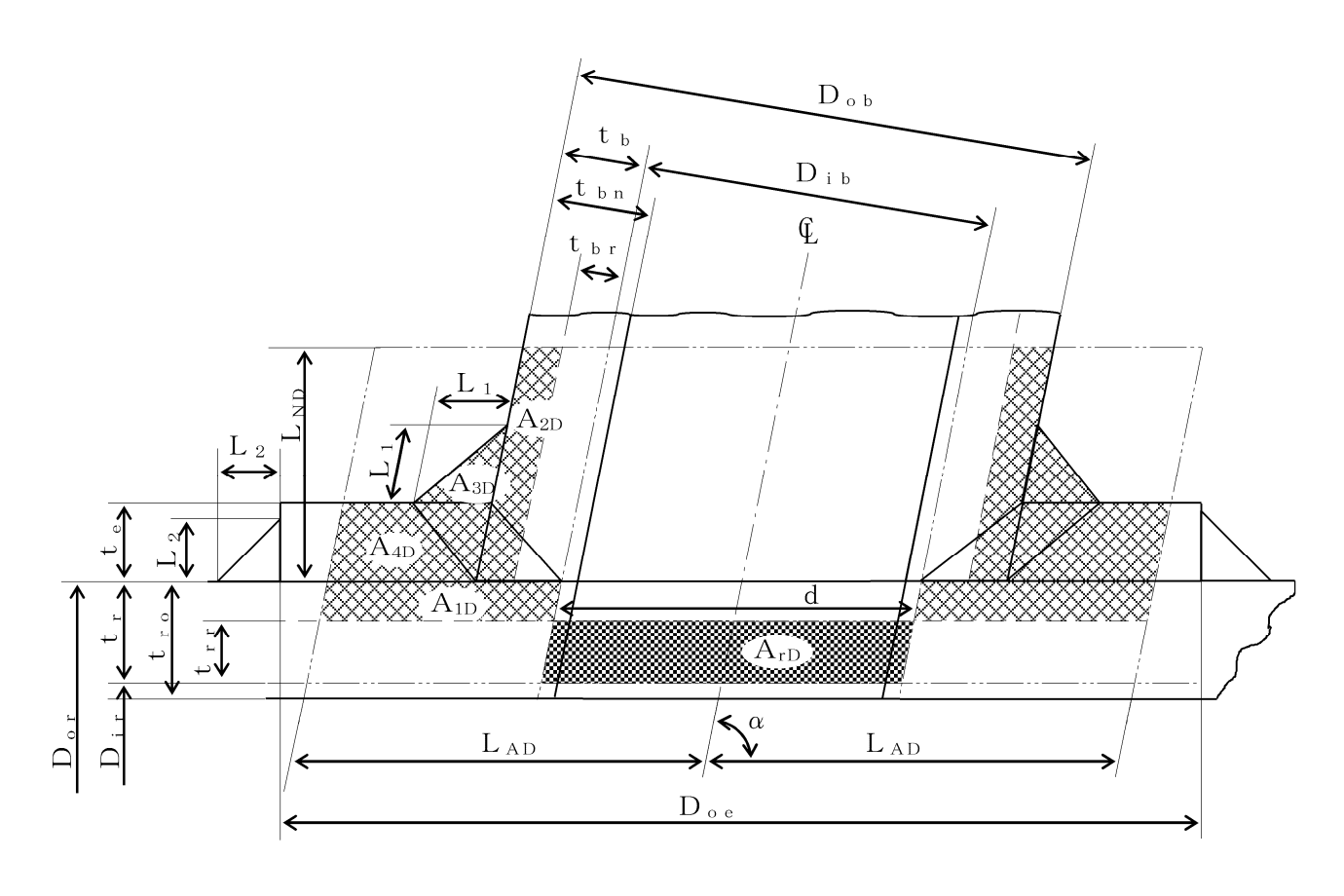


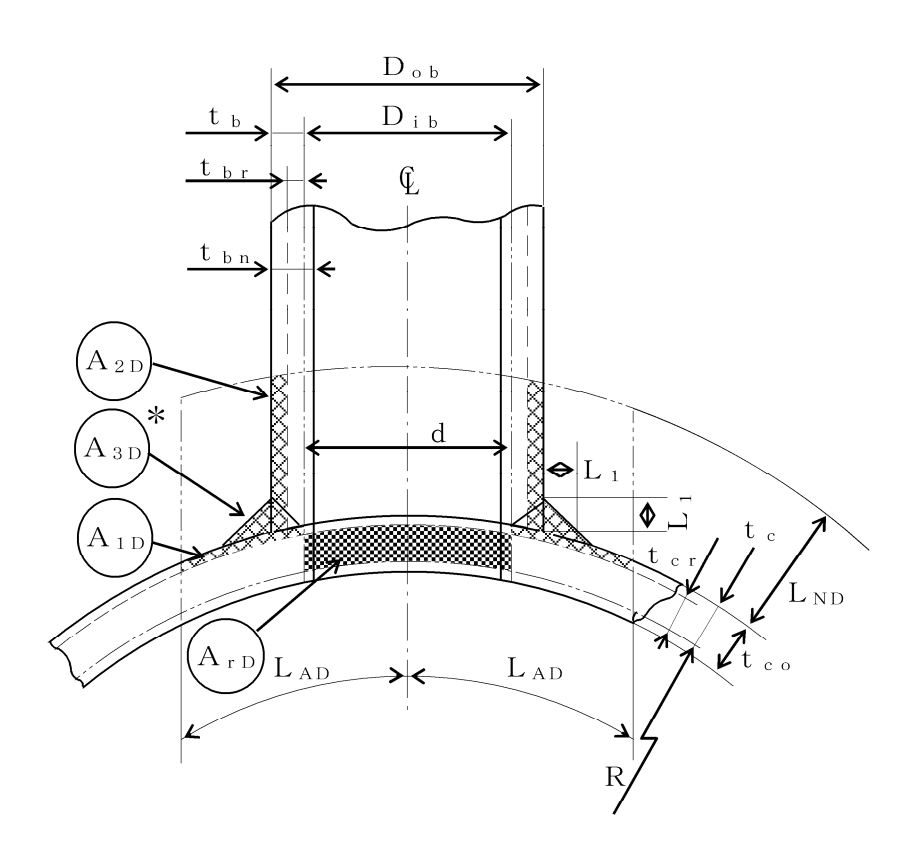
図2-6 A形 (強め材のない場合)



補強に有効な面積

補強に必要な面積

図2-7 B形 (強め材のある場合)

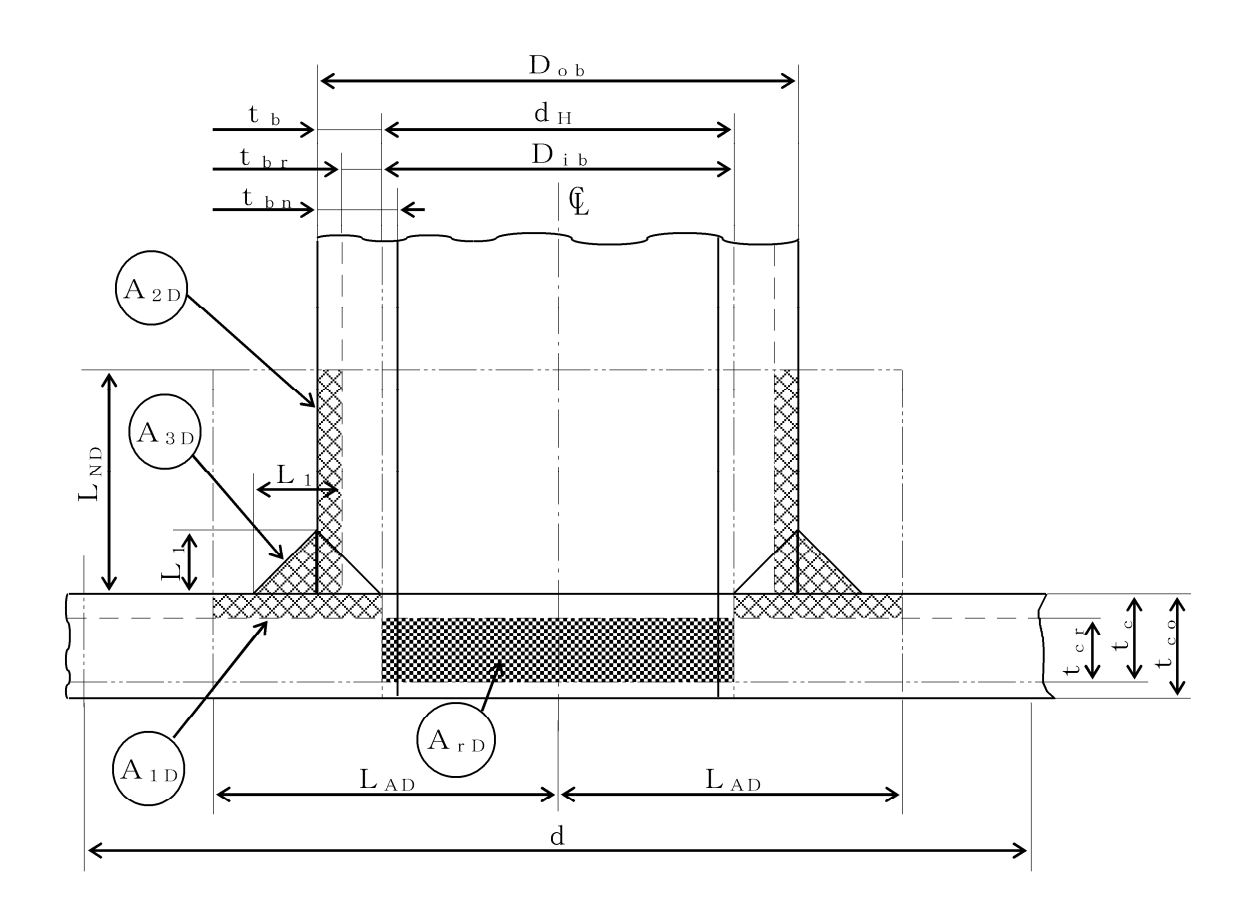


※※ 補強に有効な面積

補強に必要な面積

注記  $*: A_{3D}$ の面積で $(L_1)^2$ 以外の部分は, 補強面積評価上は考慮しない。

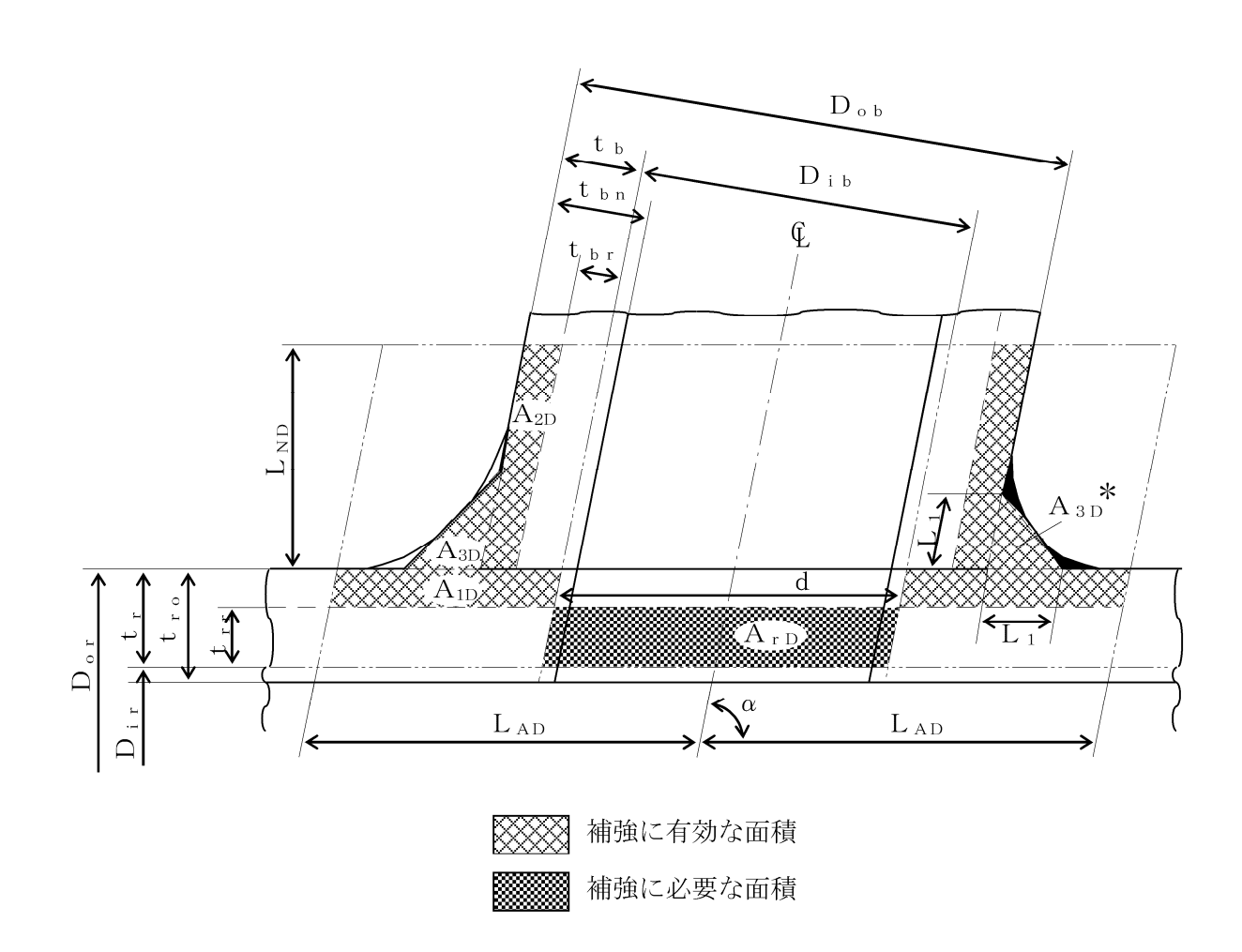
図2-8 A形 (鏡板で強め材のない場合)



補強に有効な面積

補強に必要な面積

図2-9 A形 (平板で強め材のない場合)



注記 \*:本形式における補強に有効な面積 $A_{3D}$ はA形及びB形と同様に  $A_{3D}$ = $(L_1)^2 \cdot \sin \alpha \cdot S_b / S_r$  (上記 部) として算出 するものとし、同補強部外側の余肉部 (上記 部) は、補強 面積評価上は考慮しない。

図2-10 C形 (一体形で強め材のない場合)

(b) 穴の中心線に平行な直線で区切られる大穴の補強に有効な範囲

$$L_{AD} = \frac{d}{2} + \frac{d}{4}$$

(c) 主管の面に平行な直線で区切られる大穴の補強に有効な範囲

$$L_{ND} = L_N$$

j. 大穴の補強計算

大穴の補強計算は、設計・建設規格 PPD-3424(4)を適用する。

- (a) 算式
- イ. 大穴の補強に必要な面積

$$A r D = \frac{2}{3} \cdot A r$$

ロ. 大穴の補強に有効な面積

$$A_{1D} = (\eta \cdot t_r - F \cdot t_{rr}) \cdot (2 \cdot L_{AD} - d)$$

$$A_{2D} = A_{2}$$

(管台の外径が有効範囲 L AD内にある場合)

$$A_{2D}=2\cdot\left(\frac{d}{4}-t_{br}\cdot cosec\alpha\right)\cdot L_{ND}\cdot\frac{S_{b}}{S_{r}}$$

(管台の外径が有効範囲 LADの外まである場合)

$$A_{3D} = A_{3}$$

(すみ肉部の脚長が有効範囲 LAD内にある場合)

$$A_{3D} = 0$$

(すみ肉部の脚長が有効範囲 LADの外まである場合)

$$A_{4D} = A_{4}$$

(強め材が有効範囲 LAD内にある場合)

$$A_{4D} = \left(3 \cdot \frac{d}{2} - D_{ob} \cdot \csc \alpha\right) \cdot t_{e} \cdot \frac{S_{e}}{S_{r}}$$

(強め材が有効範囲 LADの外まである場合)

$$A_{0D} = A_{1D} + A_{2D} + A_{3D} + A_{4D}$$

(b) 評価

大穴の補強に有効な面積( $A_{0D}$ ) $\geq$ 大穴の補強に必要な面積( $A_{rD}$ )ならば大穴の補強は十分である。

#### k. 2つ穴の補強計算

2つ以上の穴の補強に有効な範囲が重なり合う場合の補強計算は、設計・建設規格 PPD-3424(2)a., b.及びc.を適用する。

以下, 直管の2つ穴の計算方法を示す。

- (a) 算式
- イ. 2つの穴の間にある主管の必要な断面積

$$A_{sr} = 0.7 \cdot L_s \cdot t_{rr} \cdot F$$

ロ. 2つの穴の間にある主管の断面積

$$A_{so} = \left(L_{s} - \frac{d + d_{D}}{2}\right) \cdot t_{r}$$

(b) 算式

2つの穴の径の平均値の1.5倍の値

$$L = 1.5 \cdot \left( \frac{d + dD}{2} \right)$$

- (c) 算式
- イ. 2つの穴の補強に必要な面積の2分の1

$$A_{r i} = \frac{A_r + A_{r s}}{2}$$

Ar及びArsは1つの穴の計算に準じる。

ロ. 2つの穴の間にある補強に有効な面積

$$A_{oi} = \left(L_{s} - \frac{d + d_{D}}{2}\right) \cdot (t_{r} - t_{rr}) + \frac{A_{2} + A_{2s}}{2} + \frac{A_{3} + A_{3s}}{2} + \frac{A_{4} + A_{4s}}{2}$$

A<sub>2</sub>, A<sub>2s</sub>, A<sub>3</sub>, A<sub>3s</sub>, A<sub>4</sub>及びA<sub>4s</sub>は, 1つの穴の計算に準じる。

(d) 評価

穴の補強は,以下の条件を満足すれば十分である。

- イ. 2つの穴の間にある主管の断面積( $A_{so}$ ) $\geq$ 2つの穴の間にある主管の必要な断面 積( $A_{sr}$ )
- ロ. 2つの穴の間にある補強に有効な面積( $A_{oi}$ ) $\geq$ 2つの穴の補強に必要な面積の2分の1( $A_{ri}$ )
- ハ. 2つの穴の中心間の距離 (L<sub>s</sub>) ≥2つの穴の径の平均値の1.5倍 (L)

## 1. 溶接部の強度計算

溶接部の強度計算は、設計・建設規格 PPD-3424(8)及び(9)を適用する。 ただし、C形に関しては評価すべき溶接部がないため、強度計算は行わない。

- (a) 算式
- イ. 溶接部の負うべき荷重
  - (イ) 直管又は曲げ管の場合

$$W = d \cdot t r r \cdot S r - (\eta \cdot t r - F \cdot t r r) \cdot (2 \cdot L_A - d) \cdot S r$$

(ロ) 鏡板の場合

$$W = d \cdot t \cdot c \cdot S - (\eta \cdot t \cdot c - F \cdot t \cdot c \cdot r) \cdot (2 \cdot L \cdot A - d) \cdot S$$

(ハ) 平板の場合

$$W = d_H \cdot t_{cr} \cdot S - (\eta \cdot t_{c} - F \cdot t_{cr}) \cdot (2 \cdot L_A - d_H) \cdot S$$

- ロ. 溶接部の許容応力
- (イ) 直管又は曲げ管の場合

$$Sw_1 = S_r \cdot F_1$$
  
$$Sw_2 = S_r \cdot F_2$$

$$Sw_3 = Sr \cdot F_3$$

(ロ) 鏡板又は平板の場合

$$Sw_1 = S \cdot F_1$$
  
 $Sw_2 = S \cdot F_2$ 

$$Sw_3 = S \cdot F_3$$

- ハ. 溶接部の破断強さ
- (イ) 直管又は曲げ管の場合

$$W_{c1} = \pi \cdot \left(\frac{d}{2} + t \cdot b \cdot \csc \alpha\right) \cdot L_1 \cdot S_{W1}$$

$$W_{e2} = \pi \cdot d \cdot t \cdot b \cdot S_{W3} \cdot \csc \alpha / 2$$

$$W_{e3} = \pi \cdot d \cdot t \cdot b \cdot S_{W3} \cdot \csc \alpha / 2$$

$$W_{e4} = \pi \cdot \left(\frac{d}{2} + t \cdot b \cdot \csc \alpha\right) \cdot t \cdot e \cdot S_{W2}$$

$$W_{e5} = \pi \cdot D_{e} \cdot L_2 \cdot S_{W1} / 2$$

(ロ) 鏡板の場合

$$W_{e 1} = \pi \cdot \left(\frac{d}{2} + t b\right) \cdot L_{1} \cdot S_{W1}$$

$$W_{e 2} = \pi \cdot d \cdot t b \cdot S_{W3} / 2$$

$$W_{e 3} = \pi \cdot d \cdot t b \cdot S_{W3} / 2$$

(ハ) 平板の場合

$$W_{e 1} = \pi \cdot \left(\frac{d_{H}}{2} + t_{b}\right) \cdot L_{1} \cdot S_{W1}$$

$$W_{e 2} = \pi \cdot d_{H} \cdot t_{b} \cdot S_{W3} / 2$$

$$W_{e 3} = \pi \cdot d_{H} \cdot t_{b} \cdot S_{W3} / 2$$

- ニ. 予想される破断箇所の強さ
- (イ) A形の管台形式の場合

(ロ) B形の管台形式の場合

- (b) 評価
- イ. 溶接部の負うべき荷重 (W) が0以下の場合 溶接部の強度は十分とみなし、溶接部の強度計算は行わない。
- □. 溶接部の負うべき荷重(W)が0を超える場合
   溶接部の負うべき荷重(W)≦予想される破断箇所の強さ(Webpi, Webp2, Webp3)ならば溶接部の強度は十分である。
- (3) 補足
  - a. 穴の補強計算,大穴の補強計算及び2つ穴の補強計算において面積の計算をする際,  $\frac{S\,b}{S\,r}$  ,  $\frac{S\,b}{S}$  又は  $\frac{S\,e}{S\,r}$  が1を超える場合は,値を1として計算する。
  - b. 断面が長手軸となす角度により求めた係数Fは、1として計算する。
  - c. 鏡板及び平板の補強計算は、本計算方法では取付け角度が90°で1つ穴のものについての計算方法を示す。

# 2.7 フランジの強度計算

フランジの強度計算は、設計・建設規格 PPD-3414を適用する。 計算は、JIS B 8265 附属書3を適用する。

# (1) 記号の説明

設計・建設 規格又は JISの記号	計算書の表示	表示内容	単位
A	A	フランジの外径	mm
A <sub>b</sub>	A <sub>b</sub>	実際に使用するボルトの総有効断面積	$mm^2$
$A_{\mathrm{m}}$	$A_{\rm m}$	ボルトの総有効断面積	$mm^2$
A <sub>m 1</sub>	A <sub>m 1</sub>	使用状態でのボルトの総有効断面積	$mm^2$
$A_{m2}$	A <sub>m2</sub>	ガスケット締付時のボルトの総有効断面積	$mm^2$
B	B	フランジの内径	mm
В 1	В 1	B + g <sub>0</sub> (f ≥1のときの一体形フランジの場合)	mm
D 1	D 1	B+g1(ルーズ形フランジ(差込み形フラン)	111111
		ジ)及び一体形フランジでfの最小採用値は1で	
		あるが、JIS B 8265 附属書3 図4	
		より求まる f が1未満となる場合)	
b	b	ガスケット座の有効幅	mm
b o	b o	ガスケット座の基本幅(JIS B 8265	mm
<i>D</i> 0	D 0		111111
С	С	ボルト穴の中心円の直径	mm
d	d	係数	mm <sup>3</sup>
u	u	$\left(=\frac{U}{V}\cdot h_{o}\cdot g_{o}^{2}(-$ 体形フランジの場合) $\left(=\frac{U}{V_{L}}\cdot h_{o}\cdot g_{o}^{2}($ ルーズ形フランジ(差込み形フランジ)の場合)	шп
dь	d <sub>b</sub>	  ボルトのねじ部の谷の径と軸部の径の最小部の	mm
_	_	小さい方の径	
	d i	穴あきボルトの内径	mm
e	e	係数	${\rm mm}^{-1}$
		$\left(=rac{F}{h_{0}}(-$ 体形フランジの場合) $ \left(=rac{F_{L}}{h_{0}}( u-x型フランジ) \left( \frac{E込み型フランジ}{n} \right) $	
F	F	一体形フランジの係数 (JIS B 8265 附属書3 図5又は表4による。)	_

設計・建設 規格又は JISの記号	計算書の表示	表示内容	単位
F <sub>L</sub>	$F_{L}$	ルーズ形フランジの係数(JIS B 826 5 附属書3 図6又は表4による。)	_
f	f	ハブ応力修正係数 (JIS B 8265 附 属書3 図4又は表4による。)	_
G	G	ガスケット反力円の直径	mm
	G s	ガスケット接触面の外径	mm
g o	g 0	ハブ先端の厚さ	mm
<b>g</b> 1	g <sub>1</sub>	フランジ背面のハブの厚さ	mm
Н	Н	圧力によってフランジに加わる全荷重	N
$H_D$	Ηъ	圧力によってフランジの内径面に加わる荷重	N
HG, H <sub>G</sub>	$H_{G}$	ガスケット荷重	N
НР	НР	気密を十分に保つためにガスケット又は継手接 触面に加える圧縮力	N
Н⊤	Н⊤	圧力によってフランジに加わる全荷重とフラン ジの内径面に加わる荷重との差	N
h	h	ハブの長さ	mm
h <sub>D</sub>	h <sub>D</sub>	ボルト穴の中心円からH <sub>D</sub> 作用点までの半径方 向の距離	mm
h <sub>G</sub>	h G	ボルト穴の中心円からH <sub>G</sub> 作用点までの半径方 向の距離	mm
h o	h o	$\sqrt{\mathrm{B} \cdot \mathrm{g}_0}$	mm
h <sub>T</sub>	h т	ボルト穴の中心円からHェ作用点までの半径方 向の距離	mm
K	K	フランジの内外径の比	_
L	L		_
$ m M_D$	$ m M_D$	内圧によってフランジの内径面に加わるモーメ ント	N•mm
$ m M_{G}$	$ m M_G$	ガスケット荷重によるモーメント	N•mm
$M_{ m  g}$	$M_{\mathrm{g}}$	ガスケット締付時にフランジに作用するモーメント	N•mm
$M_0$	Мо	使用状態でフランジに作用するモーメント	N•mm
$M_{\mathrm{T}}$	$ m M_{T}$	内圧によってフランジに加わる全荷重とフラン ジの内径面に加わる荷重との差によるモーメン	N•mm
		<b>}</b>	

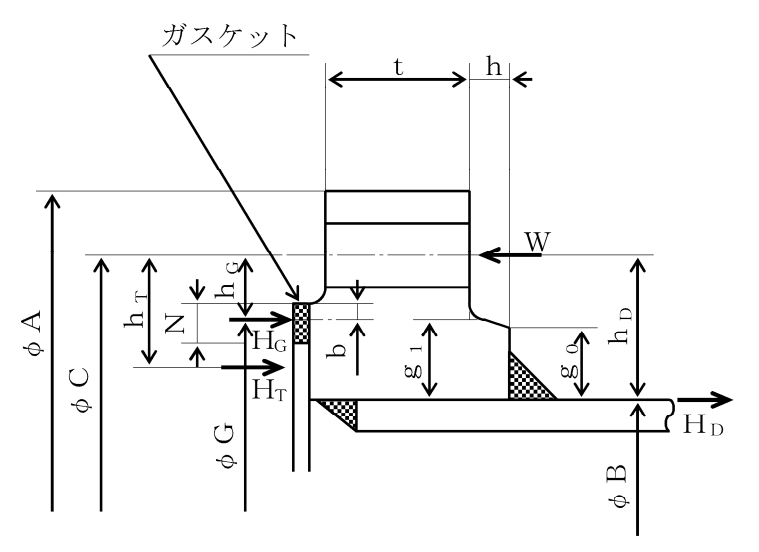
設計・建設 規格又は	計算書の表示	表示内容	単位
JISの記号			
m	m g	ガスケット係数(JIS B 8265 附属	_
		書3 表2による。)	
N	N	ガスケットの接触面の幅(JIS B 826	mm
		5 附属書3 表3による。)	
n	n	ボルトの本数	_
M	M <sub>e</sub>	フランジに作用するモーメント	N•mm
$P_{FD}$	Р	設計圧力	MPa
		   応力計算に用いる設計圧力は最高使用圧力又は	
		   外面に受ける最高の圧力にP。qを加えたもので	
		ある。	
P <sub>eq</sub>	P e q	  管の自重及びその他の機械的荷重によりフラン	MPa
		   ジに作用する曲げモーメントを圧力に換算した	
		値	
		$P e q = \frac{16 \cdot M e}{\pi \cdot G^3}$	
	Ро	最高使用圧力(内圧)	MPa
R	R	ボルトの中心円からハブとフランジ背面との交	mm
		点までの半径方向の距離	
Т	Т	$K = \left(\frac{A}{B}\right)$ の値によって定まる係数(JIS B	_
		8265 附属書3 図7による。)	
t	t	フランジの厚さ	mm
U	U	$K = \left(\frac{A}{B}\right)$ の値によって定まる係数(JIS B	_
		8265 附属書3 図7による。)	
V	V	一体形フランジの係数 (JIS B 8265	_
		附属書3 図8又は表4による。)	
$V_{L}$	V <sub>L</sub>	ルーズ形フランジの係数(JIS B 826	_
		5 附属書3 図9又は表4による。)	
W, W <sub>g</sub>	$W_{\mathrm{g}}$	ガスケット締付時のボルト荷重	N
$\mathrm{W}_{\mathrm{m}\;1}$	$W_{m 1}$	使用状態での必要な最小ボルト荷重	N
$W_{m2}$	$W_{m2}$	ガスケット締付時に必要な最小ボルト荷重	N
$W_0$	$ m W_{o}$	使用状態でのボルト荷重	N
Y	Y	$K = \left(\frac{A}{B}\right)$ の値によって定まる係数(JIS $B$	_
		8265 附属書3 図7による。)	

設計・建設			
規格又は	計算書の表示	表示内容	単位
JISの記号			
У	У	ガスケットの最小設計締付圧力	$\mathrm{N/mm}^2$
		(JIS B 8265 附属書3 表2によ	
		る。)	
Z	Z	$K = \left(\frac{A}{B}\right)$ の値によって定まる係数(JIS B	_
		8265 附属書3 図7による。)	
π	π	円周率	_
σа	σа	常温におけるボルト材料の許容引張応力	MPa
		設計・建設規格 付録材料図表 Part5 表7に	
		よる。	
σь	σь	最高使用温度におけるボルト材料の許容引張応力	MPa
		設計・建設規格 付録材料図表 Part5 表7に	
		よる。	
σf	σfa	常温におけるフランジ材料の許容引張応力	MPa
		設計・建設規格 付録材料図表 Part5 表5に	
		よる。	
$\sigma_{ m f}$	<b>О</b> f b	最高使用温度におけるフランジ材料の許容引張応	MPa
		カ	
		設計・建設規格 付録材料図表 Part5 表5に	
		よる。	
σн	σнg	ガスケット締付時のハブの軸方向応力	MPa*
σн	σнο	使用状態でのハブの軸方向応力	MPa*
σR	σ <sub>Rg</sub>	ガスケット締付時のフランジの径方向応力	MPa*
σR	σкο	使用状態でのフランジの径方向応力	MPa*
σт	<b>о</b> т в	ガスケット締付時のフランジの周方向応力	MPa*
σт	σтο	使用状態でのフランジの周方向応力	MPa*
	形式	フランジの形式	_
	NON-ASBESTOS	非石綿ジョイントシート	_
	SUS-NON-	渦巻形金属ガスケット(非石綿)(ステンレス鋼)	_
	ASBESTOS		

注記 \*: JIS B 8265は「N/mm²」を使用しているが、設計・建設規格に合わせ「MPa」に読み替えるものとする。

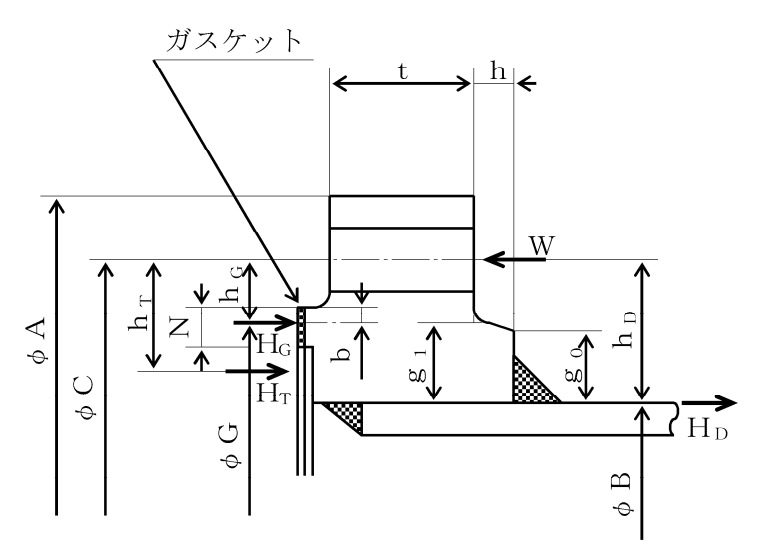
## (2) フランジの形式

フランジの形式及び各部の記号は、図2-11~図2-15による。 ただし、Wは、 $W_g$ 、 $W_{m1}$ 、 $W_{m2}$ 及び $W_o$ のボルト荷重を表す。



注:ハブのテーパが6°以下のときは、g0=g1とする。

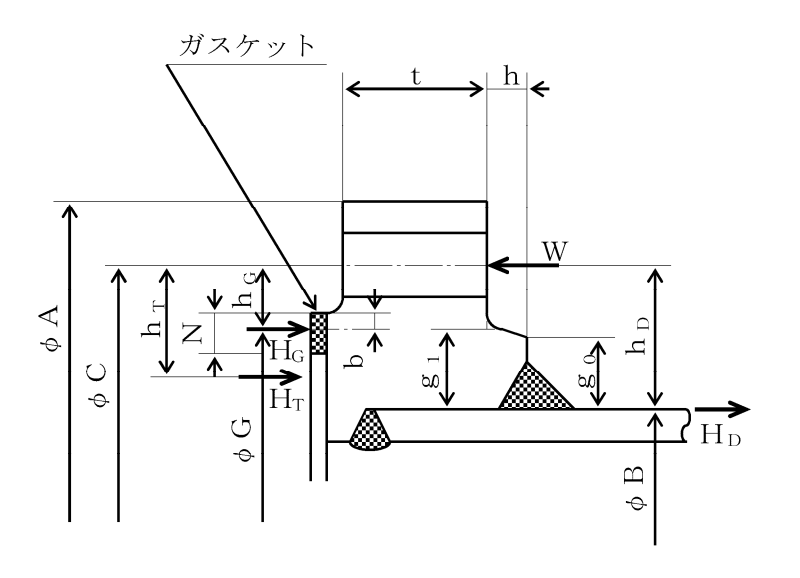
TYPE-1 JIS B 8265 附属書3 図2a)4)



注:ハブのテーパが6°以下のときは、go=g1とする。

TYPE-2 JIS B 8265 附属書3 図2a)4)

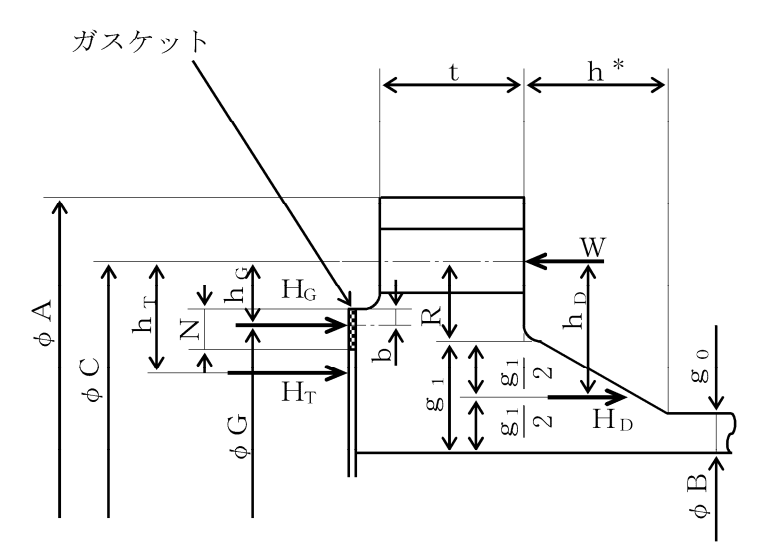
図2-11 ルーズ形フランジ (差込み形フランジ)



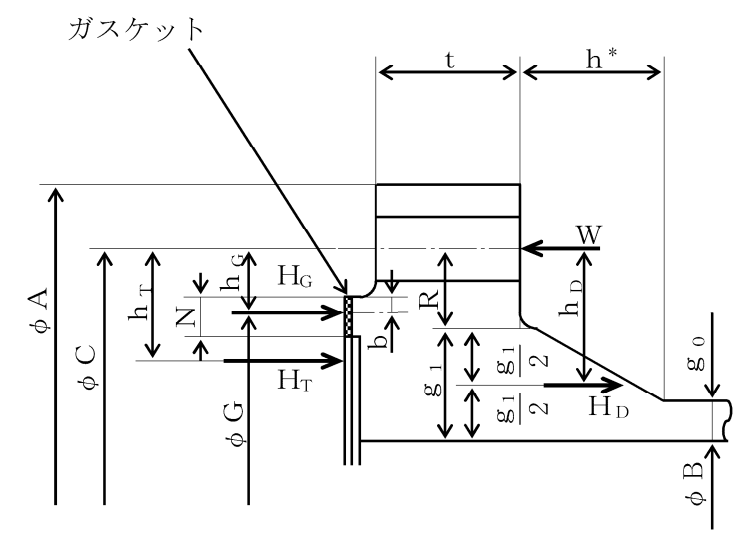
注:ハブのテーパが6°以下のときは、g0=g1とする。

TYPE-3 JIS B 8265 附属書3 図2a) 5)

図2-12 ルーズ形フランジ (差込み形フランジ)

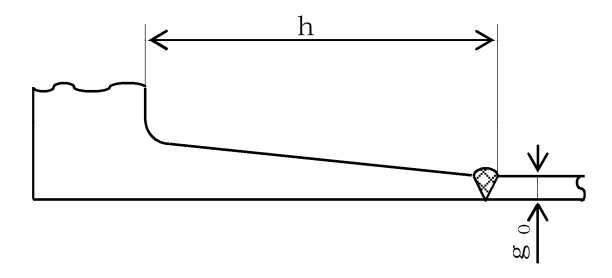


TYPE-4 JIS B 8265 附属書3 図2b)8)



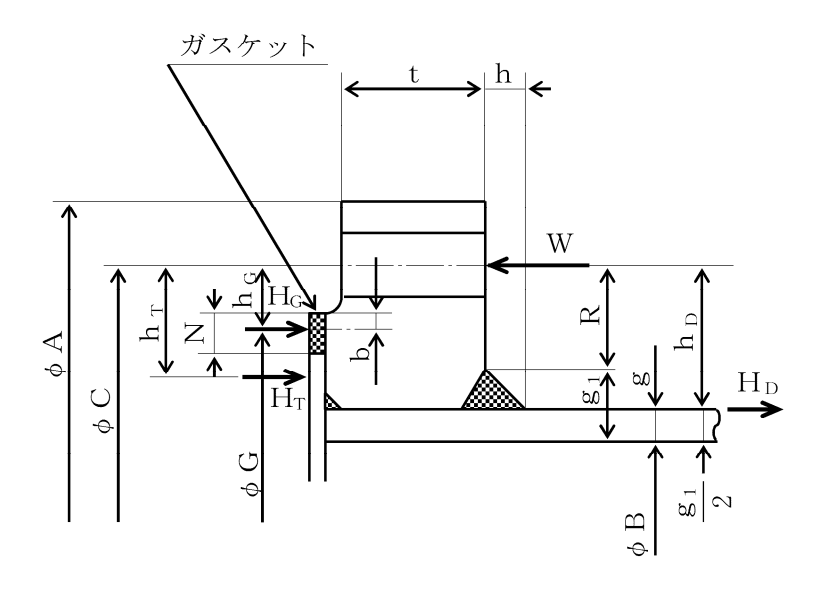
TYPE-5 JIS B 8265 附属書3 図2b)8)

注記 \*: フランジに近いハブのこう配が1/3以下の場合はhは下図に従う。 図2-13 一体形フランジ

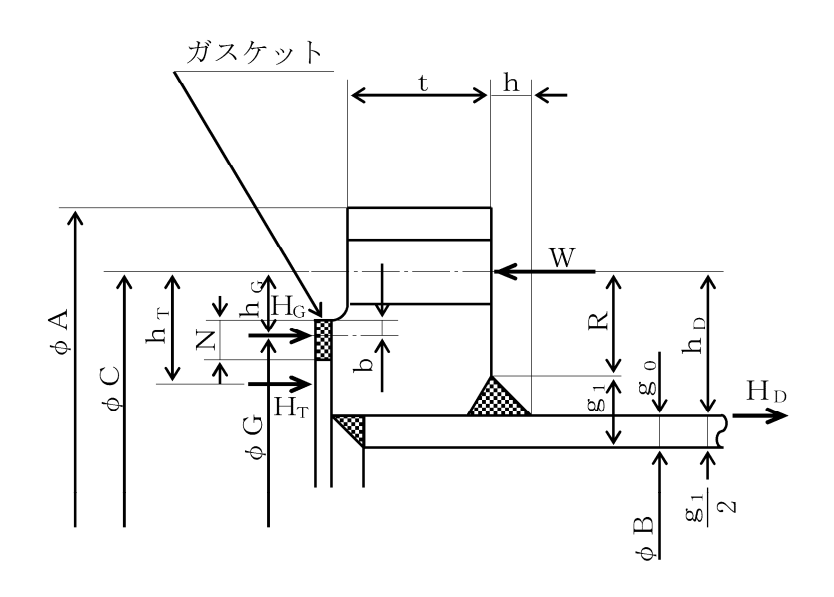


TYPE-6 JIS B 8265 附属書3 図2b)6)

図2-14 一体形フランジ



TYPE-7 JIS B 8265 附属書3 図2 c) 12) (一体形フランジとして計算)



TYPE-8 JIS B 8265 附属書3 図2 c) 11) (一体形フランジとして計算)

図2-15 任意形フランジ

#### (3) 内圧計算手順及び算式

a. ガスケット座の有効幅及びガスケット反力円の直径

ガスケット座の有効幅(b)及びガスケット反力円の直径(G)は、ガスケット座の基本幅(b。)に従い以下のように求める。

b 。≦6.35 mmの場合

$$b = b_0$$

$$G = G_s - N$$

b。>6.35 mmの場合

$$b = 2.52 \cdot \sqrt{b_0}$$

$$G = G_s - 2 \cdot b$$

ただし、b。はJIS B 8265 附属書3 表3による。

- b. 計算上必要なボルト荷重
  - (a) 使用状態で必要なボルト荷重

$$W_{m1} = H + H_P$$

$$H = \frac{\pi}{4} \cdot G^2 \cdot P$$

$$H_P = 2 \cdot \pi \cdot b \cdot G \cdot m_g \cdot P$$

(b) ガスケット締付時に必要なボルト荷重

$$W_{m2} = \pi \cdot b \cdot G \cdot y$$

c. ボルトの総有効断面積及び実際に使用するボルトの総有効断面積

$$A_{m1} = \frac{W_{m1}}{\sigma_b}$$
 (使用状態)

$$A_{m2} = \frac{W_{m2}}{\sigma_a}$$
 (ガスケット締付時)

$$A_m = Max (A_{m1}, A_{m2})$$

$$A_b = \frac{\pi}{4} \cdot (d_b^2 - d_i^2) \cdot n$$

d. フランジの計算に用いるボルト荷重

$$W_g = \left(\frac{A_m + A_b}{2}\right) \cdot \sigma_a$$
 (ガスケット締付時)

e. 使用状態でフランジに加わる荷重

$$H_D = \frac{\pi}{4} \cdot B^2 \cdot P$$

$$H_G = W_O - H$$

$$H_T = H - H_D$$

f. 使用状態でのフランジ荷重に対するモーメントアーム

フランジの形式	h D	h G	hт
一体形フランジ	R +0.5 • g 1	$\frac{C-G}{2}$	$\frac{R+g_1+h_G}{2}$
ルーズ形フランジ (差込み形フランジ)	$\frac{C-B}{2}$	$\frac{C-G}{2}$	<u>h р + h с</u> 2

ただし

$$R = \left(\frac{C - B}{2}\right) - g_1$$

g. 使用状態でフランジに作用するモーメント

$$M_D = H_D \cdot h_D$$

$$M_G = H_G \cdot h_G$$

$$M_T = H_T \cdot h_T$$

$$M_0 = M_D + M_G + M_T$$

h. ガスケット締付時にフランジに作用するモーメント

$$M_g = W_g \cdot \left(\frac{C - G}{2}\right)$$

- i. 一体形フランジ及びルーズ形フランジ(差込み形フランジ)の応力
  - (a) 使用状態でのフランジの応力

$$\sigma_{H_o} = \frac{\mathbf{f} \cdot \mathbf{M}_o}{\mathbf{L} \cdot \mathbf{g}^{1^2} \cdot \mathbf{B}} + \frac{\mathbf{P}_o \cdot \mathbf{B}}{\mathbf{4} \cdot \mathbf{g}^{0}}$$

$$\sigma_{R_o} = \frac{(1.33 \cdot \mathbf{t} \cdot \mathbf{e} + 1) \cdot \mathbf{M}_o}{\mathbf{L} \cdot \mathbf{t}^{2} \cdot \mathbf{B}}$$

$$\sigma_{T_o} = \frac{\mathbf{Y} \cdot \mathbf{M}_o}{\mathbf{t}^{2} \cdot \mathbf{B}} - \mathbf{Z} \cdot \sigma_{R_o}$$

(b) ガスケット締付時のフランジの応力

$$\sigma_{Hg} = \frac{f \cdot M_g}{L \cdot g_{1}^2 \cdot B}$$

$$\sigma_{Rg} = \frac{(1.33 \cdot t \cdot e + 1) \cdot M_g}{L \cdot t^2 \cdot B}$$

$$\sigma_{Tg} = \frac{Y \cdot M_g}{t^2 \cdot B} - Z \cdot \sigma_{Rg}$$

$$\begin{split} L &= \frac{t \cdot e + l}{T} + \frac{t^3}{d} \\ h_\circ &= \sqrt{B \cdot g_\circ} \\ d &= \frac{U}{V} \cdot h_\circ \cdot g_\circ^2 \\ d &= \frac{U}{V_L} \cdot h_\circ \cdot g_\circ^2 \\ e &= \frac{F}{h_\circ} \\ e &= \frac{F_L}{h_\circ} \\ (ルーズ形フランジ (差込み形フランジ)) \end{split}$$

また、Bが20・ $g_1$ より小さいときは、ハブの軸方向の応力( $\sigma_{Ho}$ )及び $\sigma_{Hg}$ の計 算式のBの代わりにB<sub>1</sub>を用いる。

## j. 評価

内圧を受けるフランジは、以下の条件を満足すれば十分である。

(a) ボルトの総有効断面積

$$A_m < A_b$$

(b) ハブの軸方向応力

使用状態にあっては

$$\sigma_{Ho} \leq 1.5 \cdot \sigma_{fb}$$

ガスケット締付時にあっては  $\sigma_{\rm Hg} \leq 1.5 \cdot \sigma_{\rm fa}$ 

$$\sigma_{H\alpha} \leq 1.5 \cdot \sigma_{f\alpha}$$

(c) フランジの径方向応力

使用状態にあっては

$$\sigma_{Ro} \leq 1.5 \cdot \sigma_{fb}$$

ガスケット締付時にあっては

$$\sigma_{Rg} \leq 1.5 \cdot \sigma_{fa}$$

(d) フランジの周方向応力

$$\sigma_{To} \leq 1.5 \cdot \sigma_{fb}$$

$$\sigma_{Tg} \leq 1.5 \cdot \sigma_{fa}$$

#### (4) 外圧計算手順及び算式

a. ガスケット座の有効幅及びガスケット反力円の直径

ガスケット座の有効幅(b)及びガスケット反力円の直径(G)は、ガスケット座の基本幅(b。)に従い以下のように求める。

b。≦6.35 mmの場合

$$b = b_0$$

$$G = G_s - N$$

b。>6.35 mmの場合

$$b = 2.52 \cdot \sqrt{b \cdot o}$$

$$G = G_s - 2 \cdot b$$

ただし、b。はJIS B 8265 附属書3 表3による。

b. 計算上必要なボルト荷重

$$W_{m2} = \pi \cdot b \cdot G \cdot y$$

c. ボルトの総有効断面積及び実際に使用するボルトの総有効断面積

$$A_{\,\text{m}\,2} \!=\! \! \frac{W_{\,\text{m}\,2}}{\sigma_{\,\,\text{a}}}$$

$$A_{b} = \frac{\pi}{4} \cdot (d_{b^{2}} - d_{i^{2}}) \cdot n$$

d. フランジの計算に用いるボルト荷重

$$W_g = \left(\frac{A_{m2} + A_b}{2}\right) \cdot \sigma_a$$

e. 使用状態でフランジに加わる荷重

$$H = \frac{\pi}{4} \cdot G^2 \cdot P$$

$$H_D = \frac{\pi}{4} \cdot B^2 \cdot P$$

$$H_T = H - H_D$$

f. 使用状態でのフランジ荷重に対するモーメントアーム

フランジの形式	h <sub>D</sub>	h <sub>G</sub>	h <sub>T</sub>
一体形フランジ	$R+0.5 \cdot g_1$	$\frac{C-G}{2}$	$\frac{R+g_1+h_G}{2}$
ルーズ形フランジ (差込み形フランジ)	$\frac{C-B}{2}$	$\frac{C-G}{2}$	<u>h p + h g</u> 2

ただし,

$$R = \left(\frac{C - B}{2}\right) - g_{1}$$

g. 使用状態でフランジに作用するモーメント

$$M_o = H_D \cdot (h_D - h_G) + H_T \cdot (h_T - h_G)$$

h. ガスケット締付時にフランジに作用するモーメント

$$M_g = W_g \cdot h_G$$

- i. 一体形フランジ及びルーズ形フランジ(差込み形フランジ)の応力
  - (a) 使用状態でのフランジの応力

$$\sigma_{\text{H}\circ} = \frac{f \cdot M_{\circ}}{L \cdot g_{1}^{2} \cdot B} + \frac{P_{\circ} \cdot B}{4 \cdot g_{0}}$$

$$\sigma_{\text{R}\circ} = \frac{(1.33 \cdot t \cdot e + 1) \cdot M_{\circ}}{L \cdot t^{2} \cdot B}$$

$$\sigma_{\text{T}\circ} = \frac{Y \cdot M_{\circ}}{t^{2} \cdot B} - Z \cdot \sigma_{\text{R}\circ}$$

(b) ガスケット締付時のフランジの応力

$$\sigma_{Hg} = \frac{f \cdot M_g}{L \cdot g_{1}^{2} \cdot B}$$

$$\sigma_{Rg} = \frac{(1.33 \cdot t \cdot e + 1) \cdot M_g}{L \cdot t^{2} \cdot B}$$

$$\sigma_{Tg} = \frac{Y \cdot M_g}{t^{2} \cdot B} - Z \cdot \sigma_{Rg}$$

ただし

$$\begin{split} L &= \frac{t \cdot e + 1}{T} + \frac{t^3}{d} \\ h_\circ &= \sqrt{B \cdot g_\circ} \\ d &= \frac{U}{V} \cdot h_\circ \cdot g_{\circ}^2 \quad (- \text{体形フランジ}) \\ d &= \frac{U}{V_L} \cdot h_\circ \cdot g_{\circ}^2 \quad ( \text{ルーズ形フランジ} \quad ( \text{差込み形フランジ}) \, ) \\ e &= \frac{F}{h_\circ} \qquad \qquad ( \text{-体形フランジ}) \\ e &= \frac{F_L}{h} \qquad \qquad ( \text{ルーズ形フランジ} \quad ( \text{差込み形フランジ}) \, ) \end{split}$$

また、Bが20・ $g_1$ より小さいときは、ハブの軸方向の応力( $\sigma_{Ho}$ )及び $\sigma_{Hg}$ の計算式のBの代わりに $B_1$ を用いる。

## j. 評価

外圧を受けるフランジは、以下の条件を満足すれば十分である。

- (a) ボルトの総有効断面積
- $A_{m2} < A_b$

(b) ハブの軸方向応力

使用状態にあっては

 $\sigma_{\text{Ho}} \leq 1.5 \cdot \sigma_{\text{fb}}$ 

ガスケット締付時にあっては

 $\sigma_{Hg} \leq 1.5 \cdot \sigma_{fa}$ 

(c) フランジの径方向応力

使用状態にあっては

 $\sigma_{Ro} \leq 1.5 \cdot \sigma_{fb}$ 

ガスケット締付時にあっては

 $\sigma_{Rg} \leq 1.5 \cdot \sigma_{fa}$ 

(d) フランジの周方向応力

使用状態にあっては

 $\sigma_{To} \leq 1.5 \cdot \sigma_{fb}$ 

ガスケット締付時にあっては

 $\sigma_{Tg} \leq 1.5 \cdot \sigma_{fa}$ 

# 2.8 伸縮継手の強度計算

伸縮継手の強度計算は、設計・建設規格 PPD-3416を適用する。

# (1) 記号の説明

設計・建設			
規格の記号	計算書の表示	表示内容	単位
b	b	継手部の波のピッチの2分の1	mm
С	С	継手部の層数	_
Е	Е	材料の縦弾性係数	MPa
1		設計・建設規格 付録材料図表 Part6 表1に	
		よる。	
h	h	継手部の波の高さ	mm
N	N	許容繰返し回数	_
	N <sub>r</sub>	実際の繰返し回数	_
n	n	継手部の波数の2倍の値	_
t	t	継手部の板の厚さ	mm
	U	実際の繰返し回数(N r)/許容繰返し回数(N)	_
δ	δ	全伸縮量	mm
σ	σ	継手部応力	MPa
	算式		_
	A	調整リング無しの場合	
	В	調整リング付きの場合	

# (2) 継手部の形状

継手部の形状を図2-16に示す。

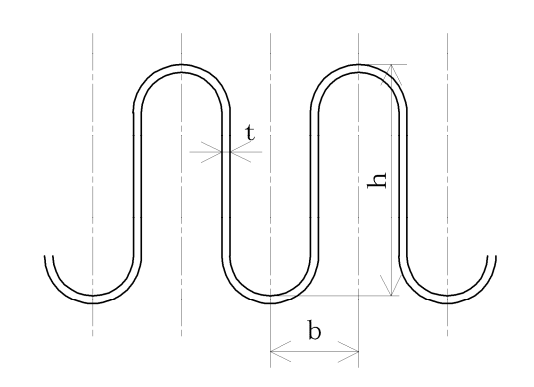


図2-16 継手部の形状

#### (3) 算式

伸縮継手の許容繰返し回数は

$$N = \left(\frac{11031}{\sigma}\right)^{3.5}$$

ただし、材料がステンレス鋼及び高ニッケル合金のものに限る。

a. 調整リングが付いていない場合の継手部応力

$$\sigma = \frac{1.5 \cdot E \cdot t \cdot \delta}{n \cdot \sqrt{b \cdot h^3}} + \frac{P \cdot h^2}{2 \cdot t^2 \cdot c} \qquad (A)$$

b. 調整リングが付いている場合の継手部応力

$$\sigma = \frac{1.5 \cdot \text{E} \cdot \text{t} \cdot \delta}{\text{n} \cdot \sqrt{\text{b} \cdot \text{h}^3}} + \frac{\text{P} \cdot \text{h}}{\text{t} \cdot \text{c}} \qquad \cdots$$
(B)

#### (4) 評価

実際の繰返し回数 (N, ) と許容繰返し回数 (N) の比 (U=N, /N) が $U \le 1$ であれば 伸縮継手の強度は十分である。

実際の繰返し回数が2種類以上の場合は、実際の繰返し回数と許容繰返し回数の比を加えた値( $U=\sum\limits_{i}$  ( $N_{i}$  i  $N_{i}$ ))が $U\leq 1$ であれば伸縮継手の強度は十分である。

別紙1 基本板厚計算書の概略系統図記載要領

基本板厚計算書の概略系統図記載要領については、添付書類「V-3-2-2 クラス1管の強度計算方法 別紙1 基本板厚計算書の概略系統図記載要領」による。

別紙2 管の基本板厚計算書のフォーマット

管の基本板厚計算書のフォーマットについては、添付書類「V-3-2-2 クラス 1 管の強度計算方法 別紙 2 管の基本板厚計算書のフォーマット」による。

# V-3-2-8 クラス4管の強度計算方法

# 目次

1. –	·般事項······1
1.1	概要
1.2	適用規格及び基準との適合性・・・・・・・・・・・・・・・・・1
1.3	強度計算書の構成とその見方・・・・・・・・・・・・・・・・・・・・・・・・・・・・・・・・・・・・
1.4	計算精度と数値の丸め方・・・・・・・・・・・・・・・・・・・・・・・3
1.5	材料の表示方法・・・・・・・・・・・・・・・・・・・・・・・・・・・・・・・・・・・・
1.6	概略系統図の管継手及び仕様変更点の表示方法・・・・・・・・5
1.7	長方形の管の表示方法・・・・・・・・・・・・・・・・・・・・・・・・・・・・・・・・・・・・
	ラス4管の強度計算方法・・・・・・・・・・・・・・・・・・・・・・・・・・・・・・・・・・・・
2.1	共通記号・・・・・・・・・・・・・・・・・・・・・・・・・・・・・・・・・・・・
2.2	管の板厚計算・・・・・・・・・・・・・・・・・・・・・・・・・・・・・・・・・・・・
2.3	フランジの強度計算・・・・・・・・・・・・・・・・・ 7
2.4	伸縮継手の強度計算・・・・・・・・・・・・・・・・・・・・・・・・・・・・・・・・・・・・
別紙	1 基本板厚計算書の概略系統図記載要領
別紙	2 管の基本板厚計算書のフォーマット

#### 1. 一般事項

#### 1.1 概要

本計算方法は、発電用原子力設備のうちクラス4管の基本板厚計算書(以下「強度計算書」 という。)について説明するものである。

#### 1.2 適用規格及び基準との適合性

(1) 強度計算は、発電用原子力設備規格(設計・建設規格(2005年版(2007年追補版含む。)) JSME S NC1-2005/2007) (日本機械学会 2007年9月) (以下「設計・建設規格」という。)により行う。

設計・建設規格各規格番号と強度計算書との対応は、表1-1に示すとおりである。

- (2) 強度計算書で計算するもの以外の管継手は、以下に掲げる規格(形状及び寸法に関する部分に限る。)又は設計・建設規格 別表4に掲げるものとし、接続配管のスケジュール番号と同等以上のものを使用する。(設計・建設規格 PPH-3045)
- a. JIS B 2311 (2001) 「一般配管用鋼製突合せ溶接式管継手」
- b. JIS B 2312 (2001) 「配管用鋼製突合せ溶接式管継手」
- c. JIS B 2313 (2001) 「配管用鋼板製突合せ溶接式管継手」
- d. JIS B 2316 (1997) 「配管用鋼製差込み溶接式管継手」
- (3) 強度計算書で計算するもの以外のフランジ継手については、以下に掲げる規格(材料に関する部分を除く。)又は設計・建設規格 別表2に掲げるものを使用する。(設計・建設規格 PPH-3040)
- a. JIS B 2238 (1996) 「鋼製管フランジ通則」
- b. JIS B 2239 (1996) 「鋳鉄製管フランジ通則」
- c. JIS B 2240 (1996) 「銅合金製管フランジ通則」

表1-1 設計・建設規格各規格番号と強度計算書との対応

設計・建設規格 規格番号	強度計算書の計算式 (章節番号)	備考
PPH-3020 (管の厚さ)	2. 2	管の板厚計算
PPH-3040(継手の構造)	2. 3	フランジの強度計算 (1. 2(3)フランジ継手)
PPH-3045(管継手)		1.2(2)管継手
準用 PPC-3416(伸縮継手)	2. 4	伸縮継手の強度計算

#### 1.3 強度計算書の構成とその見方

- (1) 強度計算書は、本計算方法と各配管の強度計算書から成る。
- (2) 各配管の強度計算書では、記号の説明及び計算式を省略しているので、本計算方法によるものとする。
- (3) 各配管の強度計算書において、NO. の番号は概略系統図の丸で囲んだ番号を表す。

#### 1.4 計算精度と数値の丸め方

計算の精度は6桁以上を確保する。

表示する数値の丸め方は表1-2に示すとおりとする。

表1-2 表示する数値の丸め方

数値の種類		単位	処理桁	処理方法	表示桁
最高使用圧力		MPa	_	_	小数点以下第2位*1
温度		$^{\circ}$	_	_	整数位
算出応力		MPa	小数点以下第1位	切上げ	整数位
長	下記以外の長さ	mm	小数点以下第3位	四捨五入	小数点以下第2位
	計算上必要な厚さ	mm	小数点以下第3位	切上げ	小数点以下第2位
さ	最小厚さ	mm	小数点以下第3位	切捨て	小数点以下第2位
面積		mm <sup>2</sup>	有効数字5桁目	四捨五入	有効数字4桁*2

注記 \*1:必要に応じて小数点以下第3位を用いる。

\*2:絶対値が1000以上のときは、べき数表示とする。

#### 1.5 材料の表示方法

材料は次に従い表示するものとする。

(1) 設計・建設規格に定める材料記号を原則とする。

設計・建設規格に記載されていないが設計・建設規格に相当材が記載されている場合は、 次のように表示する。

相当材記号 相当(当該材記号)

- (例1) SM400A 相当 (SMA400AP)
- (例2) SCMV3-1 相当 (ASME SA387 Gr. 11C1.1)
- (2) 管の強度計算書において管の製造方法の区別を表示するので、材料表示としては、製造方法の区別を特に表示しない。

(継目無管:S, 溶接管:W)

(3) 強度区分により許容引張応力の値が異なる場合、材料記号の後にJISで定める強度区分を付記する。

(例)

V17				
設計・建設規格の表示			計算書の表示	
	/ 付録材料図表			
SCMV3	Part5表5の許容		SCMV3-1	
	引張応力の上段			
	/ 付録材料図表	)		
SCMV3	Part5表5の許容		SCMV3-2	SCMV3-2
	引張応力の下段			

#### 1.6 概略系統図の管継手及び仕様変更点の表示方法

(1) 管継手の表示方法

概略系統図において、計算対象となる管と管継手の区別をするために管継手のみの管番号に"\*"を付け、概略系統図中に"注記\*:管継手"と表示する。

(2) 管の仕様変更点の表示方法

概略系統図中、管の途中において仕様変更が生じた場合は" ──"のように表示する。

1.7 長方形の管の表示方法

長方形の管の長径及び短径の表示は、以下の例のように記載する。

(W及びHはそれぞれ幅及び高さを意味する。)

(例) 角形 1600W×1650H

#### 2. クラス4管の強度計算方法

発電用原子力設備のうちクラス4管の強度計算に用いる計算式と記号を以下に定める。

## 2.1 共通記号

特定の計算に限定せず、一般的に使用する記号を共通記号として次に掲げる。 なお、以下に示す記号のうち、各計算において説明しているものはそれに従う。

設計・建設 規格の記号	計算書の表示	表示内容	単位
	NO.	管,フランジ及び伸縮継手等の番号	_
		数字のみ:管	
		F:フランジ	
		E:伸縮継手	
Р	Р	最高使用圧力(内圧)	MPa
	Q	厚さの負の許容差	%, mm

#### 2.2 管の板厚計算

管の板厚計算は、設計・建設規格 PPH-3020を適用する。

#### (1) 記号の説明

設計・建設 規格の記号	計算書の表示	表示内容	単位
	Dο	管の外径	mm
	t r	管に必要な厚さ	mm
	t s	管の最小厚さ	mm
	製法		_
	S	継目無管	
	W	溶接管	

#### (2) 算式

管に必要な厚さは、次に掲げる値のいずれか大きい方の値とする。

a. 円形の管

設計・建設規格 PPH-3020(1)の表PPH-3020-1により求めた値: t

b. 長方形の管

設計・建設規格 PPH-3020(2)の表PPH-3020-2より求めた値。

(3) 評価

管の最小厚さ  $(t_s)$  ≧管に必要な厚さ  $(t_r)$  ならば強度は十分である。

#### 2.3 フランジの強度計算

フランジの強度計算は、設計・建設規格 PPH-3040を適用する。

#### (1) 記号の説明

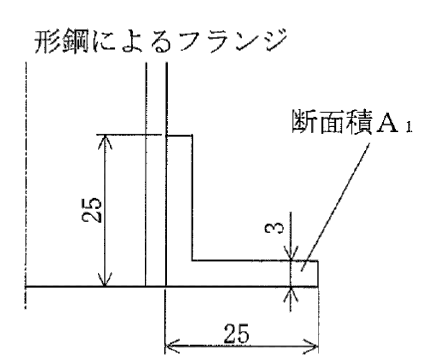
設計・建設 規格又は JISの記号	計算書の表示	表示内容	単位
	D	フランジの外径	mm
	d o	管内径	mm
	h	ボルトの穴径	mm
	t	フランジ厚さ	mm

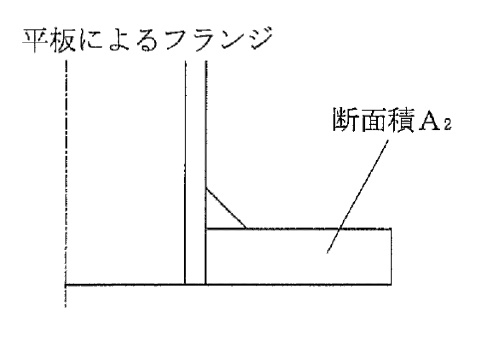
# (2) 評価

実際の断面積≥必要な断面積(25 mm×25 mm×3 mmの形鋼の断面積=141 mm²)ならば強度は十分である。

#### (3) 補足

設計・建設規格 PPH-3040(1)の規定に関する代表例を図2-1に示す。





 $A_2 \ge A_1$   $\boxtimes 2-1$ 

# 2.4 伸縮継手の強度計算

伸縮継手の強度計算は,設計・建設規格 PPH-3045(設計・建設規格 PPC-3416準用)を適用する。

# (1) 記号の説明

設計・建設 規格の記号	計算書の表示	表示内容	単位
b	b	継手部の波のピッチの2分の1	mm
С	С	継手部の層数	_
E	Е	材料の縦弾性係数	MPa
		設計・建設規格 付録材料図表 Part6表1によ	
		る。	
h	h	継手部の波の高さ	mm
N	N	許容繰返し回数	_
	N r	実際の繰返し回数	_
n	n	継手部の波数の2倍の値	_
t	t	継手部の板の厚さ	mm
	U	実際の繰返し回数(Nr)/許容繰返し回数(N)	_
δ	δ	全伸縮量	mm
σ	σ	継手部応力	MPa
	算式		_
	A	調整リング無しの場合	
	В	調整リング付きの場合	

# (2) 継手部の形状

継手部の形状を図2-2に示す。

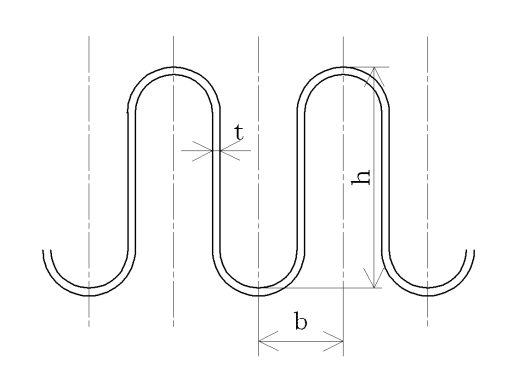


図2-2 継手部の形状

#### (3) 算式

伸縮継手の許容繰返し回数は

$$N = \left(\frac{11031}{\sigma}\right)^{3.5}$$

ただし、材料がステンレス鋼及び高ニッケル合金のものに限る。

a. 調整リングが付いていない場合の継手部応力

$$\sigma = \frac{1.5 \cdot E \cdot t \cdot \delta}{n \cdot \sqrt{b \cdot h^3}} + \frac{P \cdot h^2}{2 \cdot t^2 \cdot c} \qquad (A)$$

b. 調整リングが付いている場合の継手部応力

$$\sigma = \frac{1.5 \cdot E \cdot t \cdot \delta}{n \cdot \sqrt{b \cdot h^3}} + \frac{P \cdot h}{t \cdot c} \qquad (B)$$

#### (4) 評価

実際の繰返し回数  $(N_r)$  と許容繰返し回数 (N) の比  $(U=N_r/N)$  が $U \le 1$  であれば 伸縮継手の強度は十分である。

実際の繰返し回数が2種類以上の場合は,実際の繰返し回数と許容繰返し回数の比を加えた値( $U=\sum\limits_{i}(N_{r\,i}/N_{i})$ )が $U\leq 1$ であれば伸縮継手の強度は十分である。

別紙1 基本板厚計算書の概略系統図記載要領

基本板厚計算書の概略系統図記載要領については、添付書類「V-3-2-2 クラス1管の強度計算書 別紙1 基本板厚計算書の概略系統図記載要領」による。

別紙2 管の基本板厚計算書のフォーマット

管の基本板厚計算書のフォーマットについては、添付書類「V-3-2-2 クラス 1 管の強度計算書別紙 2 管の基本板厚計算書のフォーマット」による。

V-3-2-9 重大事故等クラス2容器の強度計算方法

# 目 次

1.	-	一彤	少事工	頁1
	1. 1	1 ;	概要	· 1
	1. 2	2	適用	規格及び基準との適合性1
	1. 3	3	計算	「精度と数値の丸め方5
	1.4	1	材料	の表示方法 7
2.		重	大事	な等クラス2容器(クラス1容器又は原子炉格納容器を除く)の強度計算方法 8
;	2. ]	1	共通	記号の定義8
;	2. 2	2	クラ	ス2容器の規定に基づく強度計算方法100
	2	2. 2.	. 1	円筒型の胴の計算
	2	2. 2.	. 2	容器の胴の補強を要しない穴の最大径の計算111
	2	2. 2.	. 3	鏡板の計算
	2	2. 2.	. 4	平板の計算 22
	2	2. 2.	. 5	容器の管板の計算 377
	2	2. 2.	. 6	容器の管台の計算 39
	2	2. 2.	. 7	開放タンクの計算 400
	2	2. 2.	. 8	熱交換器の伝熱管の計算455
	2	2. 2.	. 9	穴の補強計算
	2	2. 2.	. 10	フランジの強度計算 1255
;	2. 3	3 .	既工	認における評価結果の確認による強度評価方法1388
3.	Ī	重大	て事さ	<b>故等クラス2容器であってクラス1容器の強度計算方法13939</b>
4.	j	重大	て事さ	<b>改等クラス2容器であって原子炉格納容器の強度計算方法13939</b>

別紙 容器の強度計算書のフォーマット

#### 1. 一般事項

#### 1.1 概要

本資料は、添付書類「V-3-1-6 重大事故等クラス2機器及び重大事故等クラス2支持構造物の強度計算の基本方針」に基づき、重大事故等クラス2容器が十分な強度を有することを確認するための方法を説明するものである。

#### 1.2 適用規格及び基準との適合性

(1) 強度計算は、昭和45年通商産業省告示第501号「発電用原子力設備に関する構造等の技術基準」(以下「告示第501号」という。)及び発電用原子力設備規格(設計・建設規格(2005年版(2007年追補版含む。)) JSME S NC1-2005/2007(日本機械学会)(以下「設計・建設規格」という。)により行う。

告示第501号各条項及び設計・建設規格各規格番号と強度計算書との対応は,表1-1 に示すとおりである。

- (2) 両規格に計算式の規定がないものについては、日本工業規格(以下「JIS」という。) を準用する。JISと強度計算書との対応は表1-2に示すとおりである。
- (3) 重大事故等クラス 2 容器であってクラス 1 容器の強度評価に当たっては、設計上定める条件である重大事故等時の使用圧力、使用温度及び事故時荷重を上回る既工認における評価結果を確認することにより評価を実施する。
- (4) 重大事故等クラス2容器であって原子炉格納容器の評価に当たっては、設計・建設規格によるクラスMCの規定を準用し評価を実施する。
- (5) 強度計算書で計算するもの以外のフランジは、以下に掲げる規格(材料に関する部分を除く。)又は設計・建設規格 別表2に掲げるものを使用する。(設計・建設規格 PVC-3700, PVD-3010)
  - a. JIS B 2238 (1996)「鋼製管フランジ通則」
  - b. JIS B 2239 (1996) 「鋳鉄製管フランジ通則」
  - c. ASME B16.5 (1996) [PIPE FLANGES AND FLANGED FITTINGS]

表1-1 告示第501号各条項及び設計・建設規格各規格番号と強度計算書との対応

表1-1 告示第501号各条項及び設計	・建設規格各規格番号と強度計算書との対応		
設計・建設規格 規格番号 告示501号 条項	強度計算書の計算式 (章節番号)	備考	
(重大事故等クラス 2 容器) PVC-3100(容器の胴の規定) PVC-3121 PVC-3122(1)	2. 2. 1	円筒形の胴の計算	
PVC-3150 (2)	2. 2. 2	容器の胴の補強を要しない穴の最大径の計算	
PVC-3160 PVC-3162	2. 2. 9 (2)	容器の穴の補強計算 2つ以上の穴が接近して いるときの補強計算	
PVC-3200 (容器の鏡板についての規定) PVC-3210(1) PVC-3220 PVC-3221	2. 2. 3(1)	さら形鏡板の計算	
PVC-3210 (2) PVC-3223 (1)	2. 2. 3 (2)	全半球形鏡板の計算	
PVC-3210 (3) PVC-3220 PVC-3225	2. 2. 3 (3)	半だ円形鏡板の計算	
PVC-3230(2)	2. 2. 3 (4)	容器の鏡板の補強を要し ない穴の最大径の計算	
PVC-3240 第33条 (容器の平板についての規定)	2. 2. 9(2)	容器の穴の補強計算	
第1項		平板の計算	
PVC-3300 (容器の平板についての規定) PVC-3310 PVC-3320	2. 2. 4	平板の計算	
PVC-3320 (2)	2. 2. 9(2)	容器の穴の補強計算	
PVC-3500 (容器の管板についての規定) PVC-3510	2. 2. 5	容器の管板の計算	
PVC-3600 (管台についての規定)			
PVC-3610 PVC-3610(1) PVC-3610(2)	2. 2. 6 2. 2. 8	容器の管台の計算 熱交換器の伝熱管の計算	

表1-1 告示第501号各条項及び設計・建設規格各規格番号と強度計算書との対応

設計・建設規格 規格番号 告示501号 条項	強度計算書の計算式 (章節番号)	備考
PVC-3900 (開放タンクについての規定)		
PVC-3920	2. 2. 7(1)	開放タンクの胴の計算
PVC-3940 PVC-3950	2. 2. 9 (3)	開放タンクの穴の補強計 算
PVC-3960 PVC-3970	2. 2. 7 (2)	開放タンクの底板の計算
PVC-3980	2. 2. 7 (3)	開放タンクの管台の計算

表1-2 JISと強度計算書との対応

JIS		強度計算書の計算	
No.	項	式 (章節番号)	備考
JIS B 8265 (2003) 「圧力容器の構造ー一般事項」附 属書3 (規定)「圧力容器のボルト 締めフランジ」	3 4 5	2. 2. 10	フランジ強度計算*1
JIS B 8201 (2005) 「陸用鋼製ボイラー構造」	6. 6. 8	2. 2. 4	だ円形マンホール平板 の計算* <sup>2</sup>

注記 \*1: 設計・建設規格 PVC-3710により J I S B 8 2 6 5 (2003) 「圧力容器の構造 -一般事項」(以下「 J I S B 8 2 6 5 」という。) の附属書3 (規定) 「圧力 容器のボルト締めフランジ」を用いて計算を行う。

 \*2: JIS B 8201 (2005) 「陸用鋼製ボイラー構造」(以下「JIS B 8 201」という。) を用いて計算を行う。

## 1.3 計算精度と数値の丸め方

計算の精度は、6桁以上を確保する。

表示する数値の丸め方は、表1-3に示すとおりとする。

表1-3 表示する数値の丸め方

	数値の種類	単位	処理桁	処理方法	表示桁
	最高使用圧力 (開放タンクを除く)	MPa	_	_	小数点以下第2位
圧力	最高使用圧力 (開放タンク)	MPa	小数点以下第3位	四捨五入	小数点以下第2位
	外面に受ける 最高の圧力	MPa	-	_	小数点以下第2位
	温度	$^{\circ}$	ı	_	整数位
	許容応力*1	MPa	小数点以下第1位	切捨て	整数位
	降伏点*1	MPa	小数点以下第1位	切捨て	整数位
	算出応力	MPa	小数点以下第1位	切上げ	整数位
	下記以外の長さ	mm m* <sup>2</sup>	小数点以下第3位	四捨五入	小数点以下第2位
	計算上必要な厚さ	mm	小数点以下第3位	切上げ	小数点以下第2位
長さ	最小厚さ	mm	小数点以下第3位	切捨て	小数点以下第2位
さ	ボルト谷径	mm	_	_	小数点以下第3位
	開放タンクの水頭及び 管台の内径	m	小数点以下第5位	四捨五入	小数点以下第4位
	ガスケット厚さ	mm	ı	_	小数点以下第1位
	面積	$\mathrm{mm}^2$	有効数字5桁目	四捨五入	有効数字4桁*3
カ		N	有効数字5桁目	四捨五入	有効数字4桁*3
モーメント		N • mm	有効数字5桁目	四捨五入	有効数字4桁*3
角度		0	小数点以下第2位	四捨五入	小数点以下第1位
	比重	_	小数点以下第3位	四捨五入	小数点以下第2位
	慣性モーメント	$\mathrm{mm}^4$	有効数字5桁目	四捨五入	有効数字4桁

- 注記 \*1:設計・建設規格 付録材料図表及び告示第501号 別表に記載された温度の中間における許容引張応力及び設計降伏点は、比例法により補間した値の小数点以下第1位を切り捨て、整数位までの値とする。(告示第501号は非SI単位をSI単位に換算する。)ただし、許容引張応力及び設計降伏点が設計・建設規格 付録材料図表及び告示第501号 別表に定められた値のa倍である場合は、次のようにして定める。
  - (1) 比例法により補間した値の小数点以下第2位を切り捨て、小数点以下第1位 までの値をa倍する。
  - (2) (1)で得られた値の小数点以下第1位を切り捨て、整数位までの値とする。

\*2:開放タンクの胴内径

\*3:絶対値が1,000以上のときは、べき数表示とする。

1.4 材料の表示方法

材料は次に従い表示するものとする。

(1) 設計・建設規格に定める材料記号を原則とする。

設計・建設規格に記載されていないが設計・建設規格に相当材が記載されている場合は 次のように表示する。

	相当材記号	相当	(当該材記号)
(例1)	SM400A	相当	(SMA400AP)
(例2)	SCMV3-1	相当	(ASME SA387 Gr. 11C1.1)

- (2) 管材の許容引張応力の値は継目無管,電気抵抗溶接管及び鍛接管等,製造方法により異なる場合があるため材料記号の後に"-"を入れ,その製法による記号を付記して表示する。
  - (例) STPT410-S (継目無管の場合)
- (3) 強度区分により許容引張応力が異なる場合、材料記号の後にJISで定める強度区分を付記して表示する。

(例)

	設計・建設規格の表示	計算書の表示
SCMV3	(付録材料図表 Part5 表 5 の許容引張応力の上段	SCMV3-1
SCMV3	(付録材料図表 Part5 表 5 の許容引張応力の下段	SCMV3-2

- (4) 使用する厚さ又は径等によって許容引張応力の値が異なる場合、材料記号の後に該当する厚さ又は径等の範囲を付記して表示する。
  - (例) S45C (直径40 mm以下)
- (5) 熱処理によって許容引張応力の値が異なる場合、材料記号の後にJISに定める熱処理記号を付記して表示する。
  - (例) SUS630 H1075 (固溶化熱処理後570~590 ℃空冷の場合)
- (6) ガスケット材料で非石綿の場合の表示は以下とする。
  - (例) 非石綿ジョイントシート

渦巻形金属ガスケット(非石綿)(ステンレス鋼)

平形金属被覆ガスケット(非石綿板)(ステンレス鋼)

なお、この場合のガスケット係数 (m) 及びガスケットの最小設計締付圧力 (y) は、 J IS B 8265 附属書3 表2 備考3より、ガスケットメーカ推奨値を適用する。

## 2. 重大事故等クラス2容器(クラス1容器又は原子炉格納容器を除く)の強度計算方法

### 2.1 共通記号の定義

重大事故等クラス2容器の強度計算において、特定の計算に限定せず、一般的に使用する 記号を共通記号として次に掲げる。

なお,以下に示す記号のうち,各計算において説明しているものはそれに従う。

設計・建設 規格又は 告示第501号 の記号	計算書の表示	表示内容	単位
P	Р	最高使用圧力	MPa
Sy	Sy	材料の設計降伏点 設計・建設規格 付録材料図表 Part5 表 8 によ る。	MPa
	η	※手の効率 設計・建設規格 PVC-3130 に規定している継手の 種類に応じた効率を使用する。設計・建設規格 PVC-3140 に規定している連続した穴がある場合 における当該部分の効率については該当するもの がないので強度計算書には記載しない。	
	継手の種類		_
	継手無し	同左	_
	突合せ両側溶接	同左	_
	裏当金(取り除 く。)を使用し た突合せ片側溶 接	裏当金を使用した突合せ片側溶接(溶接後裏当金を取り除いたものに限る。)並びにこれと同等以上の効果が得られる方法による溶接	
	裏当金(取り除 かず。)を使用 した突合せ片側 溶接	裏当金を使用した突合せ片側溶接(溶接後裏当金を取り除いたものを除く。)	
	裏当金を使用し ない突合せ片側 溶接	同左	_
	両側全厚すみ肉 重ね溶接	同左	_
	プラグ溶接を行 う片側全厚すみ 肉重ね溶接	同左	_

設計・建設 規格又は 告示第5015 の記号	計算書の表示	表示内容	単位
	放射線検査の有無有り	発電用原子力設備規格 (溶接規格 JSME SNB1-2001) (日本機械学会 2001年) N-3140及びN-4140 (N-1100(1)a準用)の規定に準じて放射線透過試験を行い、同規格の規定に適合するもの	_
	無し	その他のもの	_

#### 2.2 クラス2容器の規定に基づく強度計算方法

### 2.2.1 円筒型の胴の計算

重大事故等クラス2容器については、設計建設規格 PVC-3121, PVC-3122(1)を適用する。容器の形状は設計・建設規格 PVC-3111に適合する円筒形とする。また、容器の継手は、設計・建設規格 PVC-3112に適合する溶接継手又は、フランジ継手を使用する。

### (1) 記号の定義

設計・建設 規格の記号	計算書の表示	表示内容	単位
$D_{i}$	D i	胴の内径	mm
S	S	最高使用温度における材料の許容引張応力 設計・建設規格 付録材料図表 Part5 表 5 又は表 6 による。	MPa
	t	胴に必要な厚さ	mm
t	t 1	胴の材料による制限最小厚さ	mm
	t <sub>2</sub>	胴の計算上必要な厚さ	mm
	t s	胴の実際使用最小厚さ	mm
	t so	胴の呼び厚さ	mm

#### (2) 算式

円筒形の胴に必要な厚さは次に掲げる値のうちいずれか大きい値とする。

a. 胴の材料による制限最小厚さ: t<sub>1</sub>

炭素鋼鋼板又は低合金鋼鋼板で作られたものにあっては3 mm, その他の材料で作られたものにあっては1.5 mmとする。

b. 内面に圧力を受ける胴: t<sub>2</sub>

$$t_2 = \frac{P \cdot D_i}{2 \cdot S \cdot n - 1.2 \cdot P}$$

### (3) 評価

胴の最小厚さ  $(t_s)$   $\geq$  胴に必要な厚さ (t) ならば十分である。

#### 2.2.2 容器の胴の補強を要しない穴の最大径の計算

重大事故等クラス2容器については、設計・建設規格PVC-3150(2)を適用する。

#### (1) 記号の定義

設計・建設 規格の記号	計算書の表示	表示内容	単位
D	D	穴の中心における胴の外径	mm
	d r 1	補強を要しない穴の最大径(だ円穴の場合は 長径)	mm
d	d <sub>r 2</sub>	補強を要しない穴の最大径(だ円穴の場合は 長径)	mm
K	K	係数 ただしK≦0.99	_
S	S	内圧時の最高使用温度における材料の許容引 張応力 設計・建設規格 付録材料図表 Part5 表 5 又は表 6 による。	МРа
t s	t s	胴の実際使用最小厚さ	mm
η	η	穴が長手継手を通る場合はその継手の効率, その他の場合は1.00	_

### (2) 算式

胴の補強を要しない穴の最大径は、次のa項及びb項で計算した値のうちいずれか大きい方の値とする。ここで、胴の補強を要しない穴は、円形又はだ円形とする。

a. 穴の径が61 mm以下で、かつ、次の式により計算した値以下の穴

$$d_{r 1} = \frac{D - 2 \cdot t_s}{4}$$

b. 穴の径が200 mm以下で、かつ、クラス2容器は設計・建設規格 図PVC-3150-1及 びPVC-3150-2により求めた値以下の穴

$$d_{r} = 8.05 \cdot \sqrt[3]{D \cdot t_{s} \cdot (1-K)}$$

Kは、次の式により計算した値で、K>0.99のときは、K=0.99とする。

### (a) 円筒形の場合

$$K = \frac{P \cdot D}{1.82 \cdot S \cdot \eta \cdot t_s}$$

## (3) 評価

穴の径>補強を要しない穴の最大径となる穴を判別する。 穴の補強が不要な場合は、穴の補強計算を行わない。

## 2.2.3 鏡板の計算

## (1) さら形鏡板の計算

重大事故等クラス 2 容器については設計・建設規格 PVC-3210(1), PVC-3220を適用する。

### a. 記号の定義

設計・建設 規格の記号	計算書の表示	表示内容	単位
D i	D i	鏡板が取り付けられる胴の内径	mm
	D <sub>oc</sub>	鏡板の外径	mm
R	R	鏡板の中央部における内面の半径	mm
r	r	鏡板のすみの丸みの内半径	mm
S	S	内圧時(中低面に圧力を受けるとき)の最高 使用温度における材料の許容引張応力 設計・建設規格 付録材料図表 Part5 表 5 又は表 6 による。	MPa
	t	鏡板に必要な厚さ	mm
t	$t_{_{1}}$	鏡板のフランジ部の計算上必要な厚さ	mm
t	t 2	鏡板の計算上必要な厚さ	mm
	t c	鏡板の最小厚さ	mm
	t co	鏡板の呼び厚さ	mm
W	W	さら形鏡板の形状による係数	_

### b. 形状の制限

 $D_{oc} \ge R$ ,  $r \ge 3 \cdot t_{co}$ ,  $r \ge 0.06 \cdot D_{oc}$ ,  $r \ge 50$ mmであること。

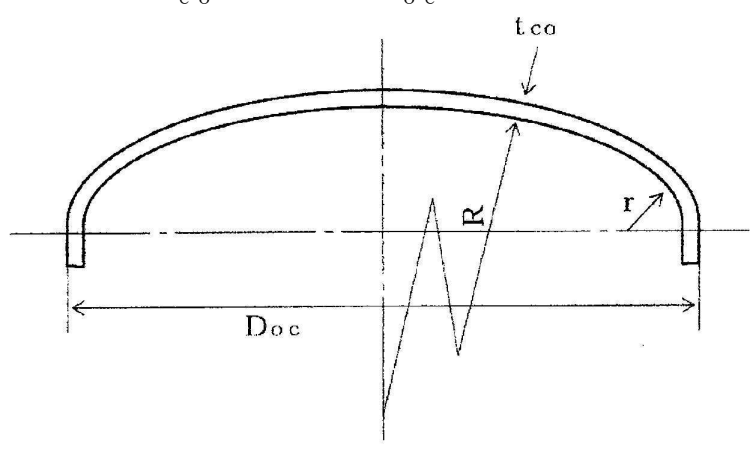


図2-1 さら形鏡板の形状

## c. 算式

さら形鏡板に必要な厚さは、次に掲げる値のうちいずれか大きい値とする。

- (a) 中低面に圧力を受ける鏡板: t<sub>1</sub>, t<sub>2</sub>
  - イ. フランジ部: t<sub>1</sub>

$$t_1 = \frac{P \cdot D_i}{2 \cdot S \cdot \eta - 1.2 \cdot P}$$

口. 鏡板: t2

$$t_2 = \frac{P \cdot R \cdot W}{2 \cdot S \cdot \eta - 0.2 \cdot P}$$

ただし、
$$W = \frac{1}{4} \cdot \left(3 + \sqrt{\frac{R}{r}}\right)$$

### d. 評価

鏡板の最小厚さ( t  $_{\rm c}$  )  $\geq$  鏡板に必要な厚さ( t ) ならば十分である。

## (2) 全半球形鏡板の計算

重大事故等クラス2容器については設計・建設規格 PVC-3210(2), PVC-3220及び PVC-3223(1)を適用する。

## a. フランジ部を有する場合

### (a) 記号の定義

設計・建設 規格の記号	計算書の表示	表示内容	単位
D i	D i	鏡板が取り付けられる胴の内径	mm
R	R	鏡板の内半径	mm
S	S	内圧時(中低面に圧力を受けるとき)の最高 使用温度における材料の許容引張応力 設計・建設規格 付録材料図表 Part5 表 5 又は表 6 による。	MPa
	t	鏡板に必要な厚さ	mm
t	t 1	鏡板のフランジ部の計算上必要な厚さ	mm
t	t 2	鏡板の計算上必要な厚さ	mm
	t c	鏡板の最小厚さ	mm
	tco	鏡板の呼び厚さ	mm

## (b) 形状

全半球形であること。

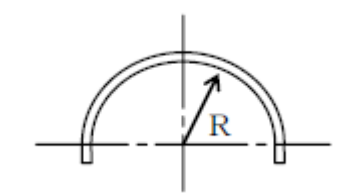


図2-2 全半球形鏡板の形状

## (c) 算式

- イ. 中低面に圧力を受ける鏡板:  $\mathbf{t}_1$ ,  $\mathbf{t}_2$
- (イ) フランジ部: t<sub>1</sub>

$$t_1 = \frac{P \cdot D_i}{2 \cdot S \cdot \eta - 1.2 \cdot P}$$

(ロ) 鏡板:t<sub>2</sub>

$$t_2 = \frac{P \cdot R}{2 \cdot S \cdot \eta - 0.2 \cdot P}$$

## (d) 評価

鏡板の最小厚さ( t  $_{\rm c}$  )  $\geq$  鏡板に必要な厚さ( t ) ならば十分である。

## b. フランジ部を有しない場合

## (a) 記号の定義

設計・建設 規格の記号	計算書の表示	表示内容	単位
R	R	鏡板の内半径	mm
S	S	内圧時(中低面に圧力を受けるとき)の最高 使用温度における材料の許容引張応力 設計・建設規格 付録材料図表 Part5 表 5 又は表 6 による。	MPa
	t	鏡板に必要な厚さ	mm
t	t 1 t c	鏡板の計算上必要な厚さ 鏡板の最小厚さ	mm
	t	鏡板の呼び厚さ	mm

### (b) 形状

全半球形であること。

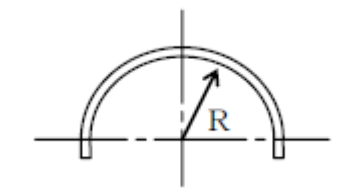


図2-3 全半球形鏡板の形状

## (c) 算式

中低面に圧力を受ける全半球形鏡板に必要な厚さ  $\mathbf{t}_1$ は、次に掲げる値とする。

$$t_1 = \frac{P \cdot R}{2 \cdot S \cdot \eta - 0.2 \cdot P}$$

## (d) 評価

鏡板の最小厚さ( t  $_{\rm c}$  )  $\geq$  鏡板に必要な厚さ( t ) ならば十分である。

## (3) 半だ円形鏡板の計算

重大事故等クラス 2 容器については設計・建設規格 PVC-3210(3), PVC-3220及び PVC-3225を適用する。

### (a) 記号の定義

設計・建設 規格の記号	計算書の表示	表示内容	単位
$D_{i}$	D i	鏡板が取り付けられる胴の内径	mm
D	D <sub>i L</sub>	鏡板の内面における長径	mm
h	h	鏡板の内面における短径の2分の1	mm
K	K	半だ円形鏡板の形状による係数	_
S	S	内圧時(中低面に圧力を受けるとき)の最高 使用温度における材料の許容引張応力 設計・建設規格 付録材料図表 Part5 表 5 又は表 6 による。	MPa
	t	鏡板に必要な厚さ	mm
t	t <sub>1</sub>	鏡板のフランジ部の計算上必要な厚さ	mm
t	t 2	鏡板の計算上必要な厚さ	mm
	t c	鏡板の最小厚さ	mm
	t co	鏡板の呼び厚さ	mm

## (b) 形状

$$\frac{D_{iL}}{2 \cdot h} \le 2$$
であること。

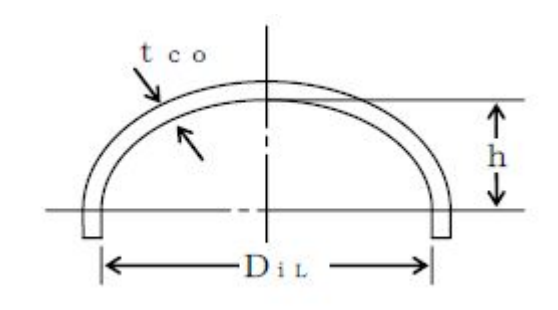


図2-4 半だ円形鏡板の形状

### (c) 算式

半だ円形鏡板に必要な厚さは、次に掲げる値のうちいずれか大きい値とする。

- イ. 中低面に圧力を受ける鏡板:  $\mathbf{t}_1$ ,  $\mathbf{t}_2$ 
  - (イ) フランジ部: t<sub>1</sub>

$$t_1 = \frac{P \cdot D_i}{2 \cdot S \cdot \eta - 1.2 \cdot P}$$

(口) 鏡板: t<sub>2</sub>

$$t_2 = \frac{P \cdot D_{iL} \cdot K}{2 \cdot S \cdot \eta - 0.2 \cdot P}$$

ただし, 
$$K = \frac{1}{6} \cdot \left\{ 2 + \left( \frac{D_{iL}}{2 \cdot h} \right)^2 \right\}$$

### (d) 評価

鏡板の最小厚さ ( t  $_{\rm c}$  )  $\geq$  鏡板に必要な厚さ ( t ) ならば十分である。

# (4) 容器の鏡板の補強を要しない穴の最大径の計算 重大事故等クラス2容器については設計・建設規格 PVC-3230(2)を適用する。

### (a) 記号の定義

設計・建設 規格の記号	計算書の表示	表示内容	単位
D	D	鏡板のフランジ部の外径。ただし円すい形鏡板にあっては、円すいの部分がすその丸みの部分に接続する部分の軸に垂直な断面の外径	mm
d	d <sub>r 1</sub>	補強を要しない穴の最大径(だ円穴の場合は長径)	mm
	d <sub>r 2</sub>	補強を要しない穴の最大径(だ円穴の場合は長径)	mm
K	K	係数 ただしK≦0.99	_
S	S	内圧時(中低面に圧力を受けるとき)の最高使用温度における材料の許容引張応力設計・建設規格 付録材料図表 Part5 表5又は表6による。	MPa
t s	t c	鏡板の最小厚さ	mm
η	η	穴が継手を通る場合はその継手の効率。その他の場合は 1.00	_

## (b) 算式

鏡板の補強を要しない穴の最大径は、次のイ項及びロ項で計算した値のうちいず れか大きい方の値とする。

イ. 穴の径が61 mm以下で、かつ、次の式により計算した値以下の穴

$$d_{r\,1} = \frac{D-2 \cdot t_{c}}{4}$$

ロ. 穴の径が200 mm以下で,かつ,設計・建設規格 図PVC-3150-1及び図PVC-3150-2により求めた値以下の穴

$$d_{r2} = 8.05 \cdot \sqrt[3]{D \cdot t_c \cdot (1-K)}$$

Kは、次の式により計算した値で、K>0.99のときは、K=0.99とする。

(イ) さら形鏡板及び半だ円形鏡板の場合

$$K = \frac{P \cdot D}{1.82 \cdot S \cdot \eta \cdot t}_{c}$$

(ロ) 全半球鏡板の場合

$$K = \frac{P \cdot D}{3.64 \cdot S \cdot \eta \cdot t}$$

(c) 評価

穴の径>補強を要しない穴の最大径となる穴を判別する。 穴の補強が不要な場合は、穴の補強計算を行わない。

## 2.2.4 平板の計算

## 2.2.4.1 円形平板の計算

重大事故等クラス2容器については告示第501号 第33条 第1項又は設計・ 建設規格 PVC-3310及びPVC-3320を適用する。

### (1) 記号の定義

告示第501号, 設計・建設規格, JISの記号	計算書の 表示	表示内容	単位
A <sub>B</sub>	$A_{_{\mathrm{B}}}$	   実際に使用するボルトの総有効断面積	${ m mm}^2$
$A_{m}^{D}$	A <sub>m</sub>	ボルトの総有効断面積	$\mathrm{mm}^2$
$A_{m1}$	$A_{m1}$	使用状態でのボルトの総有効断面積	$mm^2$
A <sub>m2</sub>	$A_{m2}$	ガスケット締付時のボルトの総有効断面積	$\mathrm{mm}^2$
b m2	b m 2	ガスケット座の有効幅	mm
b	b <sub>o</sub>	ベハノノ   左の   70   1   1   1   1   1   1   1   1   1	mm
0	О	附属書3 表3による。)	
С	С	ボルト穴の中心円の直径	mm
d, G	d	クラス2容器は告示第501号 第33条第1項に	mm
		記載される表,設計・建設規格 表 PVC-3310-1,	
		に規定する方法によって測った平板の径又は最小	
_	_	内のり (ガスケットの場合 d = G)	
d <sub>b</sub>	d <sub>b</sub>	平板の断面に現れる穴の径	mm
	a	(だ円穴の場合は長径)	mm
	d <sub>h</sub>	平板の断面に現れる穴の径 (だ円穴の場合は長径)	mm
Dg	Dg	セルフシールガスケットの外径	mm
F	F F	全体のボルトに作用する力	N
G	G	ガスケット反力円の直径	mm
G <sub>s</sub>	G s	ガスケット接触面の外径	mm
Н	Н	   内圧によってフランジに加わる全荷重	N
h <sub>G</sub>	h <sub>G</sub>	   ボルト穴の中心円からHc作用点までの半径方向の	mm
G	G	距離	
h g	h g	モーメントアームでボルトのピッチ円の直径とd	mm
		との差の 2 分の 1	
K	K	平板の厚さ計算における取付け方法による係数	_
Q	Q	フランジ部の長さ	mm
m	m	ガスケット係数 (JIS B 8265 附属書 3	_
		表 2 による。)	

<b>井二笠「</b> 0 1 日	1		
告示第501号, 設計・建設規格, JISの記号	計算書の 表示	表示内容	
N	N	ガスケットの接触面の幅(JIS B 8265)	
	1,		mm
n	n		
n	n	ボルトの本数	_
r	r	すみの丸みの内半径	mm
S	S	内圧時の最高使用温度における材料の許容引張応力 告示第501号 別表第4又は別表第5,設計・建 設規格 付録材料図表 Part5 表5又は 表6による。	MPa
σa	Sa	常温におけるボルト材料の許容引張応力	MPa
a	a	告示第501号 別表第4又は別表第5,設計・建	
		設規格 付録材料図表 Part5 表7による。	
σ <sub>b</sub>	S <sub>b</sub>	最高使用温度におけるボルト材料の許容引張応力	MPa
		告示第501号 別表第4又は別表第5,設計・建	
		設規格 付録材料図表 Part5 表7による。	
t	t	平板の計算上必要な厚さ	mm
t c	t c	平板のすみ肉ののど厚	mm
t f	t f	平板のフランジ部の厚さ	mm
t n	t n	ガスケット溝を考慮した平板の厚さ	mm
	t p	平板の最小厚さ	mm
	t po	平板の呼び厚さ	mm
t s	t s	胴又は管の最小厚さ	mm
t r	t sr	胴又は管の継目がない場合の計算上必要な厚さ	mm
t w	t w	設計・建設規格 表 PVC-3310-1 及び表 PVD-3310-1	mm
+	+	による。	mm
t w 1	t w 1	設計・建設規格 表 PVC-3310-1 及び表 PVD-3310-1	111111
+	+	による。	mm
t <sub>w2</sub>	t <sub>w2</sub>	設計・建設規格 表 PVC-3310-1 及び表 PVD-3310-1 による。	111111
W	W	にょる。   パッキンの外径又は平板の接触面の外径内の面積に	N
		ハッキンの外径又は平板の接触面の外径内の面積に 作用する全圧力	
W <sub>g</sub>	W <sub>g</sub>	ガスケット締付時のボルト荷重	N
W <sub>m1</sub>	W <sub>m1</sub>	使用状態での必要な最小ボルト荷重	N
m 1	m 1	区川小宮(ツ心女は秋小小川川里	= '

告示第501号, 設計・建設規格, JISの記号	計算書の 表示	表示内容	
$W_{m2}$	$W_{m2}$	ガスケット締付時に必要な最小ボルト荷重	N
$W_{o}$	$W_{o}$	使用状態でのボルト荷重	N
У	У	ガスケットの最小設計締付圧力 (JIS B	$\mathrm{N/mm^2}$
		8265 附属書3 表2による。)	
π	π	円周率	_
	σp	平板に作用する力によって生じる応力	MPa
	ガスケット	ガスケット座面の形状 (JIS B 8265	_
	座面の形状	附属書3 表3による。)	

## (2) 形状の制限

# a. 告示第501号(第33条第1項)

取	 付け方法	形状の制限
(a)	t po	無し
(b)	t po	d ≦600 mm, t <sub>p o</sub> ≧ d ∕20 であること。
(c)	tpo	d ≦600 mm, t <sub>p o</sub> ≧ d ∕20 であること。
(d)	r=3tf以上 tf	r≧3·t <sub>f</sub> であること。
(e)	r=3tf以上	d $\leq$ 600 mm, t po $\geq$ d $\neq$ 20, r $\geq$ 3・t f であること。

F		形状の制限
(f)	r = 3tr以上	$0.8 \cdot S \ge \sigma_p \text{ his},$
	t po	r ≧3·t <sub>f</sub> あること。
(g)	分割リング	0.8·S≧σ <sub>p</sub> であること。
	p tpo ねじ込み輪	
(h)	t <sub>po</sub>	$0.8 \cdot S_b \ge \sigma_p$ であること。
( i )	ts tpo 45°以下	$t_{w} \ge 2 \cdot t_{sr}$ かつ, $t_{w} \ge 1.25 \cdot t_{s}$ であること

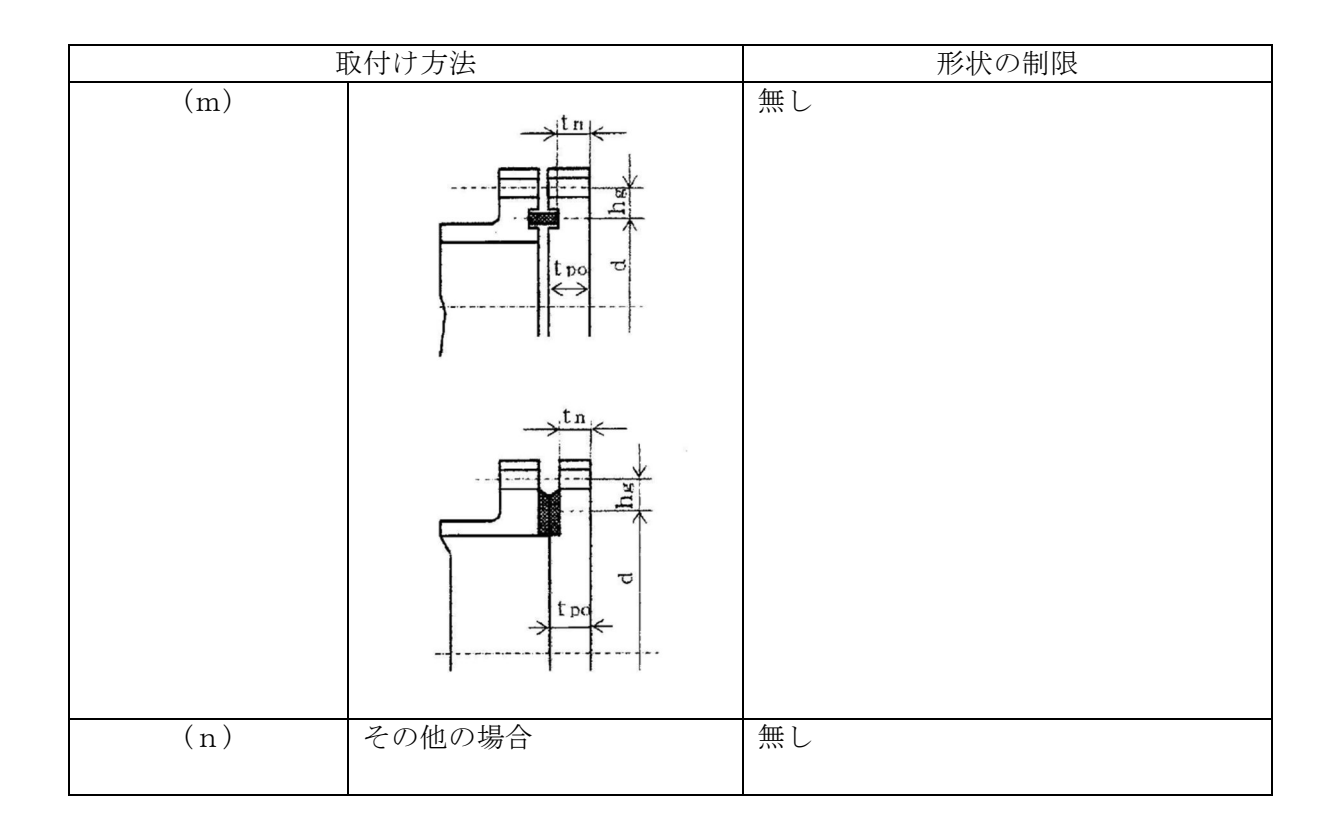
1	 対付け方法	形状の制限
(j)	ts tw tw tpo	$t_{w} \ge 2 \cdot t_{sr}$ かつ, $t_{w} \ge 1.25 \cdot t_{s}$ であること
(k)	t <sub>w</sub> t <sub>e</sub>	$t_{w} \ge 2 \cdot t_{sr}$ , $t_{w} \ge 1.25 \cdot t_{s}$ であること かつ, $t_{c} \ge Min(0.7 \cdot t_{s}, 6)$ であること。
(0)	t <sub>po</sub>	無し
(m)	その他の場合	無し

## b. 設計・建設規格 (PVC-3310)

	光僧(1 VC 3310) 	以中の生間
(a)	付け方法	形状の制限無し
( a )	d tpo	
(b)	r≥0.25 · t f	d $\leq$ 600, d $/$ 4> t $_{\rm po}$ $\geq$ d $/$ 20 かつ, r $\geq$ t $_{\rm f}$ $/$ 4 であること。
(c)	tstf tf≥2·ts   tstf tf≥2·ts   r≥3·tf	$t_f \ge 2 \cdot t_s$ かつ、 $r \ge 3 \cdot t_f$ であること。
(d)	t f t f≥ts  t f  t r  t r  t r  t r  t s	$t_f \ge t_s$ かつ, $r \ge 1.5 \cdot t_f$ であること。
(e)		r ≧3· t <sub>f</sub> であること。

Я	 反付け方法	形状の制限
(f)	かけ t po おじ込み輪	0.8·S≧σ <sub>p</sub> であること。
(g)	t po	$0.8 \cdot S_b \ge \sigma_p$ であること。
(h)	t w t bo	$t_{w} \ge 2 \cdot t_{sr}$ かつ, $t_{w} \ge 1.25 \cdot t_{s}$ であること
( i )	twi+ tw2≥2·ts twi≥ ts	$\begin{array}{c} \mathbf{t_{w1}} + \mathbf{t_{w2}} \geq 2 \cdot \mathbf{t_{s}}, \\ \mathbf{t_{w1}} \geq \mathbf{t_{s}}  \text{かつ}, \\ \mathbf{t_{s}} \geq 1.25 \cdot \mathbf{t_{sr}}  \text{であること}. \end{array}$

取付け方法		形状の制限
( j ) (1)	t tw	$t_{w} \ge Min(0.5 \cdot t_{s}, 0.25 \cdot t_{po}),$ $t_{c} \ge Min(0.7 \cdot t_{s}, 6)$ であること。
( j ) (2)	t bo	$\begin{array}{c} t_{w} \geq \operatorname{Min}\left(1.0 \cdot t_{s}, \ 0.5 \cdot t_{po}\right), \\ t_{c} \geq \operatorname{Min}\left(0.7 \cdot t_{s}, \ 6\right) $ であること。
(k)	t c t s d	t <sub>c</sub> ≥Min(0.7·t <sub>s</sub> , 6)であること。
(0)	tw1+ tw2=2· ts以上 (tw2=0を含む。)	$t_{w1} + t_{w2} \ge 2 \cdot t_{s}$ , $(t_{w2} = 0 を含む。)$



### (3) 算式

平板の計算上必要な厚さは,次の式による値とする。

- a. 告示第501号
  - (a) 平板に穴がない場合

$$t = d \cdot \sqrt{\frac{K \cdot P}{S}}$$

Kの値は以下による。

II の順はめ	1 1 - 31 - 30
取付け方法	K の値
第33条第1項	
(a)	
(b)	0. 20
(c)	
(d)	0. 25
(e)	0.20
(f)	
( g )	0. 30
(h)	
( i )	
( j )	0.50
(k)	
(0)	$0.30 + \frac{1.4 \cdot F \cdot h_g}{W \cdot d} $ *1
(m)	0.75

注記 \*1:2.2.10項「フランジの強度計算」における記号との対応は次のとおり。  $F \, \text{tw}_o \, \text{eW}_g \, \text{o} \text{notation} \, \text{th}_g \, \text{th}_G, \, \text{W} \, \text{th}_G, \, \text{W} \, \text{th}_G \, \text{d} \, \text{th}_G \, \text{th$ 

(b) 平板に穴を設ける場合であって、穴の径( $d_h$ )がdの2分の1以下で容器の胴の穴の補強に準じて補強するものの計算上必要な厚さは、次の式による値とする。

$$t = d \cdot \sqrt{\frac{K \cdot P}{S}}$$

この場合において、平板の補強に用いる必要厚さ( $t_{pr}$ )は t とし、かつ、補強に有効な面積は、補強に必要な面積の2分の1以上とする。

(c) 平板に穴を設ける場合であって、穴の径( $d_h$ )が d の2分の1以下で(b) 項以外 のものの計算上必要な厚さは、次の式による値とする。

$$t = d \cdot \sqrt{\frac{2 \cdot K \cdot P}{S}}$$

ただし、平板の取付け方法が、(Q) の場合を除き、Kの値が0.375を超えるときはその値を0.375とする。

(d) 平板に穴を設ける場合であって,穴の径( $d_h$ )が d の2分の1を超えるものの計算上必要な厚さは,次の式による値とする。

$$t = d \cdot \sqrt{\frac{2.25 \cdot K \cdot P}{S}}$$

### b. 設計·建設規格

(a) 平板に穴がない場合

$$t = d \cdot \sqrt{\frac{K \cdot P}{S}}$$

Kの値は以下による。

取付け方法	Kの値
(a)	0. 17
(b)	0. 13
(c)	0. 17
(d)	$\max(0.2, 0.33 \cdot m)$
(e)	0. 17 0. 10*1
(f)	0.00
(g)	0. 20
(h)	$\max(0.2, 0.33 \cdot m)$
( i )	0. 33
(j)(1) (j)(2) (k) (l)	$\max(0.2, 0.33 \cdot m)$ $\exists \exists \forall, m = t_{sr} / t_{s}$
(m)	$0.20+rac{1.0\cdot\mathrm{F}\cdot\mathrm{h}_{\mathrm{g}}}{\mathrm{W}\cdot\mathrm{d}}$ ただし、 $\mathrm{t}_{\mathrm{n}}$ の厚さにあっては $rac{1.0\cdot\mathrm{F}\cdot\mathrm{h}_{\mathrm{g}}}{\mathrm{W}\cdot\mathrm{d}}$
(n)	0.50

注記 \*1:取付け方法(e)において  $t_f$  から  $t_s$  へ移行するテーパが1対4又はそれより緩やかであり、かつ、以下の①又は②いずれかの場合、K=0.10とする。

① 
$$1 \ge \left(1.1 - 0.8 \cdot \frac{t_s^2}{t_f^2}\right) \cdot \sqrt{d \cdot t_f}$$
 の場合

② 
$$t_s$$
が $2 \cdot \sqrt{d \cdot t_s}$  以上の長さにわたって

$$t_s \ge 1.12 \cdot t_f \cdot \sqrt{1.1 - \ell / \sqrt{d \cdot t_f}}$$
 の場合

\*2:2.2.10項「フランジの強度計算」における記号との対応は次のとおり。  $\mbox{FitW}_o \mbox{EW}_g \mbox{Onvずれか大きい方,} \mbox{ } \mbox{h}_g \mbox{lth}_G, \mbox{ WkH,} \mbox{ } \mbox{d} \mbox{lth} \mbox{G} \mbox{(セルフシールガスケットを用いる場合はD}_g) \mbox{とする。}$ 

(b) 平板に穴を設ける場合であって、穴の径( $d_h$ )がdの2分の1以下で容器の胴の穴の補強に準じて補強するものの計算上必要な厚さは、次の式による値とする。

$$t = d \cdot \sqrt{\frac{K \cdot P}{S}}$$

この場合において、平板の補強に用いる必要厚さ( $t_{pr}$ )は t とし、かつ、補強に有効な面積は、補強に必要な面積の2分の1以上とする。

(c) 平板に穴を設ける場合であって、穴の径( $d_h$ )が d の2分の1以下で(b) 項以外 のものの計算上必要な厚さは、次の式による値とする。

$$t = d \cdot \sqrt{\frac{2 \cdot K \cdot P}{S}}$$

ただし、平板の取付け方法が、(m) の場合を除き、Kの値が0.375を超えるときはその値を0.375とする。

(d) 平板に穴を設ける場合であって,穴の径( $d_h$ )が d の2分の1を超えるものの計算上必要な厚さは,次の式による値とする。

$$t = d \cdot \sqrt{\frac{2.25 \cdot K \cdot P}{S}}$$

(4) 評価

平板の最小厚さ  $(t_p)$   $\ge$  平板の計算上必要な厚さ (t) ならば十分である。

# 2.2.4.2 だ円形マンホール平板の計算

JIS B 8201 6.6.8項 マンホールカバーの最小厚さを適用する。

### (1) 記号の説明

JISの記号	計算書の表示	表示内容	単位
a	a	穴の長径	mm
b	b	穴の短径	mm
С	С	穴の短径と長径との比によって定まる係数	_
		(JIS B 8201図6.20による。)	
	t	マンホール平板に必要な厚さ	mm
t	t 1	マンホール平板の計算上必要な厚さ	mm
	t 2	マンホール平板の中央部の規格上必要な最小	mm
		厚さ	
	t p	マンホール平板の最小厚さ	mm
	t po	マンホール平板の呼び厚さ	mm
$\alpha$	$\alpha$	付け代で,1 mm 以上とする。ただし,取替え	mm
		のできるマンホール平板にあっては, 0 とす	
		る。	
σа	σа	材料の許容引張応力 設計・建設規格 付録材料図表 Part5 表 5	MPa
		又は表6による。	

# (2) 算式

だ円形マンホール平板の計算上必要な厚さは次に掲げる値のうちいずれか大きい値とする。

a. 平板の計算上必要な厚さ: t<sub>1</sub>

$$t_1 = \frac{5 \cdot b}{c} \cdot \sqrt{\frac{P}{\sigma_a} + \alpha}$$

b. 規格上必要な最小厚さ: t<sub>2</sub> 平板の中央部の厚さは14 mm 以下としてはならない。

# (3) 評価

マンホール平板の最小厚さ( $t_p$ ) $\ge$ マンホール平板に必要な厚さ(t)ならば十分である。

# 2.2.5 容器の管板の計算

重大事故等クラス2容器については設計・建設規格 PVC-3510を適用する。

# (1) 記号の定義

設計・建設 規格の記号	計算書の表示	表示内容	単位
A	A	管板に取り付けられる任意の管の中心が囲む面積	$\mathrm{mm}^2$
D	D	パッキンの中心円の径(胴と一体となった管板にあっては、胴の内径)	mm
	d t	管の外径	mm
F	F	管及び管板の支え方による係数	_
L	L	面積Aの周のうち穴の径以外の部分の長さ	mm
Р	Р	計算上必要な厚さが大きい値の方の最高使用圧力	MPa
	P <sub>t</sub>	管穴の中心間の距離	mm
S	S	最高使用温度における材料の許容引張応力 設計・建設規格 付録材料図表 Part5 表 5 又は表 6 による。	MPa
	t	管板に必要な厚さ	mm
t	t 1	管板の計算上必要な厚さ	mm
t	t 2	管板の計算上必要な厚さ	mm
	t <sub>b</sub>	管板の最小厚さ	mm
	t bo	管板の呼び厚さ	mm
	t s	胴と管板が一体となっている場合の胴の最小厚さ	mm
	Z	管穴の中心間に必要な距離	mm
	伝熱管の形式		
	直管	同左	_
	U字管	同左	_
	管板の支え方 管側胴と一 体でない。	同左	_
	管側胴と一	同左	_
	体である。 胴側胴と一 体でない。	同左	_
	開側胴と一   体である。	同左	_

#### (2) 形状の制限

#### (3) 算式

管板の計算上必要な厚さは、次の式により計算したいずれか大きい方の値 (10 mm未満の場合は10 mm) とする。

$$t_{1} = \frac{F \cdot D}{2} \cdot \sqrt{\frac{P}{S}}$$

$$t_{2} = \frac{P}{0.85 \cdot S} \cdot \left(\frac{A}{L}\right)_{Max}$$

ここで $\left(\frac{A}{L}\right)_{Max}$ は $\left(\frac{A}{L}\right)$ の最大値であり,通常一番外側の管穴の中心を順次結んで

得られる多角形が最大値となる。

以下にA及びLの取り方の例を示す。

Aは、一番外側の管穴の中心を順次結んで得られる多角形の面積(図2-5参照)

Lは、一番外側の管穴の中心を順次結んで得られる多角形の外周の長さから外周上の 管穴の直径の合計を差し引いた長さ

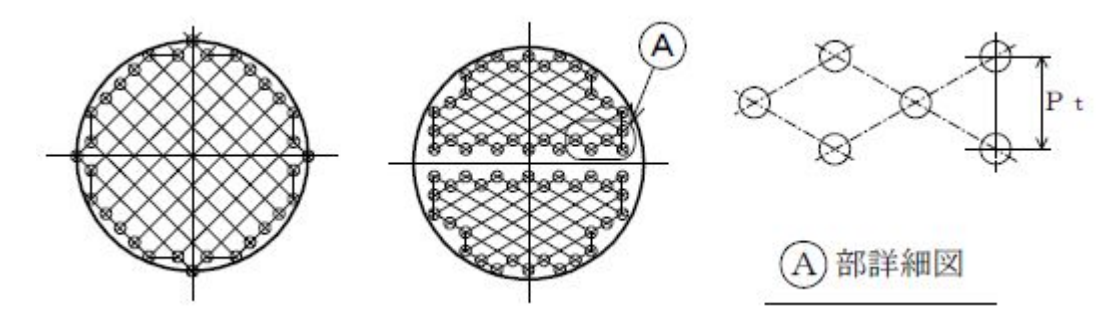


図2-5 管板の計算に用いる多角形

なお、計算は管側と胴側各々の条件に対して行い、計算上必要な厚さが大きい側の結果を強度計算書に記載する。

# (4) 評価

管板の最小厚さ  $(t_b)$  ≧管板に必要な厚さ (t) ならば十分である。

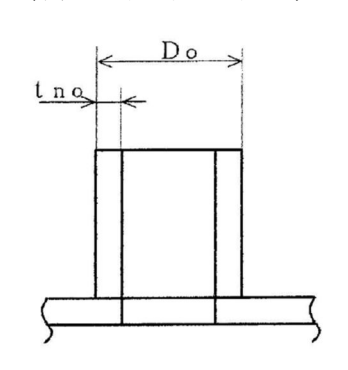
### 2.2.6 容器の管台の計算

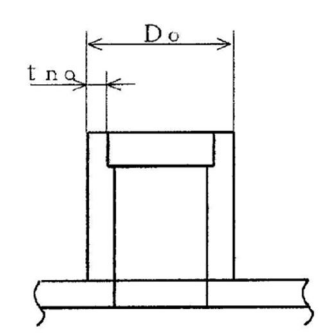
重大事故等クラス2容器については設計・建設規格 PVC-3610を適用する。

### (1) 記号の定義

設計・建設 規格の記号	計算書の表示	表示内容	単位
D <sub>o</sub>	D <sub>o</sub>	管台の外径*	mm
S	S	内圧時の最高使用温度における材料の許容引張応力 設計・建設規格 付録材料図表 Part5 表 5 又は表 6 による。	MPa
	t	管台に必要な厚さ	mm
t	t 1	管台の計算上必要な厚さ	mm
	t 3	管台の規格上必要な最小厚さ	mm
	t	管台の最小厚さ	mm
	t no	管台の呼び厚さ*	mm

注記 \*:管台の外径及び呼び厚さは、下図参照。





本図は、管台の外径及び呼び厚さの寸法を説明するものであり、管台の取付け形式を示す ものではない。

#### (2) 算式

管台に必要な厚さは、次に掲げる値のうちいずれか大きい値とする。

a. 内面に圧力を受ける管台: t<sub>1</sub>

$$t_1 = \frac{P \cdot D_o}{2 \cdot S \cdot \eta + 0.8 \cdot P}$$

b. 規格上必要な最小厚さ: ${\rm t}_3$ 

炭素鋼鋼管を使用する管台にあっては、管台の外径に応じて設計・建設規格 表 PVC-3610-1より求めた管台の厚さとする。

### (3) 評価

管台の最小厚さ  $(t_n)$  ≧管台に必要な厚さ (t) ならば十分である。

# 2.2.7 開放タンクの計算

(1) 開放タンクの胴の計算

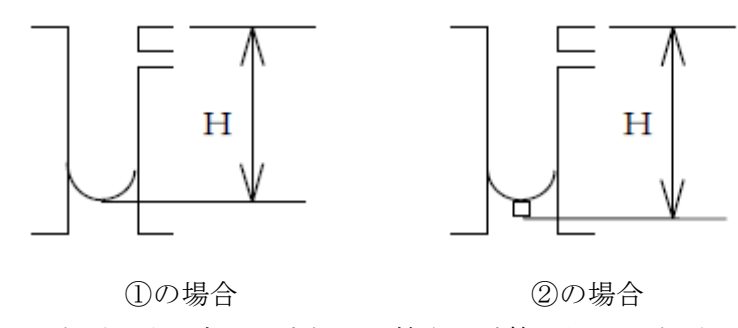
重大事故等クラス2容器については設計・建設規格 PVC-3920を適用する。

# a. 記号の定義

設計・建設 規格の記号	計算書の表示	表示内容	単位
D i	D i	胴の内径	m
Н	Н	水頭*	m
S	S	最高使用温度における材料の許容引張応力 設計・建設規格 付録材料図表 Part5 表 5 又は表 6 による。	MPa
	t	胴に必要な厚さ	mm
	t 1	胴の規格上必要な最小厚さ	mm
t	t 2	胴の計算上必要な厚さ	mm
	t 3	胴の内径に応じた必要厚さ	mm
	ts	胴の最小厚さ	mm
	t so	胴の呼び厚さ	mm
ρ	ρ	液体の比重。ただし、1.00 未満の場合は 1.00 とする。	_

注記 \*:開放タンクの水頭の取り方は、強度評価上は次のいずれかとする。

- ① タンク上部フランジ上端又はタンク胴板上端より底板内側まで
- ② 底板に管台が取り付く場合は,第1溶接継手まで



なお、この水頭の取り方は、底板及び管台の計算で用いる水頭も同じである。

# b. 算式

開放タンクの胴に必要な厚さは、次に掲げる値のうちいずれか大きい値とする。

(a) 規格上必要な最小厚さ: t<sub>1</sub>

炭素鋼鋼板又は低合金鋼鋼板で作られた場合は3 mm, その他の材料で作られた場合は1.5 mmとする。

(b) 胴の計算上必要な厚さ: t<sub>2</sub>

$$t_2 = \frac{D_i \cdot H \cdot \rho}{0.204 \cdot S \cdot \eta}$$

(c) 胴の内径に応じた必要厚さ: t<sub>3</sub>

胴の内径が5 mを超えるものについては、胴の内径の区分に応じ設計・建設規格表PVC-3920-1より求めた胴の厚さとする。

# c. 評価

胴の最小厚さ (t<sub>s</sub>)  $\geq$  胴に必要な厚さ (t) ならば十分である。

# (2) 開放タンクの底板の計算

### a. 記号の定義

設計・建設 規格の記号	計算書の表示	表示内容	単位
Н	Н	水頭	m
	t	底板の規格上必要な厚さ	mm
	t <sub>b</sub>	底板の最小厚さ	mm
	t bo	底板の呼び厚さ	mm
ρ	ρ	液体の比重。ただし、1.00 未満の場合は1.00 とす	_
		る。	

下記c. (b) 項の場合の記号の説明で上記以外の記号については、鏡板又は平板の項を参照のこと。ただし、鏡板の計算にあっては、  $t_b e t_c$ 、  $t_b e t_c$  に読み替える。

# b. 形状の制限

次のいずれかであること。

- (a) 平板
- (b) 設計・建設規格に規定されている鏡板

#### c. 算式

開放タンクの底板に必要な厚さは次によるものとする。

- (a) 地面, 基礎等に直接接触するものの厚さ: t 設計・建設規格 PVC-3970(1)により6 mm以上とする。
- (b) 上記以外のものの底板に必要な厚さ: t
   設計・建設規格 PVC-3970(2)を適用する。
   ここで、最高使用圧力 P は次の式による値とする。
   P=9.80665×10<sup>-3</sup>·H·ρ

# イ. 鏡板

設計・建設規格 PVC-3970(2)より,設計・建設規格 PVC-3220を準用する。 さら形鏡板にあっては,2.2.3(1)項「さら形鏡板の計算」による厚さとする。 全半球形鏡板にあっては,2.2.3(2)項「全半球形鏡板の計算」による厚さと する。

半だ円形鏡板にあっては、2.2.3(3)項「半だ円形鏡板の計算」による厚さとする。

#### 口. 平板

設計・建設規格 PVC-3970(2)より、設計・建設規格 PVC-3310を準用する。 2.2.4項「平板の計算」による厚さとする。

# d. 評価

底板の最小厚さ ( $t_b$ )  $\geq$ 底板に必要な厚さ (t) ならば十分である。

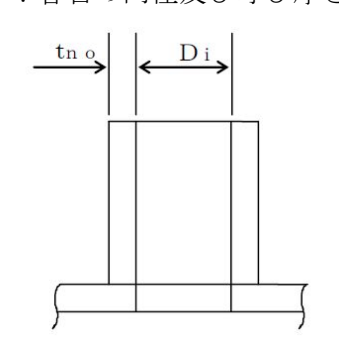
#### (3) 開放タンクの管台の計算

重大事故等クラス2容器については設計・建設規格 PVC-3980を適用する。

### a. 記号の定義

設計・建設 規格の記号	計算書の表示	表示内容	単位
D i	D i	管台の内径*	m
Н	Н	水頭	m
S	S	最高使用温度における材料の許容引張応力 設計・建設規格 付録材料図書 Part5 表 5 又は表 6 による。	MPa
	t	管台に必要な厚さ	mm
t	t 1	管台の計算上必要な厚さ	mm
	t 2	管台の規格上必要な最小厚さ	mm
	t	管台の最小厚さ	mm
	t no	管台の呼び厚さ*	mm
ρ	ρ	液体の比重。ただし、1.00 未満の場合は1.00 とする。	_

注記 \*:管台の内径及び呼び厚さは、下図参照。



本図は、管台の内径及び呼び厚さの寸法を説明する ものであり、管台の取付け形式を示すものではない。

# b. 算式

開放タンクの管台に必要な厚さは、次に掲げる値のうちいずれか大きい値とする。

(a) 管台の計算上必要な厚さ: t<sub>1</sub>

$$t_1 = \frac{D_i \cdot H \cdot \rho}{0.204 \cdot S \cdot \eta}$$

(b) 規格上必要な最小厚さ:t<sub>2</sub>

管台の外径に応じ設計・建設規格 表PVC-3980-1より求めた管台の厚さとする。

# c. 評価

管台の最小厚さ  $(t_n)$  ≧管台に必要な厚さ (t) ならば十分である。

#### 2.2.8 熱交換器の伝熱管の計算

重大事故等クラス 2 容器の熱交換器の伝熱管については設計・建設規格 PVC-3610(1)及びPVC-3610(2)を適用する。

# (1) 記号の定義

設計・建設 規格の記号	計算書の表示	表示内容	単位
В	В	設計・建設規格 付属材料図表 Part7 図 $1\sim$ 図 20 より求めた値(Bを求める際に使用した板の厚さは 繰返し計算により最終的に $t_2$ となる。)	_
D <sub>o</sub>	D <sub>o</sub>	伝熱管の外径	mm
P <sub>e</sub>	P <sub>e</sub>	外面に受ける最高の圧力	MPa
S	S	最高使用温度における材料の許容引張応力 設計・建設規格 付録材料図表 Part5 表 5 又は表 6 による。	MPa
	t	伝熱管に必要な厚さ	mm
t	t 1	内圧時の伝熱管の計算上必要な厚さ	mm
t	t 2	外圧時の伝熱管の計算上必要な厚さ	mm
	t t	伝熱管の最小厚さ	mm
	t to	伝熱管の呼び厚さ	_

#### (2) 算式

伝熱管に必要な厚さは、次に掲げる値のうちいずれか大きい値とする。

a. 内面に圧力を受ける伝熱管: t<sub>1</sub>

$$t_1 = \frac{P \cdot D_o}{2 \cdot S \cdot \eta + 0.8 \cdot P}$$

b. 外面に圧力を受ける伝熱管:  $t_2$ 

設計・建設規格 図PVC-3610-1より  $P_e$ 及び S に対応して求めた厚さ。ただし、図より求められない場合は、次の式により計算した値とする。

$$t_2 = \frac{3 \cdot P_e \cdot D_o}{4 \cdot B}$$

# (3) 評価

伝熱管の最小厚さ( t  $_{\rm t}$  )  $\geq$ 伝熱管に必要な厚さ( t ) ならば十分である。

# 2.2.9 穴の補強計算

# (1) 記号の定義

設計・建設 規格の記号	計算書の表示	表示内容	単位
	A <sub>0</sub>	補強に有効な総面積	$\mathrm{mm}^2$
A	$A_1$	胴、鏡板又は平板の部分の補強に有効な面積	$\mathrm{mm}^2$
	$A_2$	管台の部分の補強に有効な面積	$\mathrm{mm}^2$
	$A_3$	すみ肉溶接の部分の補強に有効な面積	$\mathrm{mm}^2$
	$A_4$	強め板の部分の補強に有効な面積	$\mathrm{mm}^2$
	A <sub>OD</sub>	$X_1 \neq X_2$ の場合の片側断面についての補強に有効な総面積	$\mathrm{mm}^2$
	$A_{1D}$	X <sub>1</sub> ≠X <sub>2</sub> の場合の片側断面についての胴, 鏡板又は 平板の部分の補強に有効な面積	$\mathrm{mm}^2$
	$A_{2D}$	X <sub>1</sub> ≠X <sub>2</sub> の場合の片側断面についての管台の部分の 補強に有効な面積	$\mathrm{mm}^2$
	$A_{3D}$	X <sub>1</sub> ≠X <sub>2</sub> の場合の片側断面についてのすみ肉溶接の 部分の補強に有効な面積	$\mathrm{mm}^2$
	$A_{4D}$	X <sub>1</sub> ≠X <sub>2</sub> の場合の片側断面についての強め板	$\mathrm{mm}^2$
	$A_{j0}$	大きい穴の補強に有効な総面積	$\mathrm{mm}^2$
	$A_{j}$	大きい穴の胴,鏡板又は平板の部分の補強に有効な 面積	$\mathrm{mm}^2$
	$A_{j}$	大きい穴の管台の部分の補強に有効な面積	$\mathrm{mm}^2$
	A <sub>j 3</sub>	大きい穴のすみ肉溶接の部分の補強に有効な面積	$\mathrm{mm}^2$
	$A_{j\;4}$	大きい穴の強め板の部分の補強に有効な面積	$\mathrm{mm}^2$
	A <sub>j r</sub>	大きい穴の補強に有効な面積	$\text{mm}^2$
Ar	Ar	穴の補強に必要な面積	$\mathrm{mm}^2$
	A <sub>rd</sub>	片側断面についての穴の補強に必要な面積	$\text{mm}^2$
В	В	設計・建設規格 付録材料図表 Part7 図 1~図 20 より求めた値(Bを求める際に使用した板の厚さは 繰返し計算により最終的に t n r となる。)	_
	Ве	強め板の外径	mm
d	d	胴又は鏡板の断面に現われる穴の径 平板の場合は設計・建設規格の表中に規定する方法 によって測った平板の径又は、最小内のり断面に現 われる穴の径	mm
	d <sub>h</sub>	平板の断面に現われる穴の径	mm
	d <sub>j</sub>	大きい穴の補強を要する限界径	mm
	d <sub>w</sub>	管台の取り付く穴の径(完全溶込み溶接により溶接 された管台については、 $d_w = D_{on} + \alpha$ ( $\alpha$ はルート 間隔の 2 倍)、それ以外の管台については、 $d_w = 0$	mm
		$D_{on}$ )	

設計・建設 規格の記号	計算書の表示	表示内容	単位
D <sub>i</sub>	D i	円筒胴にあっては胴の内径。さら形鏡板及び半だ円 形鏡板にあっては鏡板のフランジ部の内径。全半球 形鏡板にあっては鏡板の内径	mm
D	D <sub>i L</sub>	半だ円形鏡板の内面における長径	mm
	D i s	半だ円形鏡板の内面における短径	mm
	D <sub>on</sub>	管台の外径	mm
F	F	係数	_
	F <sub>1</sub>	すみ肉溶接の許容せん断応力の係数	_
	F <sub>2</sub>	突合せ溶接の許容せん断応力の係数	_
	F <sub>3</sub>	突合せ溶接の許容引張応力の係数	_
	$F_4$	管台壁の許容せん断応力の係数	_
K <sub>1</sub>	К <sub>1</sub>	半だ円形鏡板の長径と短径との比による係数	_
	L <sub>1</sub>	溶接の脚長*1	mm
	$L_2$	溶接の脚長*1	mm
	L <sub>3</sub>	溶接の脚長*1	mm
	$L_4$	溶接の脚長*1	mm
	L 5	溶接の脚長*1	mm
Ar	PLATE-	管台のない平板形式(図 2-25 参照)	_
В	R	さら形鏡板にあっては鏡板の中央部における内面の 半径。半だ円形鏡板にあってはD <sub>1L</sub> ・K <sub>1</sub> 。全半球 形鏡板にあっては鏡板の内半径。 鏡板材の許容引張応力	mm MPa
Б	S <sub>c</sub>	設計・建設規格 付録材料図表 Part5 表 5 又は表 6 による。	WII a
	S <sub>e</sub>	強め板材の許容引張応力 設計・建設規格 付録材料図表 Part5 表5又は表 6による。	MPa
S	S <sub>n</sub>	管台材の許容引張応力 設計・建設規格 付録材料図表 Part5 表 5 又は表 6 による。	MPa
	Sp	平板材の許容引張応力 設計・建設規格 付録材料図表 Part5 表 5 又は表	MPa
S	Ss	6 による。 胴板材の許容引張応力 設計・建設規格 付録材料図表 Part5 表 5 又は表 6 による。	MPa
	$S_{w1}$	すみ肉溶接部の許容せん断応力	MPa
	$S_{w2}$	突合せ溶接部の許容せん断応力	MPa

設計・建設 規格の記号	計算書の表示	表示内容	単位
	S <sub>w3</sub>	突合せ溶接部の許容引張応力	MPa
	$S_{w4}$	管台壁の許容せん断応力	MPa
t s	t c	鏡板の最小厚さ	mm
t sr	t cr	穴の補強計算に用いる鏡板の計算上必要な厚さ	mm
	t e	強め板の最小厚さ	mm
t n	t n	管台の最小厚さ	mm
	t no	管台の呼び厚さ	mm
t nr	t nr	管台の計算上必要な厚さ	mm
ts	t p	平板の最小厚さ	mm
t sr	tpr	平板の計算上必要な厚さ	mm
t s	t s	胴の最小厚さ	mm
t sr	t sr	胴の継目がない場合の計算上必要な厚さ	mm
	W	溶接部の負うべき荷重	N
	$\mathbf{W}_{1}^{*2}$	$W_1 = \left(A_2 + A_3 + A_4\right) \cdot S_s$	N
	W <sub>2</sub> *2	$W_2 = (d \cdot t_{sr} - A_1) \cdot S_s \times lt$	N
	2	$W_2 = \left( d_w \cdot t_{sr} - A_1 \right) \cdot S_s$	
	W <sub>e 1</sub>	すみ肉溶接部のせん断力(管台取付部:胴,鏡板又 は平板の外側)	N
	W <sub>e 2</sub>	すみ肉溶接部のせん断力(管台取付部:胴,鏡板又 は平板の内側)	N
	W <sub>e 3</sub>	すみ肉溶接部のせん断力 (強め板取付部)	N
	W <sub>e4</sub>	突合せ溶接部のせん断力(胴,鏡板又は平板と強め板との突合せ部)	N
	W <sub>e 5</sub>	突合せ溶接部のせん断力(管台取付部)	N
	$ m W_{e5D}$	突合せ溶接部のせん断力(管台取付部)	N
	W <sub>e 6</sub>	突合せ溶接部の引張力(胴,鏡板又は平板の部分径 Donにおいて)	N
	W <sub>e 7</sub>	突合せ溶接部の引張力(胴,鏡板又は平板の部分径 dwにおいて)	N
	W <sub>e8</sub>	突合せ溶接部の引張力(強め板の部分径D。nにおいて)	N
	W <sub>e 9</sub>	突合せ溶接部の引張力(強め板の部分径 d wにおいて)	N
	W e 1 0	管台のせん断力	N
	W <sub>e 1 1</sub>	すみ肉溶接部のせん断力 (管台取付部の胴, 鏡板又 は平板の部分径 d wより外側)	N

設計・建設 規格の記号	計算書の表示	表示内容	単位
	W <sub>ebp1</sub>	予想される破断箇所の強さ	N
	W <sub>ebp2</sub>	予想される破断箇所の強さ	N
	W <sub>ebp3</sub>	予想される破断箇所の強さ	N
	W <sub>ebp4</sub>	予想される破断箇所の強さ	N
	W <sub>ebp5</sub>	予想される破断箇所の強さ	N
	W e b p 6	予想される破断箇所の強さ	N
	WELD-	管台溶接形式(図 2-6~図 2-24 を参照)	_
	X	補強の有効範囲(胴,鏡板又は平板の面に沿った方 向)	mm
	$X_{1}$	補強の有効範囲	mm
	$X_2$	補強の有効範囲	mm
	$X_{j}$	大きい穴の補強に有効な範囲	mm
	$X_{j}$	大きい穴の補強に有効な範囲	mm
	X <sub>j 2</sub>	大きい穴の補強に有効な範囲	mm
	$\mathbf{Y}_{1}$	補強の有効範囲(胴、鏡板又は平板より外側)	mm
	${ m Y}_2$	補強の有効範囲(胴、鏡板又は平板より内側)	mm
η	η	穴が長手継手又は胴と全半球形鏡板との接合部の周	_
		継手を通る場合はその継手の効率。その他の場合は 1.00	
	π	円周率	_
	応力除去の 有無		
	有り	同左	_
	無し	同左	_

注記 \*1: 重大事故等クラス2容器については設計・建設規格 図PVC-4212-3による。

\*2:本記号の表示内容は胴の場合を示す。

なお,鏡板の場合は $S_s$ を $S_c$ ,  $t_{sr}$ を  $t_{cr}$ に読み替える。平板の場合は, $S_s$  を $S_p$ , dを d h,  $t_{sr}$ を  $t_{pr}$ に読み替える。

#### (2) 容器の穴の補強計算

「補強は、穴の中心を含み、かつ、胴板の面に垂直な任意の平面に現れる断面について、補強に有効な範囲内にある補強に有効な面積が補強に必要な面積より大きい」ことを確認する。また、破断が想定される溶接部の強さが溶接部の負うべき荷重より大きいことを確認する。

なお、穴の補強計算上必要のない強め板を取り付けるものもあるが、その場合は強め 板があるものとして計算する。

a. 胴の場合 (設計・建設規格 PVC-3160)

重大事故等クラス2容器については、設計・建設規格 PVC-3160を適用する。

#### (a) 管台の形式

図2-6~図2-24に管台の形式,補強に有効な面積,補強に必要な面積,破断形式等を示す。

ただし, すみ肉溶接部分の破断箇所については, 両方の脚長が等しいため, 片側の脚長の破断形式のみを図示する。

#### (b) 穴の補強

#### イ. 補強に必要な面積

### (イ) 円筒形の胴の場合

①管台の一部分が胴の部分となっていない場合及びWELD-8, 22の場合  $A_r = d \cdot t_{s.r} \cdot F$ 

②管台の一部分が胴の部分となっている場合

$$A_r = d \cdot t_{sr} \cdot F + 2 \cdot (1 - S_n/S_s) \cdot t_{sr} \cdot F \cdot t_n$$
  
( $S_n/S_s > 1$ の場合は $S_n/S_s = 1$ とする。以下,胴の場合において同じ。)

ロ. 補強に有効な範囲(設計・建設規格 PVC-3161.1)

$$X=X_1+X_2$$
 $X_1=X_2=Max (d, d/2+t_s+t_n)$ 
 $Y_1=Min (2.5 \cdot t_s, 2.5 \cdot t_n+t_e)$ 
 $Y_2=Min (2.5 \cdot t_s, 2.5 \cdot t_n)$ 

ただし、構造上計算した有効範囲が取れない場合は、構造上取り得る範囲とする。

また、強め板がない場合には t 。=0とする。

ハ. 補強に有効な面積

設計・建設規格 PVC-3161.2を適用する。

- (イ) 胴の部分の補強に有効な面積
  - ①管台の一部分が胴の部分となっていない場合及びWELD-8, 22, 38の場合

$$A_1 = (\eta \cdot t_s - F \cdot t_{sr}) \cdot (X - d)$$

②管台の一部分が胴の部分となっている場合

$$\begin{aligned} \mathbf{A}_{1} &= \left( \boldsymbol{\eta} \cdot \mathbf{t}_{s} - \mathbf{F} \cdot \mathbf{t}_{s r} \right) \cdot \left( \mathbf{X} - \mathbf{d} \right) \\ &- \left( 1 - \mathbf{S}_{n} / \mathbf{S}_{s} \right) \cdot \left( \boldsymbol{\eta} \cdot \mathbf{t}_{s} - \mathbf{F} \cdot \mathbf{t}_{s r} \right) \cdot 2 \cdot \mathbf{t}_{n} \end{aligned}$$

- (ロ) 管台の部分の補強に有効な面積
  - ①管台が胴の内側に突出していない場合及びWELD-8, 22, 38の場合  $A_2 = 2 \cdot \left( t_n t_{nr} \right) \cdot Y_1 \cdot S_n / S_s$
  - ②管台が胴の内側に突出している場合

$$A_2 = 2 \cdot \{ (t_n - t_{nr}) \cdot Y_1 + t_n \cdot Y_2 \} \cdot S_n / S_s$$
fete U,

$$t_{nr} = \frac{P \cdot \left(D_{on} - 2 \cdot t_{n}\right)}{2 \cdot S_{n} - 1.2 \cdot P}$$

(ハ) すみ肉溶接部の部分の補強に有効な面積

$$A_3 = L_1 \cdot L_1 + L_2 \cdot L_2 + L_3 \cdot L_3$$

ただし、補強の有効範囲にないすみ肉溶接の部分は除く。

(ニ) 強め板の部分の補強に有効な面積

$$A_4 = \{ Min(B_e, X) - D_{on} \} \cdot t_e \cdot S_e / S_s$$
 (Se/Ss>1の場合はSe/Ss=1とする。以下,胴の場合において同じ。)

(ホ) 補強に有効な総面積

$$A_0 = A_1 + A_2 + A_3 + A_4$$

二. 補強に有効な範囲 X<sub>1</sub> ≠ X<sub>2</sub>の場合の補強に有効な面積の確認

設計・建設規格 PVC-3165を適用する。

補強に必要な面積の2分の1以上の補強に有効な面積は穴の中心線の両側にある必要がある。

ただし、補強に有効な範囲 $X_1 = X_2$ の場合は上記条件を満足することが明らかであり、以下の計算は行わない。

(イ) 補強に必要な面積の2分の1

$$A_{rD} = A_r/2$$

- (ロ) X<sub>1</sub>又はX<sub>2</sub>のいずれか小さい方の断面における補強に有効な面積
  - ①胴の部分の補強に有効な面積
    - ・管台の一部分が胴の部分となっていない場合及びWELD-8, 22, 38の場合

$$A_{1D} = (\eta \cdot t_s - F \cdot t_{sr}) \cdot \{ Min(X_1, X_2) - d/2 \}$$

・管台の一部分が胴の部分となっている場合

$$A_{1D} = \left( \eta \cdot t_{s} - F \cdot t_{sr} \right) \cdot \left\{ Min\left(X_{1}, X_{2}\right) - d/2 \right\}$$
$$-\left(1 - S_{n}/S_{s}\right) \cdot \left( \eta \cdot t_{s} - F \cdot t_{sr} \right) \cdot t_{n}$$

②管台の部分の補強に有効な面積

$$A_{2D} = A_2/2$$

③すみ肉溶接の部分の補強に有効な面積

$$A_{3D} = A_3/2$$

④強め板の部分の補強に有効な面積

$$A_{4D} = A_4/2$$

⑤補強に有効な総面積

$$A_{0D} = A_{1D} + A_{2D} + A_{3D} + A_{4D}$$

### (c) 大きい穴の補強

設計・建設規格 PVC-3164を適用する。

# イ. 大きい穴の補強を要する限界径

(イ) D<sub>i</sub>が1500 mm以下の場合

$$d_i = D_i/2$$

ただし,500 mmを超える場合は500 mmとする。

(ロ)  $D_i$ が1500 mmを超える場合

$$d_i = D_i/3$$

ただし, 1000 mmを超える場合は1000 mmとする。

ここで、  $d \le d$  , の場合は大きい穴の補強計算は必要ない。

一方、 $d>d_j$ の場合は補強に必要な面積の3分の2以上が穴の周囲から穴の径の4分の1の範囲内にある必要がある。

# ロ. 大きい穴の補強における管台の形式

図2-26~図2-44に大きい穴の補強における管台の形式を示す。

ハ. 大きい穴の補強に必要な面積

$$A_{jr} = \frac{2}{3} \cdot A_{r}$$

ニ. 大きい穴の補強に有効な範囲

$$X_{i} = X_{i1} + X_{i2}$$

$$X_{j} = X_{j} = \frac{d}{2} + \frac{d}{4}$$

ただし、構造上計算した有効範囲がとれない場合は、構造上取り得る範囲とする。

#### ホ. 大きい穴の補強に有効な面積

- (イ) 胴の部分の補強に有効な面積
  - ①管台の一部分が胴の部分となっていない場合及びWELD-8, 22, 38の場合  $A_{i,1} = \left(\eta \cdot t_s F \cdot t_{s,r}\right) \cdot \left(X_i d\right)$
  - ②管台の一部分が胴の部分となっている場合

$$\begin{aligned} \mathbf{A}_{\mathsf{j} \; 1} &= \left( \; \boldsymbol{\eta} \; \cdot \; \boldsymbol{t}_{\mathsf{s}} - \boldsymbol{F} \; \cdot \; \boldsymbol{t}_{\mathsf{s} \; r} \right) \cdot \left( \; \boldsymbol{X}_{\mathsf{j}} - \boldsymbol{d} \right) \\ &- \left( 1 - \; \boldsymbol{S}_{\mathsf{n}} / \; \boldsymbol{S}_{\mathsf{s}} \right) \cdot \left( \; \boldsymbol{\eta} \; \cdot \; \boldsymbol{t}_{\mathsf{s}} - \boldsymbol{F} \; \cdot \; \boldsymbol{t}_{\mathsf{s} \; r} \right) \cdot 2 \cdot \; \boldsymbol{t}_{\mathsf{n}} \end{aligned}$$

- (ロ) 管台の部分の補強に有効な面積
  - ①管台が胴の内側に突出していない場合及びWELD-8,22,38の場合

$$A_{j2} = 2 \cdot \left\{ \frac{Min(X_{j}, D_{on}) - d}{2} - t_{nr} \right\} \cdot Y_{1} \cdot \frac{S_{n}}{S_{s}}$$

②管台が胴の内側に突出している場合

$$A_{j2} = 2 \cdot \left[ \left\{ \frac{\text{Min}(X_{j}, D_{on}) - d}{2} - t_{nr} \right\} \cdot Y_{1} + \frac{\text{Min}(X_{j}, D_{on}) - d}{2} \cdot Y_{2} \right] \cdot \frac{S_{n}}{S_{s}}$$

(ハ) すみ肉溶接の部分の補強に有効な面積

$$A_{j3} = L_1 \cdot L_1 + L_2 \cdot L_2 + L_3 \cdot L_3$$

ただし、大きい穴の補強の有効範囲にないすみ肉溶接の部分は除く。

(二) 強め板の部分の補強に有効な面積

$$A_{i4} = \{ Min(B_e, X_i) - D_{on} \} \cdot t_e \cdot S_e / S_s$$

(ホ) 大きい穴の補強に有効な総面積

$$A_{j0} = A_{j1} + A_{j2} + A_{j3} + A_{j4}$$

#### (d) 溶接部の強度

設計・建設規格 PVC-3168及びPVC-3169を適用する。

イ. 溶接部の負うべき荷重

次の2つの計算式( $\mathbf{W}_1$ 及び $\mathbf{W}_2$ )により求めた荷重のうちいずれか小さい方。

よって、
$$W=Min(W_1, W_2)$$

ここで、W<0の場合は、溶接部の強度計算は必要ない。

- 一方、W≥0の場合は以下の溶接部の強度計算を行う。
- (イ) 管台の一部分が胴の部分となっていない場合及びWELD-8,22,38の場合

$$W_1 = (A_2 + A_3 + A_4) \cdot S_s$$
  
 $W_2 = (d \cdot t_{sr} - A_1) \cdot S_s$ 

(ロ) 管台の一部分が胴の一部となっている場合

$$W_1 = (A_2 + A_3 + A_4) \cdot S_s$$
  
 $W_2 = (d_w \cdot t_{sr} - A_1) \cdot S_s$ 

ロ. 溶接部の単位面積当たりの強さ

$$S_{w1} = S_s \cdot F_1$$
  
 $S_{w2} = S_s \cdot F_2$   
 $S_{w3} = S_s \cdot F_3$   
 $S_{w4} = Min(S_s, S_n) \cdot F_4$ 

#### ハ. 継手部の強さ

- 二. 予想される破断箇所の強さ
- (イ) WELD-1,31の場合

$$W_{e\,b\,p\,1} = W_{e\,1} W_{e\,5} \cdots$$
 を通る強さ $=W_{e\,1} + W_{e\,5}$   $W_{e\,b\,p\,2} = W_{e\,5} \cdots$  を通る強さ $=W_{e\,5}$ 

(ロ) WELD-2, 32の場合

$$W_{e\,b\,p\,1} = W_{e\,1} W_{e\,2} \cdots$$
 を通る強さ= $W_{e\,1} + W_{e\,2}$   $W_{e\,b\,p\,2} = W_{e\,1} W_{e\,1\,0} \cdots$  を通る強さ= $W_{e\,1} + W_{e\,1\,0}$ 

(ハ) WELD-3, 33の場合

$$W_{e\,b\,p\,1} = W_{e\,1} W_{e\,6} \cdots$$
 を通る強さ $=W_{e\,1} + W_{e\,6}$   $W_{e\,b\,p\,2} = W_{e\,1} W_{e\,1\,0} \cdots$  を通る強さ $=W_{e\,1} + W_{e\,1\,0}$   $W_{e\,b\,p\,3} = W_{e\,7} \cdots$  を通る強さ $=W_{e\,7} + W_{e\,1\,0}$ 

(二) WELD-4, 34の場合

$$W_{e\,b\,p\,1} = W_{e\,1} W_{e\,6} \cdots$$
 を通る強さ $=W_{e\,1} + W_{e\,6}$   $W_{e\,b\,p\,2} = W_{e\,1} W_{e\,1\,0} \cdots$  を通る強さ $=W_{e\,1} + W_{e\,1\,0}$   $W_{e\,b\,p\,3} = W_{e\,1\,1} W_{e\,7} \cdots$  を通る強さ $=W_{e\,1\,1} + W_{e\,7}$  ただし, $D_{o\,n} = d_{w} O$ 場合は $W_{e\,b\,p\,1} = W_{e\,b\,p\,3}$  となるため $W_{e\,b\,p\,3}$  を省略する。

(ホ) WELD-5, 35の場合

$$W_{e\,b\,p\,1} = W_{e\,1} W_{e\,6} \cdots$$
 を通る強さ $=W_{e\,1} + W_{e\,6}$   $W_{e\,b\,p\,2} = W_{e\,1} W_{e\,1\,0} \cdots$  を通る強さ $=W_{e\,1} + W_{e\,1\,0}$ 

(へ) WELD-6, 36の場合

$$W_{e\,b\,p\,1} = W_{e\,1} W_{e\,6} W_{e\,2} \cdots$$
を通る強さ $=W_{e\,1} + W_{e\,6} + W_{e\,2}$   $W_{e\,b\,p\,2} = W_{e\,1} W_{e\,1\,0} \cdots$ を通る強さ $=W_{e\,1} + W_{e\,1\,0}$   $W_{e\,b\,p\,3} = W_{e\,1} W_{e\,7} \cdots$ を通る強さ $=W_{e\,1} + W_{e\,7}$ 

(ト) WELD-8, 38の場合

$$W_{e\,b\,p\,1} = W_{e\,1} W_{e\,2} \cdots$$
 を通る強さ $=W_{e\,1} + W_{e\,2}$   $W_{e\,b\,p\,2} = W_{e\,1} W_{e\,1\,0} \cdots$  を通る強さ $=W_{e\,1} + W_{e\,1\,0}$ 

$$W_{e\,b\,p\,1} = W_{e\,1} W_{e\,6} W_{e\,2} \cdots$$
 を通る強さ $=W_{e\,1} + W_{e\,6} + W_{e\,2}$   $W_{e\,b\,p\,2} = W_{e\,1} W_{e\,1\,0} \cdots$  を通る強さ $=W_{e\,1} + W_{e\,1\,0}$   $W_{e\,b\,p\,3} = W_{e\,7} \cdots$  を通る強さ $=W_{e\,7}$ 

### (リ) WELD-11, 41の場合

$$W_{e\,b\,p\,1} = W_{e\,3} W_{e\,4} W_{e\,2} \cdots$$
 を通る強さ $=W_{e\,3} + W_{e\,4} + W_{2}$   $W_{e\,b\,p\,2} = W_{e\,1} W_{e\,8} W_{e\,2} \cdots$  を通る強さ $=W_{e\,1} + W_{e\,8} + W_{e\,2}$   $W_{e\,b\,p\,3} = W_{e\,9} W_{e\,4} W_{e\,2} \cdots$  を通る強さ $=W_{e\,9} + W_{e\,4} + W_{e\,2}$   $W_{e\,b\,p\,4} = W_{e\,3} W_{e\,4} W_{e\,1\,0} \cdots$  を通る強さ $=W_{e\,3} + W_{e\,4} + W_{e\,1\,0}$   $W_{e\,b\,p\,5} = W_{e\,1} W_{e\,1\,0} \cdots$  を通る強さ $=W_{e\,1} + W_{e\,1\,0}$ 

# (ヌ) WELD-12, 42の場合

$$W_{e\,b\,p\,1} = W_{e\,l} W_{e\,6} \cdots$$
 を通る強さ $=W_{e\,1} + W_{e\,6}$   $W_{e\,b\,p\,2} = W_{e\,3} W_{e\,7} \cdots$  を通る強さ $=W_{e\,3} + W_{e\,7}$   $W_{e\,b\,p\,3} = W_{e\,3} W_{e\,4} W_{e\,6} \cdots$  を通る強さ $=W_{e\,3} + W_{e\,4} + W_{e\,6}$   $W_{e\,b\,p\,4} = W_{e\,3} W_{e\,4} W_{e\,1\,0} \cdots$  を通る強さ $=W_{e\,3} + W_{e\,4} + W_{e\,1\,0}$   $W_{e\,b\,p\,5} = W_{e\,1} W_{e\,1\,0} \cdots$  を通る強さ $=W_{e\,1} + W_{e\,1\,0}$ 

### (ル) WELD-13, 43の場合

$$W_{e\,b\,p\,1} = W_{e\,1} W_{e\,5\,D} \cdots$$
 を通る強さ= $W_{e\,1} + W_{e\,5}$   $W_{e\,b\,p\,2} = W_{e\,3} W_{e\,4} W_{e\,5} \cdots$  を通る強さ= $W_{e\,3} + W_{e\,4} + W_{e\,5}$ 

#### (ヲ) WELD-14, 44の場合

$$W_{e\,b\,p\,1} = W_{e\,3} W_{e\,6} \cdots$$
 を通る強さ $=W_{e\,3} + W_{e\,6}$   $W_{e\,b\,p\,2} = W_{e\,1} W_{e\,8} W_{e\,6} \cdots$  を通る強さ $=W_{e\,1} + W_{e\,8} + W_{e\,6}$   $W_{e\,b\,p\,3} = W_{e\,3} W_{e\,1\,0} \cdots$  を通る強さ $=W_{e\,3} + W_{e\,1\,0}$   $W_{e\,b\,p\,4} = W_{e\,1} W_{e\,1\,0} \cdots$  を通る強さ $=W_{e\,1} + W_{e\,1\,0}$ 

(ワ) WELD-14'の場合 
$$W_{\text{ebp1}} = W_{\text{e3}} W_{\text{e4}} W_{\text{e6}} \cdots \text{ を通る強さ=} W_{\text{e3}} + W_{\text{e4}} + W_{\text{e6}} \\ W_{\text{ebp2}} = W_{\text{e1}} W_{\text{e8}} W_{\text{e6}} \cdots \text{ を通る強さ=} W_{\text{e1}} + W_{\text{e8}} + W_{\text{e6}} \\ W_{\text{ebp3}} = W_{\text{e9}} W_{\text{e4}} W_{\text{e6}} \cdots \text{ を通る強さ=} W_{\text{e9}} + W_{\text{e4}} + W_{\text{e6}} \\ W_{\text{ebp4}} = W_{\text{e3}} W_{\text{e4}} W_{\text{e10}} \cdots \text{ を通る強さ=} W_{\text{e3}} + W_{\text{e4}} + W_{\text{e10}}$$

 $W_{ebp5} = W_{e1} W_{e10} \cdots$  を通る強さ $=W_{e1} + W_{e10}$ 

(カ) WELD-15, 16, 22, 45, 46の場合

$$W_{e\,b\,p\,1} = W_{e\,1} W_{e\,8} W_{e\,6} \cdots$$
 を通る強さ $=W_{e\,1} + W_{e\,8} + W_{e\,6}$   $W_{e\,b\,p\,2} = W_{e\,3} W_{e\,7} \cdots$  を通る強さ $=W_{e\,3} + W_{e\,7}$   $W_{e\,b\,p\,3} = W_{e\,3} W_{e\,4} W_{e\,6} \cdots$  を通る強さ $=W_{e\,3} + W_{e\,4} + W_{e\,6}$   $W_{e\,b\,p\,4} = W_{e\,3} W_{e\,4} W_{e\,1\,0} \cdots$  を通る強さ $=W_{e\,3} + W_{e\,4} + W_{e\,1\,0}$   $W_{e\,b\,p\,5} = W_{e\,9} W_{e\,7} \cdots$  を通る強さ $=W_{e\,9} + W_{e\,7}$   $W_{e\,b\,p\,6} = W_{e\,1} W_{e\,1\,0} \cdots$  を通る強さ $=W_{e\,1} + W_{e\,1\,0}$ 

(ヨ) WELD-17の場合

$$W_{e\,b\,p\,1} = W_{e\,1} W_{e\,2} \cdots \cdots$$
 を通る強さ $=W_{e\,1}+W_{e\,2}$ 

(タ) WELD-18, 48の場合

$$W_{e\,b\,p\,1} = W_{e\,1} W_{e\,6} W_{e\,2} \cdots$$
 を通る強さ $=W_{e\,1} + W_{e\,6} + W_{e\,2}$   $W_{e\,b\,p\,2} = W_{e\,3} W_{e\,7} \cdots \cdots$  を通る強さ $=W_{e\,3} + W_{e\,7}$   $W_{e\,b\,p\,3} = W_{e\,3} W_{e\,4} W_{e\,6} W_{e\,2}$ 

 $W_{\rm e\,b\,p\,4} = W_{\rm e\,3} W_{\rm e\,4} W_{\rm e\,10} \cdots$ を通る強さ $=W_{\rm e\,3} + W_{\rm e\,4} + W_{\rm e\,6} + W_{\rm e\,2}$   $W_{\rm e\,b\,p\,4} = W_{\rm e\,3} W_{\rm e\,10} \cdots$ を通る強さ $=W_{\rm e\,3} + W_{\rm e\,4} + W_{\rm e\,10}$   $W_{\rm e\,b\,p\,5} = W_{\rm e\,1} + W_{\rm e\,10}$ 

(レ) WELD-19, 19´, 49の場合

#### ホ. 評価

胴の穴の補強は、下記の条件を満足すれば十分である。

$$A_0 > A_r$$

$$A_{0D}$$
> $A_{rD}$  (ただし、 $X_1 \neq X_2$ の場合のみ)

すべての破断箇所の強さ≧W(ただし、Wが正の場合のみ)

#### b. 鏡板の場合

設計・建設規格 PVC-3240を適用する。

#### (a) 管台の形式

図2-6~図2-24に管台の形式,補強に有効な面積,補強に必要な面積,破断形式等を示す。

ただし、すみ肉溶接部分の破断箇所については、両方の脚長が等しいため、片側 の脚長の破断形式のみを図示する。

#### (b) 穴の補強

# イ. 補強に必要な面積

設計・建設規格 PVC-3241 (設計・建設規格 PVC-3161.3準用) を適用する。

## (イ) 半だ円形鏡, さら形鏡板及び全半球鏡板の場合

①管台の一部分が鏡板の部分となっていない場合及びWELD-38の場合  $\mathbf{A_r} = \mathbf{d} \cdot \mathbf{t_{cr}} \cdot \mathbf{F}$ 

②管台の一部分が鏡板の部分となっている場合

$$A_r = d \cdot t_{cr} \cdot F + 2 \cdot \left(1 - S_n / S_c\right) \cdot t_{cr} \cdot F \cdot t_n$$

ただし、torは次による。

さら形鏡板であって, 中低面に圧力を受けるものは

$$t_{cr} = \frac{P \cdot R \cdot W}{2 \cdot S_c \cdot \eta - 0.2 \cdot P}$$
 (W=1.00,  $\eta = 1.00$ とする。)

半だ円形鏡板であって、中低面に圧力を受けるものは

$$t_{cr} = \frac{P \cdot R}{2 \cdot S_c \cdot \eta - 0.2 \cdot P}$$

全半球形鏡板にあって(厚さが内半径の0.356倍以下のもの),中低面に圧力を受けるものは

$$t_{cr} = \frac{P \cdot R}{2 \cdot S_c \cdot \eta - 0.2 \cdot P}$$

#### ロ. 補強に有効な範囲

設計・建設規格 PVC-3241 (設計・建設規格 PVC-3161.1準用) を適用する。  $X=X_1+X_2$ 

$$X_1 = X_2 = Max (d, d/2 + t_c + t_n)$$

$$Y_1 = Min (2.5 \cdot t_c, 2.5 \cdot t_p + t_e)$$

$$Y_2 = Min (2.5 \cdot t_c, 2.5 \cdot t_n)$$

ただし、構造上計算した有効範囲が取れない場合は、構造上取り得る範囲とする。

また、強め板がない場合には t e=0とする。

# ハ. 補強に有効な面積

設計・建設規格 PVC-3241 (設計・建設規格 PVC-3161.2準用) を適用する。

## (イ) 鏡板の部分の補強に有効な面積

①管台の一部分が鏡板の部分となっていない場合及びWELD-38の場合

$$A_1 = (\eta \cdot t_c - F \cdot t_{cr}) \cdot (X - d)$$

②管台の一部分が鏡板の部分となっている場合

$$\begin{split} A_1 = & \left( \begin{array}{ccc} \eta \cdot t_c - F \cdot t_{cr} \right) \cdot \left( X - d \right) \\ & - \left( 1 - S_n / S_c \right) \cdot \left( \begin{array}{ccc} \eta \cdot t_c - F \cdot t_{cr} \right) \cdot 2 \cdot t_n \end{split}$$

#### (ロ) 管台の部分の補強に有効な面積

①管台が鏡板の内側に突出していない場合及びWELD-8,22,38の場合

$$A_2 = 2 \cdot (t_n - t_{nr}) \cdot Y_1 \cdot S_n / S_c$$

②管台が鏡板の内側に突出している場合

$$A_2 = 2 \cdot \{ (t_n - t_{nr}) \cdot Y_1 + t_n \cdot Y_2 \} \cdot S_n / S_c$$
ただし、

$$t_{n r} = \frac{P \cdot \left(D_{o n} - 2 \cdot t_{n}\right)}{2 \cdot S_{n} - 1.2 \cdot P}$$

(ハ) すみ肉溶接の部分の補強に有効な面積

$$A_3 = L_1 \cdot L_1 + L_2 \cdot L_2 + L_3 \cdot L_3$$

ただし、補強の有効範囲にないすみ肉溶接の部分は除く。

(ニ) 強め板の部分の補強に有効な面積

$$A_4 = \left\{ Min(B_e, X) - D_{on} \right\} \cdot t_e \cdot S_e / S_c$$

 $(S_e/S_c>1$ の場合は $S_e/S_c=1$ とする。以下、鏡板の場合において同じ。)

(ホ) 補強に有効な総面積

$$A_0 = A_1 + A_2 + A_3 + A_4$$

二. 補強に有効な範囲 X<sub>1</sub> ≠ X<sub>2</sub>の場合の補強に有効な面積の確認

設計・建設規格 PVC-3241 (設計・建設規格 PVC-3165準用) を適用する。

補強に必要な面積の2分の1以上の補強に有効な面積は、穴の中心線の両側にある必要がある。

ただし、補強に有効な範囲 $X_1 = X_2$ の場合は上記条件を満足することが明らかであり、以下の計算は行わない。

(イ) 補強に必要な面積の2分の1

$$A_{rD} = A_r/2$$

- (ロ) X<sub>1</sub>又はX<sub>2</sub>のいずれか小さい方の断面における補強に有効な面積
  - ①鏡板の部分の補強に有効な面積
    - ・管台の一部分が鏡板の部分となっていない場合及びWELD-8, 22, 38 の場合

$$\mathbf{A}_{1\,\mathrm{D}} \!=\! \left( \, \boldsymbol{\eta} \cdot \mathbf{t}_{\mathrm{c}} \!-\! \mathbf{F} \cdot \mathbf{t}_{\mathrm{cr}} \right) \cdot \left\{ \! \mathrm{Min} \! \left( \mathbf{X}_{1}, \; \mathbf{X}_{2} \right) \! - \mathbf{d} / 2 \! \right\}$$

・管台の一部分が胴の部分となっている場合

$$A_{1D} = \left( \eta \cdot t_{c} - F \cdot t_{cr} \right) \cdot \left\{ Min\left(X_{1}, X_{2}\right) - d/2 \right\}$$
$$-\left(1 - S_{n}/S_{c}\right) \cdot \left( \eta \cdot t_{c} - F \cdot t_{cr} \right) \cdot t_{n}$$

②管台の部分の補強に有効な面積

$$A_{2D} = A_2/2$$

③すみ肉溶接の部分の補強に有効な面積

$$A_{3D} = A_3/2$$

④強め板の部分の補強に有効な面積

$$A_{4D} = A_4/2$$

⑤補強に有効な総面積

$$A_{0D} = A_{1D} + A_{2D} + A_{3D} + A_{4D}$$

### (c) 大きい穴の補強

設計・建設規格 PVC-3241 (設計・建設規格 PVC-3164準用) を適用する。

- イ. 大きい穴の補強を要する限界径
  - (イ)  $D_i$ が1500 mm以下の場合

$$d_i = D_i/2$$

ただし,500 mmを超える場合は500 mmとする。

(ロ) D<sub>i</sub>が1500 mmを超える場合

$$d_i = D_i/3$$

ただし、1000 mmを超える場合は1000 mmとする。

ここで、  $d \le d$  , の場合は大きい穴の補強計算は必要ない。

一方、 $d>d_j$ の場合は、補強に必要な面積の3分の2以上が穴の周囲から穴の径の4分の1の範囲内にある必要がある。

ロ. 大きい穴の補強における管台の形式

図2-26~図2-44に大きい穴の補強における管台の形式を示す。

ハ. 大きい穴の補強に必要な面積

$$A_{jr} = \frac{2}{3} \cdot A_{r}$$

ニ. 大きい穴の補強に有効な範囲

$$\mathbf{X}_{\mathbf{j}} \! = \! \mathbf{X}_{\mathbf{j} \mathbf{1}} \! + \! \mathbf{X}_{\mathbf{j} \mathbf{2}}$$

$$X_{j} = X_{j} = \frac{d}{2} + \frac{d}{4}$$

ただし、構造上計算した有効範囲がとれない場合は、構造上取り得る範囲とする。

#### ホ. 大きい穴の補強に有効な面積

- (イ) 鏡板の部分の補強に有効な面積
  - ①管台の一部分が鏡板の部分となっていない場合及びWELD-8, 22, 38の場合  $A_{j\,1} = \left(\eta \cdot t_c F \cdot t_{c\,r}\right) \cdot \left(X_j d\right)$
  - ②管台の一部分が鏡板の一部となっている場合

$$A_{j 1} = (\eta \cdot t_{c} - F \cdot t_{cr}) \cdot (X_{j} - d) - (1 - S_{n}/S_{c}) \cdot (\eta \cdot t_{c} - F \cdot t_{cr}) (X_{j} - d) - (1 - S_{n}/S_{c})$$

- (ロ) 管台の部分の補強に有効な面積
  - ①管台が鏡板の内側に突出していない場合及びWELD-8,22,38の場合

$$A_{j} = 2 \cdot \left\{ \frac{Min(X_{j}, D_{on}) - d}{2} - t_{nr} \right\} \cdot Y_{1} \cdot \frac{S_{n}}{S_{c}}$$

②管台が鏡板の内側に突出している場合

$$\begin{aligned} A_{j2} = 2 \cdot \left[ \left\{ \frac{\text{Min} \left( X_{j}, D_{on} \right) - d}{2} - t_{nr} \right\} \cdot Y_{1} \right. \\ + \left. \frac{\text{Min} \left( X_{j}, D_{on} \right) - d}{2} \cdot Y_{2} \right] \cdot \frac{S_{n}}{S_{c}} \end{aligned}$$

(ハ) すみ肉溶接の部分の補強に有効な面積

$$A_{j3} = L_1 \cdot L_1 + L_2 \cdot L_2 + L_3 \cdot L_3$$

ただし、大きい穴の補強の有効範囲にないすみ肉溶接の部分は除く。

(ニ) 強め板の部分の補強に有効な面積

$$A_4 = \left\{ Min\left(B_e, X_j\right) - D_{on} \right\} \cdot t_e \cdot S_e / S_c$$

(ホ) 大きい穴の補強に有効な総面積

$$A_{j0} = A_{j1} + A_{j2} + A_{j3} + A_{j4}$$

#### (d) 溶接部の強度

設計・建設規格 PVC-3241 (設計・建設規格 PVC-3168及びPVC-3169準用) を 適用する。

### イ. 溶接部の負うべき荷重

次の2つの計算式  $(W_1$ 及び $W_2$ ) により求めた荷重のうちいずれか小さい方。

$$t > \tau$$
,  $W = Min(W_1, W_2)$ 

ここで、W<0の場合は溶接部の強度計算は必要ない。

- 一方、W≥0の場合は以下の溶接部の強度計算を行う。
- (イ) 管台の一部分が鏡板の部分となっていない場合及びWELD-8, 22, 38の 場合

$$W_1 = Min(A_2 + A_3 + A_4) \cdot S_c$$
  
 $W_2 = (d \cdot t_{cr} - A_1) \cdot S_c$ 

(ロ) 管台の一部分が鏡板の部分となっている場合

$$W_1 = Min(A_2 + A_3 + A_4) \cdot S_c$$
  
 $W_2 = (d_w \cdot t_{cr} - A_1) \cdot S_c$ 

ロ. 溶接部の単位面積当たりの強さ

$$S_{w1} = S_c \cdot F_1$$
  
 $S_{w2} = S_c \cdot F_2$   
 $S_{w3} = S_c \cdot F_3$   
 $S_{w4} = Min(S_c, S_n) \cdot F_4$ 

#### ハ. 継手部の強さ

- ニ. 予想される破断箇所の強さ
- (イ) WELD-1,31の場合

$$W_{e\,b\,p\,1}=W_{e\,1}$$
  $W_{e\,5}$   $\cdots$  を通る強さ $=W_{e\,1}+W_{e\,5}$   $W_{e\,b\,p\,2}=W_{e\,5}$ 

(ロ) WELD-2, 32の場合

$$W_{e\,b\,p\,1} = W_{e\,1} W_{e\,2} \cdots$$
 を通る強さ= $W_{e\,1} + W_{e\,2}$   $W_{e\,b\,p\,2} = W_{e\,1} W_{e\,1\,0} \cdots$  を通る強さ= $W_{e\,1} + W_{e\,1\,0}$ 

(ハ) WELD-3, 33の場合

$$W_{e\,b\,p\,1} = W_{e\,1} W_{e\,6} \cdots$$
 を通る強さ $=W_{e\,1} + W_{e\,6}$   $W_{e\,b\,p\,2} = W_{e\,1} W_{e\,1\,0} \cdots$  を通る強さ $=W_{e\,1} + W_{e\,1\,0}$   $W_{e\,b\,p\,3} = W_{e\,7} \cdots \cdots$  を通る強さ $=W_{e\,7} + W_{e\,1\,0} +$ 

(二) WELD-4, 34の場合

$$W_{e\,b\,p\,1} = W_{e\,1} W_{e\,6} \cdots$$
 を通る強さ $=W_{e\,1} + W_{e\,6}$   $W_{e\,b\,p\,2} = W_{e\,1} W_{e\,1\,0} \cdots$  を通る強さ $=W_{e\,1} + W_{e\,1\,0}$   $W_{e\,b\,p\,3} = W_{e\,1\,1} W_{e\,7} \cdots$  を通る強さ $=W_{e\,1\,1} + W_{e\,7}$  ただし, $D_{o\,n} = d_{w} O$ 場合は $W_{e\,b\,p\,1} = W_{e\,b\,p\,3}$  となるため $W_{e\,b\,p\,3}$  を省略する。

(ホ) WELD-5, 35の場合

$$W_{e\,b\,p\,1} = W_{e\,1} W_{e\,6} \cdots$$
 を通る強さ $=W_{e\,1} + W_{e\,6}$   $W_{e\,b\,p\,2} = W_{e\,1} W_{e\,1\,0} \cdots$  を通る強さ $=W_{e\,1} + W_{e\,1\,0}$ 

(へ) WELD-6, 36の場合

$$W_{e\,b\,p\,1} = W_{e\,1} W_{e\,6} W_{e\,2} \cdots$$
を通る強さ $=W_{e\,1} + W_{e\,6} + W_{e\,2}$   $W_{e\,b\,p\,2} = W_{e\,1} W_{e\,1\,0} \cdots$ を通る強さ $=W_{e\,1} + W_{e\,1\,0}$   $W_{e\,b\,p\,3} = W_{e\,1} W_{e\,7} \cdots$ を通る強さ $=W_{e\,1} + W_{e\,7}$ 

(ト) WELD-8, 38の場合

$$W_{e\,b\,p\,1}=W_{e\,1}$$
  $W_{e\,2}$   $\cdots$  を通る強さ $=W_{e\,1}+W_{e\,2}$   $W_{e\,b\,p\,2}=W_{e\,1}$   $W_{e\,1\,0}$   $\cdots$  を通る強さ $=W_{e\,1}+W_{e\,1\,0}$ 

$$W_{e\,b\,p\,1} = W_{e\,1} W_{e\,6} W_{e\,2} \cdots$$
 を通る強さ $=W_{e\,1} + W_{e\,6} + W_{e\,2}$   $W_{e\,b\,p\,2} = W_{e\,1} W_{e\,1\,0} \cdots$  を通る強さ $=W_{e\,1} + W_{e\,1\,0}$   $W_{e\,b\,p\,3} = W_{e\,7} \cdots$  を通る強さ $=W_{e\,7}$ 

## (リ) WELD-11, 41の場合

$$W_{e\,b\,p\,1} = W_{e\,3} W_{e\,4} W_{e\,2} \cdots$$
 を通る強さ $=W_{e\,3} + W_{e\,4} + W_{2}$   $W_{e\,b\,p\,2} = W_{e\,1} W_{e\,8} W_{e\,2} \cdots$  を通る強さ $=W_{e\,1} + W_{e\,8} + W_{e\,2}$   $W_{e\,b\,p\,3} = W_{e\,9} W_{e\,4} W_{e\,2} \cdots$  を通る強さ $=W_{e\,9} + W_{e\,4} + W_{e\,2}$   $W_{e\,b\,p\,4} = W_{e\,3} W_{e\,4} W_{e\,1\,0} \cdots$  を通る強さ $=W_{e\,3} + W_{e\,4} + W_{e\,1\,0}$   $W_{e\,b\,p\,5} = W_{e\,1} W_{e\,1\,0} \cdots$  を通る強さ $=W_{e\,1} + W_{e\,1\,0}$ 

## (ヌ) WELD-12, 42の場合

$$W_{e\,b\,p\,1} = W_{e\,1} W_{e\,6} \cdots$$
 を通る強さ $=W_{e\,1} + W_{e\,6}$   $W_{e\,b\,p\,2} = W_{e\,3} W_{e\,7} \cdots$  を通る強さ $=W_{e\,3} + W_{e\,7}$   $W_{e\,b\,p\,3} = W_{e\,3} W_{e\,4} W_{e\,6} \cdots$  を通る強さ $=W_{e\,3} + W_{e\,4} + W_{e\,6}$   $W_{e\,b\,p\,4} = W_{e\,3} W_{e\,4} W_{e\,1\,0} \cdots$  を通る強さ $=W_{e\,3} + W_{e\,4} + W_{e\,1\,0}$   $W_{e\,b\,p\,5} = W_{e\,1} W_{e\,1\,0} \cdots$  を通る強さ $=W_{e\,1} + W_{e\,1\,0}$ 

#### (ル) WELD-13, 43の場合

$$W_{e\,b\,p\,1} = W_{e\,1} W_{e\,5\,D} \cdots$$
 を通る強さ= $W_{e\,1} + W_{e\,5}$   $W_{e\,b\,p\,2} = W_{e\,3} W_{e\,4} W_{e\,5} \cdots$  を通る強さ= $W_{e\,3} + W_{e\,4} + W_{e\,5}$ 

#### (ヲ) WELD-14, 44の場合

$$W_{e\,b\,p\,1} = W_{e\,3} W_{e\,6} \cdots$$
 を通る強さ $=W_{e\,3} + W_{e\,6}$   $W_{e\,b\,p\,2} = W_{e\,1} W_{e\,8} W_{e\,6} \cdots$  を通る強さ $=W_{e\,1} + W_{e\,8} + W_{e\,6}$   $W_{e\,b\,p\,3} = W_{e\,3} W_{e\,1\,0} \cdots$  を通る強さ $=W_{e\,3} + W_{e\,1\,0}$   $W_{e\,b\,p\,4} = W_{e\,1} W_{e\,1\,0} \cdots$  を通る強さ $=W_{e\,1} + W_{e\,1\,0}$ 

(ワ) WELD-14'の場合 
$$W_{ebp1} = W_{e3} W_{e4} W_{e6} \cdots$$
 を通る強さ= $W_{e3} + W_{e4} + W_{e6} W_{ebp2} = W_{e1} W_{e8} W_{e6} \cdots$  を通る強さ= $W_{e1} + W_{e8} + W_{e6} W_{ebp3} = W_{e9} W_{e4} W_{e6} \cdots$  を通る強さ= $W_{e9} + W_{e4} + W_{e6} W_{e6} \cdots$  を通る強さ= $W_{e9} + W_{e4} + W_{e6} W_{e6} \cdots$ 

 $W_{e\,b\,p\,4} = W_{e\,3} W_{e\,4} W_{e\,1\,0} \cdots$  を通る強さ $=W_{e\,3} + W_{e\,4} + W_{e\,1\,0}$   $W_{e\,b\,p\,5} = W_{e\,1} W_{e\,1\,0} \cdots \cdots$  を通る強さ $=W_{e\,1} + W_{e\,1\,0}$ 

(カ) WELD-15, 16, 22, 45, 46の場合

=  $(W_{e1})$   $(W_{e8})$  $\left(\mathbf{W}_{e\,6}\right)$  … を通る強さ $=\mathbf{W}_{e\,1}+\mathbf{W}_{e\,8}+\mathbf{W}_{e\,6}$  $= (W_{e3})$ W<sub>ebp2</sub> を通る強さ=W $_{e\,3}$ +W $_{e\,7}$  $\left(W_{e\,6}\right)$  $W_{e\;b\;p\;3}$ =  $W_{e3}$   $W_{e4}$ を通る強さ $=W_{e3}+W_{e4}+W_{e6}$  $= (W_{e3})$  $\left(W_{e,4}\right)$  $W_{e 10}$ ・を通る強さ=W<sub>e3</sub>+W<sub>e4</sub>+W<sub>e10</sub>  $W_{e\;b\;p\;4}$ =  $W_{e 9}$   $W_{e 7}$  $W_{e\;b\;p\;5}$ を通る強さ $=W_{e9}+W_{e7}$  $W_{e 10}$  $W_{ebp6}$ を通る強さ $=W_{e,1}+W_{e,1,0}$  $= \left(W_{e 1}\right)$ 

- (ヨ) WELD-17の場合  $W_{\text{ebp1}} = \underbrace{W_{\text{el}} W_{\text{e2}} \cdots \cdots}_{\text{e2}} \text{ を通る強さ=} W_{\text{e1}} + W_{\text{e2}}$
- (タ) WELD-18, 48の場合

$$W_{e\,b\,p\,1} = W_{e\,1} W_{e\,6} W_{e\,2} \cdots$$
 を通る強さ= $W_{e\,1} + W_{e\,6} + W_{e\,2}$   $W_{e\,b\,p\,2} = W_{e\,3} W_{e\,7} \cdots$  を通る強さ= $W_{e\,3} + W_{e\,7}$   $W_{e\,b\,p\,3} = W_{e\,3} W_{e\,4} W_{e\,6} W_{e\,2}$ 

 $W_{e\,b\,p\,4} = W_{e\,3} + W_{e\,4} + W_{e\,6} + W_{e\,2}$  のを通る強さ $=W_{e\,3} + W_{e\,4} + W_{e\,6} + W_{e\,2}$ 

 $W_{e\,b\,p\,5} = W_{e\,1} W_{e\,1\,0} \cdots$  を通る強さ $=W_{e\,1}+W_{e\,1\,0}$ 

(レ) WELD-19, 19',49の場合

#### ホ. 評価

鏡板の穴の補強は、下記の条件を満足すれば十分である。

$$A_0 > A_r$$

$$A_{0D}$$
> $A_{rD}$  (ただし、 $X_1 \neq X_2$ の場合のみ)

$$A_{i0}>A_{ir}$$
 (ただし、大きい穴の補強を要する場合のみ)

すべての破断箇所の強さ≧W(ただし、Wが正の場合のみ)

## c. 平板の場合

設計・建設規格 PVC-3320(2)を適用する。

## (a) 管台の形式

図2-6~図2-15及び図2-25に管台の形式,補強に有効な面積,補強に必要な面積,破断形式等を示す。

ただし、すみ肉溶接部分の破断箇所については、両方の脚長が等しいため、片側 の脚長の破断形式のみを図示する。

## (b) 穴の補強

## イ. 補強に必要な面積

設計・建設規格 PVC-3320(2) (設計・建設規格 PVC-3161.3準用) を適用する。

- (イ) 管台の一部分が平板の部分となっていない場合及びWELD-8, 22の場合  $A_r = d_h \cdot t_{pr}$
- (ロ) 管台の一部分が平板の部分となっている場合  $A_r = d_h \cdot t_{pr} + 2 \cdot \left(1 S_n / S_p\right) \cdot t_{pr} \cdot t_n$  ( $S_n / S_p > 1$ の場合は $S_n / S_p = 1$ とする。以下,平板の場合において同じ。)

#### ロ. 補強に有効な範囲

設計・建設規格 PVC-3320(2) (設計・建設規格 PVC-3161.1準用) を適用する。

$$X = X_1 + X_2$$
  
 $X_1 = X_2 = Max (d_h, d_h/2 + t_p + t_n)$   
 $Y_1 = Min (2.5 \cdot t_p, 2.5 \cdot t_n + t_e)$   
 $Y_2 = Min (2.5 \cdot t_p, 2.5 \cdot t_p)$ 

ただし、構造上計算した有効範囲がとれない場合は、構造上取り得る範囲とする。

また、強め板がない場合は t =0とする。

#### ハ. 補強に有効な面積

設計・建設規格 PVC-3320(2)(設計・建設規格 PVC-3161.2準用)を適用する。

#### (イ) 平板の部分の補強に有効な面積

①管台の一部分が平板の部分となっていない場合及びWELD-8, 22の場合 
$$A_1 = \left(t_p - t_{pr}\right) \cdot \left(X - d_h\right)$$

$$A_{1} = (t_{p} - t_{pr}) \cdot (X - d) - (1 - S_{n}/S_{p}) \cdot (t_{p} - t_{pr}) \cdot 2 \cdot t_{n}$$

## (ロ) 管台の部分の補強に有効な面積

①管台が平板の内側に突出していない場合及びWELD-8,22の場合  $A_2 = 2 \cdot \left( t_n - t_{n,r} \right) \cdot Y_1 \cdot S_n / S_n$ 

②管台が平板の内側に突出している場合

$$A_2 = 2 \cdot \{ (t_n - t_{nr}) \cdot Y_1 + t_n \cdot Y_2 \} \cdot S_n / S_p$$
ただし、

$$t_{nr} = \frac{P \cdot \left(D_{on} - 2 \cdot t_{n}\right)}{2 \cdot S_{n} - 1.2 \cdot P}$$

(ハ) すみ肉溶接の部分の補強に有効な面積

$$A_3 = L_1 \cdot L_1 + L_2 \cdot L_2 + L_3 \cdot L_3$$

ただし、補強の有効範囲にないすみ肉溶接の部分は除く。

(ニ) 強め板の部分の補強に有効な面積

$$A_4 = \left\{ \text{Min}\left(B_e, X\right) - D_{on} \right\} \cdot t_e \cdot S_e / S_p$$
 ( $S_e / S_p > 1$ の場合は $S_e / S_p = 1$ とする。以下,平板の場合において同じ。)

(ホ) 補強に有効な総面積

$$A_0 = A_1 + A_2 + A_3 + A_4$$

ニ. 補強に有効な範囲 X<sub>1</sub> ≠ X<sub>2</sub>の場合の補強に有効な面積の確認

設計・建設規格 PVC-3320(2)(設計・建設規格 PVC-3165準用)を適用する。 補強に必要な面積の2分の1以上の補強に有効な面積は、穴の中心線の両側に ある必要がある。

ただし、補強に有効な範囲 $X_1 = X_2$ の場合は上記条件を満足することが明らかであり以下の計算は行わない。

(イ) 補強に必要な面積の2分の1

$$A_{rD} = A_r/2$$

- (ロ) X<sub>1</sub>又はX<sub>2</sub>のいずれか小さい方の断面における補強に有効な面積
  - ①平板の部分の補強に有効な面積
    - ・管台の一部分が平板の部分となっていない場合及びWELD-8,22の場合

$$A_{1D} = (t_p - t_{pr}) \cdot \{Min(X_1, X_2) - d_h/2\}$$

・管台の一部分が平板の部分となっている場合

$$A_{1D} = (t_{p} - t_{pr}) \cdot \{Min(X_{1}, X_{2}) - d_{h}/2\}$$
$$-(1 - S_{n}/S_{p}) \cdot (t_{p} - t_{pr}) \cdot t_{n}$$

②管台の部分の補強に有効な面積

$$A_{2D} = A_2/2$$

③すみ肉溶接の部分の補強に有効な面積

$$A_{3D} = A_3/2$$

④強め板の部分の補強に有効な面積

$$A_{4D} = A_4/2$$

⑤補強に有効な総面積

$$A_{0D} = A_{1D} + A_{2D} + A_{3D} + A_{4D}$$

## (c) 溶接部の強度

設計・建設規格 PVC-3320(2) (設計・建設規格 PVC-3168及びPVC-3169準用) を適用する。

イ. 溶接部の負うべき荷重

次の2つの計算式( $\mathbf{W}_1$ 及び $\mathbf{W}_2$ )により求めた荷重のうちいずれか小さい方よって, $\mathbf{W} = \mathrm{Min}\left(\mathbf{W}_1,\ \mathbf{W}_2\right)$ 

ここで、W<0の場合は溶接部の強度計算は必要ない。

- 一方、W≥0の場合は以下の溶接部の強度計算を行う。
- (イ) 管台の一部分が平板の部分となっていない場合及びWELD-8,22の場合  $W_1 = Min\left(A_2 + A_3 + A_4\right) \cdot S_p$   $W_2 = \left(d \cdot t_{pr} A_1\right) \cdot S_p$
- (ロ) 管台の一部分が平板の部分となっている場合  $\begin{aligned} \mathbf{W}_1 = & \mathbf{Min} \left( \mathbf{A}_2 + \mathbf{A}_3 + \mathbf{A}_4 \right) \cdot \mathbf{S}_{\mathbf{p}} \\ \mathbf{W}_2 = & \left( \mathbf{d}_{\mathbf{w}} \cdot \mathbf{t}_{\mathbf{p},\mathbf{r}} \mathbf{A}_1 \right) \cdot \mathbf{S}_{\mathbf{p}} \end{aligned}$
- ロ. 溶接部の単位面積当たりの強さ

$$S_{w1} = S_{p} \cdot F_{1}$$
 $S_{w2} = S_{p} \cdot F_{2}$ 
 $S_{w3} = S_{p} \cdot F_{3}$ 
 $S_{w4} = Min(S_{p}, S_{n}) \cdot F_{4}$ 

#### ハ. 継手部の強さ

$$\begin{split} & W_{e\,1} = \pi \cdot D_{on} \cdot L_{1} \cdot S_{w1}/2 \\ & W_{e\,2} = \pi \cdot D_{on} \cdot L_{3} \cdot S_{w1}/2 \quad \cdots \quad (WE \, L \, D - 17 \text{以外の場合}) \\ & W_{e\,2} = \pi \cdot \left(d - 2 \cdot L_{2}\right) \cdot L_{2} \cdot S_{w1}/2 \quad \cdots \quad (WE \, L \, D - 17 \text{ Ø 場合}) \\ & W_{e\,3} = \pi \cdot B_{e} \cdot L_{2} \cdot S_{w1}/2 \\ & W_{e\,4} = \pi \cdot D_{on} \cdot \left(\frac{d_{w} - D_{on}}{2}\right) \cdot S_{w2}/2 \\ & W_{e\,6} = \pi \cdot D_{on} \cdot t_{p} \cdot S_{w3}/2 \cdots \quad (WE \, L \, D - 5, \, 6, \, 14 \text{ 以外の場合}) \\ & W_{e\,6} = \pi \cdot D_{on} \cdot L_{4} \cdot S_{w3}/2 \cdots \quad (WE \, L \, D - 5, \, 6, \, 14 \text{ U} \text{ M} \text{ Ø B}) \\ & W_{e\,7} = \pi \cdot d_{w} \cdot t_{p} \cdot S_{w3}/2 \cdots \quad (WE \, L \, D - 6 \text{ U} \text{ M} \text{ Ø B}) \\ & W_{e\,7} = \pi \cdot d_{w} \cdot L_{4} \cdot S_{w3}/2 \cdots \quad (WE \, L \, D - 6 \text{ U} \text{ M} \text{ Ø B}) \\ & W_{e\,8} = \pi \cdot D_{on} \cdot t_{e} \cdot S_{w3}/2 \cdots \quad (WE \, L \, D - 14 \text{ U} \text{ M} \text{ Ø B}) \\ & W_{e\,8} = \pi \cdot D_{on} \cdot L_{5} \cdot S_{w3}/2 \cdots \quad (WE \, L \, D - 14 \text{ U} \text{ M} \text{ Ø B}) \\ & W_{e\,9} = \pi \cdot d_{w} \cdot t_{e} \cdot S_{w3}/2 \cdots \quad (WE \, L \, D - 14 \text{ Ø B}) \\ & W_{e\,9} = \pi \cdot d_{w} \cdot t_{e} \cdot S_{w3}/2 \\ & W_{e\,1\,0} = \pi \cdot \left(\frac{D_{on} + d_{h}}{2}\right) \cdot t_{n} \cdot S_{w4}/2 \\ & W_{e\,1\,1} = \pi \cdot d_{w} \cdot \left(\frac{D_{on} - d_{w}}{2} + L_{1}\right) \cdot S_{w1}/2 \end{split}$$

- ニ. 予想される破断箇所の強さ
- (イ) WELD-1の場合

(ロ) WELD-2の場合

$$W_{e\,b\,p\,1}=W_{e\,1}$$
  $W_{e\,2}$   $\cdots$  を通る強さ $=W_{e\,1}+W_{e\,2}$   $W_{e\,b\,p\,2}=W_{e\,1}$   $W_{e\,1\,0}$   $\cdots$  を通る強さ $=W_{e\,1}+W_{e\,1\,0}$ 

(ハ) WELD-3の場合

$$W_{e\,b\,p\,1} = W_{e\,1} W_{e\,6} \cdots$$
を通る強さ $=W_{e\,1} + W_{e\,6}$   $W_{e\,b\,p\,2} = W_{e\,1} W_{e\,1\,0} \cdots$ を通る強さ $=W_{e\,1} + W_{e\,1\,0}$   $W_{e\,b\,p\,3} = W_{e\,7} \cdots \cdots$ を通る強さ $=W_{e\,7} + W_{e\,1\,0}$ 

(ニ) WELD-4の場合

$$W_{e\,b\,p\,1} = W_{e\,1} W_{e\,6} \cdots$$
 を通る強さ $=W_{e\,1} + W_{e\,6}$   $W_{e\,b\,p\,2} = W_{e\,1} W_{e\,1\,0} \cdots$  を通る強さ $=W_{e\,1} + W_{e\,1\,0}$   $W_{e\,b\,p\,3} = W_{e\,1\,1} W_{e\,7} \cdots$  を通る強さ $=W_{e\,1\,1} + W_{e\,7}$  ただし, $D_{o\,n} = d_{w} O$ 場合は $W_{e\,b\,p\,1} = W_{e\,b\,p\,3}$  となるため $W_{e\,b\,p\,3}$  を省略する。

(ホ) WELD-5の場合

$$W_{e\,b\,p\,1} = W_{e\,1} W_{e\,6} \cdots$$
 を通る強さ $=W_{e\,1} + W_{e\,6}$   $W_{e\,b\,p\,2} = W_{e\,1} W_{e\,1\,0} \cdots$  を通る強さ $=W_{e\,1} + W_{e\,1\,0}$ 

(へ) WELD-6の場合

$$W_{e\,b\,p\,1} = W_{e\,1} W_{e\,6} W_{e\,2} \cdots$$
 を通る強さ $=W_{e\,1} + W_{e\,6} + W_{e\,2}$   $W_{e\,b\,p\,2} = W_{e\,1} W_{e\,1\,0} \cdots$  を通る強さ $=W_{e\,1} + W_{e\,1\,0}$   $W_{e\,b\,p\,3} = W_{e\,1} W_{e\,7} \cdots$  を通る強さ $=W_{e\,1} + W_{e\,7}$ 

(ト) WELD-8の場合

$$W_{e\,b\,p\,1} = W_{e\,1} W_{e\,2} \cdots$$
 を通る強さ $=W_{e\,1} + W_{e\,2}$   $W_{e\,b\,p\,2} = W_{e\,1} W_{e\,1\,0} \cdots$  を通る強さ $=W_{e\,1} + W_{e\,1\,0}$ 

$$W_{e\,b\,p\,1} = W_{e\,1} W_{e\,6} W_{e\,2} \cdots$$
 を通る強さ $=W_{e\,1} + W_{e\,6} + W_{e\,2}$   $W_{e\,b\,p\,2} = W_{e\,1} W_{e\,1\,0} \cdots$  を通る強さ $=W_{e\,1} + W_{e\,1\,0}$   $W_{e\,b\,p\,3} = W_{e\,7} \cdots$  を通る強さ $=W_{e\,7}$ 

## (リ) WELD-11の場合

$$W_{e\,b\,p\,1} = W_{e\,3} W_{e\,4} W_{e\,2} \cdots$$
 を通る強さ $=W_{e\,3} + W_{e\,4} + W_{2}$   $W_{e\,b\,p\,2} = W_{e\,1} W_{e\,8} W_{e\,2} \cdots$  を通る強さ $=W_{e\,1} + W_{e\,8} + W_{e\,2}$   $W_{e\,b\,p\,3} = W_{e\,9} W_{e\,4} W_{e\,2} \cdots$  を通る強さ $=W_{e\,9} + W_{e\,4} + W_{e\,2}$   $W_{e\,b\,p\,4} = W_{e\,3} W_{e\,4} W_{e\,1\,0} \cdots$  を通る強さ $=W_{e\,3} + W_{e\,4} + W_{e\,1\,0}$   $W_{e\,b\,p\,5} = W_{e\,1} W_{e\,1\,0} \cdots$  を通る強さ $=W_{e\,1} + W_{e\,1\,0}$ 

## (ヌ) WELD-12の場合

$$W_{e\,b\,p\,1} = W_{e\,1} W_{e\,6} \cdots$$
を通る強さ $=W_{e\,1}+W_{e\,6}$   $W_{e\,b\,p\,2} = W_{e\,3} W_{e\,7} \cdots$ を通る強さ $=W_{e\,3}+W_{e\,7}$   $W_{e\,b\,p\,3} = W_{e\,3} W_{e\,4} W_{e\,6} \cdots$ を通る強さ $=W_{e\,3}+W_{e\,4}+W_{e\,6}$   $W_{e\,b\,p\,4} = W_{e\,3} W_{e\,4} W_{e\,1\,0} \cdots$ を通る強さ $=W_{e\,3}+W_{e\,4}+W_{e\,1\,0}$   $W_{e\,b\,p\,5} = W_{e\,1} W_{e\,1\,0} \cdots$ を通る強さ $=W_{e\,1}+W_{e\,1\,0}$ 

#### (ル) WELD-13の場合

$$W_{e\,b\,p\,1} = W_{e\,1} W_{e\,5\,D} \cdots$$
 を通る強さ= $W_{e\,1} + W_{e\,5}$   $W_{e\,b\,p\,2} = W_{e\,3} W_{e\,4} W_{e\,5} \cdots$  を通る強さ= $W_{e\,3} + W_{e\,4} + W_{e\,5}$ 

#### (ヲ) WELD-14の場合

$$W_{e\,b\,p\,1} = W_{e\,3} W_{e\,6} \cdots$$
 を通る強さ $=W_{e\,3} + W_{e\,6}$   $W_{e\,b\,p\,2} = W_{e\,1} W_{e\,8} W_{e\,6} \cdots$  を通る強さ $=W_{e\,1} + W_{e\,8} + W_{e\,6}$   $W_{e\,b\,p\,3} = W_{e\,3} W_{e\,1\,0} \cdots$  を通る強さ $=W_{e\,3} + W_{e\,1\,0}$   $W_{e\,b\,p\,4} = W_{e\,1} W_{e\,1\,0} \cdots$  を通る強さ $=W_{e\,1} + W_{e\,1\,0}$ 

を通る強さ=W $_{e\,1}$ +W $_{e\,1\,0}$ 

 $W_{e\;b\;p\;6}$ 

# ホ. 評価

平板の穴の補強は、下記の条件を満足すれば十分である。

$$A_{0D} > A_r$$

$$A_{0D}$$
> $A_{rD}$ (ただし、 $X_1 \neq X_2$ の場合のみ)

すべての破断箇所の強さ $\geq$ W (ただし、Wが正の場合のみ)

## (3) 開放タンクの穴の補強計算

重大事故等クラス2容器については設計・建設規格 PVC-3940及びPVC-3950を適用する。

ただし、穴の径が85 mm以下の場合は計算を行わない。

ここで、最高使用圧力Pは、次の式による値とする。

 $P = 9.80665 \times 10^{-3} \cdot H \cdot \rho$ 

開放タンクの胴に穴を設ける場合は、2.2.9(2)項「容器の穴の補強計算」を適用する。

# (5) 2つ以上の穴が接近しているときの補強計算 重大事故等クラス2容器については、設計・建設規格 PVC-3162を適用する。

#### a. 記号の定義

設計・建設 規格の記号	計算書の表示	表示内容	単位
	$A_1$	2 つの穴の間及び強め板の断面積の和	$\mathrm{mm}^2$
	$A_2$	2 つの穴の間の胴板内に溶着された管壁の断面積	$\mathrm{mm}^2$
	$A_d$	$A_1$ と $A_2$ の和	$\mathrm{mm}^2$
	Ar	A <sub>r1</sub> とA <sub>r2</sub> の和の 1/2	$\mathrm{mm}^2$
	$A_{r1}, A_{r2}$	2 つの穴のそれぞれの補強に必要な断面積	$\mathrm{mm}^2$
	A <sub>rs</sub>	2 つの穴の間の強め材の断面積	$\mathrm{mm}^2$
As	As	2 つの穴の間に必要な胴の断面積(胴板内に溶着された管壁を含む。)	$\mathrm{mm}^2$
	d	2 つの穴の中心間に必要な距離	mm
	$d_1$ , $d_2$	2 つの穴のそれぞれの直径	mm
F	F	係数	_
Q	Q	2つの穴の中心間の距離	mm
	L <sub>1 i</sub> , L <sub>2 i</sub>	2 つの穴のそれぞれの内側溶け込み深さ	mm
	L <sub>10</sub> , L <sub>20</sub>	2 つの穴のそれぞれの外側溶け込み深さ	mm
	t <sub>1</sub> , t <sub>2</sub>	2 つの穴のそれぞれの管壁の厚さ	mm
t sr	t sr	胴の継手がない場合の計算上必要な厚さ	mm
t sr	t cr	鏡板の継手がない場合の計算上必要な厚さ	mm
t sr	t pr	平板の計算上必要な厚さ	mm

#### b. 算式

2以上の穴が接近しているためそれぞれの補強に有効な範囲が重なり合うときは次による。

$$\begin{split} & d = 1.5 \cdot \left(\frac{d_1 + d_2}{2}\right) \\ & A_r = 0.5 \cdot \left(A_{r1} + A_{r2}\right) \\ & A_s = 0.7 \cdot \ell \cdot t_{sr} \cdot F \quad (胴の補強計算の場合) \\ & A_s = 0.7 \cdot \ell \cdot t_{cr} \cdot F \quad (鏡板の補強計算の場合) \\ & A_s = 0.7 \cdot \ell \cdot t_{pr} \cdot F \quad (平板の補強計算の場合) \\ & A_d = A_1 + A_2 \end{split}$$

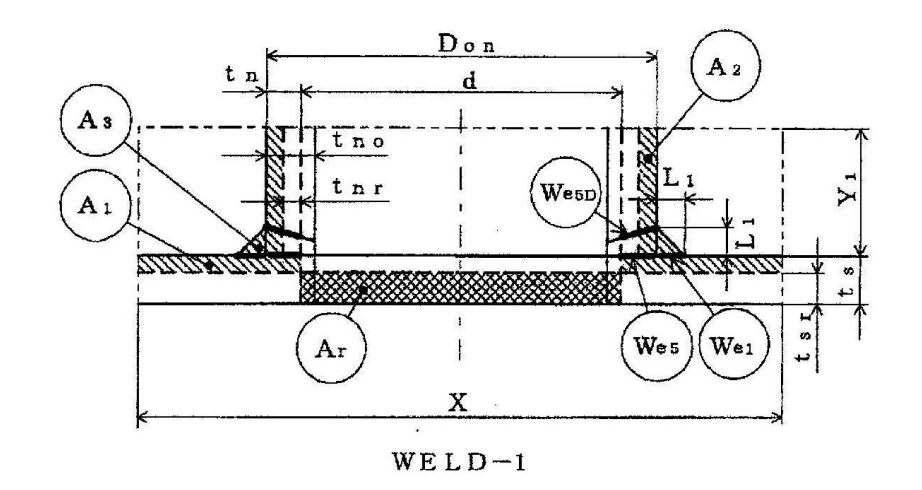
#### c. 評価

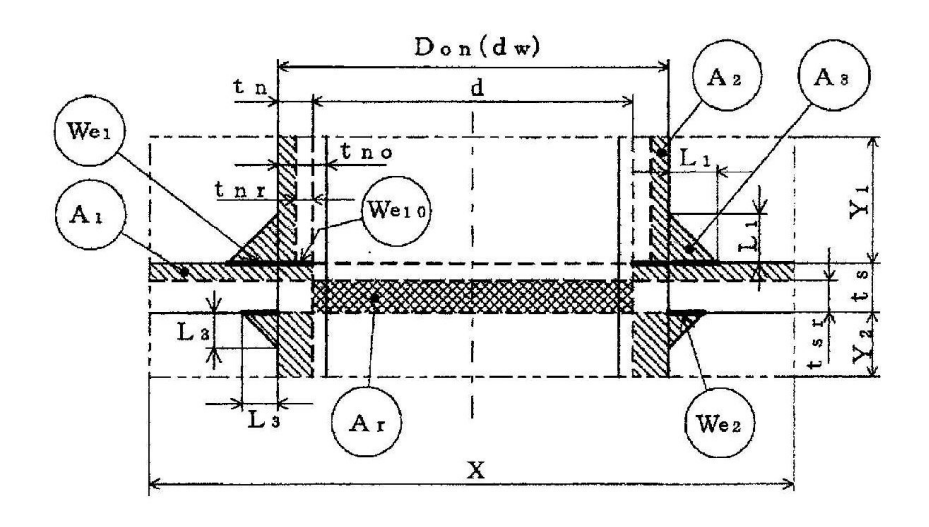
下記の条件を満足すれば十分である。

$$\ell \ge d$$
,  $A_{rs} \ge A_{r}$ ,  $A_{d} \ge A_{s}$ 

ここで,各形式図(図2-6~図2-44)において,胴,鏡板又は平板の最小厚さ及び穴の補強計算に用いる計算上必要な厚さは,それぞれ胴の場合は  $t_s$ ,  $t_{sr}$ ,鏡板の場合は  $t_c$ ,  $t_{cr}$ ,平板の場合は  $t_p$ ,  $t_{pr}$  と読替えを行う。

また,各形式図中の d は,平板の場合は d  $_{\rm h}$ と読替えを行う。



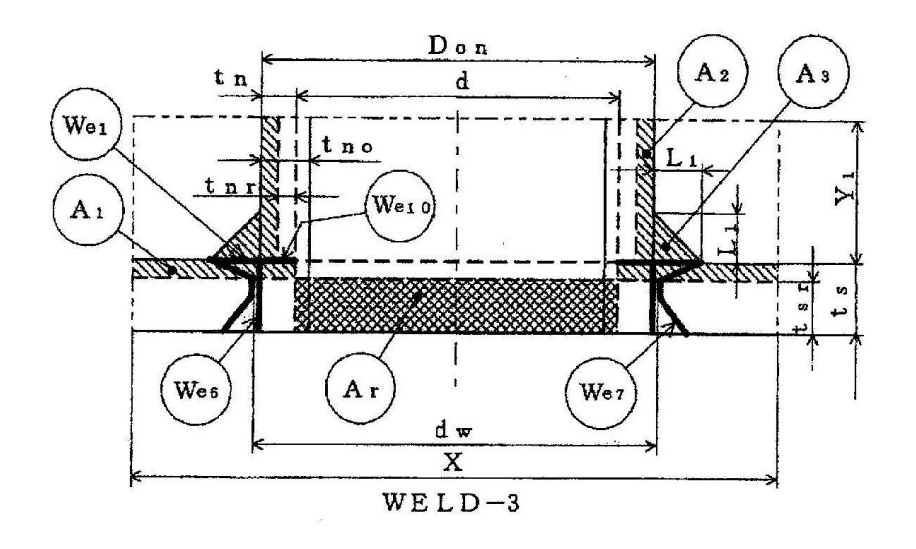


WELD-2



図2-6

注 : W e 1 等で示される図中の太線は、予想される破断形式を示す。(以降、同様)



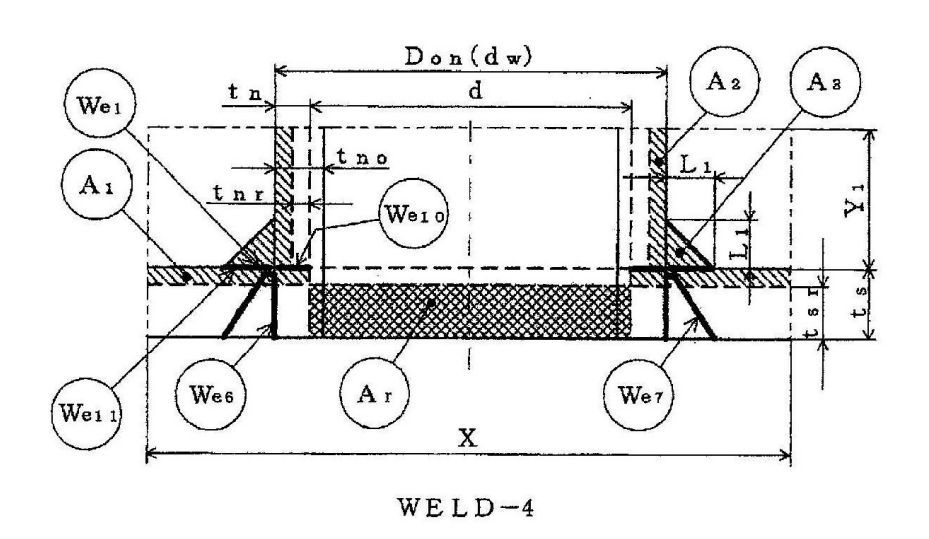
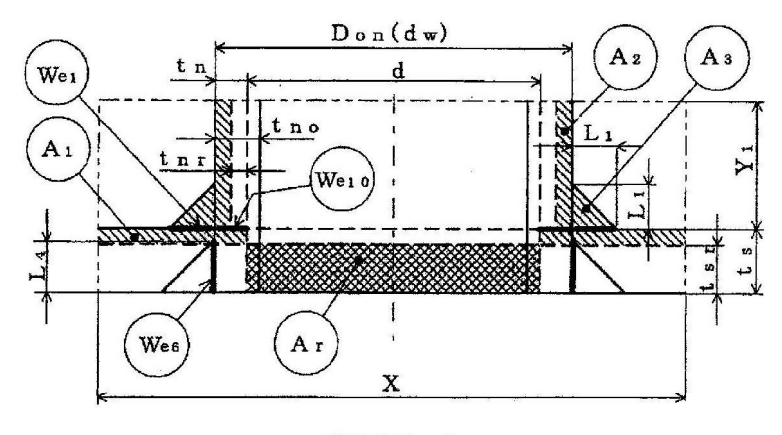




図2-7



WELD-5

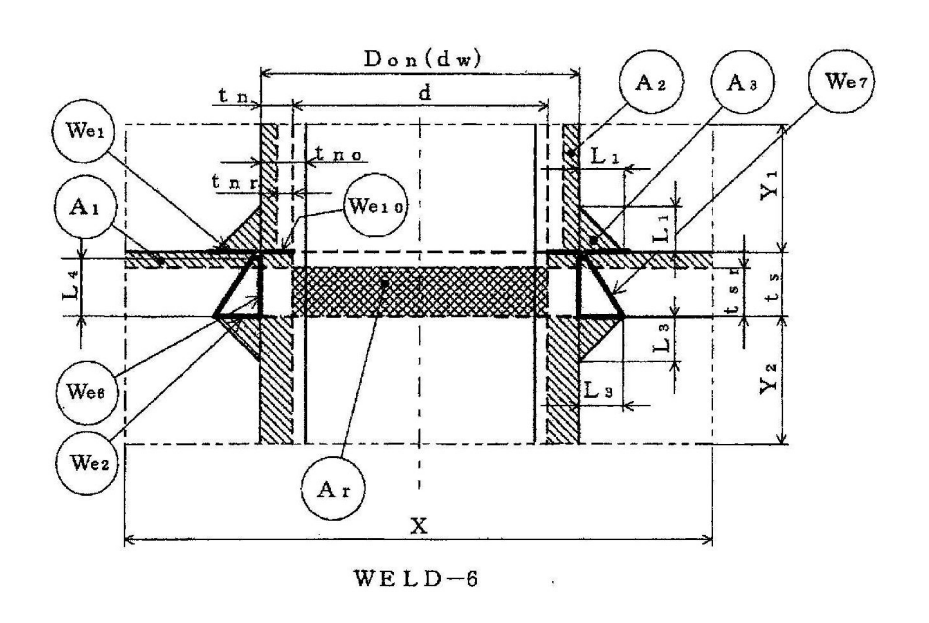
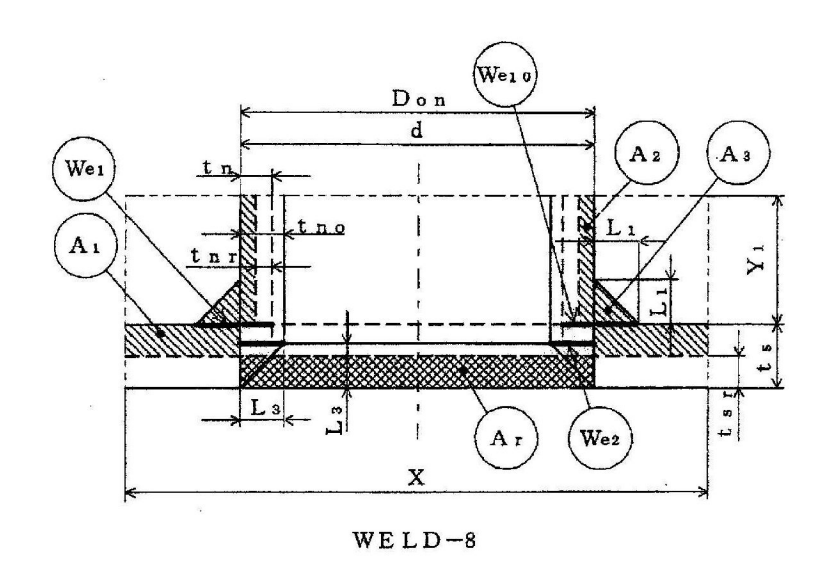




図2-8



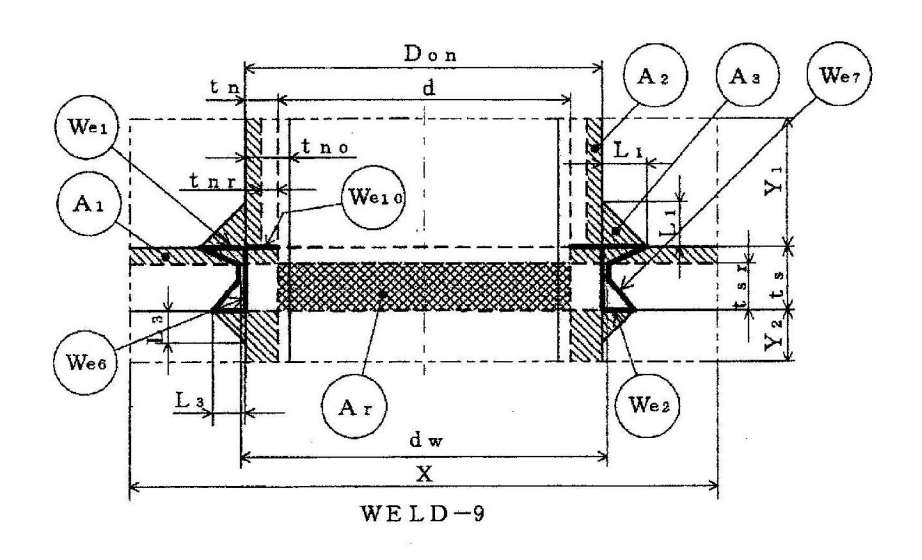
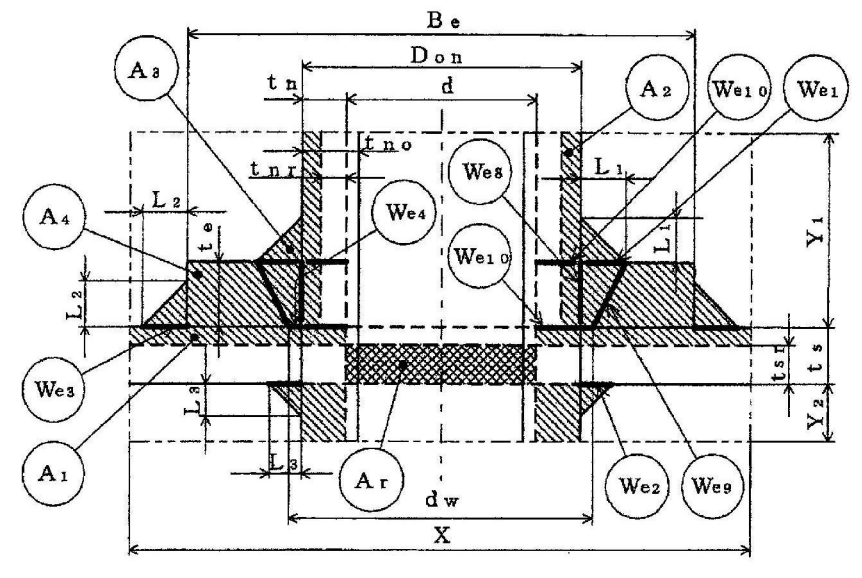
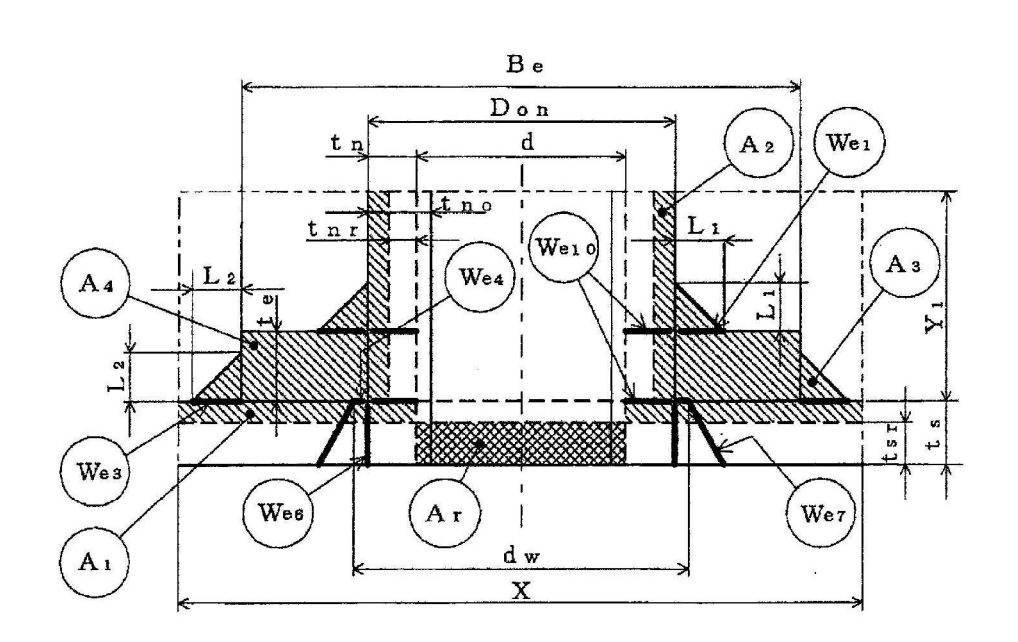


図2-9



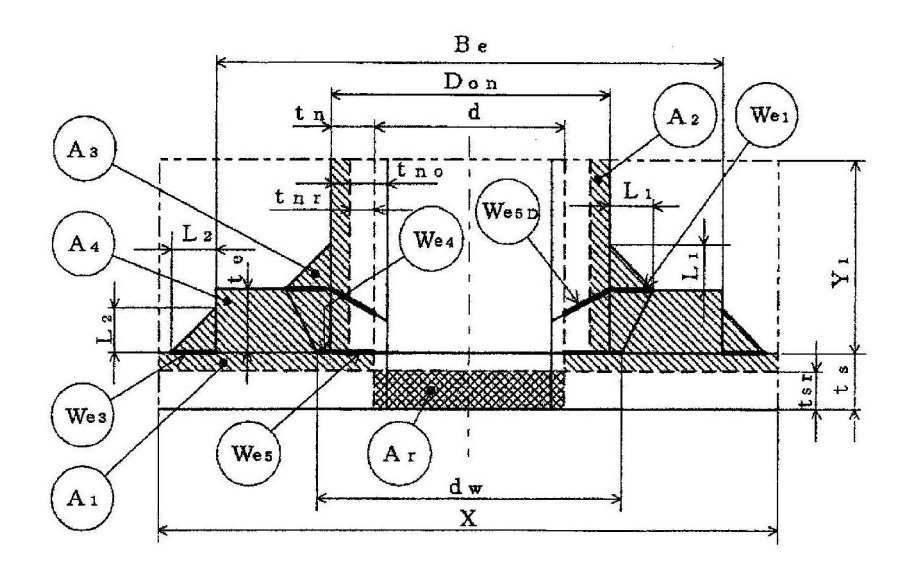
WELD-11



WELD-12



図2-10



WELD-13

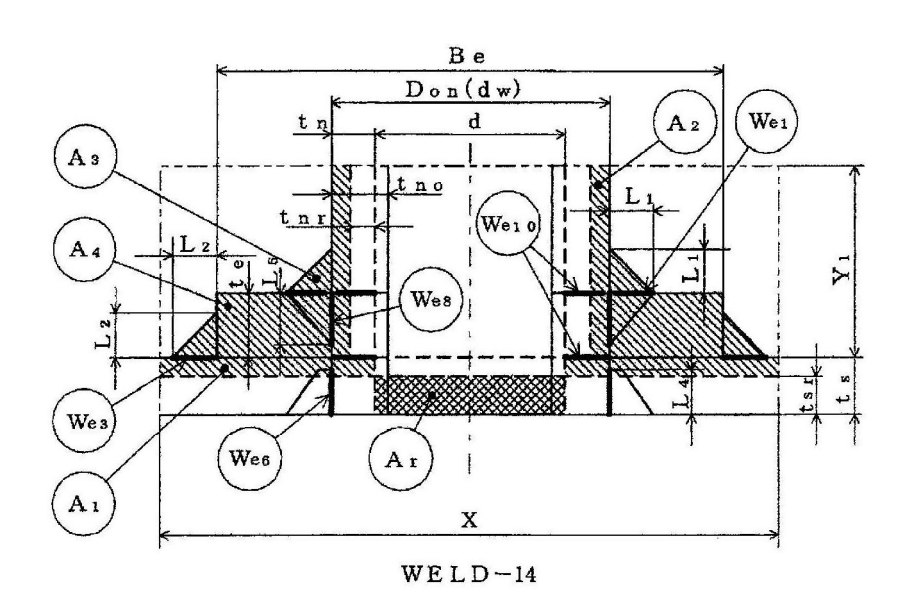
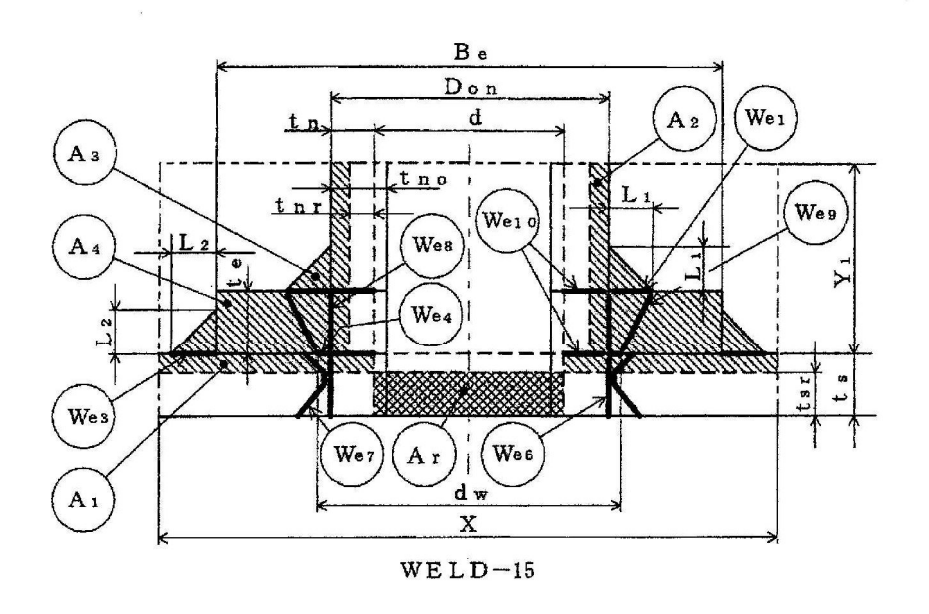
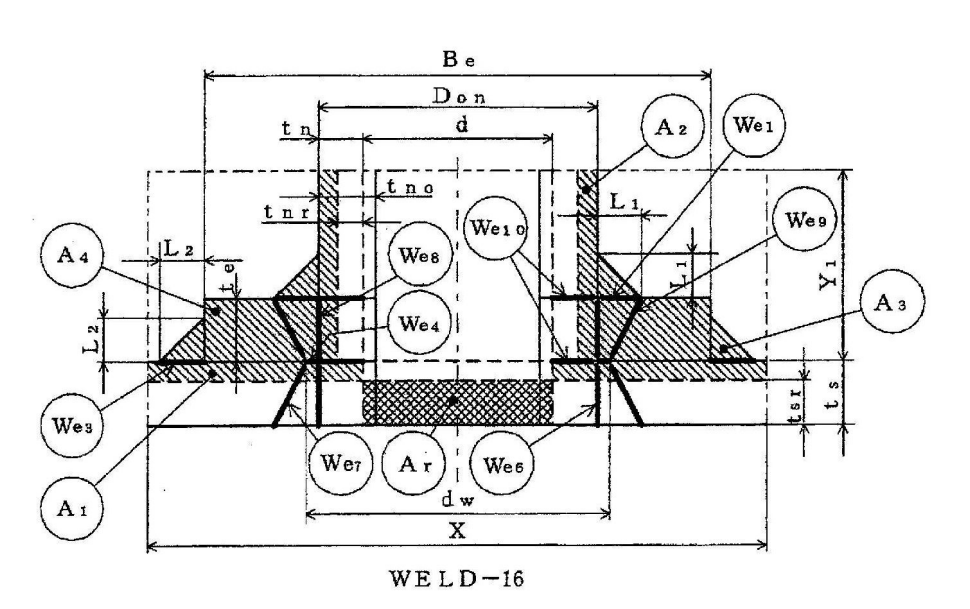


図2-11





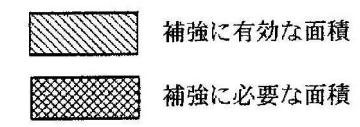


図2-12

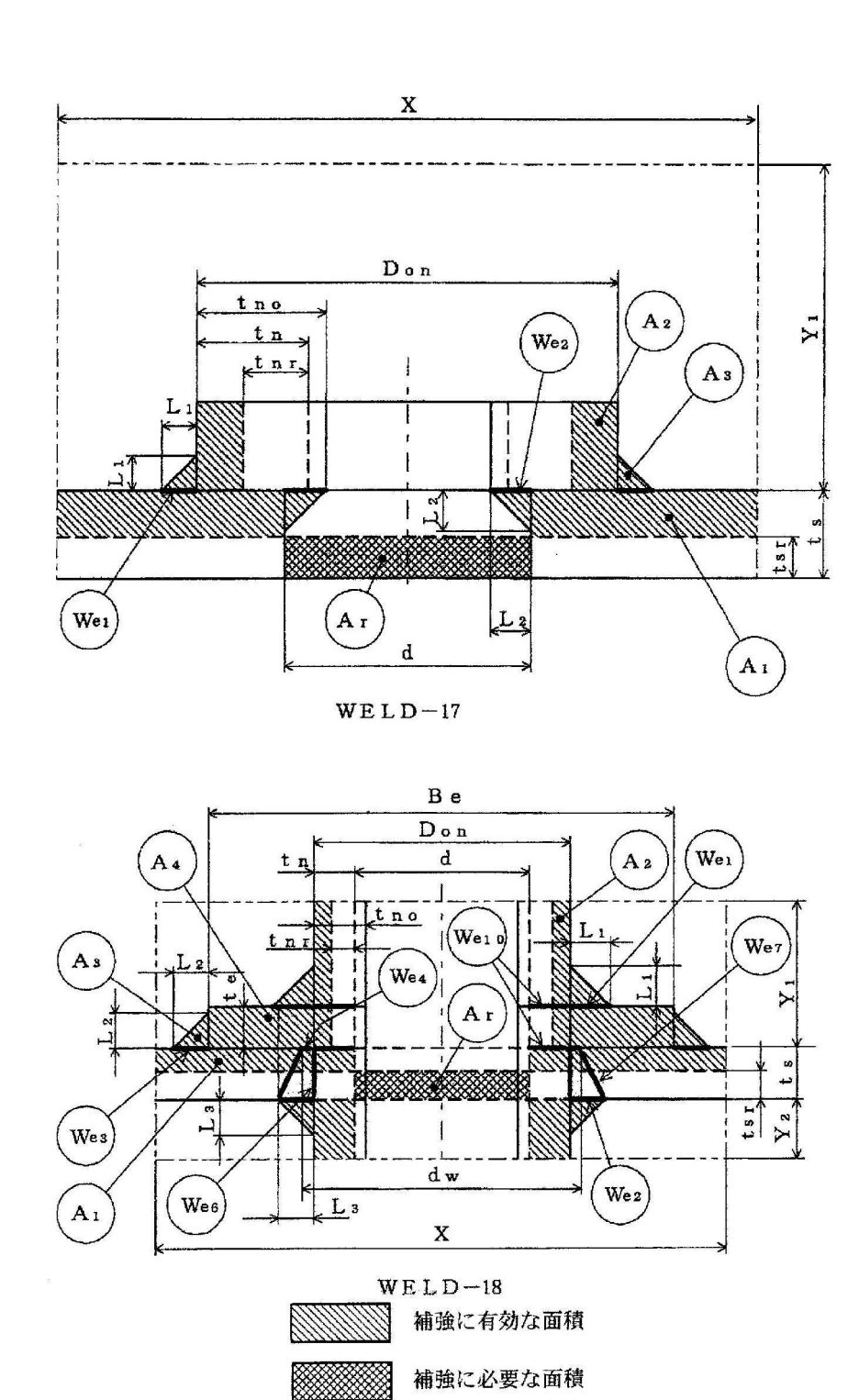
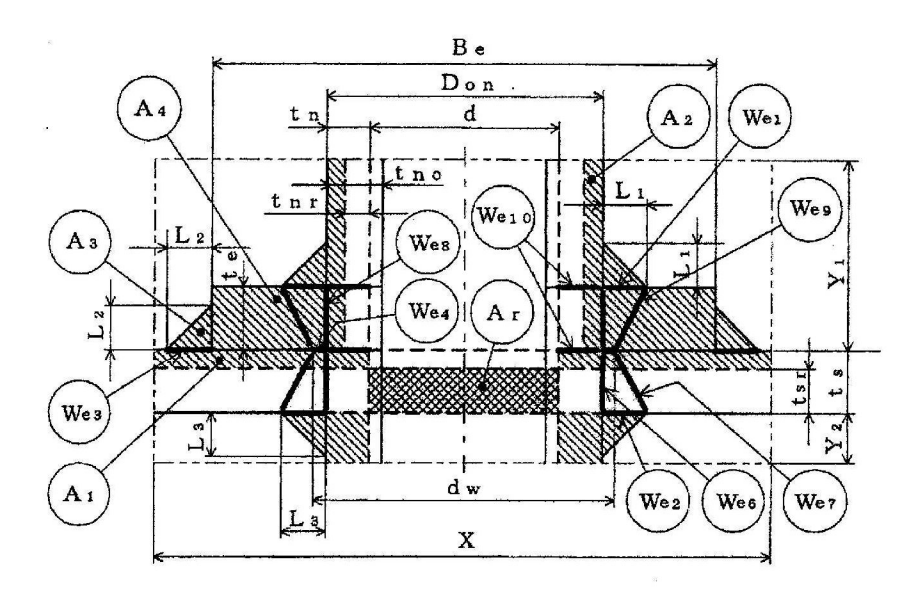


図2-13



WELD-19

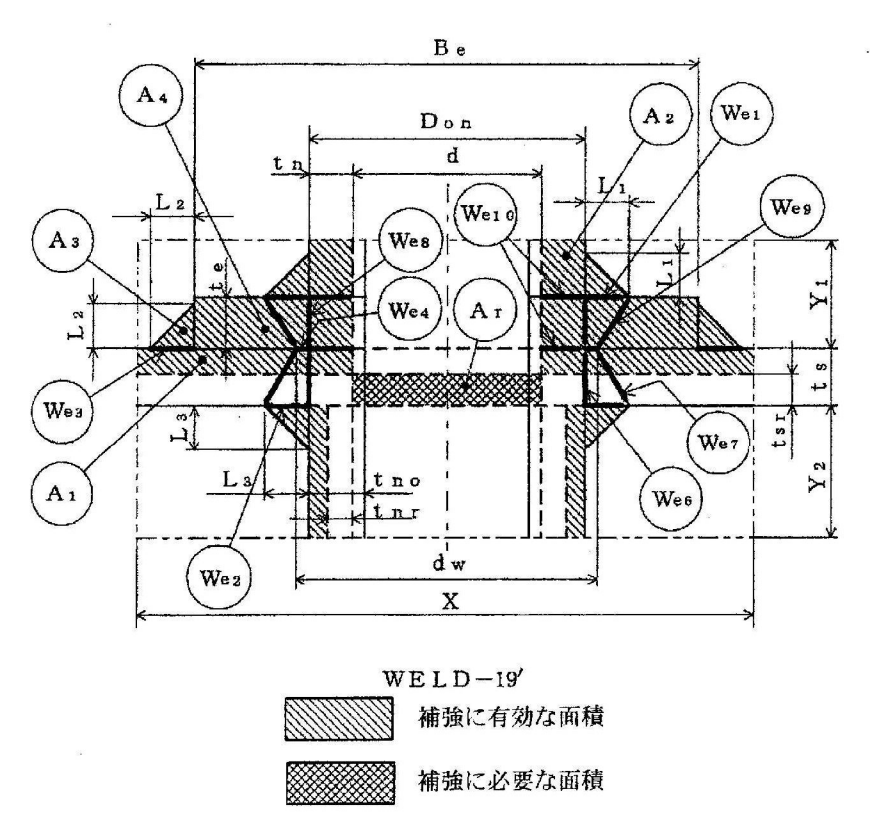
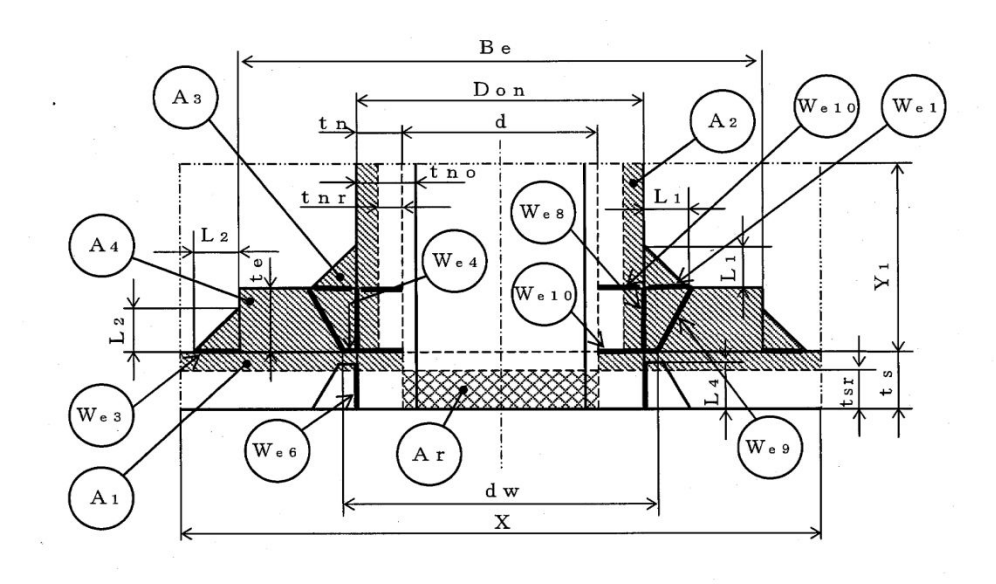
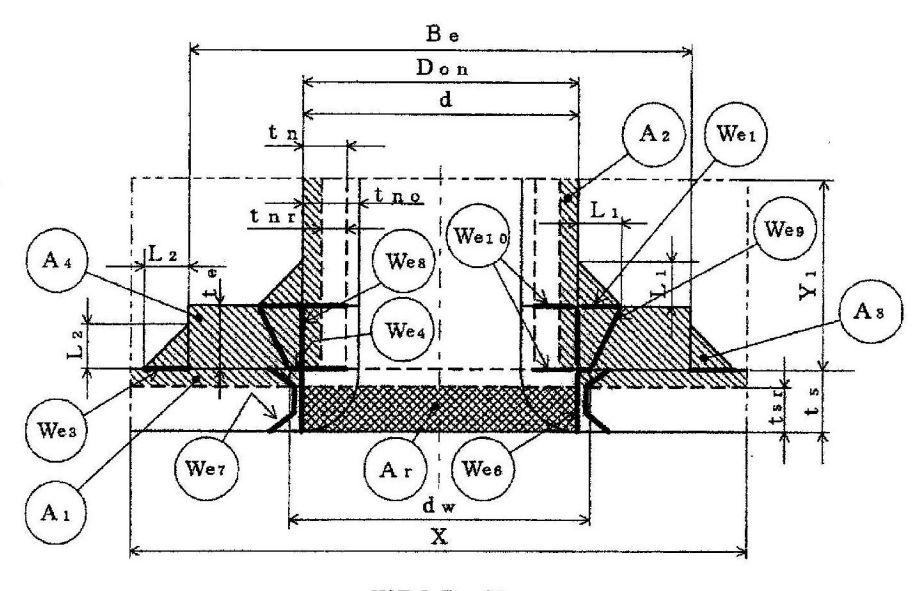


図2-14

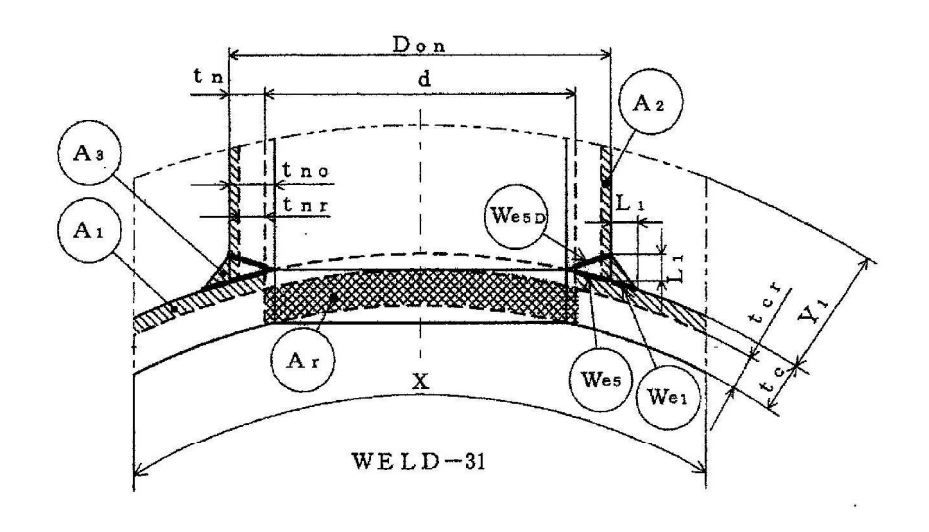


WELD-14'



WELD-22

図2-15



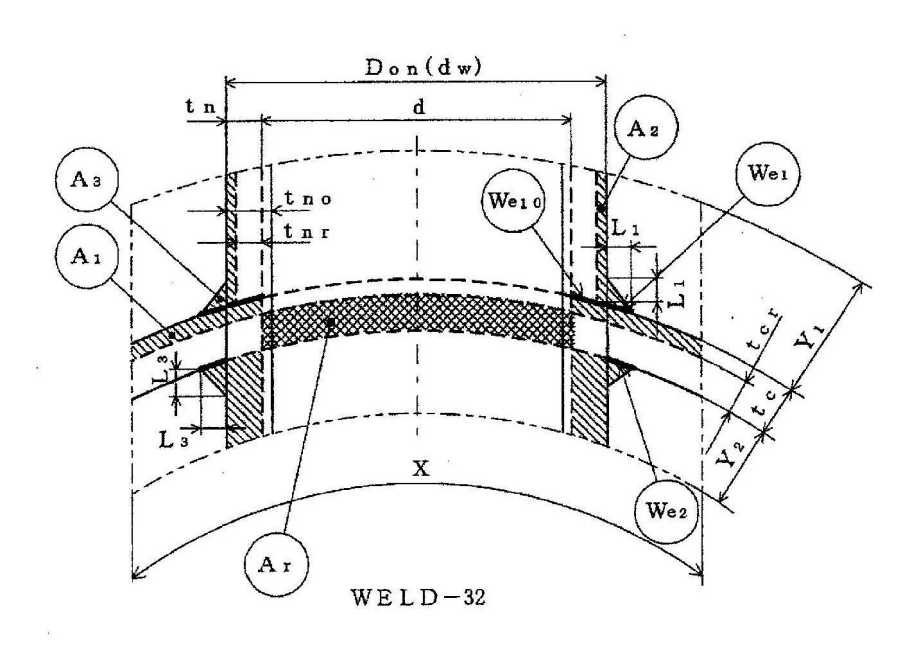
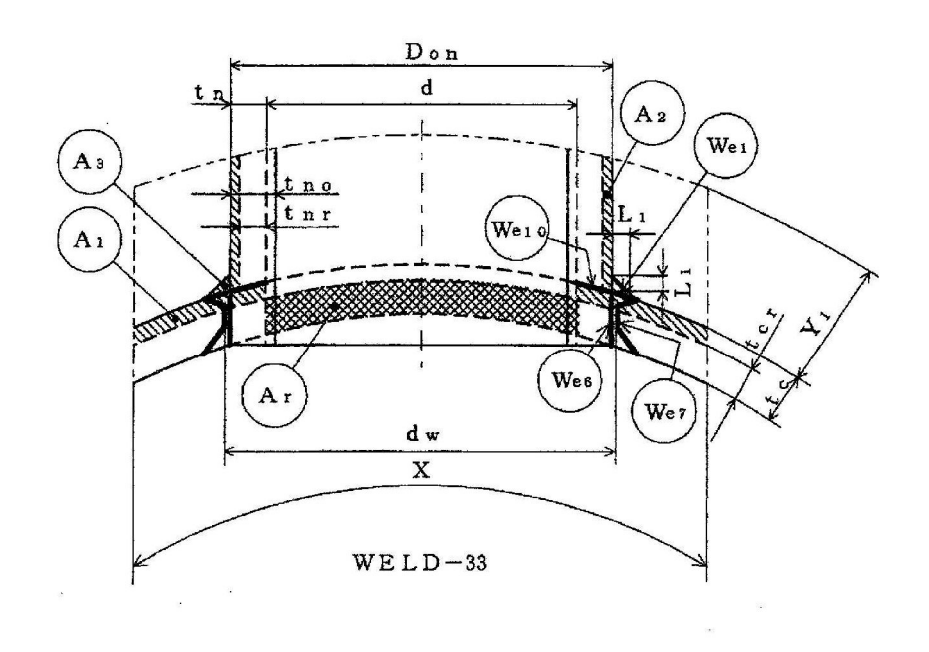


図2-16



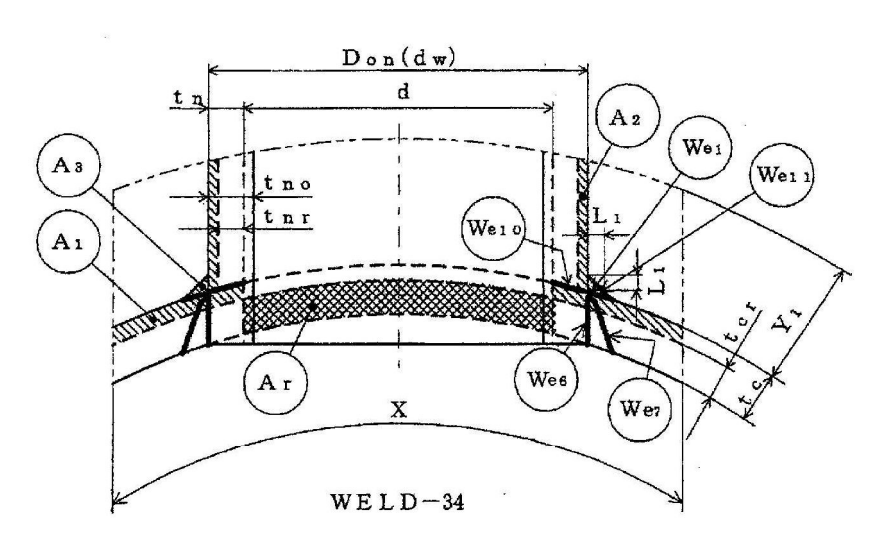
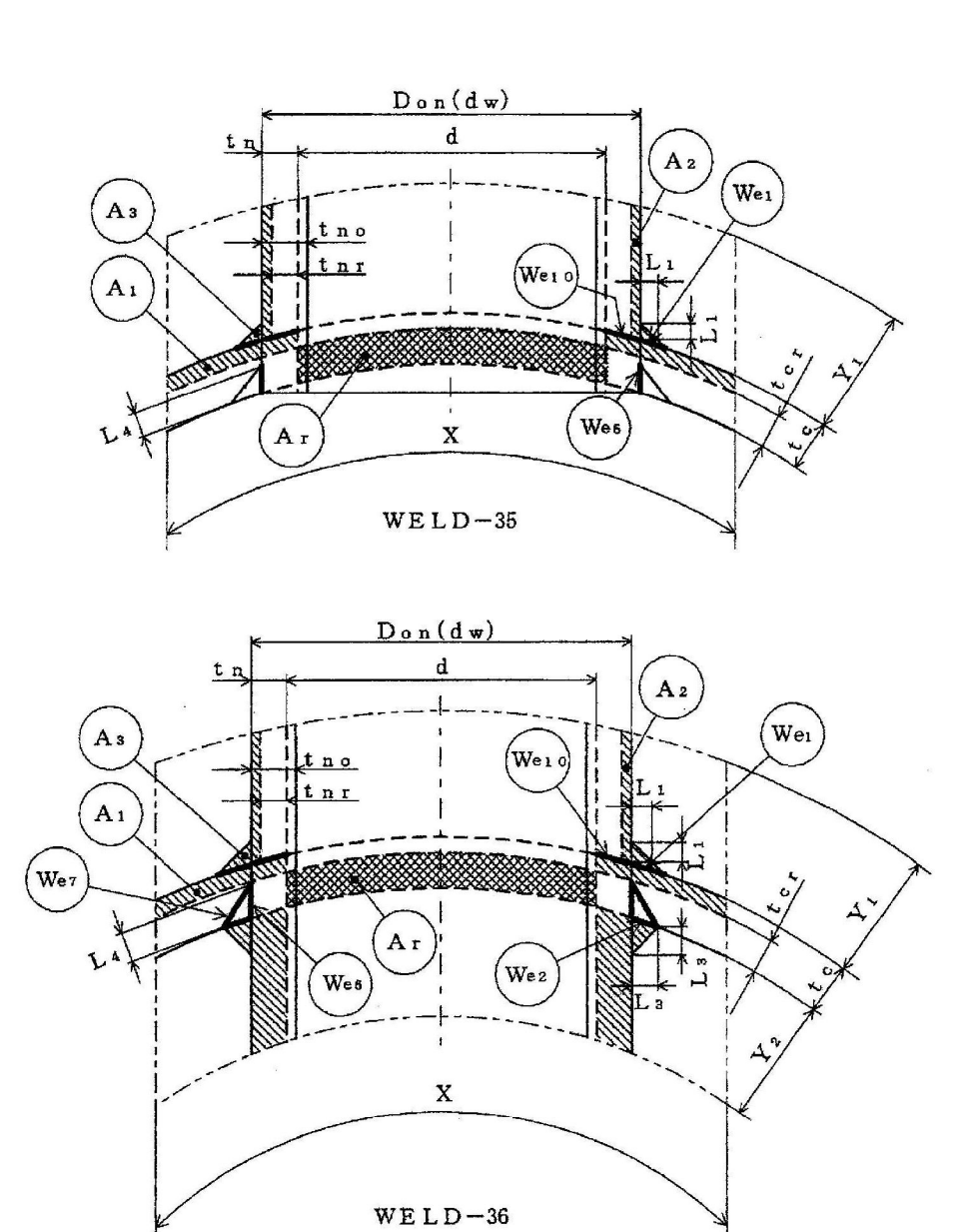
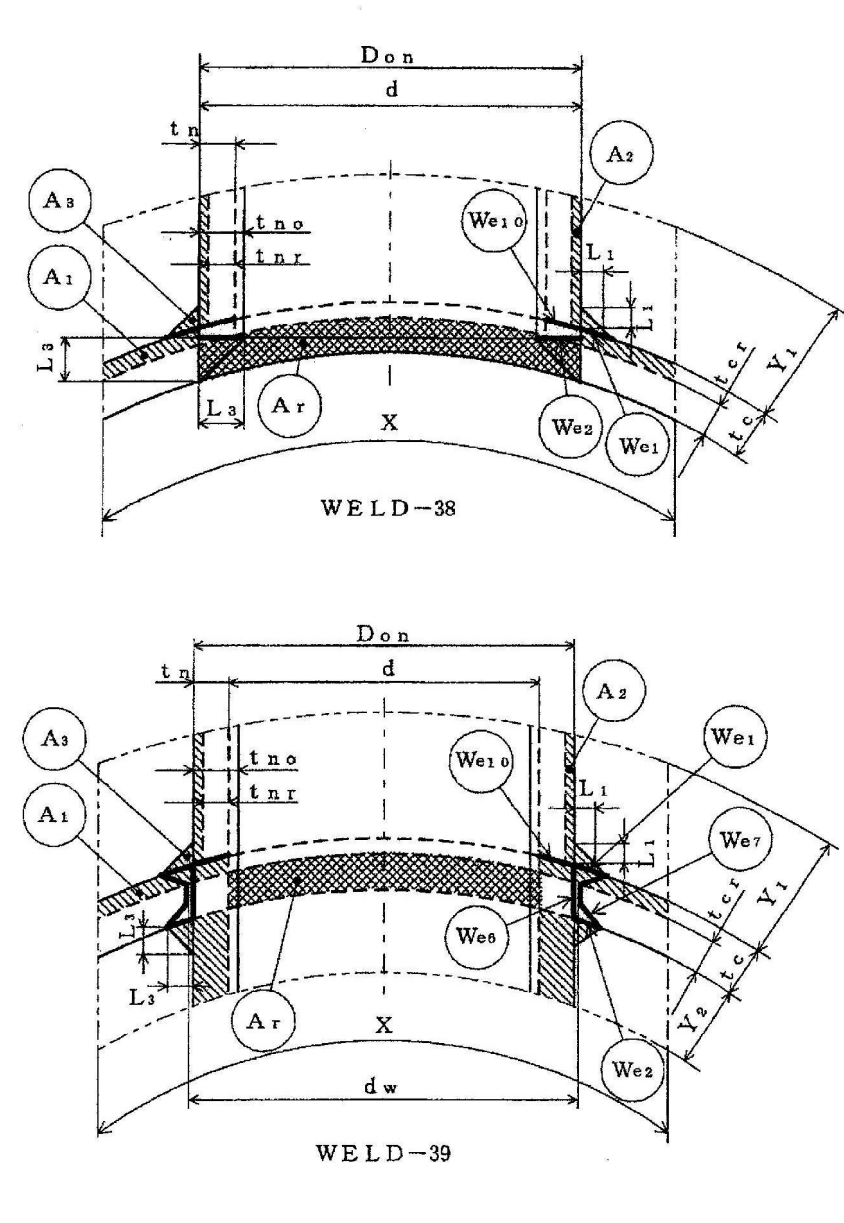


図2-17







補強に有効な面積 補強に必要な面積

図2-19

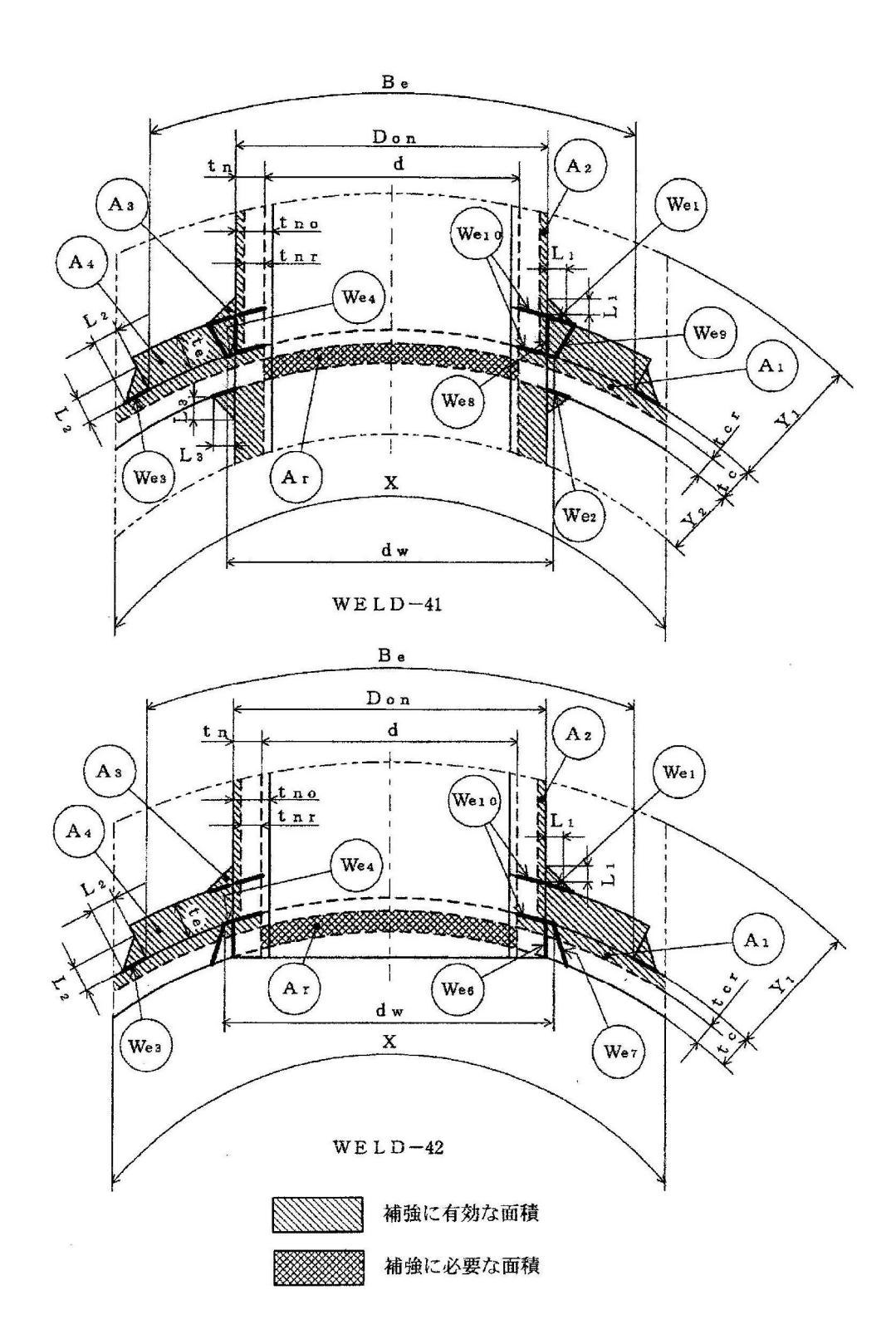


図2-20

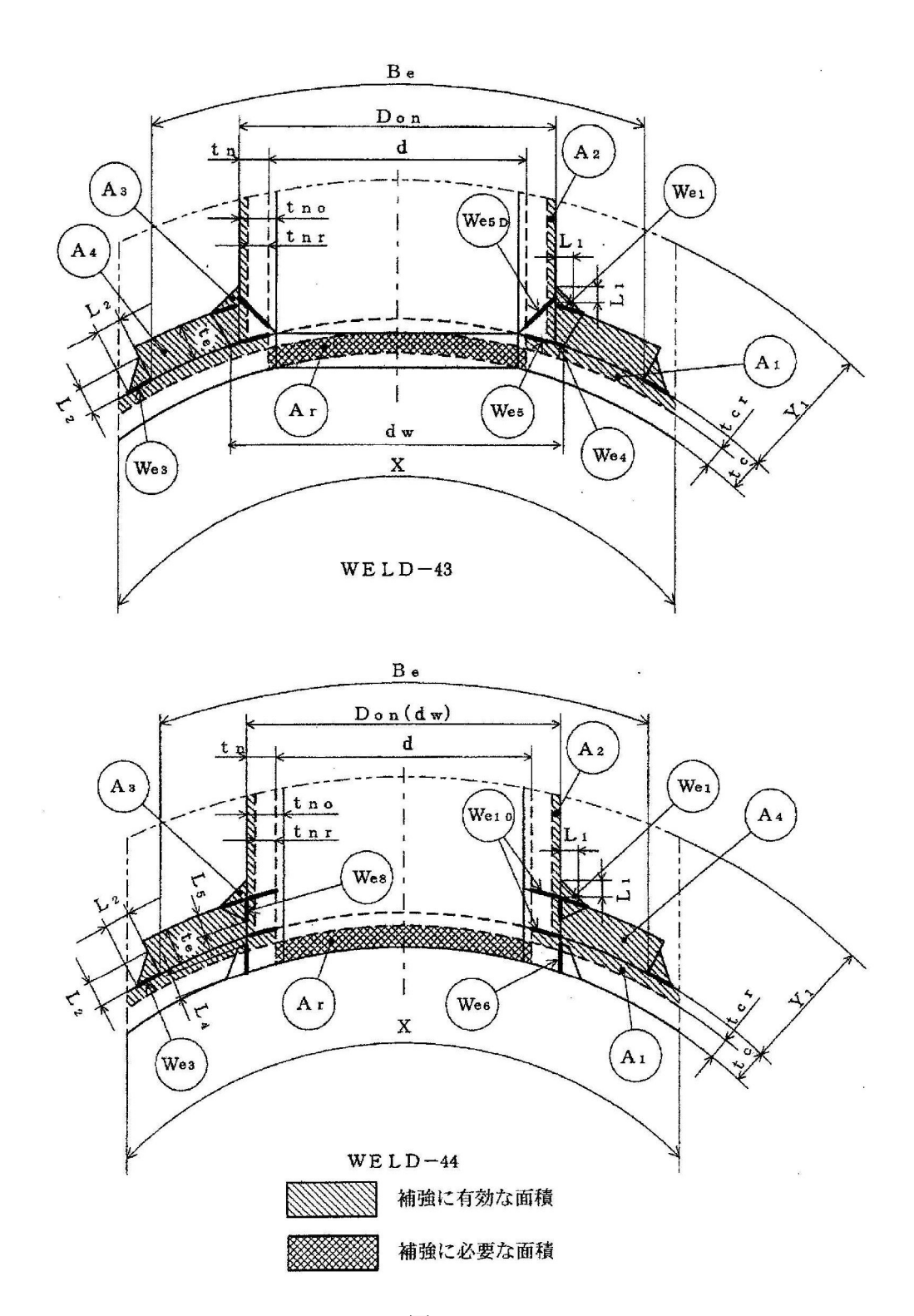
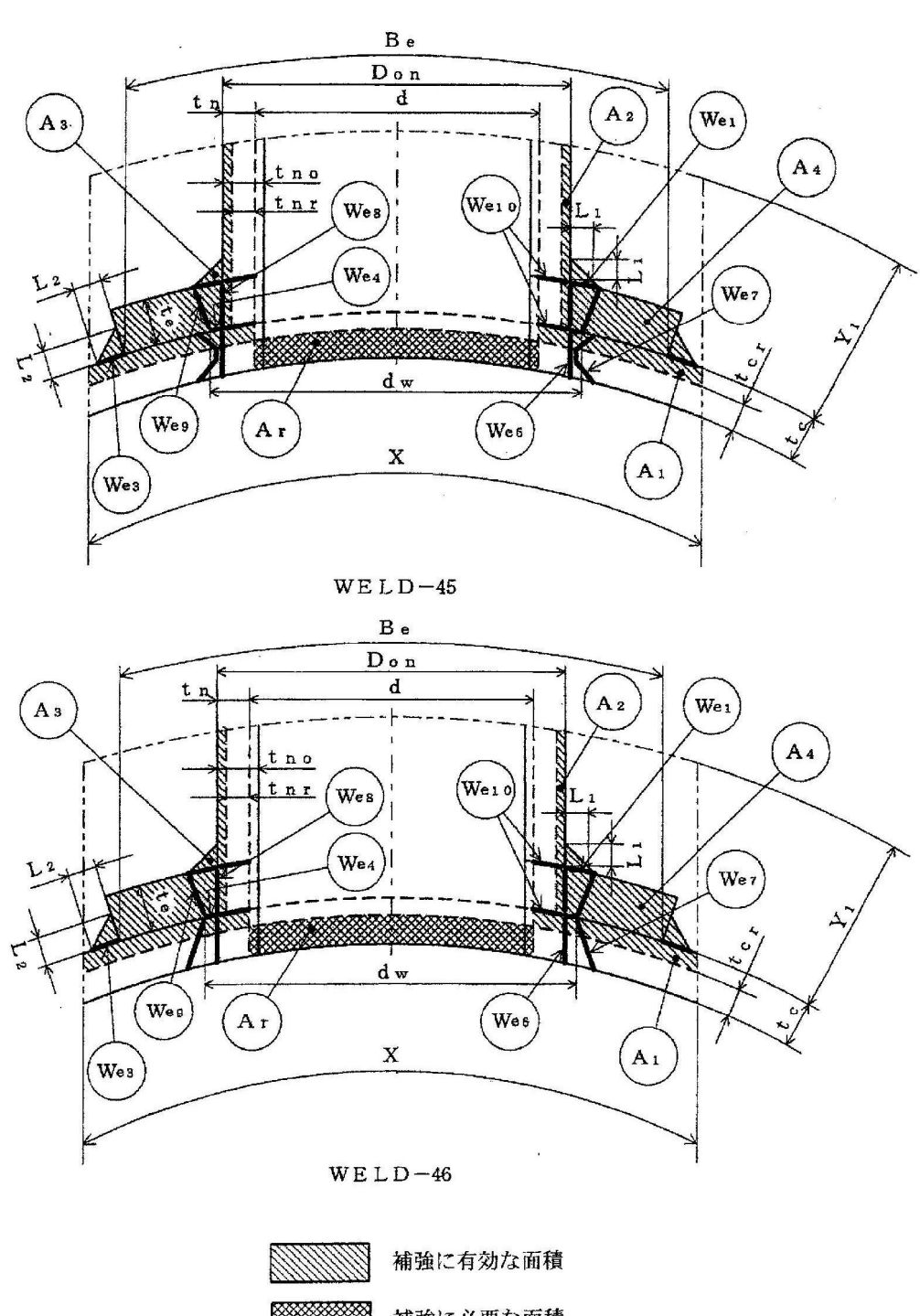


図2-21



補強に必要な面積

図2-22

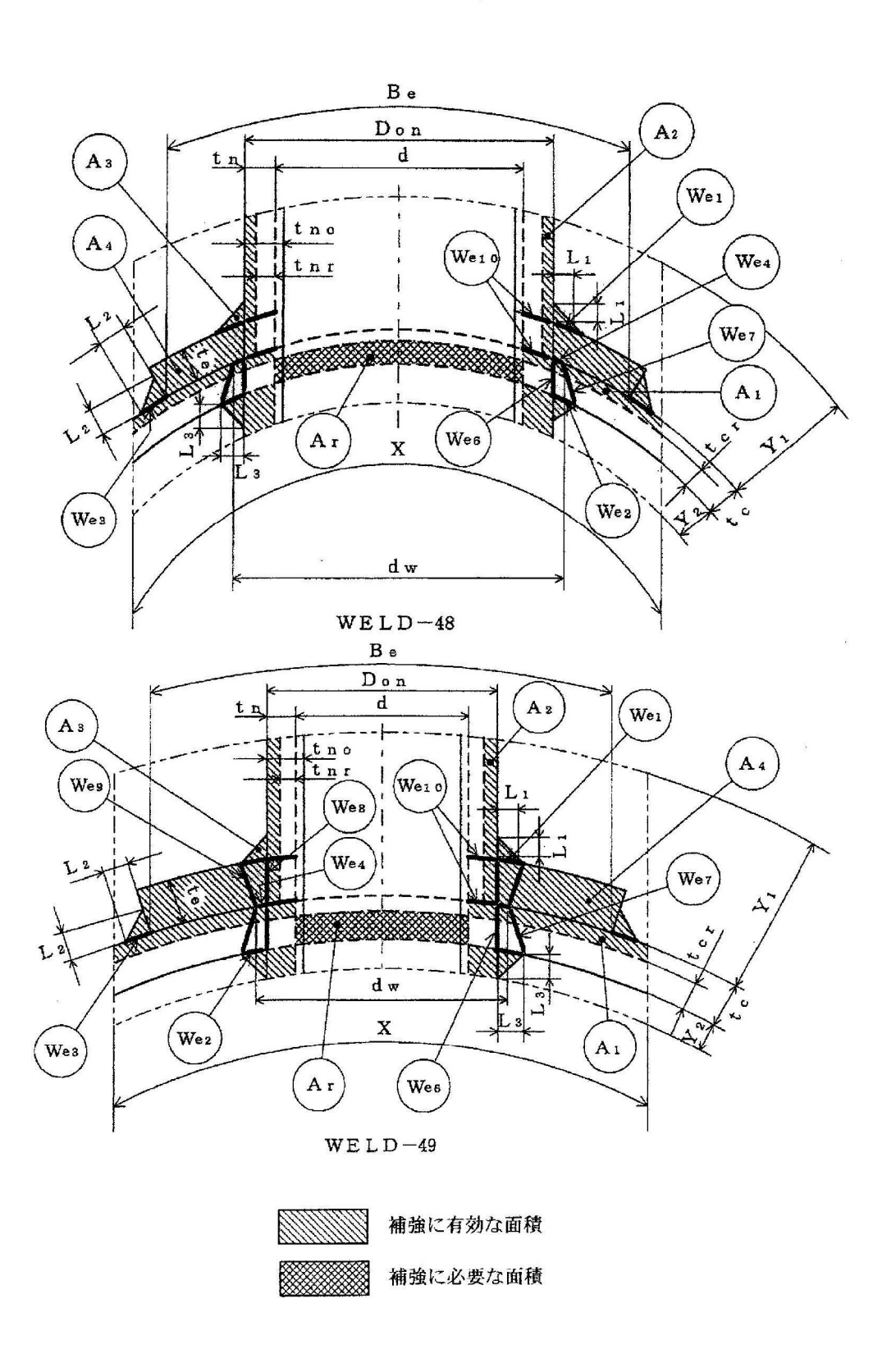


図2-23

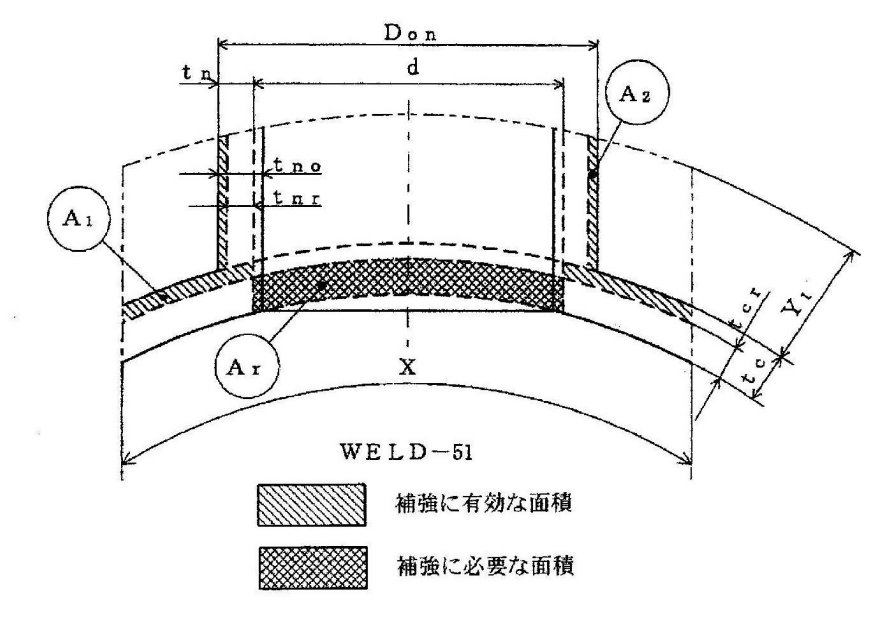


図2-24

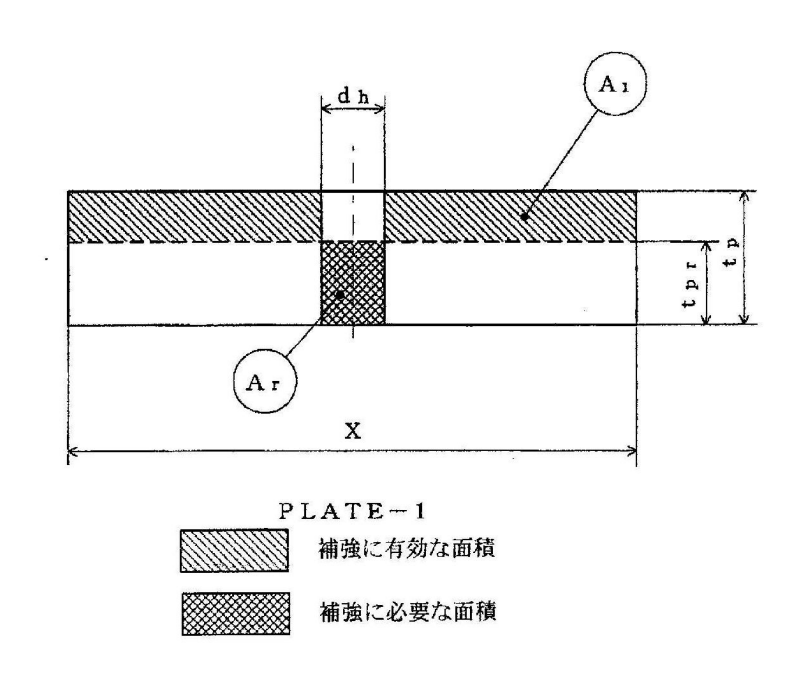
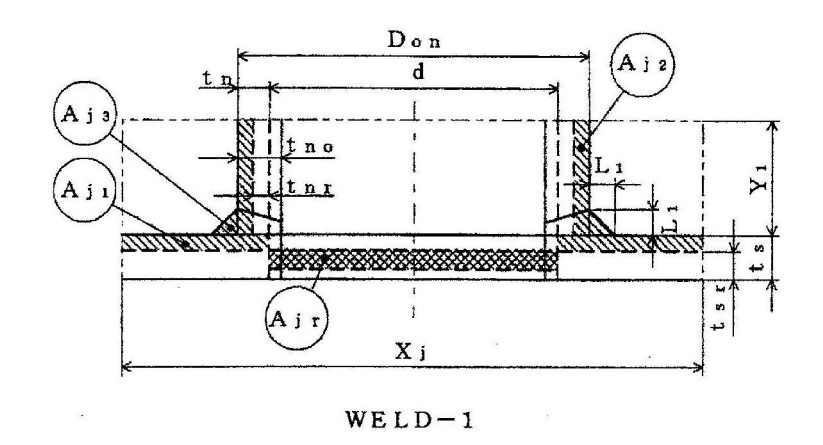
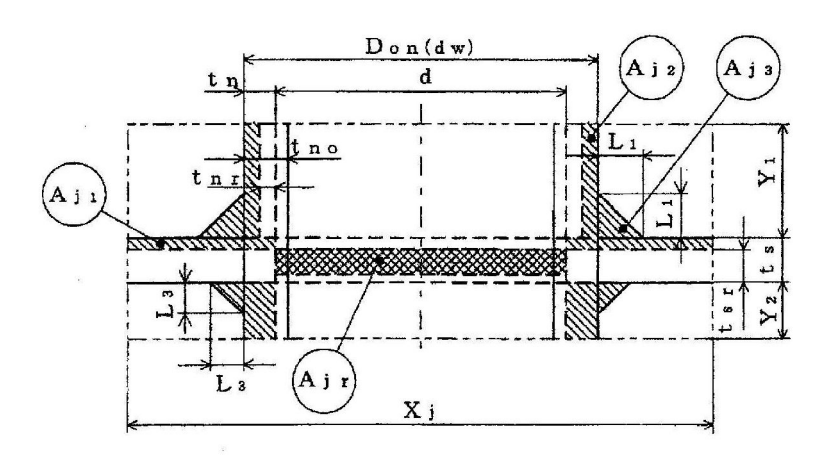


図2-25

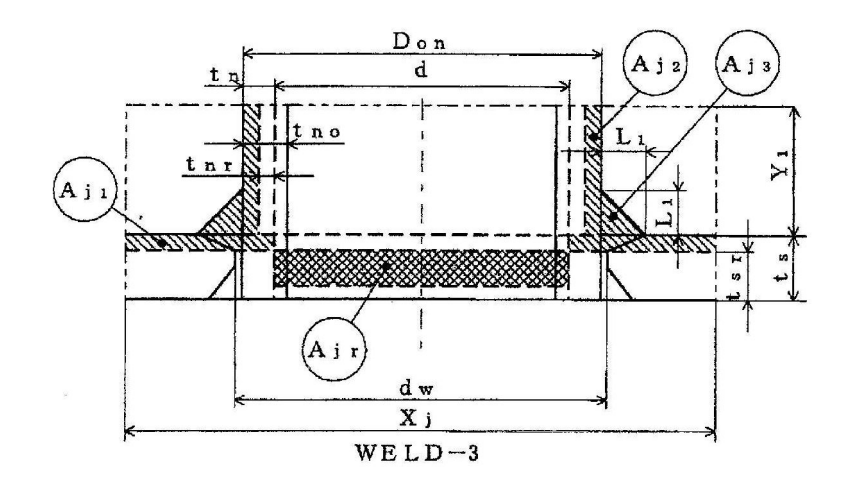




WELD-2

大きい穴の補強に有効な面積 大きい穴の補強に必要な面積

図2-26



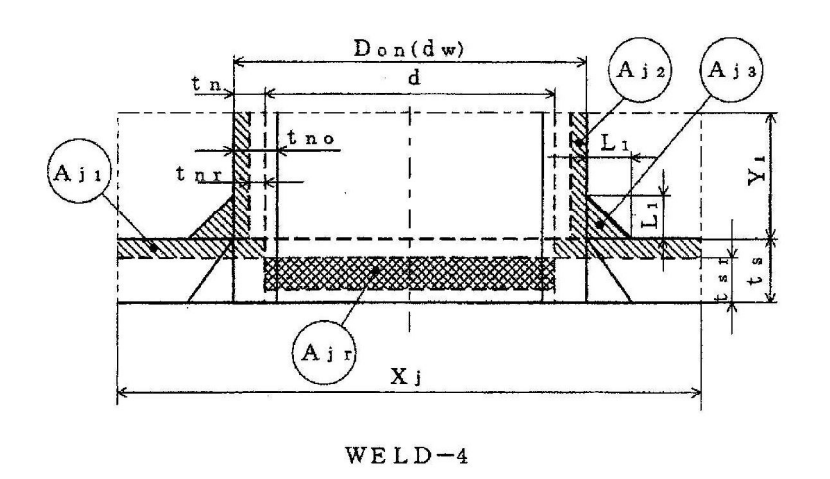
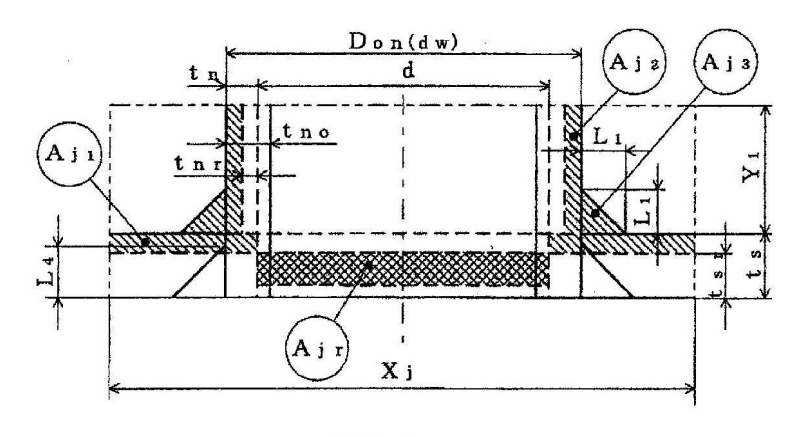
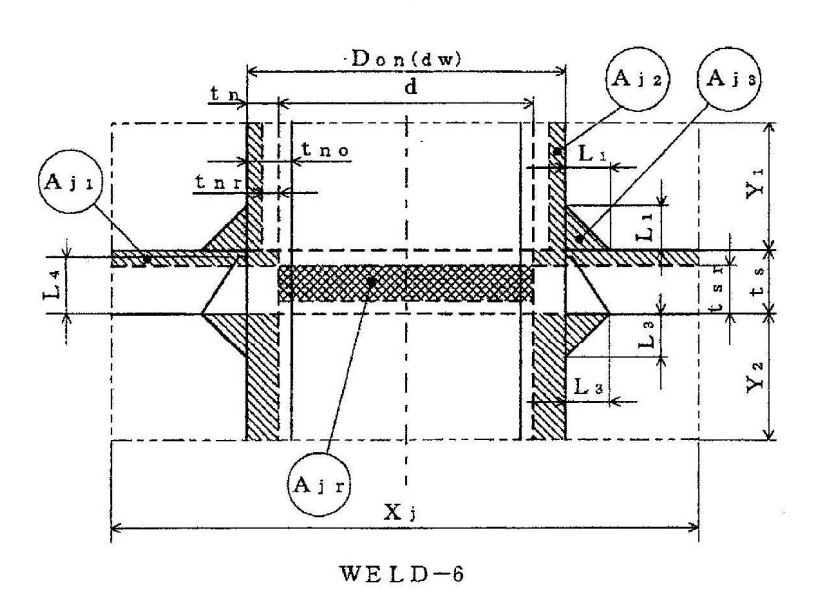


図2-27



WELD-5



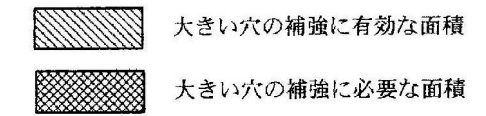
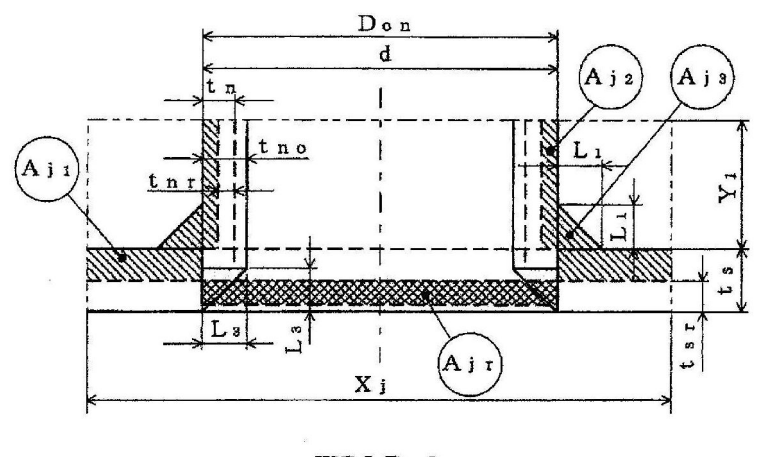
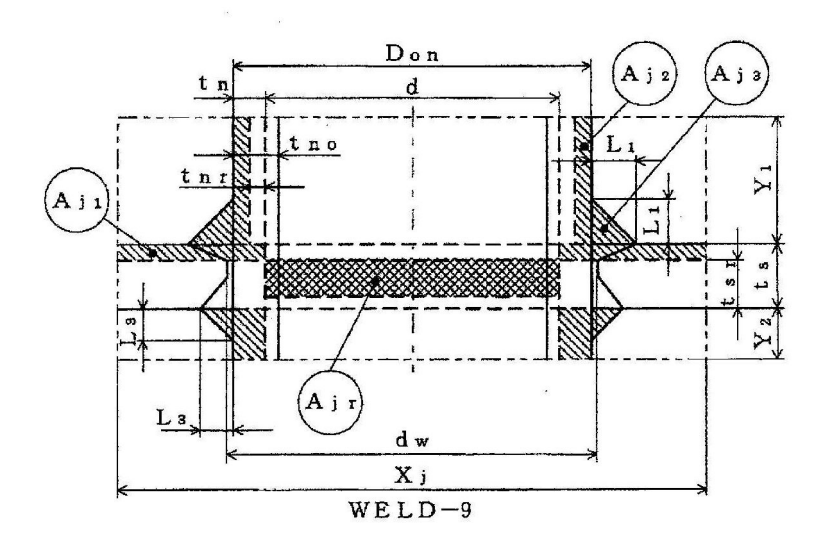


図2-28



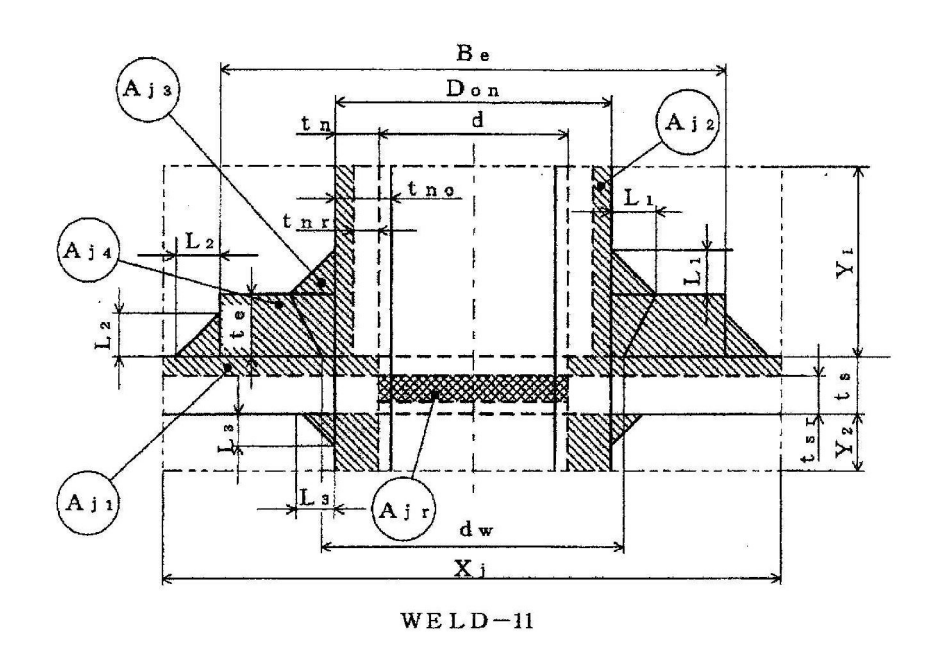
WELD-8

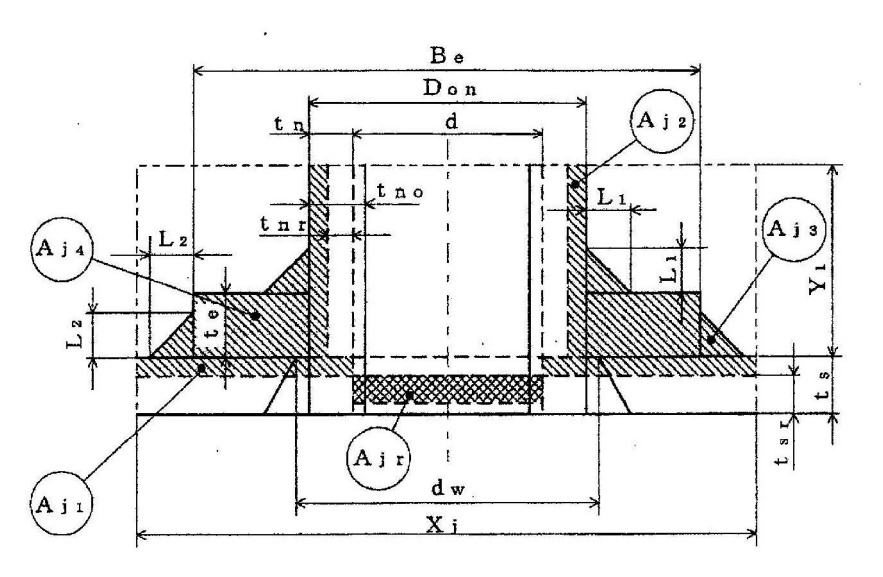


大きい穴の補強に有効な面積

大きい穴の補強に必要な面積

図2-29





WELD-12

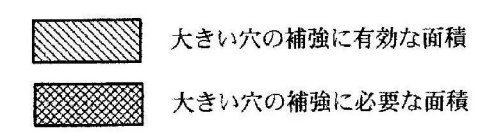
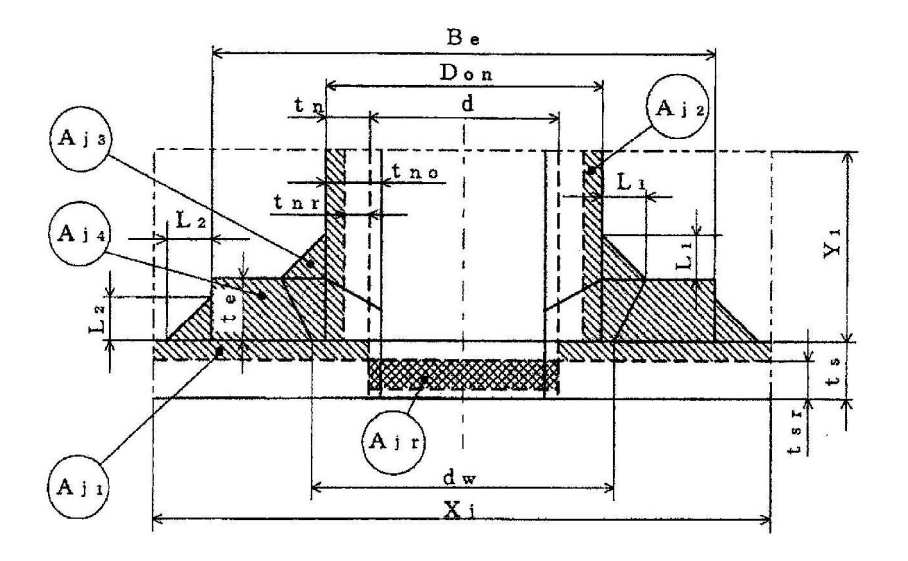


図2-30



WELD-13

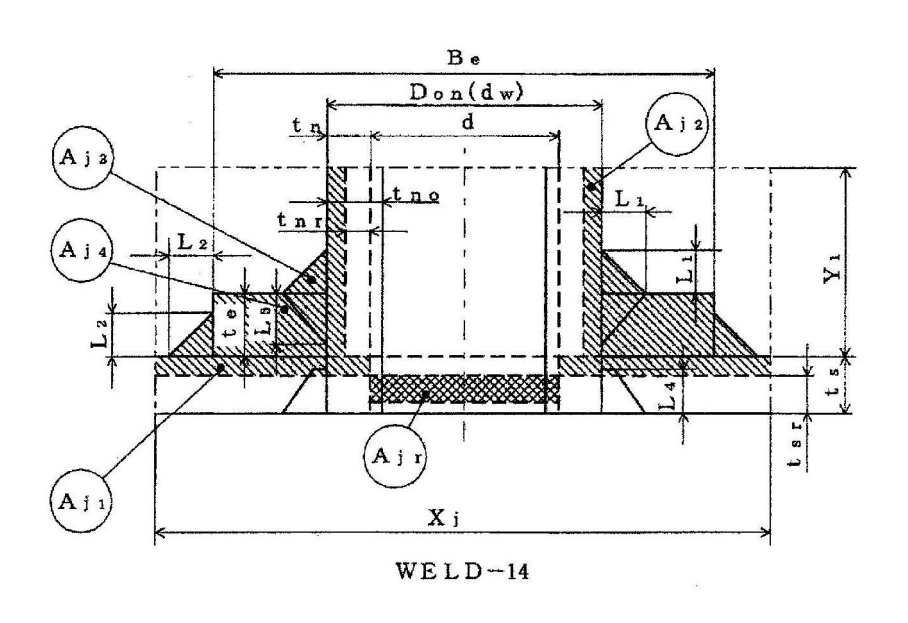
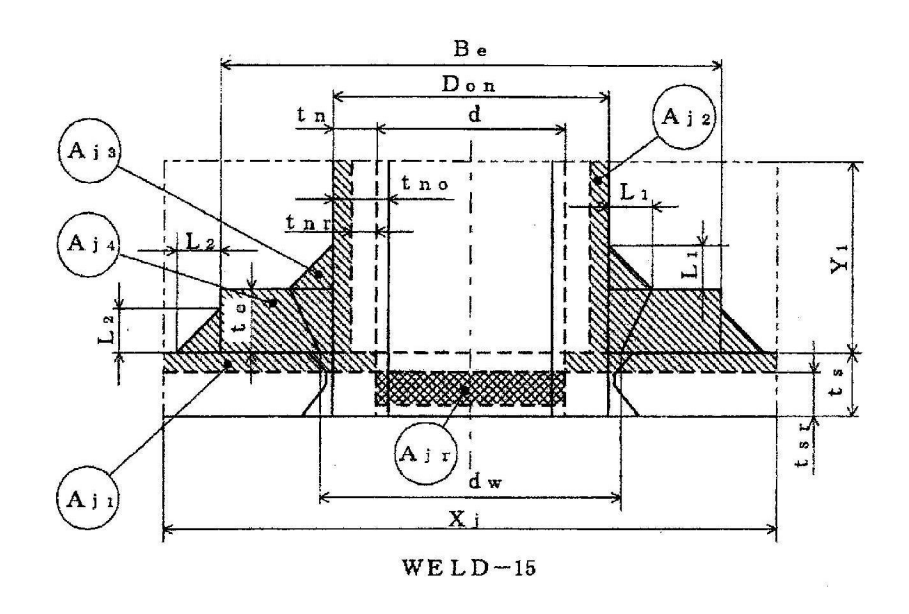


図2-31



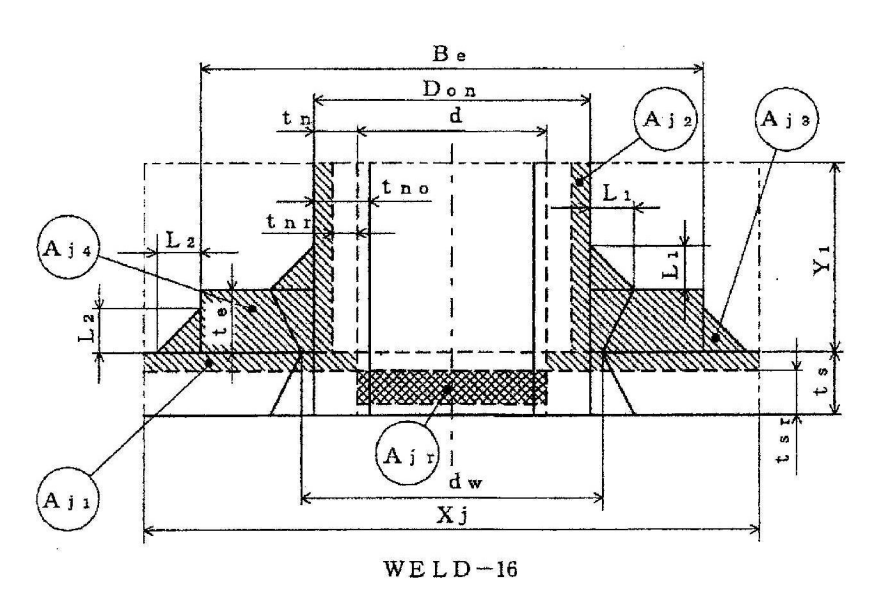
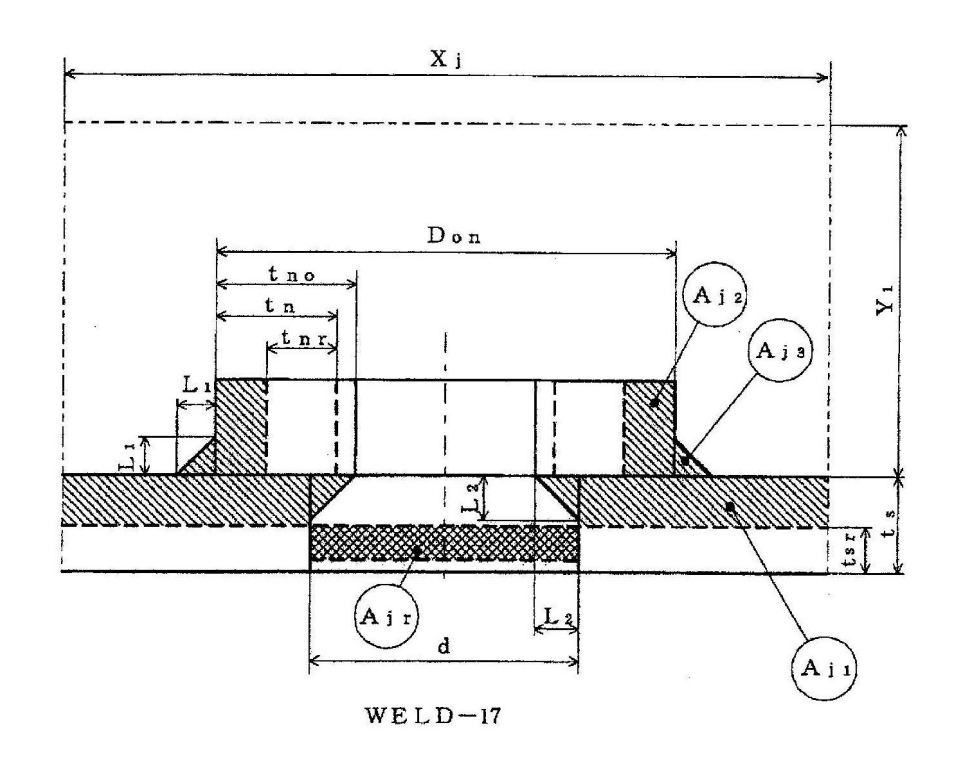


図2-32



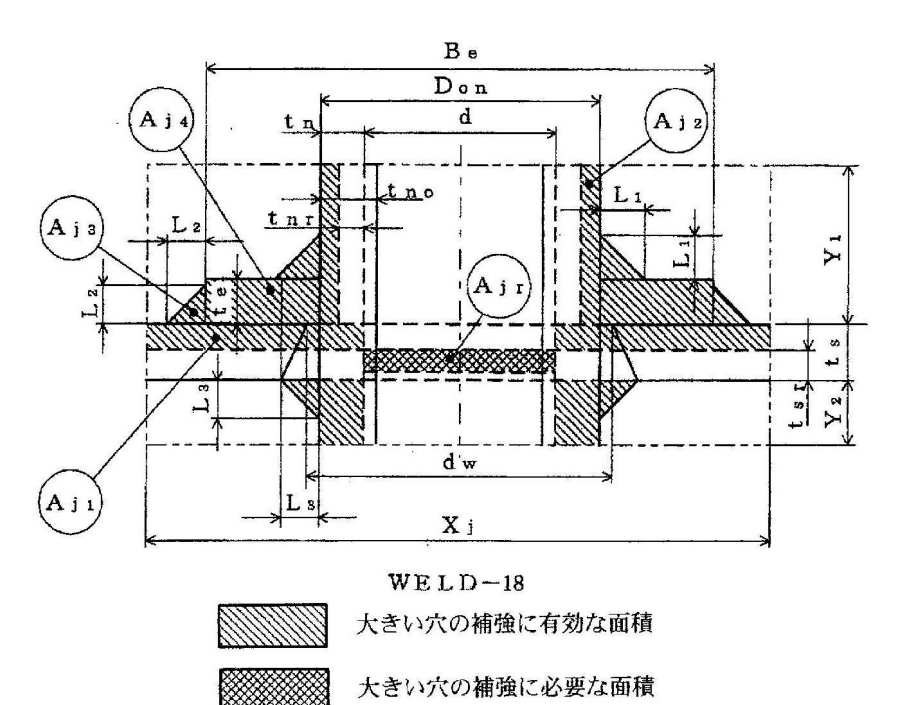
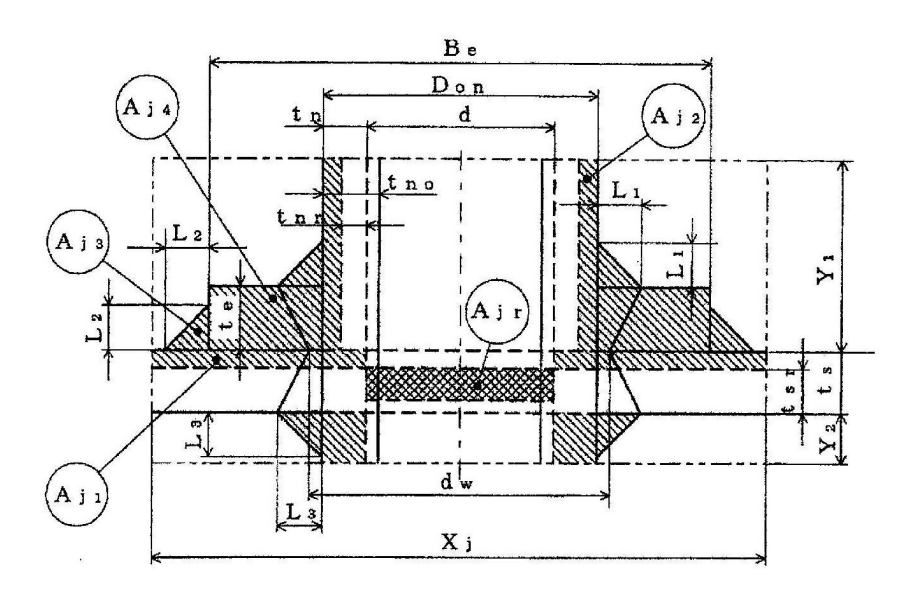
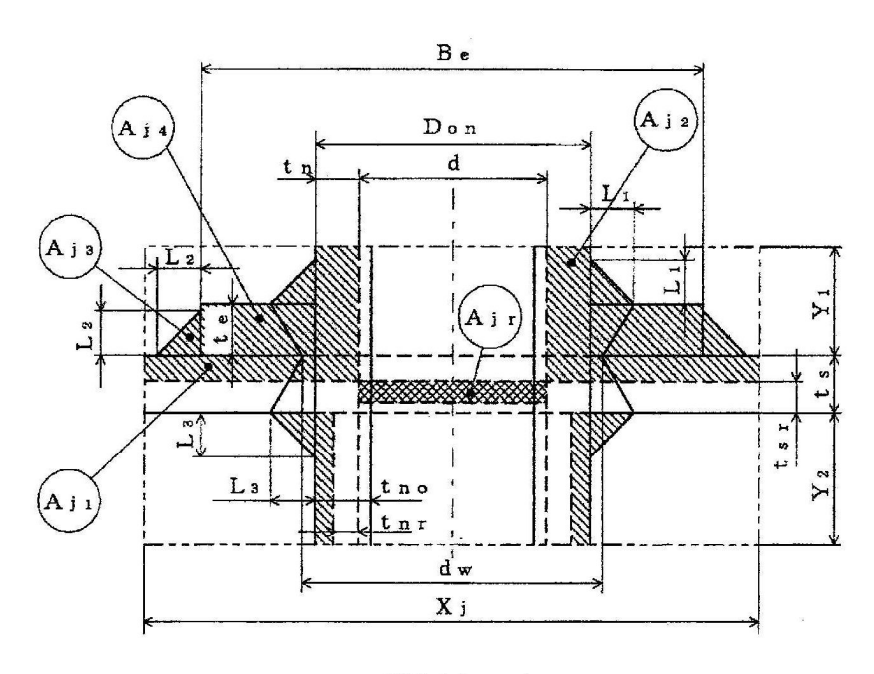


図2-33



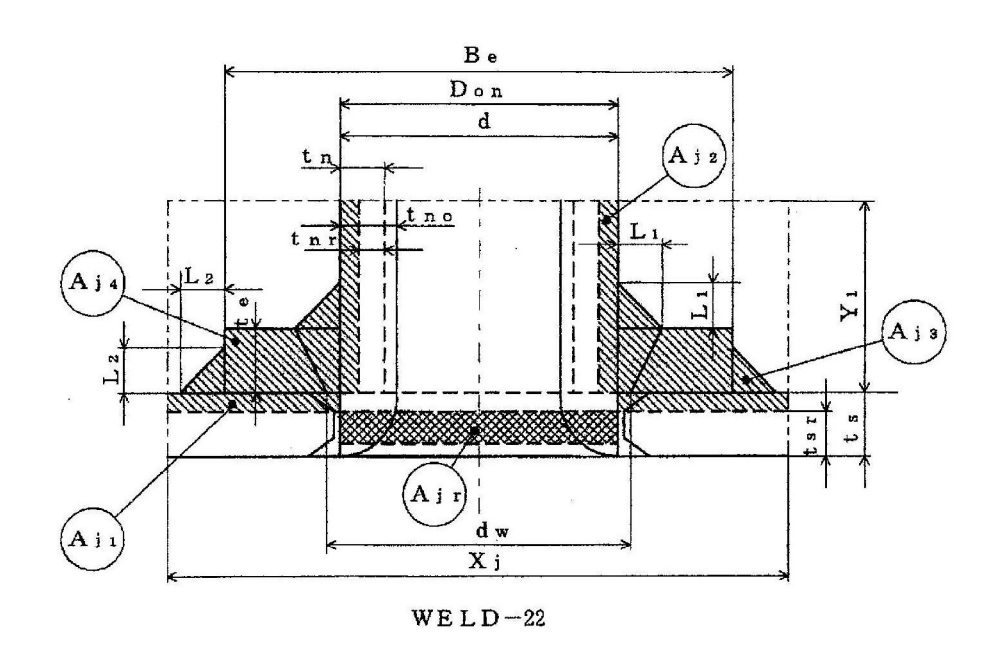
WE LD-19



WELD-19' 大きい穴の補強に有効な面積

大きい穴の補強に必要な面積

図2-34



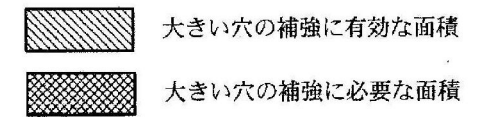
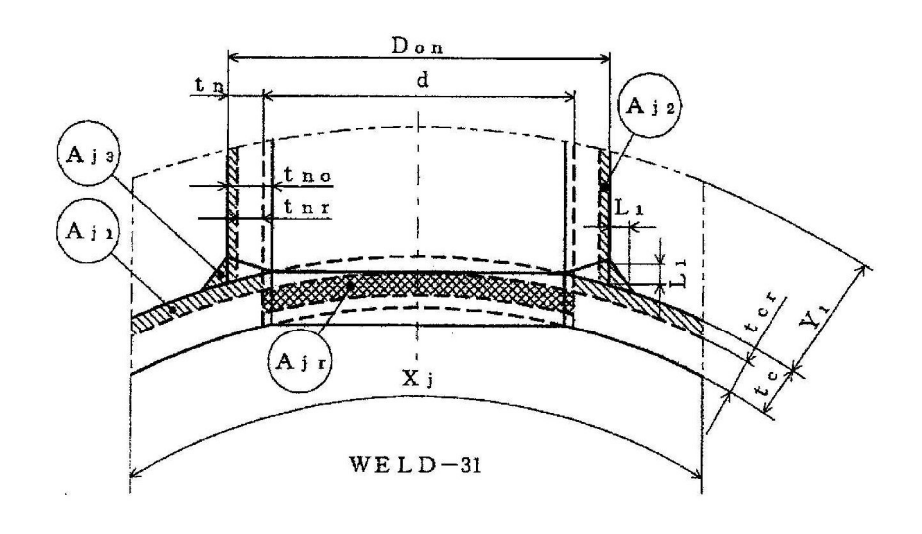


図2-35



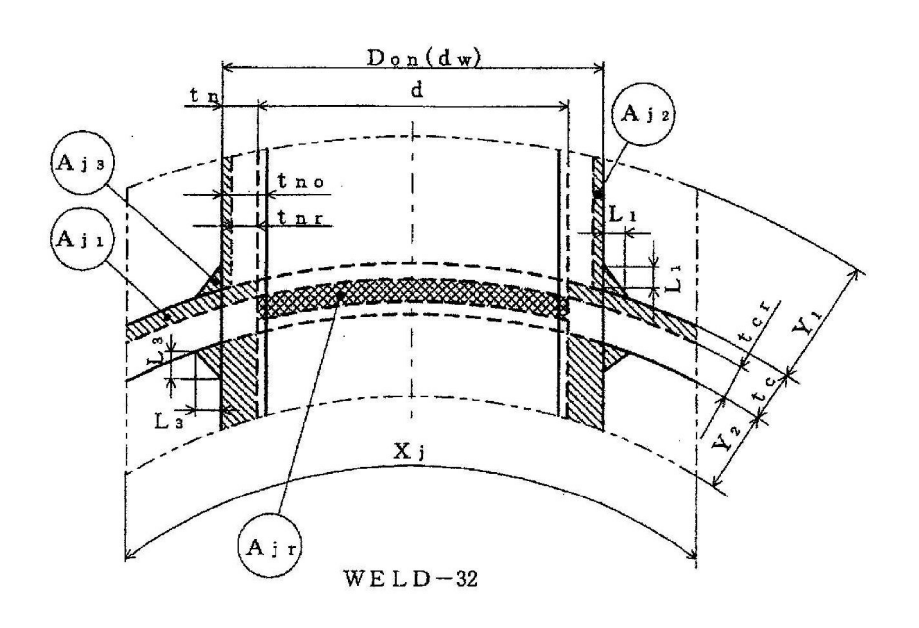
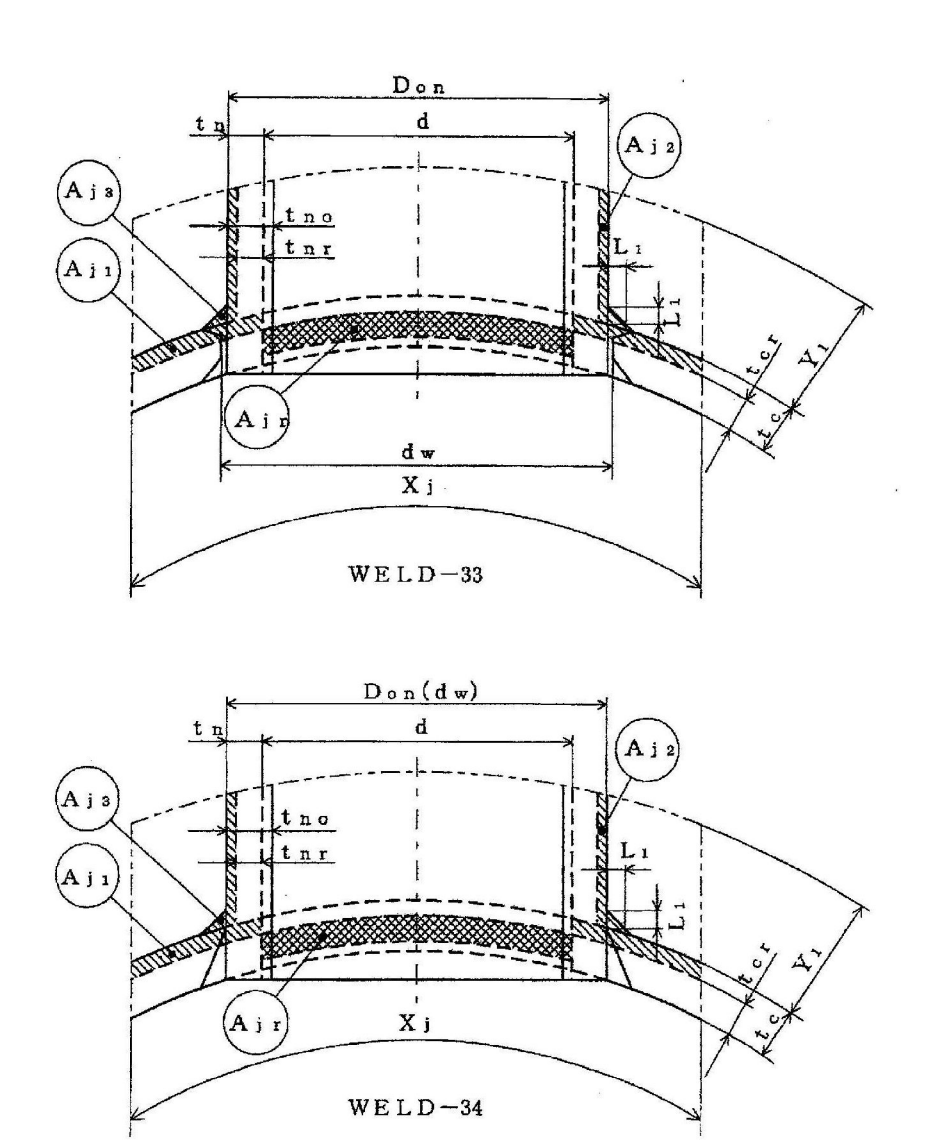


図2-36



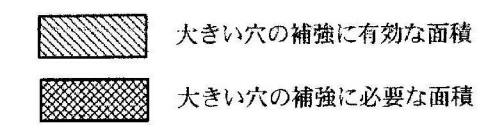
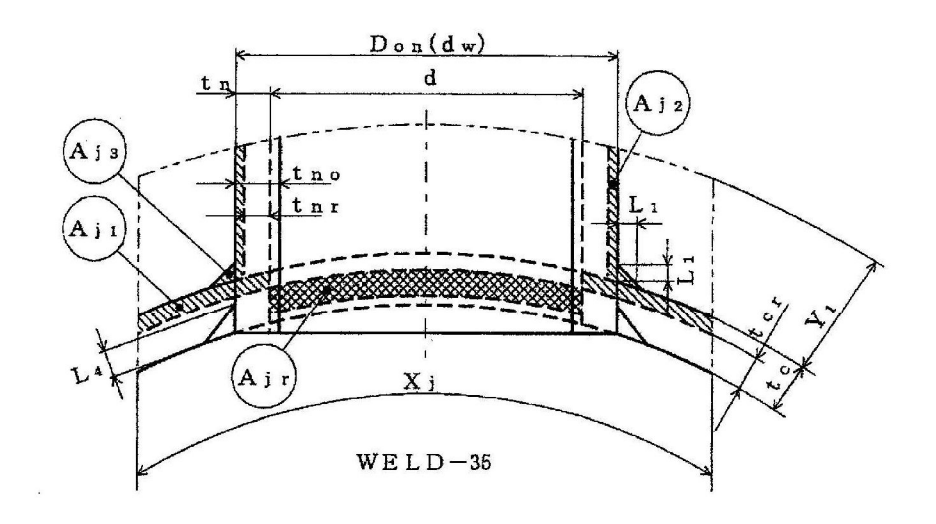


図2-37



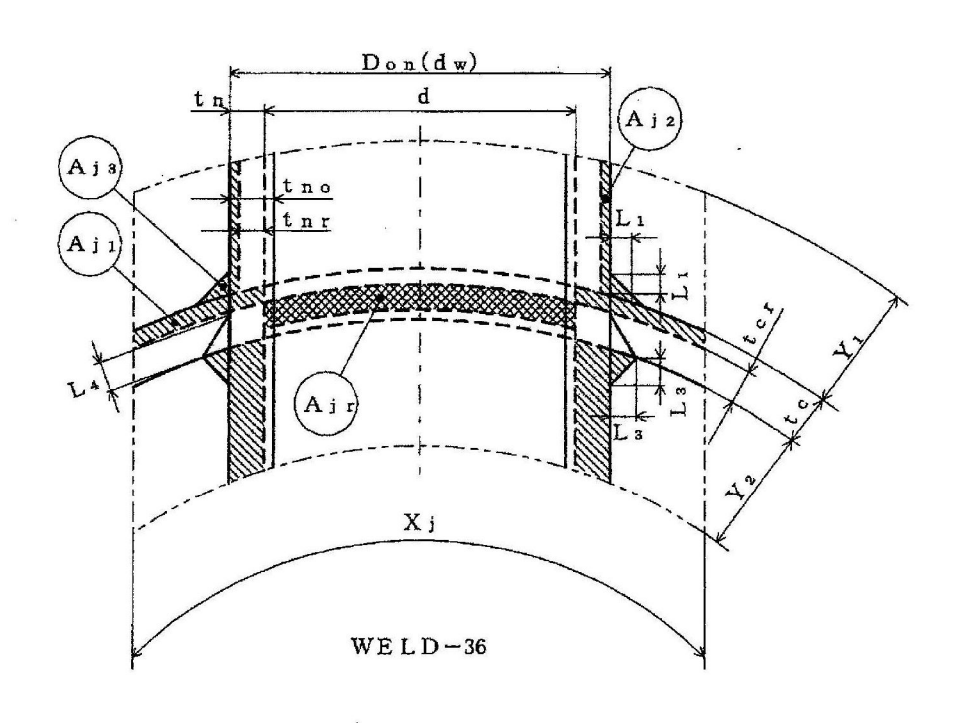
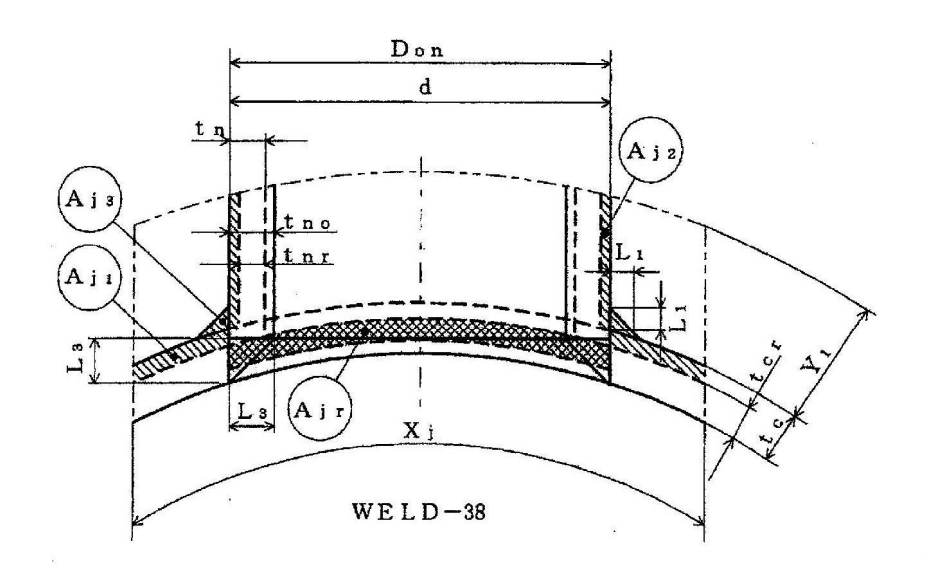
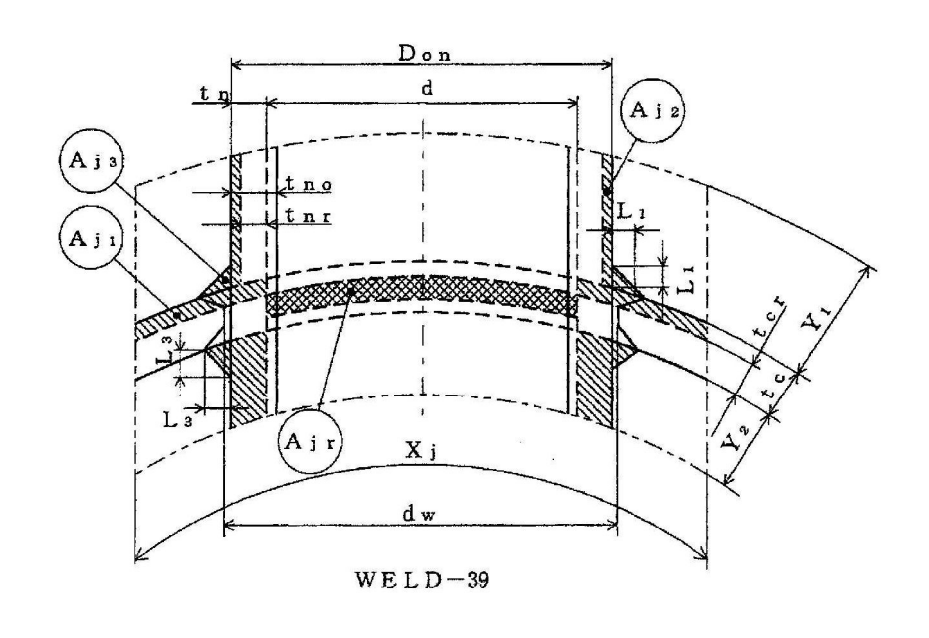


図2-38

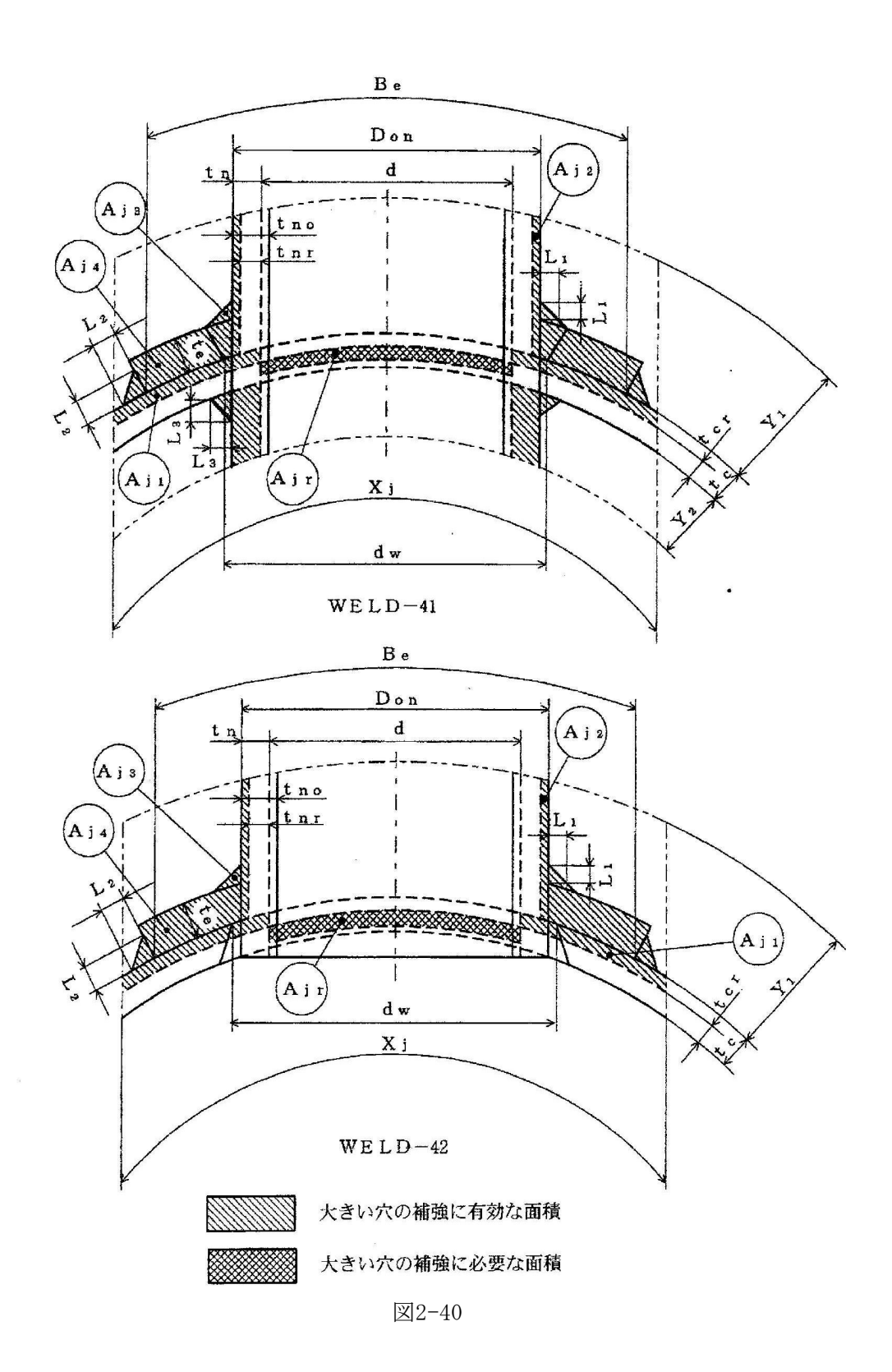




大きい穴の補強に有効な面積

大きい穴の補強に必要な面積

図2-39



120

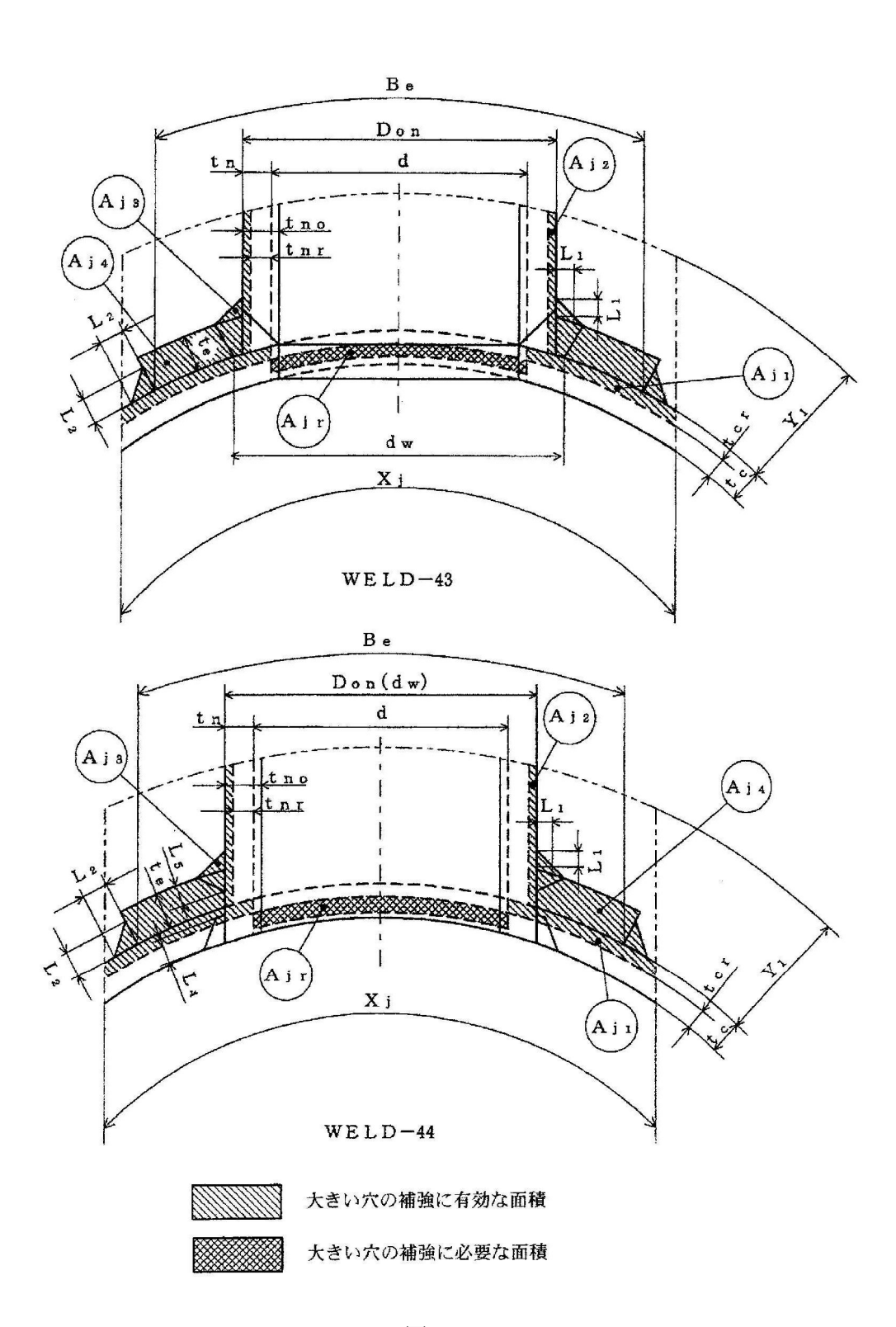


図2-41

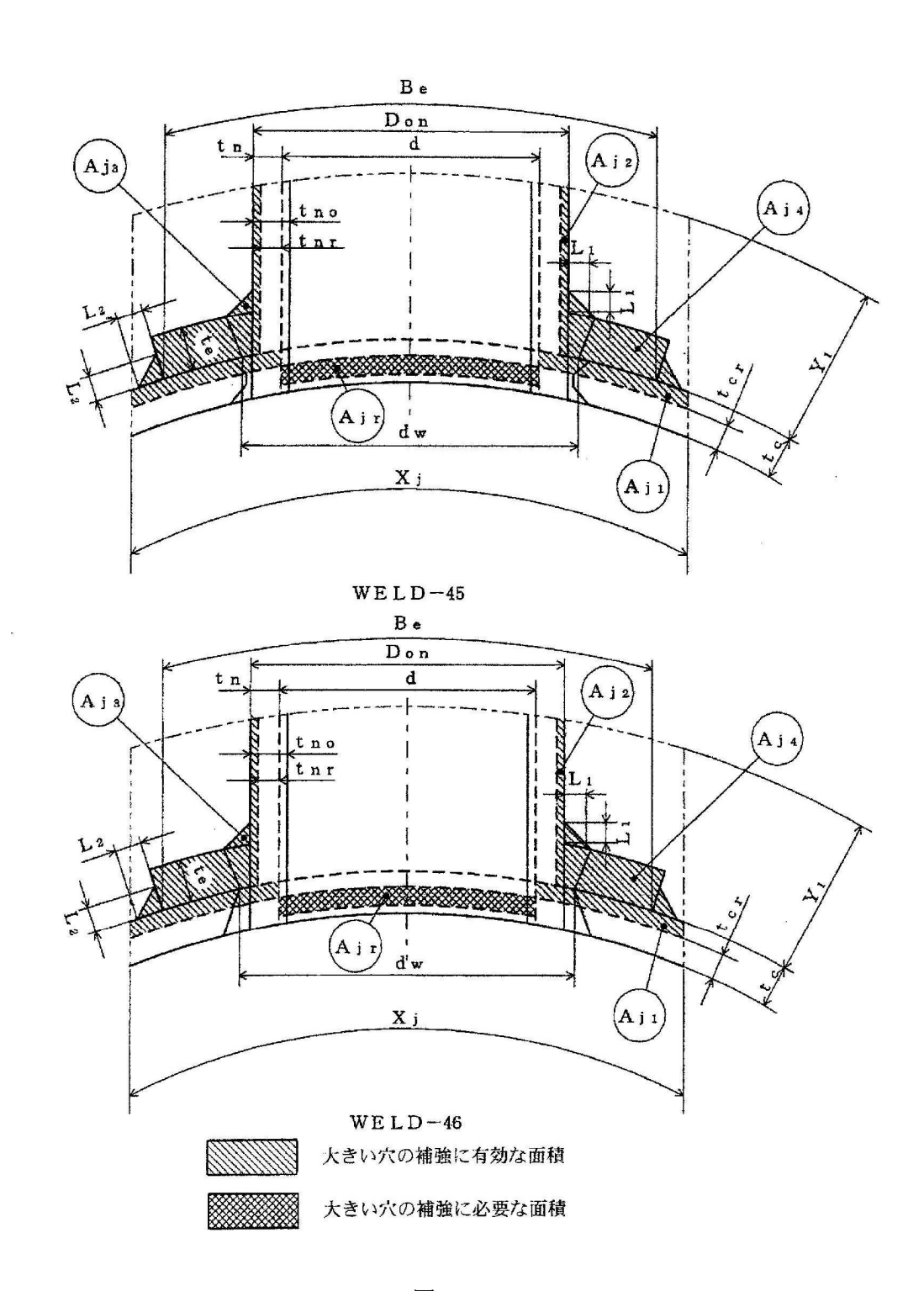


図2-42

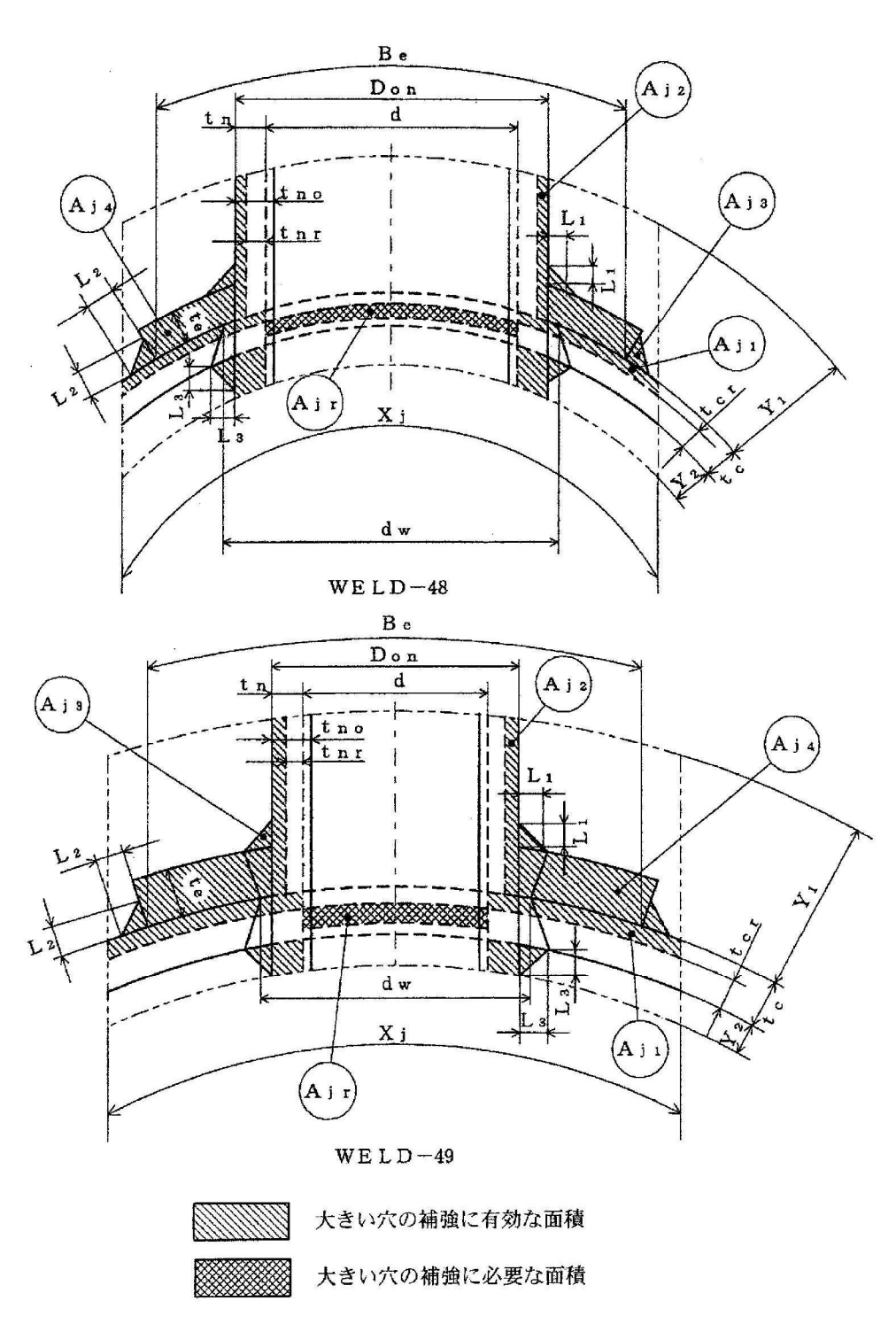
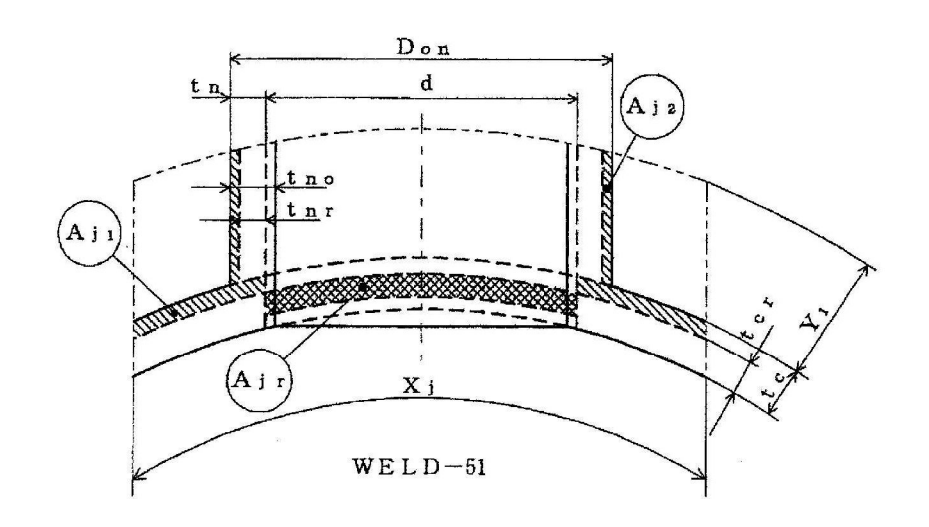


図2-43



大きい穴の補強に有効な面積

大きい穴の補強に必要な面積

図2-44

# 2.2.10 フランジの強度計算

重大事故等クラス 2 容器については設計・建設規格 PVC-3710を適用する。 計算は、  $\rm J~I~S~B~8~2~6~5\,e$ 適用する。

フランジ形式及び各部の記号は図2-45~図2-47による。

### (1) 記号の定義

	り止 <del>我</del> 			
JIS の記号	計算書の表示	表示内容		
A	A	フランジの外径		
A <sub>b</sub>	$A_{b}$	実際に使用するボルトの総有効断面積		
$A_{m}$	$A_{m}$	ボルトの総有効断面積		
$A_{m1}$	$A_{m1}$	使用状態でのボルトの総有効断面積		
$A_{m2}$	$A_{m2}$	ガスケット締付時のボルトの総有効断面積		
В	В	フランジの内径	mm	
b	b	ガスケット座の有効幅	mm	
b <sub>0</sub>	b <sub>o</sub>	ガスケット座の基本幅 (JIS B 8265 附 属書3 表3による。)	mm	
С	С	ボルト穴の中心円の直径	mm	
d d	d d	する任意形フランジの場合 $\frac{U}{V} \cdot \mathbf{h}_{0} \cdot \mathbf{g}_{0}^{2}$ 係数 $\begin{pmatrix} \cdot \mathcal{N} - \mathbf{z} & \mathbf{z} & \mathbf{z} \\ \cdot \mathcal{N} - \mathbf{z} & \mathbf{z} & \mathbf{z} \\ \cdot \mathcal{N} - \mathbf{z} & \mathbf{z} & \mathbf{z} \\ \mathbf{z} & \mathbf{z} & \mathbf{z} & \mathbf{z} & \mathbf{z} \\ \mathbf{z} & \mathbf{z} & \mathbf{z} & \mathbf{z} & \mathbf{z} \\ \mathbf{z} & \mathbf{z} & \mathbf{z} & \mathbf{z} & \mathbf{z} \\ \mathbf{z} & \mathbf{z} & \mathbf{z} & \mathbf{z} & \mathbf{z} \\ \mathbf{z} & \mathbf{z} & \mathbf{z} & \mathbf{z} & \mathbf{z} \\ \mathbf{z} & \mathbf{z} & \mathbf{z} & \mathbf{z} & \mathbf{z} \\ \mathbf{z} & \mathbf{z} & \mathbf{z} & \mathbf{z} & \mathbf{z} & \mathbf{z} \\ \mathbf{z} & \mathbf{z} & \mathbf{z} & \mathbf{z} & \mathbf{z} & \mathbf{z} \\ \mathbf{z} & \mathbf{z} & \mathbf{z} & \mathbf{z} & \mathbf{z} & \mathbf{z} \\ \mathbf{z} & \mathbf{z} & \mathbf{z} & \mathbf{z} & \mathbf{z} & \mathbf{z} \\ \mathbf{z} & \mathbf{z} & \mathbf{z} & \mathbf{z} & \mathbf{z} & \mathbf{z} \\ \mathbf{z} & \mathbf{z} & \mathbf{z} & \mathbf{z} & \mathbf{z} & \mathbf{z} \\ \mathbf{z} & \mathbf{z} & \mathbf{z} & \mathbf{z} & \mathbf{z} & \mathbf{z} \\ \mathbf{z} & \mathbf{z} & \mathbf{z} & \mathbf{z} & \mathbf{z} & \mathbf{z} \\ \mathbf{z} & \mathbf{z} & \mathbf{z} & \mathbf{z} & \mathbf{z} & \mathbf{z} \\ \mathbf{z} & \mathbf{z} & \mathbf{z} & \mathbf{z} & \mathbf{z} & \mathbf{z} \\ \mathbf{z} & \mathbf{z} & \mathbf{z} & \mathbf{z} & \mathbf{z} & \mathbf{z} \\ \mathbf{z} & \mathbf{z} & \mathbf{z} & \mathbf{z} & \mathbf{z} & \mathbf{z} \\ \mathbf{z} & \mathbf{z} & \mathbf{z} & \mathbf{z} & \mathbf{z} & \mathbf{z} \\ \mathbf{z} & \mathbf{z} & \mathbf{z} & \mathbf{z} & \mathbf{z} & \mathbf{z} \\ \mathbf{z} & \mathbf{z} & \mathbf{z} & \mathbf{z} & \mathbf{z} & \mathbf{z} & \mathbf{z} \\ \mathbf{z} & \mathbf{z} & \mathbf{z} & \mathbf{z} & \mathbf{z} & \mathbf{z} \\ \mathbf{z} & \mathbf{z} & \mathbf{z} & \mathbf{z} & \mathbf{z} & \mathbf{z} \\ \mathbf{z} & \mathbf{z} & \mathbf{z} & \mathbf{z} & \mathbf{z} & \mathbf{z} \\ \mathbf{z} & \mathbf{z} & \mathbf{z} & \mathbf{z} & \mathbf{z} & \mathbf{z} & \mathbf{z} \\ \mathbf{z} & \mathbf{z} & \mathbf{z} & \mathbf{z} & \mathbf{z} & \mathbf{z} & \mathbf{z} \\ \mathbf{z} & \mathbf{z} & \mathbf{z} & \mathbf{z} & \mathbf{z} & \mathbf{z} \\ \mathbf{z} & \mathbf{z} & \mathbf{z} & \mathbf{z} & \mathbf{z} & \mathbf{z} \\ \mathbf{z} & \mathbf{z} & \mathbf{z} & \mathbf{z} & \mathbf{z} & \mathbf{z} \\ \mathbf{z} & \mathbf{z} & \mathbf{z} & \mathbf{z} & \mathbf{z} & \mathbf{z} \\ \mathbf{z} & \mathbf{z} & \mathbf{z} & \mathbf{z} & \mathbf{z} & \mathbf{z} \\ \mathbf{z} & \mathbf{z} & \mathbf{z} & \mathbf{z} & \mathbf{z} & \mathbf{z} \\ \mathbf{z} & \mathbf{z} & \mathbf{z} & \mathbf{z} & \mathbf{z} & \mathbf{z} \\ \mathbf{z} & \mathbf{z} & \mathbf{z} & \mathbf{z} & \mathbf{z} & \mathbf{z} & \mathbf{z} \\ \mathbf{z} & \mathbf{z} & \mathbf{z} & \mathbf{z} & \mathbf{z} & \mathbf{z} & \mathbf{z} \\ \mathbf{z} & \mathbf{z} & \mathbf$	mm <sup>3</sup>	
		い方の径		
D <sub>g</sub>	D <sub>g</sub>	セルフシールガスケットの外径         ・一体形フランジ及び一体形フランジとして計算する任意形フランジの場合 <u>F</u> h <sub>0</sub> 係数	mm mm <sup>-1</sup>	
	G	・ルーズ形フランジ及びルーズ形フランジとして 計算する任意形フランジの場合 $\frac{F_L}{h_0}$		

JIS の記号	計算書の表示	表示内容	単位	
F	F	一体形フランジ及び一体形フランジとして計算する任意形フランジの係数 (JIS B 8265 附属書 3 図 5 又は附属書 3 表 4 による。)	_	
F <sub>L</sub>	$F_L$	ルーズ形フランジ及びルーズ形フランジとして計算 する任意形フランジの係数 (JIS B 8265 附属書3 図6又は附属書3 表4による。)	_	
f	f	ハブ応力修正係数 (JIS B 8265 附属書 3 図4又は附属書3 表4による。)	_	
	FLANGE-	フランジの形式 (JIS B 8265による。図 4-1~図4-3参照)	_	
G	G	ガスケット反力円の直径	mm	
	$G_s$	ガスケット接触面の外径	mm	
g <sub>0</sub>	g <sub>0</sub>	ハブ先端の厚さ	mm	
g i	g i	フランジ背面のハブの厚さ	mm	
Н	Н	内圧によってフランジに加わる全荷重		
h	h	ハブの長さ		
$H_{D}$	${ m H}_{ m D}$	圧力によってフランジの内径面に加わる荷重		
h <sub>D</sub>	${ m h}_{ m D}$	ボルト穴の中心円からH <sub>D</sub> 作用点までの半径方向の距離		
$H_{G}$	${ m H}_{ m G}$	ガスケット荷重		
h <sub>G</sub>	h <sub>G</sub>	ボルト穴の中心円からH <sub>G</sub> 作用点までの半径方向の距離	mm	
h <sub>o</sub>	h o	$\sqrt{\mathbf{B} \cdot \mathbf{g}}_{0}$	mm	
H <sub>P</sub>	$H_{_{ m P}}$	気密を十分に保つために,ガスケット又は継手接触 面に加える圧縮力	N	
$H_{\mathrm{T}}$	${ m H}_{ m T}$	圧力によってフランジに加わる全荷重とフランジの 内径面に加わる荷重との差	N	
h <sub>T</sub>	h <sub>T</sub>	ボルト穴の中心円からH <sub>T</sub> 作用点までの半径方向の 距離	mm	
K	K	フランジの内外径の比 (=A/B)	_	
L	L	係数 $\left( = \frac{\mathbf{t} \cdot \mathbf{e} + 1}{\mathbf{T}} + \frac{\mathbf{t}}{\mathbf{d}} \right)$	_	
m	m	ガスケット係数 (JIS B 8265 附属書3 表 2 による。)	_	
$ m M_{ m D}$	${ m M}_{ m D}$	内圧によってフランジの内径面に加わる荷重による モーメント	N•mm	
$M_{G}$	$\mathrm{M_{_G}}$	ガスケット荷重によるモーメント	N•mm	
$M_{g}$	$M_{g}$	ガスケット締付時にフランジに作用するモーメント		
$M_{0}$	$M_{0}$	使用状態でフランジに作用するモーメント	N•mm	

JIS の記号	計算書の表示	表示内容			
$\mathrm{M}_{\mathrm{T}}$	$ m M_{ m T}$	内圧によってフランジに加わる全荷重とフランジの			
N	N	内径面に加わる荷重との差によるモーメント ガスケットの接触面の幅(JIS B 8265 附属書3 表3による。)			
n	n	ボルトの本数			
R	R	ボルトの中心円からハブとフランジ背面との交点ま での半径方向の距離			
Т	Т	K = A/Bの値によって定まる係数(JIS B         8265 附属書3 図7又は図中の算式による。)			
t	t	フランジの厚さ	mm		
U	U	K=A/Bの値によって定まる係数(JIS B	_		
V	V	8265 附属書3 図7又は図中の算式による。) 一体形フランジ及び一体形フランジとして計算する 任意形フランジの係数(JIS B 8265 附 属書3 図8又は附属書3 表4による。)	_		
$V_L$	V <sub>L</sub>	<ul><li>「</li></ul>	_		
$W_{g}$	Wg	ガスケット締付時のボルト荷重			
W <sub>m1</sub>	W <sub>m1</sub>	使用状態での必要な最小ボルト荷重			
$W_{m2}$	$W_{m2}$	ガスケット締付時に必要な最小ボルト荷重			
$W_{0}$	$W_0$	使用状態でのボルト荷重			
Y	Y	K = A/Bの値によって定まる係数(JIS B         8265 附属書3 図7又は図中の算式による。)	_		
У	У	### 1 1 1 1 1 1 1 1 1 1 1 1 1 1 1 1 1 1			
Z	Z	K=A/Bの値によって定まる係数(JIS B 8 2 6 5 附属書3 図7又は図中の算式による。)	_		
π	$\pi$	円周率			
σa	σ <sub>a</sub>	常温におけるボルト材料の許容引張応力   (設計・建設規格 付録材料図表 Part5 表7によ   る。)	MPa		
σ <sub>b</sub>	σ <sub>b</sub>	最高使用温度におけるボルト材料の許容引張応力 (設計・建設規格 付録材料図表 Part5 表7による。)	MPa		
σ <sub>f</sub>	σ <sub>f a</sub>	(設計・建設規格 付録材料図表 Part5 表 5 又は 表 6 による。	MPa		
σ <sub>f</sub>	σf	最高使用温度におけるフランジ材料の許容引張応力 (設計・建設規格 付録材料図表 Part5 表 5 又は	MPa		
σ <sub>n</sub>	σ <sub>na</sub>	表 6 による。) 管台又は胴の材料の常温における許容引張応力(設計・建設規格 付録材料図表 Part5 表 5 又は表 6 による。)			

JIS の記号	計算書の表示	表示内容		
σn	σ <sub>n</sub>	管台又は胴の材料の最高使用温度における許容引張 応力(設計・建設規格 付録材料図表 Part5 表 5 又は表 6 による。)	MPa	
σ <sub>H</sub>	$\sigma_{\mathrm{H}}$	ハブの軸方向応力	MPa*	
$\sigma_{R}$	$\sigma_{ m R}$	フランジの径方向応力	MPa*	
σ <sub>T</sub>	σ <sub>T</sub>	フランジの周方向応力ガスケット締付時にフランジ に作用するモーメント	MPa*	
	ガスケット 座面の形状	ガスケット座面の形状 (JIS B 8265 附 属書3 表3による。)	_	

注記 \*: JIS B 8265は「N/mm<sup>2</sup>」を使用しているが、設計・建設規格に合わせ「MPa」に読み替えるものとする。

#### (2) 算式

a. フランジの内圧計算

任意形フランジは、一体形フランジとして計算する。

ただし、下記条件をすべて満足する場合には、ハブなしルーズ形フランジとして計算する。

- g  $_0 \leq 16$ mm
- B/g<sub>0</sub> ≦300
- P ≤2MPa
- ・最高使用温度≦370℃
- (a) ガスケット座の有効幅及びガスケット反力円の直径

ガスケット座の有効幅b及びガスケット反力円の直径Gは、ガスケット座の基本幅b。に従い以下のように求める。

ここで、b<sub>0</sub>はJIS B 8265 附属書3 表3による。

・ b <sub>0</sub> ≦6.35mmの場合

$$b = b_0$$

$$G = G_s - N$$

・ b<sub>0</sub>>6.35mmの場合

$$b = 2.52 \cdot \sqrt{b_0}$$

$$G = G_s - 2 \cdot b$$

- (b) 計算上必要なボルト荷重
  - イ. 使用状態で必要なボルト荷重

$$W_{m1} = H + H_{p}$$

$$H = \frac{\pi}{4} \cdot G^{2} \cdot P$$

$$\frac{11-\frac{1}{4}}{4}$$

$$H_P = 2 \cdot \pi \cdot b \cdot G \cdot m \cdot P$$

ロ. ガスケット締付時に必要なボルト荷重

$$W_{m2} = \pi \cdot b \cdot G \cdot y$$

熱交換器の管板を挟む一対のフランジのように、フランジ又はガスケットが同一でない場合は、 $W_{m1}$ 及び $W_{m2}$ の値は、それぞれのフランジ又はガスケットについて計算した値のうちの大きい方とし、その値を両方のフランジの計算に用いる。

また, セルフシールガスケットを用いる場合は,

$$W_{m1}(=H) = \frac{\pi}{4} \cdot D_g^2 \cdot P$$

$$W_{m2} = 0$$

とする。

ハ. ボルトの総有効断面積及び実際に使用するボルトの総有効断面積

$$A_{m1} = W_{m1} / \sigma_b$$
 (使用状態)

$$A_{m2} = W_{m2} / \sigma_a$$
 (ガスケット締付時)

$$A_{m} = Max(A_{m1}, A_{m2})$$

$$A_{b} = \frac{\pi}{4} \cdot d_{b}^{2} \cdot n$$

ニ. フランジの計算に用いるボルト荷重

$$W_g = (A_m + A_b) \cdot \sigma_a / 2$$
 (ガスケット締付時)

ホ. 使用状態でフランジに加わる荷重

$$H_{D} = \frac{\pi}{4} \cdot B^{2} \cdot P$$

$$H_{G} = W_{0} - H$$

$$H_{T} = H - H_{D}$$

# へ. 使用状態でのフランジ荷重にに対するモーメントアーム

フランジの形式	$h_{_{ m D}}$	h <sub>G</sub>	h r
一体形フランジ及び一 体型フランジとして計 算する任意形フランジ	R +0.5 · g <sub>1</sub>	$\frac{C-G}{2}$	$\frac{R+g_1+h_g}{2}$
差込み形フランジ及び ルーズ形フランジとし て計算する任意形フラ ンジ	$\frac{C-B}{2}$	$\frac{C-G}{2}$	$\frac{h_D + h_G}{2}$
ラップジョイント形 フランジ	$\frac{C-B}{2}$	$\frac{C-G}{2}$	$\frac{C-G}{2}$

ただし,

$$R = \left(\frac{C - B}{2}\right) - g_1$$

また、セルフシールガスケットを用いる場合は、Gは $D_g$ と読み替える。 (h項においても同じ。)

ト. 使用状態でフランジに作用するモーメント

$$\begin{aligned} \mathbf{M}_{\mathrm{D}} &= \mathbf{H}_{\mathrm{D}} \cdot \mathbf{h}_{\mathrm{D}} \\ \mathbf{M}_{\mathrm{G}} &= \mathbf{H}_{\mathrm{G}} \cdot \mathbf{h}_{\mathrm{G}} \\ \mathbf{M}_{\mathrm{T}} &= \mathbf{H}_{\mathrm{T}} \cdot \mathbf{h}_{\mathrm{T}} \\ \mathbf{M}_{\mathrm{0}} &= \mathbf{M}_{\mathrm{D}} + \mathbf{M}_{\mathrm{G}} + \mathbf{M}_{\mathrm{T}} \end{aligned}$$

チ. ガスケット締付時にフランジに作用するモーメント

$$M_{g} = W_{g} \cdot \left(\frac{C - G}{2}\right)$$

- リ. 一体形フランジ, 一体形フランジとして計算する任意形フランジ及びルーズ 形フランジでハブを考慮して計算するものの応力
- (イ) 使用状態でのフランジ応力

$$\begin{split} & \sigma_{\mathrm{H}} = \frac{\mathbf{f} \cdot \mathbf{M}_{0}}{\mathbf{L} \cdot \mathbf{g}_{1}^{2} \cdot \mathbf{B}} \\ & \sigma_{\mathrm{R}} = \frac{\left(1.33 \cdot \mathbf{t} \cdot \mathbf{e} + 1\right) \cdot \mathbf{M}_{0}}{\mathbf{L} \cdot \mathbf{t}^{2} \cdot \mathbf{B}} \\ & \sigma_{\mathrm{T}} = \frac{\mathbf{Y} \cdot \mathbf{M}_{0}}{\mathbf{t}^{2} \cdot \mathbf{B}} - \mathbf{Z} \cdot \sigma_{\mathrm{R}} \end{split}$$

(ロ) ガスケット締付時のフランジの応力

$$\sigma_{H} = \frac{f \cdot M_{g}}{L \cdot g_{1}^{2} \cdot B}$$

$$\sigma_{R} = \frac{(1.33 \cdot t \cdot e + 1) \cdot M_{g}}{L \cdot t^{2} \cdot B}$$

$$\sigma_{T} = \frac{Y \cdot M_{g}}{t^{2} \cdot B} - Z \cdot \sigma_{R}$$

ここで,

$$L = \frac{t \cdot e + 1}{T} + \frac{t^3}{d}$$

$$h_0 = \sqrt{B \cdot g_0}$$

(一体形フランジ及び一体形フランジとして計算する任意形のフランジの場合)

$$d = \frac{U}{V} \cdot h_0 \cdot g_0^2$$

(ルーズ形フランジ及びルーズ形フランジとして計算する任意形フランジの場合)

$$d = \frac{U}{V_{I}} \cdot h_{0} \cdot g_{0}^{2}$$

(一体形フランジ及び一体形フランジとして計算する任意フランジの場合)

$$e = \frac{F}{h_0}$$

(ルーズ形フランジ及びルーズ形フランジとして計算する任意形フランジの場合)

$$e = \frac{F_L}{h_0}$$

- ヌ. ルーズ形フランジでハブがないもの、ハブを無視して計算するもの及びハブ なしルーズ形フランジとして計算する任意形フランジの応力
  - (イ) 使用状態でのフランジの応力

$$\sigma_{H} = 0$$

$$\sigma_{R} = 0$$

$$\sigma_{T} = \frac{Y \cdot M_{0}}{t \cdot B}$$

(ロ) ガスケット締付時のフランジの応力

$$\sigma_{H} = 0$$

$$\sigma_{R} = 0$$

$$\sigma_{T} = \frac{Y \cdot M_{g}}{t^{2} \cdot B}$$

ル. 評価

内圧を受けるフランジは、下記の条件を満足すれば十分である。

- (イ) 一体形フランジ, 一体形フランジとして計算する任意形フランジ及びルー ズ形フランジでハブを考慮するもの
  - ①ボルトの総有効断面積 $A_b > A_m$

## ②ハブの軸方向応力

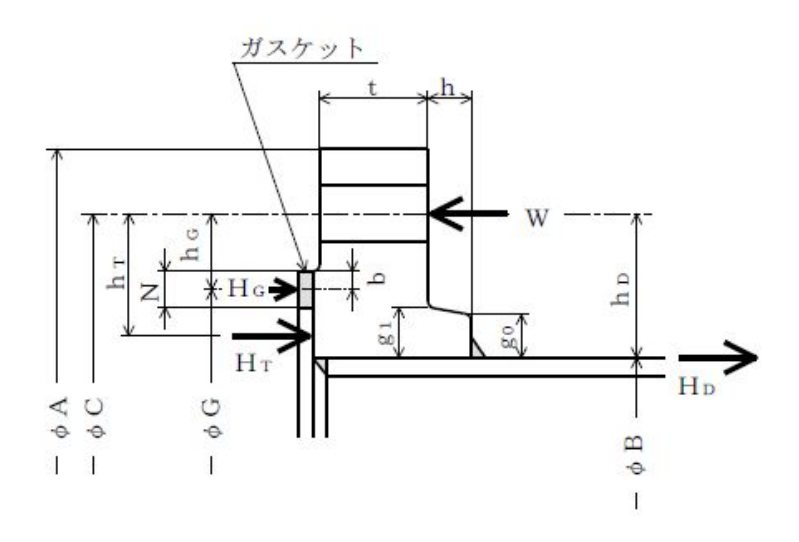
- ・一体形フランジとして計算するものの場合 使用状態にあっては  $\sigma_{H} \leq Min \left(1.5 \cdot \sigma_{f}, \ 1.5 \cdot \sigma_{n} \right)$  ガスケット締付時にあっては  $\sigma_{H} \leq Min \left(1.5 \cdot \sigma_{fa}, \ 1.5 \cdot \sigma_{na} \right)$
- ・図2-45 FLANGE-2に示すハブ付き一体形フランジの場合 使用状態にあっては  $\sigma_{\rm H} \leq {\rm Min} \left(1.5 \cdot \sigma_{\rm f}, \ 2.5 \cdot \sigma_{\rm n} \right)$  ガスケット締付時にあっては  $\sigma_{\rm H} \leq {\rm Min} \left(1.5 \cdot \sigma_{\rm fa}, \ 2.5 \cdot \sigma_{\rm na} \right)$
- ・上記以外で鋳鉄以外の材料の場合 使用状態にあっては  $\sigma_{\rm H} {\le} 1.5 \cdot \sigma_{\rm f}$  ガスケット締付時にあっては  $\sigma_{\rm H} {\le} 1.5 \cdot \sigma_{\rm fa}$
- ③フランジの径方向応力 使用状態にあっては  $\sigma_R \le \sigma_f$  ガスケット締付時にあっては  $\sigma_R \le \sigma_{fa}$
- ④フランジの周方向応力 使用状態にあっては  $\sigma_T \le \sigma_f$  ガスケット締付時にあっては  $\sigma_T \le \sigma_f$  。
- ⑤軸方向と径方向応力の平均

使用状態にあっては 
$$\frac{\sigma_{\rm H}^{+}\sigma_{\rm R}}{2} \le \sigma_{\rm f}$$
 ガスケット締付時にあっては  $\frac{\sigma_{\rm H}^{+}\sigma_{\rm R}}{2} \le \sigma_{\rm fa}$ 

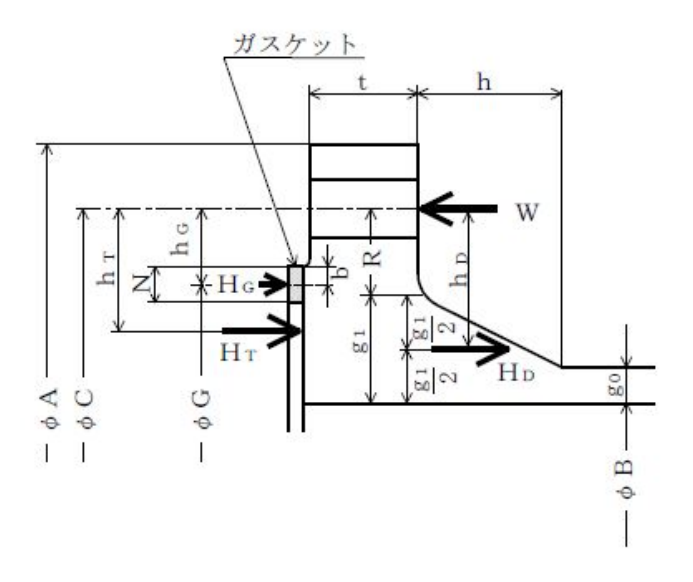
⑥軸方向と周方向応力の平均

使用状態にあっては 
$$\frac{\sigma_{\rm H} + \sigma_{\rm T}}{2} \le \sigma_{\rm f}$$
 ガスケット締付時にあっては  $\frac{\sigma_{\rm H} + \sigma_{\rm T}}{2} \le \sigma_{\rm fa}$ 

- (イ) ルーズ形フランジでハブがないもの、ハブを無視して計算するもの及びハ ブなしルーズ形フランジとして計算する任意形フランジ
  - ①ボルトの総有効断面積  $A_b > A_m$
  - ②フランジの周方向応力 使用状態にあっては  $\sigma_{\rm T} {\le \sigma_{\rm f}}$  ガスケット締付時にあっては  $\sigma_{\rm T} {\le \sigma_{\rm fa}}$



FLANGE-1 (JIS B 8265 附属書3 図23), 4), 5)) [ルーズ形フランジ (差込み形フランジ)]

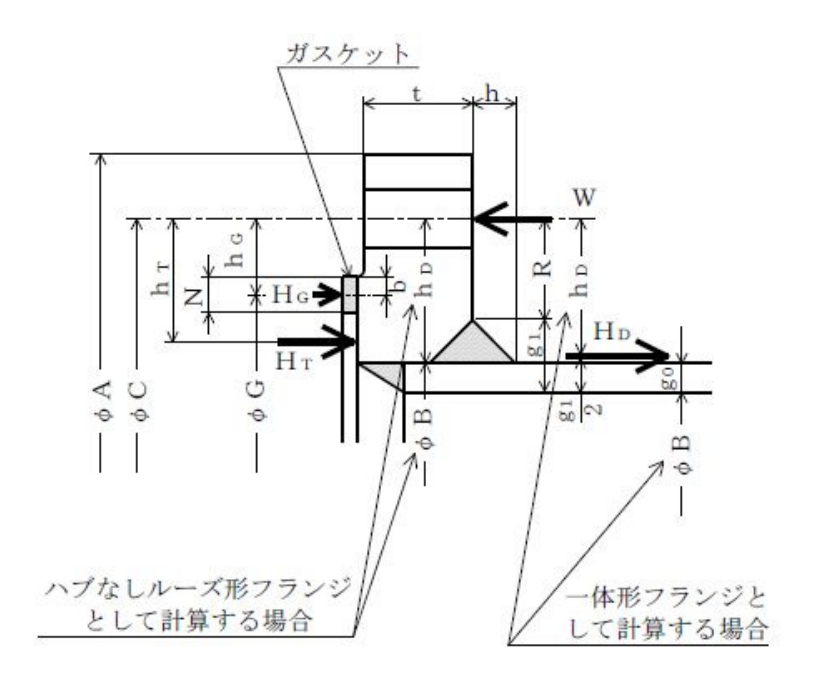


FLANGE-2 (JIS B 8265 附属書3 図27), 8), 9)) [一体形フランジ]

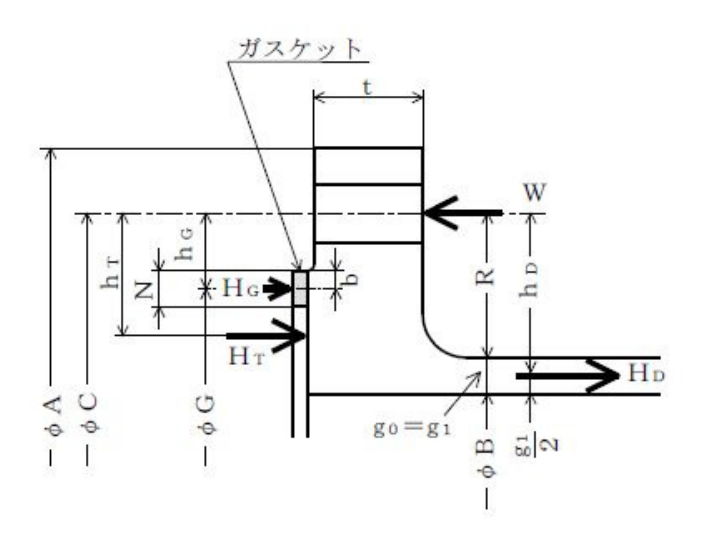
注1:ここに示すフランジ形状は基本形式とする。

注2:Wは、Wg、Wm1、Wm2及びWoのボルト荷重を表す。

図2-45



FLANGE-3 (JIS B 8265 附属書3 図211), 12), 13), 14), 15)) [任意形フランジ]

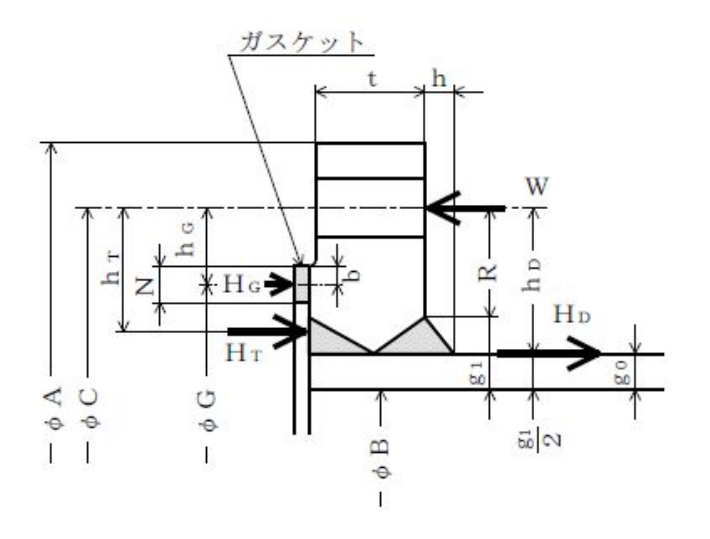


FLANGE-4 (JIS B 8265 附属書3 図26)) [一体形フランジ]

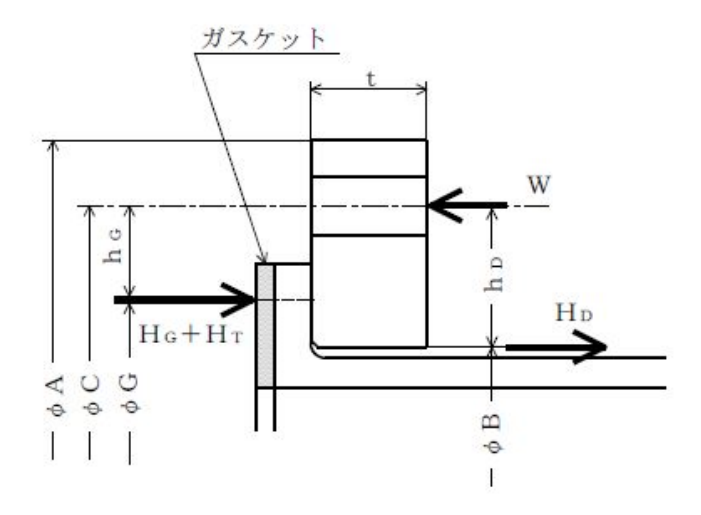
注1:ここに示すフランジ形状は基本形式とする。

注2:Wは、Wg、Wm1、Wm2及びWoのボルト荷重を表す。

図2-46



FLANGE-5 (JIS B 8265 附属書3 図2 10)) [一体形フランジ]



FLANGE-6 (JIS B 8265 附属書3 図2 1)) [ルーズ形フランジ (ラップジョイント形フランジ)]

注1:ここに示すフランジ形状は基本形式とする。

注2:Wは、Wg、Wm1、Wm2及びWoのボルト荷重を表す。

図2-47

#### 2.3 既工認における評価結果の確認による強度評価方法

クラス2容器を重大事故等クラス2容器として兼用する容器の強度評価について、以下の確認内容のとおり、クラス2容器の既に認可された工事計画(以下「既工認」という。)の添付書類における評価結果を用いることにより、重大事故等クラス2容器の評価ができることから、クラス2容器の既工認の確認による評価を実施する。

#### 2.3.1 確認内容

- (1) 技術基準規則第17条において、クラス2容器の材料、構造及び強度の要求は、重大事故等クラス2容器に要求される適切な機械的強度及び化学的成分、延性破断防止等の要求と同じである。
- (2) 重大事故等時の使用圧力及び使用温度は設計基準の最高使用圧力及び最高使用温度に包絡されている。

### 2.3.2 強度評価方法

クラス2容器の既工認における評価結果にてクラス2容器としての強度が十分であることを確認することにより、重大事故等クラス2容器として要求される強度が十分であることを確認する。

3. 重大事故等クラス2容器であってクラス1容器の強度計算方法

重大事故等クラス 2 容器であってクラス 1 容器については、添付書類「V-2-3-4-1-1 原子炉圧力容器の応力解析の方針」に記載する強度計算方法にて評価を実施する。

4. 重大事故等クラス2容器であって原子炉格納容器の強度計算方法

重大事故等クラス2容器であって原子炉格納容器の強度計算方法については、添付書類「V-3-1-6 重大事故等クラス2機器及び重大事故等クラス2支持構造物の強度計算の基本方針」の記載内容に基づき、設計・建設規格による評価を実施する。

対象となる添付書類を以下に示す。これら添付書類については、評価の対象となる機器の形状、設計条件により計算方法が異なることから、計算方法については各計算書に個別に示すこととする。

- V-3-9-1-1-1 ドライウェル本体及びサプレッション・チェンバ本体の基本板厚計算書
- V-3-9-1-1-2 ドライウェルトップヘッドの強度計算書
- V-3-9-1-1-3 ドライウェルフランジ部の強度計算書
- V-3-9-1-1-4 ドライウェル本体及びサプレッション・チェンバ本体の強度計算書
- V-3-9-1-1-5 原子炉格納容器胴アンカー部強度計算書
- V-3-9-1-1-6 サプレッション・チェンバ底部ライナ部強度計算書
- V-3-9-1-1-7 原子炉格納容器底部コンクリートマット強度計算書
- V-3-9-1-2-1 機器搬入用ハッチの基本板厚計算書
- V-3-9-1-2-2 機器搬入用ハッチの強度計算書
- V-3-9-1-3-1 所員用エアロックの基本板厚計算書
- V-3-9-1-3-2 所員用エアロックの強度計算書
- V-3-9-1-3-3 サプレッション・チェンバアクセスハッチの基本板厚計算書
- V-3-9-1-3-4 サプレッション・チェンバアクセスハッチの強度計算書
- V-3-9-1-4-1 原子炉格納容器貫通部の強度計算書
- V-3-9-1-4-2 原子炉格納容器貫通部ベローズの強度計算書
- V-3-9-1-4-3 電気配線貫通部の強度計算書
- V-3-9-2-1 ベント管の強度計算書
- V-3-9-2-2-1-1 格納容器スプレイヘッダの基本板厚計算書
- V-3-9-2-2-1-2 格納容器スプレイヘッダの応力計算書

別紙 容器の強度計算書のフォーマット

### まえがき

本計算書は、添付書類「V-3-1-6 重大事故等クラス 2 機器及び重大事故等クラス 2 支持構造物の強度計算の基本方針」及び「V-3-2-9 重大事故等クラス 2 容器の強度計算方法」に基づいて計算を行う。

評価条件整理結果を以下に示す。なお、評価条件の整理に当たって使用する記号及び略語については、添付書類「V-3-2-1 強度計算方法の概要」に定義したものを使用する。

## • 評価条件整理表

	HIĽ∋A	施設時の 技術基準	クラスアップす		クラスアップするか			条件アップするか			既工認に			日本州		
機器名	既設 or	に対象と する施設	クラス	施設時	DB	SA	条件	DB∮	条件	SA≸	条件	おける 評価結果	施設時の 適用規格	評価区分	同等性 評価	評価 クラス
	新設	の規定が あるか	の規定が グック 機器	カラフ カラ	カラス アップ	アップ の有無	圧力 (MPa)	温度 (℃)	圧力 (MPa)	温度 (℃)	の有無	通用机桁		区分	,,,	

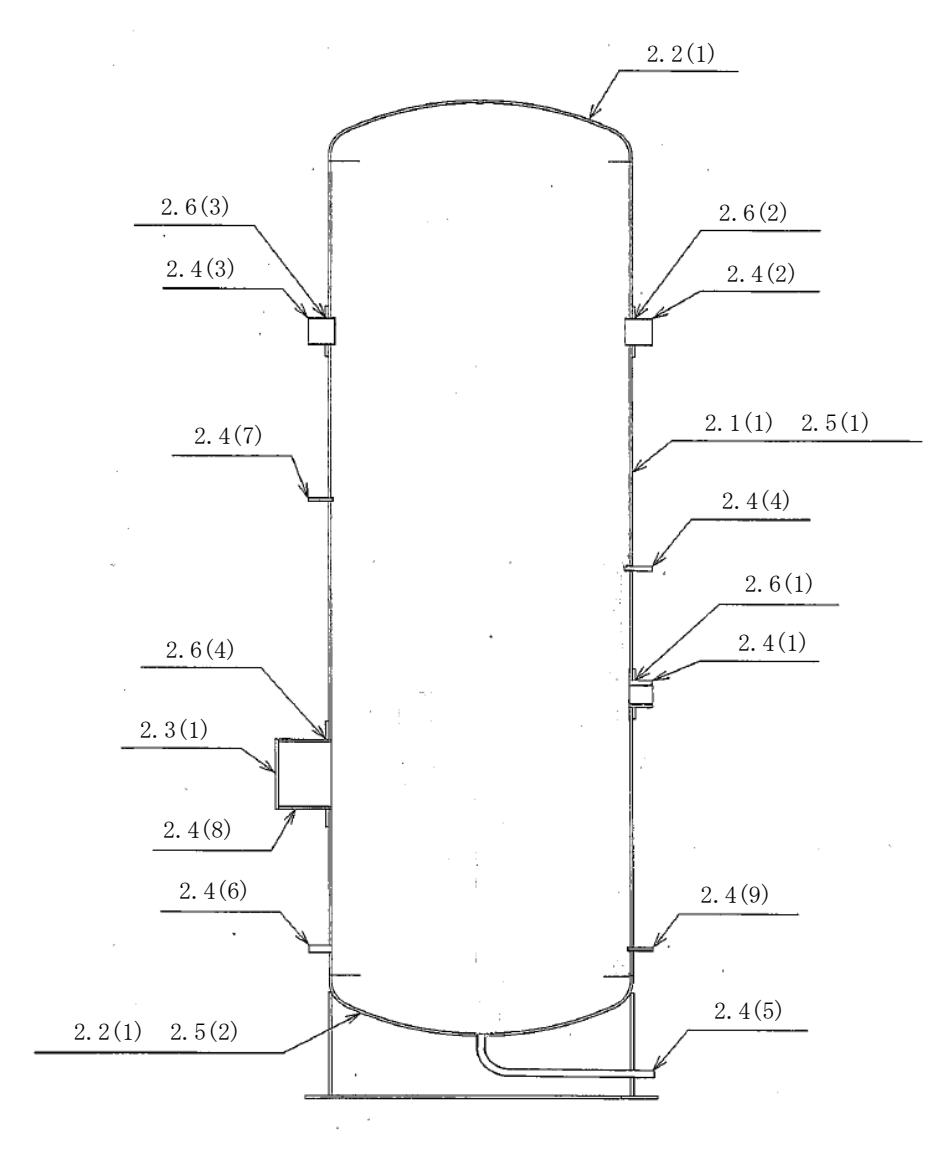
## 目次

1.	設計条件
2. j	<b>適用規格・・・・・・・・・・・・・・・・・・・・・・・・・・・・・・・・・・・・</b>
3.	油度計算・・・・・・・・・・・・・・・・・・・・・・・・・・・・・・・・・・・・
3. 1	容器の胴の厚さの計算・・・・・・・・・・・・・・・・・・・・・・・・・・・・・・・・・・・・
3. 2	容器の鏡板の厚さの計算・・・・・・・・・・・・・・・・・・・・・・・・・・・・・・・・・・・・
3.3	容器の平板の厚さの計算・・・・・・・・・・・・・・・・・・・・・・・・・・・・・・・・・・・・
3. 4	容器の管台の厚さの計算・・・・・・・・・・・・・・・・・・・・・・・・・・・・・・・・・・・・
3. 5	容器の補強を要しない穴の最大径の計算・・・・・・・・・・・・・・・・・・・・・・・・・・・・・・・・・・・・
3.6	容器の穴の補強計算・・・・・・・・・・・・・・・・・・・・・・・・・・・・・・・・・・・・
3. 7	設計・建設規格における材料の規定によらない場合の評価・・・・・・・・・・・・・・・・・・・・・・・・・・・・・・・・・・・・

#### 1. 計算条件

#### 1.1 計算部位

概要図に強度計算箇所を示す。



図中の番号は次ページ以降の 計算項目番号を示す。

図3-1 概要図

#### 1.2 設計条件

最高使用圧力(M	MPa)	***
最高使用温度(℃	C)	* * *

## 2.1 容器の胴の厚さの計算

設計・建設規格 PVC-3120

胴板名称			(1) 胴板
材料			SUS316L
最高使用圧力	Р	(MPa)	
最高使用温度		$(\mathcal{C})$	
胴の内径		(mm)	D <sub>i</sub>
許容引張応力	S	(MPa)	107
継手効率	$\eta$		1. 00
継手の種類			突合せ両側溶接
放射線検査の有無			有り
必要厚さ	t 1	(mm)	
必要厚さ	t 2	(mm)	
t <sub>1</sub> , t <sub>2</sub> の大きい値	t	(mm)	
呼び厚さ	$t_{so}$	(mm)	
最小厚さ	t s	(mm)	
評価: t <sub>s</sub> ≥t, よって十分	分である。		

### 2.2 容器の鏡板の厚さの計算

## (イ) 設計・建設規格 PVC-3210

鏡板の形状

鏡板名称			(1) 鏡板
鏡板の外径	D <sub>oc</sub>	(mm)	2240. 00
鏡板の中央部における内面の半径	R	(mm)	2200.00
鏡板のすみの丸みの内半径	r	(mm)	220. 00
3 · t c o		(mm)	60.00
0.06 • D o c		(mm)	134. 40
評価: $D_{\circ c} \ge R$ , $r \ge 3 \cdot t_{\circ o}$ ,	$r \ge 0$ .	06 · D o c,	r≧50 mm, よってさら形鏡板である。

## (ロ) 設計・建設規格 PVC-3220

鏡板の厚さ

鏡板名称			(1) 鏡板
材料			SUS316L
最高使用圧力	Р	(MPa)	
最高使用温度		$(\mathcal{C})$	
胴の内径	D i	(mm)	
さら形鏡板の形状による係数	W		
許容引張応力	S	(MPa)	107
継手効率	η		1.00
継手の種類			継手無し
放射線検査の有無			_
必要厚さ	t 1	(mm)	
必要厚さ	t 2	(mm)	
t <sub>1</sub> , t <sub>2</sub> の大きい値	t	(mm)	
呼び厚さ	t co	(mm)	
最小厚さ	t c	(mm)	
評価: t 。≥ t , よって十分で	ある。		

### 2.3 容器の平板の厚さの計算

## (イ) 設計・建設規格 PVC-3310

取付け方法及び穴の有無

平板名称			(1) マンホール平板
平板の取付け方法			( i )
平板の穴の有無			無し
溶接部の寸法	t w 1	(mm)	
溶接部の寸法	t w 2	(mm)	
胴又は管の計算上必要な厚さ	t <sub>s r</sub>	(mm)	
胴又は管の最小厚さ	t s	(mm)	
$t_{w1} + t_{w2}$		(mm)	
2 • t s		(mm)	
1.25 · t <sub>s r</sub>		(mm)	
評価: t <sub>w1</sub> + t <sub>w2</sub> ≥2·t <sub>ws</sub> ,	$t_{w1} \ge t$	s, ts	≥1.25·t <sub>sr</sub> よって十分である。

### (ロ) 設計・建設規格 PVC-3310

平板の厚さ

平板名称			(1) マンホール平板
材料			SUSF316L(厚さ130 mm未満)
最高使用圧力	Р	(MPa)	
最高使用温度		(℃)	
許容引張応力	S	(MPa)	107
取付け方法による係数	K		
平板の径	d	(mm)	
必要厚さ	t	(mm)	
呼び厚さ	t p o	(mm)	
最小厚さ	t p	(mm)	
評価: t P ≥ t, よって十分	である。		

# 2.4 容器の管台の厚さの計算設計・建設規格 PVC-3610

			T
管台名称			(1) 〇〇〇入口
材料			SUS316LTP-S
最高使用圧力	Р	(MPa)	
最高使用温度		$(\mathcal{C})$	
管台の外径	D o	(mm)	
許容引張応力	S	(MPa)	107
継手効率	η		1.00
継手の種類			継手無し
放射線検査の有無			_
必要厚さ	t 1	(mm)	
必要厚さ	tз	(mm)	
t <sub>1</sub> , t <sub>3</sub> の大きい値	t	(mm)	
呼び厚さ	t no	(mm)	
最小厚さ	t n	(mm)	
評価: t n ≥ t , よって十分	である。		

## 2.5 容器の補強を要しない穴の最大径の計算 設計・建設規格 PVC-3150(2)

胴板名称			(1) 胴板
材料			SUS316L
最高使用圧力	Р	(MPa)	
最高使用温度		$(\mathcal{C})$	
胴の外径	D	(mm)	
許容引張応力	S	(MPa)	107
胴板の最小厚さ	t s	(mm)	
継手効率	η		1.00
継手の種類			継手無し
放射線検査の有無			_
$d_{r1} = (D-2 \cdot t_s) /4$		(mm)	
61, d <sub>r1</sub> の小さい値		(mm)	61. 00
K			
D·t <sub>s</sub>		$(mm^2)$	
200, d <sub>r2</sub> の小さい値		(mm)	200.00
補強を要しない穴の最大径		(mm)	200. 00
評価:補強の計算を要する穴の	D名称		〇〇〇入口(3.6(1))
			〇〇〇出口(3.6(2))
			〇〇〇出口(3.6(3))
			マンホール(3.6(4))

## 2.5 容器の補強を要しない穴の最大径の計算 設計・建設規格 PVC-3230(2)

鏡板名称			(2) 鏡板
材料			SUS316L
最高使用圧力	Р	(MPa)	
最高使用温度		$(\mathcal{C})$	
鏡板のフランジ部の外径	D	(mm)	
許容引張応力	S	(MPa)	107
鏡板の最小厚さ	t c	(mm)	
継手効率	η		1.00
継手の種類			継手無し
放射線検査の有無			_
$d_{r1} = (D - 2 \cdot t_c) / 4$		(mm)	
61, d <sub>r1</sub> の小さい値		(mm)	61. 00
K			
D·t <sub>c</sub>		$(\text{mm}^2)$	
200, d <sub>r2</sub> の小さい値		(mm)	
補強を要しない穴の最大径		(mm)	
評価:補強の計算を要する穴	の名称		無し

### 2.6 容器の穴の補強計算

設計・建設規格 PVC-3160

#### 参照附図 WELD-11

部材名称			(1) 〇〇〇入口
胴板材料			SUS316L
管台材料			SUS316LTP-S
強め板材料			SUS316L
最高使用圧力	Р	(MPa)	
最高使用温度		(°C)	
胴板の許容引張応力	S s	(MPa)	107
管台の許容引張応力	S <sub>n</sub>	(MPa)	107
強め板の許容引張応力	S e	(MPa)	107
穴の径	d	(mm)	
管台が取り付く穴の径	d w	(mm)	
胴板の最小厚さ	t s	(mm)	
管台の最小厚さ	t n	(mm)	
胴板の継手効率	η		1.00
係数	F		1.00
胴の内径	D i	(mm)	
胴板の計算上必要な厚さ	t s r	(mm)	
管台の計算上必要な厚さ	t n r	(mm)	
穴の補強に必要な面積	A <sub>r</sub>	$(mm^2)$	
補強の有効範囲	X 1	(mm)	
補強の有効範囲	X 2	(mm)	
補強の有効範囲	X	(mm)	
補強の有効範囲	Y 1	(mm)	
補強の有効範囲	Y 2	(mm)	
強め板の最小厚さ	t e	(mm)	
強め板の外径	Ве	(mm)	
管台の外径	D <sub>on</sub>	(mm)	
溶接寸法	$L_1$	(mm)	
溶接寸法	L 2	(mm)	
溶接寸法	Lз	(mm)	
胴板の有効補強面積	$A_1$	$(mm^2)$	
管台の有効補強面積	$A_2$	$(mm^2)$	
すみ肉溶接部の有効補強面	積A <sub>3</sub>	$(mm^2)$	

強め板の有効補強面積	$A_4$	(mm <sup>2</sup> )		
補強に有効な総面積積	$A_0$	$(mm^2)$		
補強: A o > A r, よって十分	である。	_	_	

部材名称			(	(1)	000入口
大きい穴の補強					
補強を要する穴の限界径	d j	(mm)			
評価: $d \le d_j$ , よって大きい	穴の補強	計算は必	要ない。		
溶接部にかかる荷重	$W_1$	(N)			
溶接部にかかる荷重	$W_2$	(N)			
溶接部の負うべき荷重	W	(N)			
すみ肉溶接の許容せん断応力	$S_{w1}$	(MPa)			
突合せ溶接の許容せん断応力	$S_{w2}$	(MPa)			
突合せ溶接の許容引張応力	$S_{w3}$	(MPa)			
管台壁の許容せん断応力	$S_{w4}$	(MPa)			
応力除去の有無					
すみ肉溶接の許容せん断応力係	系数 F	1			
突合せ溶接の許容せん断応力係	系数 F	2			
突合せ溶接の許容引張応力係数	女 F	3			
管台壁の許容せん断応力係数	F	4			
すみ肉溶接部のせん断力	$W_{\mathrm{e}1}$	(N)			
すみ肉溶接部のせん断力	W $_{\mathrm{e}\ 2}$	(N)			
すみ肉溶接部のせん断力	W e 3	(N)			
突合せ溶接部のせん断力	$W_{\mathrm{e}4}$	(N)			
突合せ溶接部の引張力	W $_{\mathrm{e}\ 8}$	(N)			
突合せ溶接部の引張力	$W_{e\ 9}$	(N)			
管台のせん断力	$W_{\mathrm{e}10}$	(N)			
予想される破断箇所の強さ	$W_{\mathrm{e}\mathrm{b}\mathrm{p}1}$	(N)			
予想される破断箇所の強さ	$W_{\mathrm{e}\mathrm{b}\mathrm{p}2}$	(N)			
予想される破断箇所の強さ	$W_{\mathrm{e}\mathrm{b}\mathrm{p}3}$	(N)			
予想される破断箇所の強さ	$W_{\mathrm{e}\mathrm{b}\mathrm{p}4}$	(N)			
予想される破断箇所の強さ	$W_{\mathrm{e}\mathrm{b}\mathrm{p}5}$	(N)			
評価:W <sub>ebp1</sub>	≧W, W <sub>e</sub>	$_{\mathrm{b}}$ $_{\mathrm{p}}$ $_{\mathrm{3}} \geq \mathrm{W}$	, $W_{ebp4} \ge W$ ,	$W_{e}$	<sub>b p 5</sub> ≧ W
以上より十分である。					

設計・建設規格における材料の規定によらない場合の評価の評価結果例

3.7 設計・建設規格における材料の規定によらない場合の評価

胴側胴板(使用材料規格: J I S G ○○○○ 🏯△△△) の評価結果

(比較材料: J I S G ○○○○ △△△△)

(材料記号を記載)

#### (1) 機械的強度

	引張強さ	降伏点又は耐力	比較結果
使用材料	370 N/mm <sup>2</sup> 以上	215 N/mm <sup>2</sup> 以上	-   引張強さ及び降伏点は同等である。
比較材料	370 N/mm <sup>2</sup> 以上	215 N/mm <sup>2</sup> 以上	対版独さ及い降仏点は内寺でめる。

#### (2) 化学的成分

		化学成分(%)								
	С	Si	Mn	Р	S	Cu	Ni	Cr	Mo	V
使用材料	0.25 以下	0.35 以下	0.30 ~ 0.90	0.040 以下	0.040 以下		_	_	_	_
比較 材料	0.25 以下	0. 10 ~ 0. 35	0.30 ~ 0.90	0.035 以下	0.035 以下	_	_	_	_	_

Si, P, S の成分規定に差異があるが,以下により,本設備の環境下での使用は問題ないと考える。

Si:一般的に機械的強度に影響を与える成分であるが,(1)の評価結果からも機械強度は同等以上であること。

## 比較 結果

- P:冷間脆性に影響を与える成分であるが、本設備において使用される材料は、薄肉 (16 mm 未満)であるため、脆性破壊が発生しがたい寸法の材料であること、さらに は、設計・建設規格クラス2の規定でも破壊脆性試験が要求されない範囲であること。
- S:熱間脆性に影響を与える成分であるが、本設備において使用される材料は、薄肉 (16 mm 未満)であるため、脆性破壊が発生しがたい寸法の材料であること、さらに は、設計・建設規格クラス2の規定でも破壊脆性試験が要求されない範囲であること。

#### (3) 評価結果

(1) (2) の評価により、機械的強度、化学成分、いずれにおいても比較材料と同等であることを確認したため、本設備において、 $\triangle \triangle \triangle \triangle$ を重大事故等クラス 2 材料として使用することに問題ないと考える。

(材料記号を記載)

V-3-2-10 重大事故等クラス2ポンプの強度計算方法

### 目次

1.	<del></del> ;	般事項‥‥‥‥‥‥‥‥‥‥‥‥‥‥‥‥‥.1
	l. 1	概要
	1.2	適用規格及び基準との適合性・・・・・・・・・・・・・・・・・・1
	1.3	計算精度と数値の丸め方・・・・・・・・・・・・・・・・・・3
	1.4	材料の表示方法・・・・・・・・・・・・・・・・・・・・・・・・・・・・・・・・・・・・
2.	計:	算条件
4	2. 1	ポンプの形式判別・・・・・・・・・・・・・・・・・・・・・・・5
2	2. 2	計算部位 · · · · · · · · · · · · · · · · · · ·
6	2. 3	設計条件・・・・・・5
3.	重	大事故等クラス2ポンプのうちクラス2ポンプの規定に基づく評価6
9	3. 1	共通記号・・・・・・・・・・・・・・・・・・・・・・・・・・・・・・・・6
6	3. 2	うず巻ポンプ又はターボポンプのケーシングの厚さ・・・・・・・7
•	3. 3	うず巻ポンプ又はターボポンプのケーシングの吸込み及び吐出口部分の厚さ8
ç	3. 4	ケーシング各部形状の規定・・・・・・・・・・・・・・・・・9
(	3. 5	往復ポンプのリキッドシリンダー及びマニホールドに関するものの厚さ14
9	3. 6	うず巻ポンプ, ターボポンプ又は往復ポンプのケーシングカバーの厚さ15
6	3. 7	ボルトの平均引張応力・・・・・・・・・・17
ç	3.8	耐圧部分等のうち管台に係るもの(ケーシングの吸込口部分及び吐出口部分を除く。)の
		厚さ・・・・・・・・・・19
6	3. 9	吸込及び吐出フランジ・・・・・・・・・・・19
4.	重	大事故等クラス2ポンプのうちクラス2ポンプの規定によらない場合の評価 19
4	4. 1	立形ポンプの強度計算方法・・・・・・・・・・・・19
2	<b>1.</b> 2	クラス1容器の規定を準用した強度計算方法 · · · · · · · · 21

別紙 ポンプの強度計算書のフォーマット

#### 1. 一般事項

#### 1.1 概要

本資料は、添付書類「V-3-1-6 重大事故等クラス2機器及び重大事故等クラス2支持構造物の強度計算の基本方針」に基づき、重大事故等クラス2ポンプが十分な強度を有することを確認するための方法を説明するものである。

#### 1.2 適用規格及び基準との適合性

- (1) 強度計算は、発電用原子力設備規格(設計・建設規格(2005年版(2007年追補版含む。)) JSME S NC1-2005/2007)(日本機械学会 2007年9月)(以下「設計・建設規格」という。)により行う。なお、設計基準対象施設のクラス3ポンプで重大事故等対処設備兼用となるポンプのうち、設計・建設規格のクラス2ポンプに規定がないものについては、クラス3ポンプの規定を準用する。
  - (例) 軸垂直割りケーシングを持った1段あるいは多段の立形ポンプ 設計・建設規格各規格番号と強度計算書との対応は、表1-1に示すとおりである。
- (2) 設計・建設規格に計算式の規定がないものについては、他の規格及び基準を適用して行う。

日本工業規格(以下「JIS」という。)と強度計算書との対応は、表 1-2 に示すとおりである。

(3) 強度計算書で計算するもの以外のフランジは、以下に掲げる規格(材料に係る部分を除く。)又は設計・建設規格 別表 2 に掲げるものを使用する。(設計・建設規格 PMC-3710) a. JIS B 2238 (1996)「鋼製管フランジ通則」

表 1-1 設計・建設規格 各規格番号と強度計算書との対応

	1-1 故司 生政风俗	一 付別俗笛りと四段司昇音との利心
設計・建設規格	強度計算書の計算式	備考
規格番号	(章節番号)	VH グラ
(重大事故等クラス		
2ポンプ)		
PMC-3110	2.1	ポンプの形式判別
PMC-3320	3. 2	うず巻ポンプ又はターボポンプのケーシングの厚さ
PMC-3330	3.3	うず巻ポンプ又はターボポンプのケーシングの吸込
		み及び吐出口部分の厚さ
<b>THE COLO</b>		) ) ( ) ( ) ( ) ( ) ( ) ( ) ( ) ( ) ( )
PMC 3340	3. 4	ケーシング各部形状の規定
PMC-3350	3.5	   往復ポンプのリキッドシリンダー及びマニホールド
1 MC 3330	3. 5	に関するものの厚さ
		(四周) 3 00000年已
PMC-3410	3.6	   うず巻ポンプ,ターボポンプ又は往復ポンプのケー
		シングカバーの厚さ
PMC-3510	3. 7	ボルトの平均引張応力
PMC-3610	3.8	耐圧部分等のうち管台に係るもの(ケーシングの吸
		込口部分及び吐出口部分を除く。)の厚さ
PMC-3710	3.9	吸込及び吐出フランジ

表 1-2 JISと強度計算書との対応

JIS		強度計算書の	
J I U		計算式	備考
N o .	項	(章節番号)	
JIS B 8265 (2003) *	3	3. 7	ボルトの平均引張応力
「圧力容器の構造-一般事項」附属書3	4	3. 9	吸込及び吐出フランジ*
(規定)「圧力容器のボルト締めフランジ」			

注記 \*:設計・建設規格 PMC-3710 により J I S B 8 2 6 5 (2003) 「圧力容器の構造ー一般事項」(以下「J I S B 8 2 6 5 」という。)の附属書 3 (規定) 「圧力容器のボルト締めフランジ」を用いて計算を行う。

#### 1.3 計算精度と数値の丸め方

計算の精度は、6桁以上を確保する。

表示する数値の丸め方は、表 1-3 に示すとおりとする。

表 1-3 表示する数値の丸め方

	数値の種類	単位	処理桁	処理方法	表示桁
最高	<b>高使用圧力</b>	MPa	_	_	小数点以下第2位
最高		$^{\circ}\! \mathbb{C}$	_	_	整数位
許和	<b>容応</b> 力*1	MPa	小数点以下第1位	切捨て	整数位
算上	出応力	MPa	小数点以下第1位	切上げ	整数位
	下記以外の長さ	mm	小数点以下第2位	四捨五入	小数点以下第1位
長さ	計算上必要な厚さ	mm	小数点以下第2位	切上げ	小数点以下第1位
さ	最小厚さ	mm	小数点以下第2位	切捨て	小数点以下第1位
	ボルト谷径	mm	_	_	小数点以下第3位
面和	責	$\mathrm{mm}^2$	有効数字 5 桁目	四捨五入	有効数字 4 桁*2
カ		N	有効数字 5 桁目	四捨五入	有効数字4桁*2

注記 \*1:設計・建設規格 付録材料図表に記載された温度の中間における許容引張応力は、

比例法により補間した値の小数点以下第1位を切捨て,整数位までの値とする。

\*2:絶対値が1000以上のときは、べき数表示とする。

#### 1.4 材料の表示方法

材料は次に従い表示するものとする。

(1) 設計・建設規格に定める材料記号を原則とする。

設計・建設規格に記載されていないが設計・建設規格に相当材が記載されている場合は, 次のように表示する。

相当材記号 相当(当該材記号)

(例 1) SM400A 相当 (SMA400AP)

(例 2) SCS14 相当 (ASME SA351 Gr. CF8M)

- (2) 使用する厚さ又は径等によって許容引張応力が異なる場合、材料記号の後に該当する厚さ又は径等の範囲を付記して表示する。
  - (例) SNB7 (径≦63 mm)
- (3) ガスケット材料で非石綿の場合の表示は以下とする。
  - (例) 非石綿ジョイントシート

渦巻形金属ガスケット(非石綿)(ステンレス鋼)

平形金属被覆ガスケット(非石綿板)(ステンレス鋼)

なお、この場合のガスケット係数m及びガスケットの最小設計締付圧力 y は、JIS B 8265 附属書3 表2 備考3より、ガスケットメーカ推奨値を適用する。

#### 2. 計算条件

#### 2.1 ポンプの形式判別

ポンプの形式が、設計・建設規格 PMC-3110 に掲げるもののうち、いずれかの形式に該当するかを判別する。

- (1) うず巻ポンプであって、ケーシングが軸垂直割り又は軸平行割りであるもの
- (2) ターボポンプであって、ケーシングが軸垂直割りで軸対称であるもの又は軸平行割りであるもの

#### (3) 往復ポンプ

上記(1)及び(2)に掲げるポンプについては、設計・建設規格 PMC-3320 から PMC-3340 及び PMC-3400 から PMC-3700, (3)に掲げるポンプについては設計・建設規格 PMC-3350 から PMC-3700 の規定に従って計算を行う。

#### 2.2 計算部位

設計・建設規格 PMC-3000 において強度計算の対象となる部位を略図を用いて明らかにする。

#### 2.3 設計条件

ポンプの強度計算は、最高使用圧力及び最高使用温度に対して行う。

耐圧部(吸込口及び吐出口を除く。)の厚さを求める計算において、使用する最高使用圧力は、以下の(1)又は(2)による。

- (1) 最高使用圧力がポンプの吐出側、吸込側で同一の場合は、その最高使用圧力を使用する。
- (2) 最高使用圧力がポンプの吐出側,吸込側で相違している場合は,以下の条件のうちいずれかにする。
  - a. ケーシングの耐圧部(吸込口及び吐出口を除く。)を吸込側,吐出側に分けそれぞれの最高使用圧力を使用する。

(分けない場合は、吐出側のみの最高使用圧力を使用する。)

b. ピットバレル形 (軸垂直割り軸対称ケーシング) ポンプの場合は, 吸込側の最高使用 圧力のみを使用する。(ただし,一部管台の計算においては,吐出側の最高使用圧力を 使用する。)

#### 3. 重大事故等クラス2ポンプのうちクラス2ポンプの規定に基づく評価

#### 3.1 共通記号

重大事故等クラス2ポンプの強度計算において、特定の計算に限定せず、一般的に使用する 記号を共通記号として次に掲げる。

設計・建設規格	強度計算書の	表示内容	単位
の記号	表示	(A)(1)(A)	<del>             </del>
Р	Р	最高使用圧力	MPa
S	s	最高使用温度における設計・建設規格 付録材料図	MPa
		表 Part5 表 5 に規定する材料の許容引張応力	
t	t	ケーシングの計算上必要な厚さ	mm
	t s	最小厚さ	mm
	t so	呼び厚さ	mm
η	η	長手継手の効率で、設計・建設規格 PVC 3130 を適	_
		用する。	

#### 3.2 うず巻ポンプ又はターボポンプのケーシングの厚さ

重大事故等クラス2ポンプにおけるうず巻ポンプ又はターボポンプのケーシング厚さは、設計・建設規格 PMC-3320 を適用する。

#### (1) 記号の説明

設計・建設規格 の記号	強度計算書の 表示	表示内容	単位
A	A	図 3-1~2 (設計・建設規格 図 PMC-3320-1, 5) に 示す寸法	mm

#### (2) 算式

$$t = \frac{P \cdot A}{2 \cdot S}$$

ただし、片吸込み1重うず巻ポンプについては、

$$t = \frac{P \cdot A}{S}$$

#### (3) 評価

最小厚さ  $(t_s)$  ≧計算上必要な厚さ (t) ならば十分である。

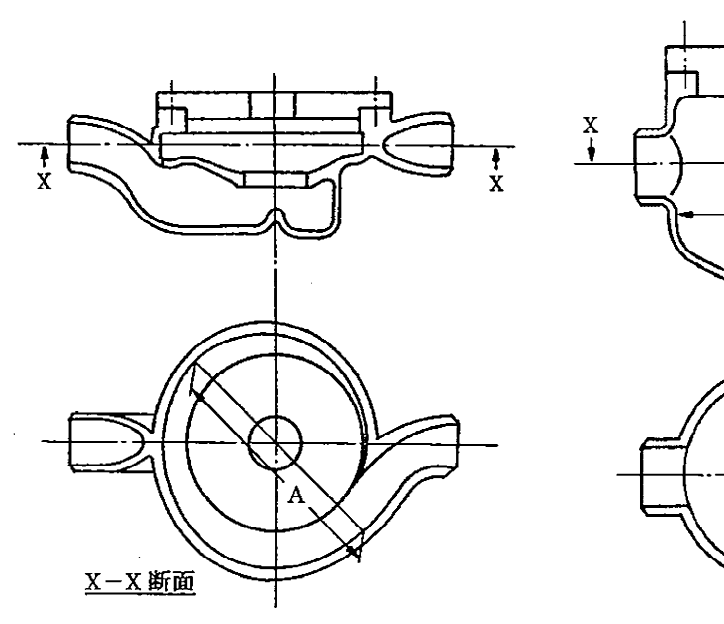


図 3-1 1 重うず巻ポンプの例 (設計・建設規格 図 PMC-3320-1)

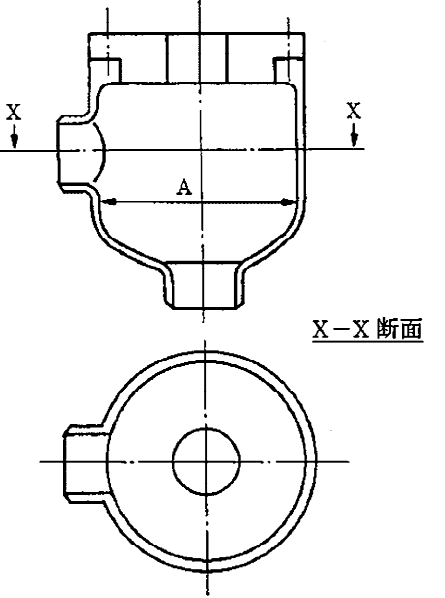


図 3-2 ターボポンプの例 (設計・建設規格 図 PMC-3320-5)

3.3 うず巻ポンプ又はターボポンプのケーシングの吸込み及び吐出口部分の厚さ 重大事故等クラス2ポンプにおけるうず巻ポンプ又はターボポンプのケーシングの吸込み及 び吐出口部分の厚さは、設計・建設規格 PMC-3330 を適用する。

#### (1) 記号の説明

設計・建設規格	強度計算書の	表示内容	単位
の記号	表示		
$\ell$	$\ell$	図 3-3 (設計・建設規格 図 PMC-3330-1) に示す	mm
		範囲	
r i	r i	吸込口部分又は吐出口部分の内半径	mm
r <sub>m</sub>	r <sub>m</sub>	次式により計算した値	mm
		$r_{m} = r_{i} + 0.5 \cdot t$	
	$t_\ell$	ℓの範囲の最小厚さ	mm
	t <sub>lo</sub>	ℓの範囲の呼び厚さ	mm

#### (2) 算式

$$\ell = 0.5 \cdot \sqrt{r_{\rm m} \cdot t}$$

ただし、 $r_m = r_i + 0.5 \cdot t$ 

#### (3) 評価

 $\ell$  の範囲の最小厚さ( $t_{\ell}$ )≧計算上必要な厚さ(t)\*ならば十分である。

注記 \*:ピットバレル形ポンプの吐出口部分については、吐出口の内径と吐出側の最高使用圧力を用いて求めた必要厚さと、ケーシング内径と吸込側の最高使用 圧力を用いて求めた必要厚さの大きい値とする。

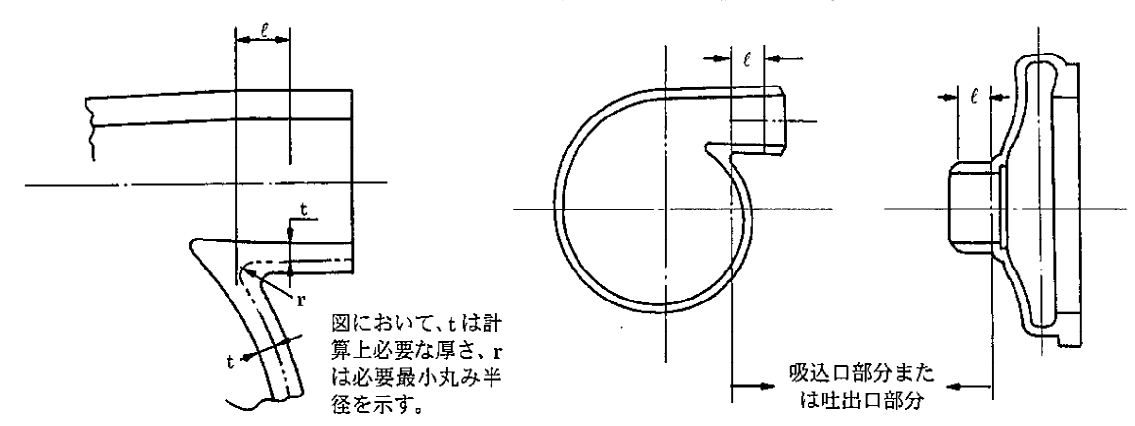


図 3-3 吸込み及び吐出口部分の厚さの規定範囲の例 (設計・建設規格 図 PMC-3330-1)

#### 3.4 ケーシング各部形状の規定

3.4.1 うず巻ポンプであって,ケーシングが軸垂直割りまたは軸平行割りの形状の規定 2.1 項の(1)に掲げるポンプの形状は,設計・建設規格 PMC-3340 (1) から (7) によるものとする。

#### (1) 記号の説明

(1) 記方(り祝り 設計・建設規格	強度計算書の		
の記号	表示	表示内容	単 位
	r <sub>1</sub>	図3-4-1 (a) (設計・建設規格 図PMC-3340-	mm
		1(a)) に示す分流壁の両端の丸みの計算上必要な	
		半径	
	r <sub>1 s</sub>	・ ー   図3-4-1 (a) (設計・建設規格 図PMC-3340-	mm
	- 1 5	1(a)) に示す分流壁の両端の丸みの最小半径	
	r <sub>1 s o</sub>	   図3-4-1 (a) (設計・建設規格 図PMC-3340-	mm
	130	   1(a)) に示す分流壁の両端の丸みの呼び半径	
	r <sub>2</sub>	   図3-4-1 (a) (設計・建設規格 図PMC-3340-	mm
	2	   1(a)) に示す分流壁がケーシング壁面に交わる	
		   部分のすみの丸みの計算上必要な半径	
	r <sub>2 s</sub>	   図3-4-1 (a) (設計・建設規格 図PMC-3340-	mm
		   1(a)) に示す分流壁がケーシング壁面に交わる	
		部分のすみの丸みの最小半径	
	r <sub>2so</sub>	図3-4-1 (a) (設計・建設規格 図PMC-3340-	mm
		   1(a)) に示す分流壁がケーシング壁面に交わる	
		部分のすみの丸みの呼び半径	
	r 3	図3-4-1 (b) (設計・建設規格 図PMC-3340-	mm
		1(b)) に示すボリュート巻始めの丸みの計算上	
		必要な半径	
	r <sub>3 s</sub>	図3-4-1 (b) (設計・建設規格 図PMC-3340-	mm
		1(b)) に示すボリュート巻始めの丸みの最小半	
		径	
	r <sub>3so</sub>	図3-4-1 (b) (設計・建設規格 図PMC-3340-	mm
		1(b)) に示すボリュート巻始めの丸みの呼び半	
		径	
	r <sub>4</sub>	図3-4-1 (b) (設計・建設規格 図PMC-3340-	mm
		1(b)) に示すクロッチの丸みの計算上必要な半	
		径	
	r <sub>4 s</sub>	図3-4-1 (b) (設計・建設規格 図PMC-3340-	mm
		1(b)) に示すクロッチの丸みの最小半径	

設計・建設規格 の記号	強度計算書の 表示	表示内容	単位
	r <sub>4so</sub>	図3-4-1 (b) (設計・建設規格 図PMC-3340-	mm
		1(b)) に示すクロッチの丸みの呼び半径	
	r 5	図3-4-1 (b) (設計・建設規格 図PMC-3340-	mm
		1(b)) に示すボリュート巻始めとケーシング壁	
		面の交わる部分のすみの丸みの計算上必要な半	
		径	
	r <sub>5s</sub>	図3-4-1 (b) (設計・建設規格 図PMC-3340-	mm
		1(b)) に示すボリュート巻始めとケーシング壁	
		面の交わる部分のすみの丸みの最小半径	
	r <sub>5so</sub>	図3-4-1 (b) (設計・建設規格 図PMC-3340-	mm
		1(b)) に示すボリュート巻始めとケーシング壁	
		面の交わる部分のすみの丸みの呼び半径	
	t 1	図3-4-1 (a) (設計・建設規格 図PMC-3340-	mm
		1(a)) に示す分流壁の点Bから点Cまでの範囲	
		の計算上必要な厚さ	
	t <sub>1 s</sub>	図3-4-1 (a) (設計・建設規格 図PMC-3340-	mm
		1(a)) に示す分流壁の点Bから点Cまでの範囲	
		の最小厚さ	
	$t_{1so}$	図3-4-1 (a) (設計・建設規格 図PMC-3340-	mm
		1(a)) に示す分流壁の点Bから点Cまでの範囲	
		の呼び厚さ	

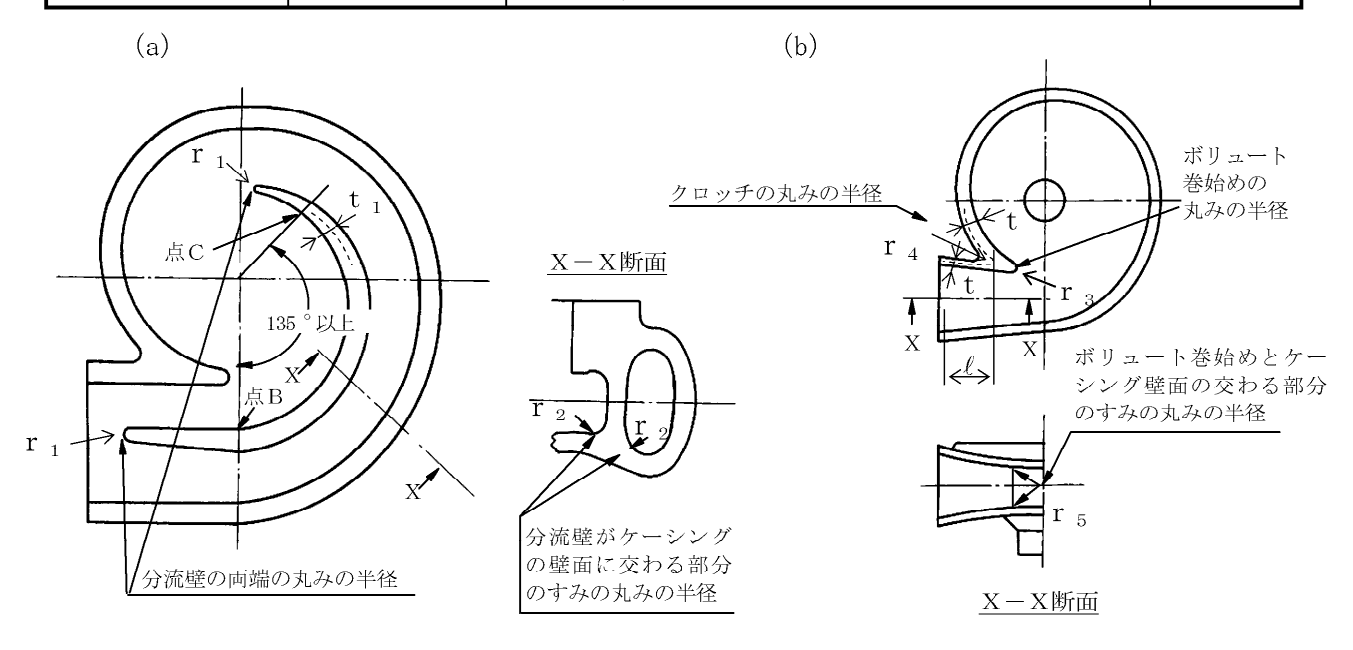


図3-4-1 うず巻ポンプのケーシング各部形状 (設計・建設規格 図PMC-3340-1)

#### (2) 算式

- a.  $t_1 = 0.7 \cdot t$
- a.  $t_1 = 0.7 \cdot t$ b.  $r_1 = 0.05 \cdot t$ c.  $r_2 = 0.1 \cdot t$  又は 6 mm のうちいずれか大きい値 図 3-4-1 (a)型 d.  $r_3 = 0.05 \cdot t$   $r_1 = 0.05 \cdot t$   $r_2 = 0.05 \cdot t$  図 3-4-1 (b)型

- f.  $r_5=0.1$ ・t 又は6 mm のうちいずれか大きい値

#### (3) 評価

- a. 最小厚さ( $t_{1s}$ )  $\geq$ 計算上必要な厚さ( $t_1$ )ならば十分である。
- b. 最小半径  $(r_{1s})$  ≧計算上必要な半径  $(r_1)$  ならば十分である。
- c. 最小半径  $(r_{2s})$  ≧計算上必要な半径  $(r_2)$  ならば十分である。
- d. 最小半径  $(r_3)$  ≧計算上必要な半径  $(r_3)$  ならば十分である。
- e. 最小半径  $(r_4)$  全計算上必要な半径  $(r_4)$  ならば十分である。
- f. 最小半径  $(r_{5s})$  ≧計算上必要な半径  $(r_5)$  ならば十分である。

3.4.2 横軸であって軸垂直割り軸対称ケーシングをもつ多段のターボポンプのケーシングのボルト穴の規定

重大事故等クラス 2 ポンプにおける 2.1 項の(2) に掲げるポンプのうち、横軸であって 軸垂直割り軸対称ケーシングをもつ多段ポンプのケーシングのボルト穴は、設計・建設規格 PMC-3340(8)、(9) を適用する。

#### (1) 記号の説明

	T		
設計・建設規格	強度計算書の	   表示内容	単位
の記号	表示	数/NT 1在	+124
	a	図 3-4-2(a) (設計・建設規格 図 PMC-3340-3(a))	mm
		に示すケーシングボルト中心円上の隣り合うボルト	
		穴の中心間の弧の計算上必要な長さ	
	a <sub>s</sub>	図342(a)(設計・建設規格 図PMC 3340 3(a))	mm
		に示すケーシングボルト中心円上の隣り合うボルト	
		穴の中心間の弧の最小長さ	
	a <sub>s o</sub>	図 3-4-2 (a) (設計・建設規格 図 PMC-3340-3(a))	mm
		に示すケーシングボルト中心円上の隣り合うボルト	
		穴の中心間の弧の呼び長さ	
X	X	図 3-4-2 (b) (設計・建設規格 図 PMC-3340-3(b))	mm
		に示すケーシングボルト穴と吐出ノズル内面との間	
		の計算上必要な距離	
	X s	図 3-4-2 (b) (設計・建設規格 図 PMC-3340-3(b))	mm
		に示すケーシングボルト穴と吐出ノズル内面との間	
		の最小距離	
	X <sub>s o</sub>	図 3-4-2 (b) (設計・建設規格 図 PMC-3340-3(b))	mm
		に示すケーシングボルト穴と吐出ノズル内面との間	
		の呼び距離	
d	d <sub>bm</sub>	ケーシングボルトの呼び径	mm

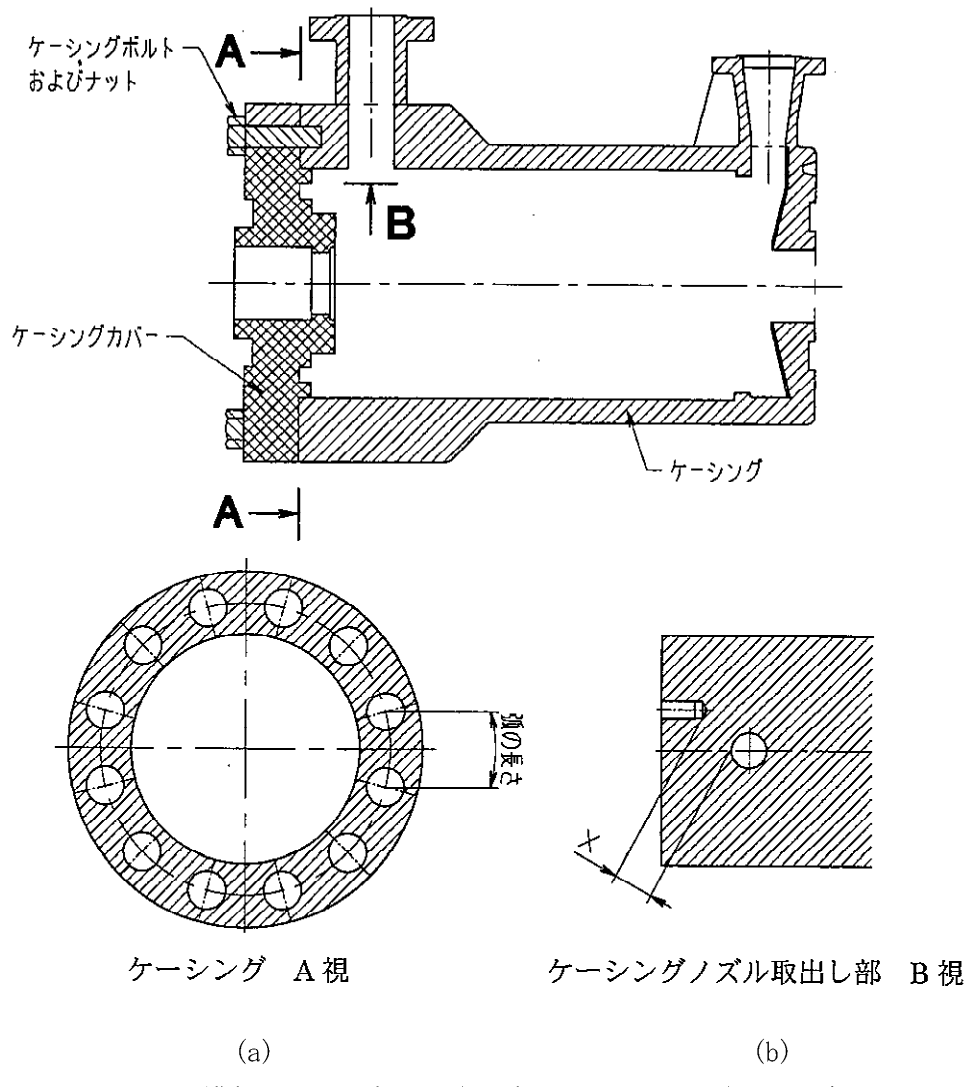


図 3-4-2 横軸であって軸垂直割り軸対称ケーシングをもつ多段の ターボポンプのケーシングのボルト穴回りの形状 (設計・建設規格 図 PMC-3340-3)

#### (2) 算式

- a.  $a = 2 \cdot d_{bm}$
- b.  $X = t 又は 0.5 \cdot d_{hm}$  のうちいずれか大きい値

#### (3) 評価

- a. 最小長さ  $(a_s)$   $\geq$ 計算上必要な長さ (a) ならば十分である。
- b. 最小距離  $(X_s)$   $\geq$ 計算上必要な距離 (X) ならば十分である。

#### 3.5 往復ポンプのリキッドシリンダー及びマニホールドに関するものの厚さ

重大事故等クラス2ポンプにおける往復ポンプのリキッドシリンダー及びマニホールドに関するものの厚さは、設計・建設規格 PMC-3350 を適用する。

#### (1) 記号の説明

設計・建設規格	強度計算書の	表示内容	単位
の記号	表示		早154
D i	D i	リキッドシリンダー又はマニホールドの内径	mm
R i	R i	リキッドシリンダー又はマニホールドの内半径	mm
Z	Z	次式により計算された値	_
		$Z = \frac{S \cdot \eta + P}{S \cdot \eta - P}$	
	継手の種類		
	継手有り	同左	_
	継手無し	同左	_

#### (2) 算式

厚さが内半径の2分の1以下のもの

$$t = \frac{P \cdot D_i}{2 \cdot S \cdot \eta - 1.2 \cdot P}$$

厚さが内半径の2分の1を超えるもの

$$t=R_{i}\cdot\left(\sqrt{Z}-1\right)$$

ただし、
$$z - \frac{S \cdot \eta + P}{S \cdot \eta - P}$$

#### (3) 評価

最小厚さ(t<sub>s</sub>)≧計算上必要な厚さ(t)ならば十分である。

- 3.6 うず巻ポンプ, ターボポンプ又は往復ポンプのケーシングカバーの厚さ
  - 3.6.1 うず巻ポンプ又はターボポンプのケーシングカバー (軸封部を除く。) の厚さ 重大事故等クラス 2 ポンプにおけるうず巻ポンプ又はターボポンプのケーシングカバー (軸封部を除く。) の厚さは,設計・建設規格 PMC-3410(1)を適用する。

#### (1) 記号の説明

設計・建設規格	強度計算書の	丰二内农	単位
の記号	表示	表示内容	半11/1
d	d	設計・建設規格 表 PMC-3410-1 に示すケーシング	mm
		カバーの取付け方法に応じたケーシングカバーの径	
		又は最小内のり	
K	K	設計・建設規格 表 PMC-3410-1 に規定するケーシ	_
		ングカバーの取付け方法による係数	

(2) 算式

$$t = d \cdot \sqrt{\frac{K \cdot P}{S}}$$

(3) 評価

最小厚さ  $(t_s)$  ≧計算上必要な厚さ (t) ならば十分である。

3.6.2 往復ポンプのケーシングカバー (リキッドシリンダーカバー及びマニホールドカバー) の厚さ

重大事故等クラス 2 ポンプにおける往復ポンプのケーシングカバー (リキッドシリンダーカバー及びマニホールドカバー) の厚さは,設計・建設規格 PMC-3410(1)を適用する。

#### (1) 記号の説明

設計•建設規格	強度計算書の	表示内容	単位
の記号	表示	<b>次パリ行</b>	7-12
d	d	設計・建設規格 表 PMC-3410-1 に示すケーシング	mm
		カバー(リキッドシリンダーカバー又はマニホール	
		ドカバー)の取付け方法に応じたケーシングカバー	
		(リキッドシリンダーカバー又はマニホールドカバ	
		)の径又は最小内のり	
F	F	全体のボルトに作用する力(セルフシールガスケッ	N
		トを用いる場合、Fはボルト等に加わる平均引張応	
		力の計算におけるWと等しい。)	
h <sub>g</sub>	h g	ボルト中心円直径とdとの差の2分の1	mm
K	K	設計・建設規格 表 PMC-3410-1 に規定するケーシ	_
		ングカバー(リキッドシリンダーカバー又はマニホ	
		ールドカバー)の取付け方法による係数で、本プラ	
		ントにおいては,取付け方法が(m)の場合のみで	
		あるので,以下に(m)の場合の取付け方法による	
		係数の求め方を示す。	
		$K = 0.20 + \frac{1.0 \cdot F \cdot h_{g}}{W \cdot d}$	
W	W	パッキンの外径又はケーシングカバーの接触面の外	MPa
		径内の面積に作用する全圧力	

#### (2) 算式

平板形の場合

$$t = d \cdot \sqrt{\frac{K \cdot P}{S}}$$

ただし,
$$K = 0.20 + \frac{1.0 \cdot F \cdot h_g}{W \cdot d}$$

#### (3) 評価

最小厚さ  $(t_s)$  ≧計算上必要な厚さ (t) ならば十分である。

### 3.7 ボルトの平均引張応力

重大事故等クラス2ポンプのボルトの平均引張応力は、設計・建設規格 PMC-3510 を適用し、以下の方法により求める。

#### (1) 記号の説明

(1) 記号()	· · ·		
設計・建設規格	強度計算書の	表示内容	単位
の記号	表示	200,000	, ,
A <sub>b</sub>	A <sub>b</sub>	ボルト1本当たりの最小軸断面積	$\mathrm{mm}^2$
		$A_b = (\pi/4) \cdot d_b^2$	
	b	ガスケット座の有効幅	mm
	b o	ガスケット座の基本幅	mm
		(JIS B 8265 附属書3 表3による。)	
	d <sub>b</sub>	ボルトのねじ部の谷の径と軸部の径の最小部のいず	mm
		れか小さい方の径	
	D <sub>g</sub>	セルフシールガスケットの外径	mm
	G	ガスケット反力円の直径	mm
	G s	ガスケット接触面の外径	mm
	Н	圧力によってフランジに加わる全荷重	N
	$H_{p}$	気密を十分に保つために、ガスケット又は継手接触	N
		面に加える圧縮力	
m	m	ガスケット係数	_
		(JIS B 8265 附属書3 表2による。)	
	N	ガスケットの接触面の幅	mm
		(JIS B 8265 附属書3 表3による。)	
	n	ボルトの本数	_
	S <sub>b</sub>	最高使用温度における設計・建設規格 付録材料図	MPa
		表 Part5 表7に規定する材料の許容引張応力	
W	W	ボルトに作用する引張荷重	N
		(注:立形ポンプで評価対象ボルトに部品の自重が	
		掛かる場合はその自重を荷重として加える)	
$W_{\mathrm{m}\ 1}$	$ m W_{m1}$	使用状態における必要な最小ボルト荷重	N
$ m W_{m2}$	$ m W_{m2}$	ガスケット締付けに必要な最小ボルト荷重	N
У	У	ガスケットの最小設計締付圧力	$\mathrm{N/mm^2}$
		(JIS B 8265 附属書3 表2による。)	
	$\pi$	円周率	_
S <sub>b</sub>	σ	耐圧部分等のうちボルト等に係るものの最高使用圧	MPa
		力又はガスケット締付時のボルト荷重と釣り合う場	
		合に生じる平均引張応力	

#### (2) 算式

円形フランジをボルト等により締め付ける場合

設計・建設規格 PVB-3121 の解説及び J I S B 8 2 6 5 附属書 3 の方法により計算する。

$$_{\sigma} - \frac{W}{n \cdot A_{_{b}}}$$

ただし、Wは次式で計算される $W_{m1}$ 、 $W_{m2}$ のいずれか大きい値とする。

$$W_{m\,1}\!=\!H\!+\!H_{\,p}$$

$$\exists \exists \forall \mathbf{G}^2 \cdot \mathbf{P}$$

$$H_p = 2 \cdot \pi \cdot b \cdot G \cdot m \cdot P$$

$$W_{m2} = \pi \cdot b \cdot G \cdot y$$

b 。≦6.35 mm の場合

$$b = b_0$$

$$G = G_s - N$$

b<sub>o</sub>>6.35 mm の場合

$$b = 2.52 \cdot \sqrt{b \text{ o}}$$

$$G = G_s - 2 \cdot b$$

なお、セルフシールガスケットを使用する場合は、次式を用いる。

$$W_{m1} = H = \frac{\pi}{4} \cdot D_g^2 \cdot P$$

$$W_{m2} = 0$$

#### (3) 評価

ボルトの平均引張応力  $(\sigma)$  ≦許容引張応力  $(S_b)$  ならば十分である。

3.8 耐圧部分等のうち管台に係るもの(ケーシングの吸込口部分及び吐出口部分を除く。)の厚さ

重大事故等クラス2ポンプについては設計・建設規格 PMC-3610 を適用する。

#### (1) 記号の説明

設計・建設規格	強度計算書の	表示内容	単位
の記号	表示		早111.
D <sub>o</sub>	D <sub>o</sub>	管台の外径	mm
	継手の種類		
	継手有り	同左	_
	継手無し	同左	_

#### (2) 算式

$$t = \frac{P \cdot D_o}{2 \cdot S \cdot \eta + 0.8 \cdot P}$$

#### (3) 評価

最小厚さ  $(t_s)$   $\geq$  計算上必要な厚さ (t) ならば十分である。

#### 3.9 吸込及び吐出フランジ

重大事故等クラス 2 ポンプについては設計・建設規格 PMC-3710 に規定されるフランジ(J I S 規格(材料に係る部分を除く。)又は,設計・建設規格 別表 2 のいずれか)を用いる。これ以外のフランジを用いる場合は,J I S B 8 2 6 5 附属書 3 により応力計算を行い,必要な強度を有することを確認する。

- 4. 重大事故等クラス2ポンプのうちクラス2ポンプの規定によらない場合の評価
- 4.1 立形ポンプの強度計算方法

重大事故等クラス2ポンプのうち立形ポンプについては、設計・建設規格におけるクラス2ポンプに評価式が規定されていないため、立形ポンプの強度評価については、以下に示すとおりの重大事故等クラス2ポンプの評価手法として妥当性を確認した設計・建設規格に規定されているクラス3ポンプの評価式及び判断基準を用いた評価を実施する。

4.1.1 軸垂直割りケーシングをもった1段あるいは多段の立形ポンプの吐出エルボ, 揚水管及 びボウルの厚み

#### (1) 記号の説明

設計•建設規格	強度計算書の	表示内容	単位
の記号	表示		平124
D <sub>o</sub>	D <sub>o</sub>	図 4-1 (設計・建設規格 図 PMD-3310-7) に示す吐	mm
		出エルボの外径寸法,揚水管の外径寸法又は個々の	
		ボウルの吸込み側の最大外径寸法	
d	d	吐出エルボ,揚水管又はボウルの内径寸法	mm
У	У	0.4 (D <sub>o</sub> /t≥6.0の場合)	_
		d / (d + D 。)(D 。/ t < 6.0 の場合)	

#### (2) 算式

$$t = \frac{P \cdot D_o}{2 \cdot (S \cdot \eta + P \cdot y)}$$

#### (3) 評価

最小厚さ  $(t_s)$  ≧計算上必要な厚さ (t) ならば十分である。

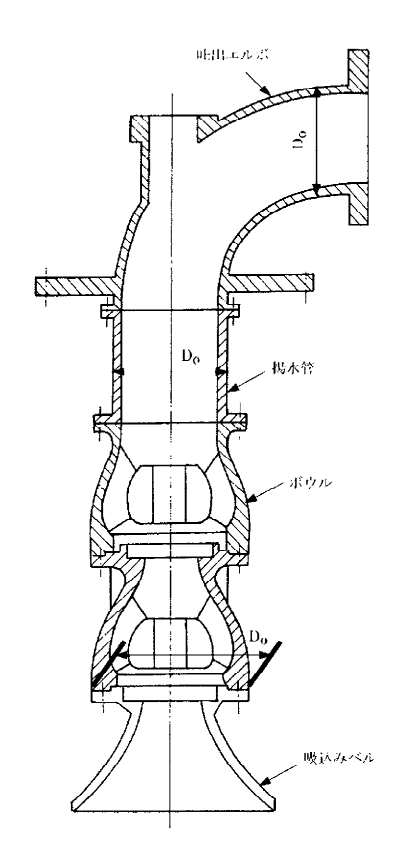


図 4-1 軸垂直割りケーシングをもった多段の立形ポンプの例 (設計・建設規格 図 PMD-3310-7)

#### 4.2 クラス1容器の規定を準用した強度計算方法

重大事故等クラス2機器の評価において、公式による評価を満足しない部位については、より 精緻な評価を実施する必要があるため、設計・建設規格にて規定されている準用規定に基づき、 クラス1容器の規定を準用し、解析による評価を実施する。

#### (1) 記号の説明

設計·建設規格	強度計算書の	表示内容	単位
の記号	表示	<b>衣小竹</b>	毕业.
P <sub>b</sub>	Рь	一次曲げ応力	MPa
P <sub>L</sub>	$P_L$	一次局部膜応力	MPa
P <sub>m</sub>	$P_{\mathrm{m}}$	一次一般膜応力	MPa
S <sub>m</sub>	S <sub>m</sub>	設定応力強さ	MPa

#### (2) 強度計算方法

a. ケーシングカバーの応力計算(設計・建設規格 PVB-3111 準用)

設計・建設規格に基づく評価を実施する場合

クラス1容器の応力評価の規定である設計・建設規格 PVB-3111を準用して応力解析 を実施し、その一次応力強さは次の規定を満足することを確認する。\*

- (a) 一次一般膜応力強さが $S_m$ を超えないこと。
- (b) 一次局部膜応力強さが1.5Smを超えないこと。
- (c) 一次膜応力と一次曲げ応力を加えて求めた応力強さが1.5 Smを超えないこと。
- 注記 \*:以下の規定から,重大事故等クラス2ポンプのケーシング及びケーシングカバー について,クラス1容器の応力評価の規定 設計・建設規格 PVB-3111を準用 することとする。
  - ・設計・建設規格解説 PMC-3410 において、本規定は「クラス 2 容器の平板の 必要厚さ (PVC-3310) 及びフランジ付きさら形ふた板 (PVC-3410, PVC-3420) の必要最小厚さの計算式を採用したものである。」と記載されている。
  - ・クラス 2 容器の材料及び構造の特例 設計・建設規格 PVC-1210 では,「PVC-2000 から PVC-2400, PVC-3100 から PVC-3800 及び PVC-4100 までの規定にかかわらず, クラス 2 容器の材料及び構造の規格は, PVB-2000 から PVB-2400 及び PVB-3100 から PVB-4100 までの規定に準ずることができる。」と記載されていることから, 重大事故等クラス 2 ポンプのケーシングカバーは, クラス 1 容器の応力評価の規定 設計・建設規格 PVB-3111 を準用する。

別紙 ポンプの強度計算書のフォーマット

# V-○-○-○ ○○○ポンプの強度計算書

### まえがき

本計算書は、添付書類「V-3-1-6 重大事故等クラス 2 機器及び重大事故等クラス 2 支持構造物の強度計算の基本方針」及び「V-3-2-10 重大事故等クラス 2 ポンプの強度計算方法」に基づいて計算を行う。

なお、適用規格の選定結果について以下に示す。適用規格の選定に当たって使用する記号及び略語については、添付書類「V-3-2-1 強度計算方法の概要」に定義したものを使用する。

# • 評価条件整理表

			施設時の 技術基準		クラスア	ップするか	,		条件で	アップす	るか		既工認に		同等性。並無								
機器名	成設 に対象	設 に対象と	成設 or に対象と クラ 新設 する施設 ア	に対象と クラス 施設時 DB で する施設 アップ 機器 クラス ク	に対象と	に対象と	に対象と	に対象と	に対象と	クラス	施設時	G改時		条件	DB条	や件	SA第	や件	おける 焼	施設時の	評価区分	同等性   評価	評価 クラス
	VARE E	新設 するが			SA クラス	アップ の有無 (MPa) (CC) (MPa) 温度 (CC) (MPa) (CC)	評価結果   適用規格   の有無		区分	クラス													

# 目次

1.	計算条件・・・・・・・・・・・・・・・・・・・・・・・・・・・・・・・・・・・・
1. 1	ポンプ形式・・・・・・・・・・・・・・・・・・・・・・・・・・・・・・・・・・・・
1. 2	計算部位·····
1. 3	設計条件
2.	強度計算・・・・・・・・・・・・・・・・・・・・・・・・・・・・・・・・・・・・
2. 1	ケーシングの厚さ
2. 2	ケーシングの吸込み及び吐出口部分の厚さ・・・・・・・・・・・・・・・・・・・・・・・・・・・・・・・・・・・・
2. 3	ケーシングのボルト穴・・・・・・・・・・・・・・・・・・・・・・・・・・・・・・・・・・・・
2. 4	ケーシングカバーの厚さ・・・・・・・・・・・・・・・・・・・・・・・・・・・・・・・・・・・・
2. 5	ボルトの平均引張応力・・・・・・・・・・・・・・・・・・・・・・・・・・・・・・・・・・・・
2.6	耐圧部分等のうち管台に係るものの厚さ・・・・・・・・・・・・・・・・・・・・・・・・・・・・・・・・・・・
2. 7	設計・建設規格における材料の規定によらない場合の評価・・・・・・・・・・・・・・・・・・・・・・・・・・・・・・・・・・・・

# 1. 計算条件

# 1.1 ポンプ形式

ターボポンプであって、ケーシングが軸垂直割りで軸対称であるものに相当する。

# 1.2 計算部位

概要図に強度計算箇所を示す。

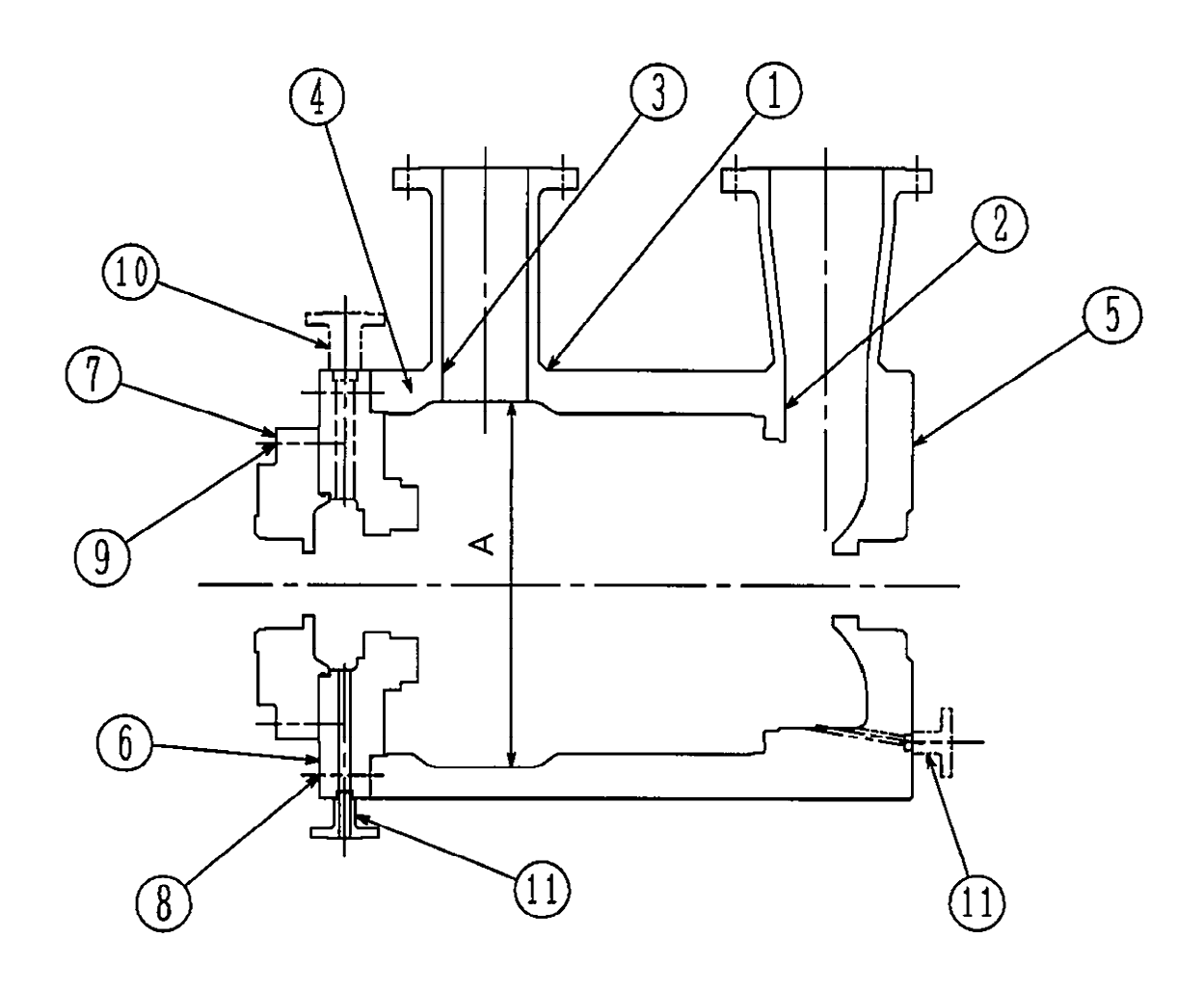


図 1-1 概要図

### 1.3 設計条件

設計条件	
最高使用圧力(MPa)	
最高使用温度(℃)	

### 2. 強度計算

# 2.1 ケーシングの厚さ

設計•建設規格 PMC-3320

計算部位	材料	P (MPa)	S (MPa)	A (mm)
1				

t (mm)	t so	t s

評価:  $t_s \ge t$ , よって十分である。

# 2.2 ケーシングの吸込み及び吐出口部分の厚さ

設計・建設規格 PMC-3330

(単位	:	mm)	

計算部位	r i	r m	$\ell$	t	$t_{\ell  o}$	$t_{_\ell}$
2						
3						

評価:  $t_\ell \ge t$ , よって十分である。

# 2.3 ケーシングのボルト穴

設計•建設規格 PMC-3340

計算部位	d <sub>b m</sub>	a	a so	a s	X	$X_{so}$	${f X}_{ m s}$
4							

(単位:mm)

評価: $a_s \ge a$ ,よって十分である。 評価: $X_s \ge X$ ,よって十分である。

# 2.4 ケーシングカバーの厚さ

設計•建設規格 PMC-3410

三上答 切 (大	材料	Р	S	平村	反形
計算部位		(MPa)	(MPa)	d (mm)	K
5					
6					
7					

t (mm)	t so	t s

評価:  $t_s \ge t$ , よって十分である。

# 2.5 ボルトの平均引張応力

設計・建設規格 PMC-3510

計算部位	材料	P (MPa)	S <sub>b</sub> (MPa)	dь (mm)	n	$A_{\rm b}$ (mm $^2$ )
8						
9						

ガスケット材料	ガスケット厚さ (mm)	ガスケット 座面形状	$G_s$ (mm)	G (mm)	$D_{\rm g}$ (mm)

H (N)	H <sub>p</sub> (N)	W <sub>m 1</sub> (N)	W <sub>m2</sub> (N)	W (N)	σ (MPa)

評価:  $\sigma \leq S_b$ , よって十分である。

# 2.6 耐圧部分等のうち管台に係るものの厚さ

設計•建設規格 PMC-3610

計算部位	材料	P (MPa)	S (MPa)	D <sub>o</sub> (mm)
10				
(1)				

継手の種類	放射線透過試験の有無	η

t (mm)	t so	t s

評価:  $t_s \ge t$ , よって十分である。

### 設計・建設規格における材料の規定によらない場合の評価の評価結果例

### 2.7 設計・建設規格における材料の規定によらない場合の評価

ケーシング (使用材料規格: J I S G ○○○○ △△△△) の評価結果

(比較材料: J I S G ○○○○ △△△△)

(材料記号を記載)

(1) 機械的強度

	引張強さ	降伏点又は耐力	比較結果
使用材料	370 N/mm²以上	215 N/mm²以上	- - 引張強さ及び降伏点は同等である。
比較材料	370 N/mm <sup>2</sup> 以上	215 N/mm <sup>2</sup> 以上	月球烛さ及の降仏点は向寺である。

### (2) 化学的成分

		化学成分(%)								
	С	Si	Mn	Р	S	Cu	Ni	Cr	Mo	V
使用材料	0. 25 以下	0.35 以下	0.30 ~ 0.90	0.040 以下	0.040 以下	_	_	_	_	_
比較材料	0.25 以下	0. 10 ~ 0. 35	0.30 ~ 0.90	0.035 以下	0.035 以下	_	_	_	_	_

Si, P, Sの成分規定に差異があるが、以下により、本設備の環境下での使用は問題ないと考える。

Si: 一般的に機械的強度に影響を与える成分であるが, (1)の評価結果からも機械 強度は同等以上であること。

比較 結果 P:冷間脆性に影響を与える成分であるが、本設備において使用される材料は、薄肉(16 mm 未満)であるため、脆性破壊が発生しがたい寸法の材料であること、さらには、設計・建設規格クラス2の規定でも破壊脆性試験が要求されない範囲であること。

S:熱間脆性に影響を与える成分であるが、本設備において使用される材料は、薄肉(16 mm 未満)であるため、脆性破壊が発生しがたい寸法の材料であること、さらには、設計・建設規格クラス2の規定でも破壊脆性試験が要求されない範囲であること。

#### (3) 評価結果

(1) (2) の評価により、機械的強度、化学成分、いずれにおいても比較材料と同等であることを確認したため、本設備において、 $\triangle\triangle\triangle$ を重大事故等クラス 2 材料として使用することに問題ないと考える。

(材料記号を記載)

V-3-2-11 重大事故等クラス2管の強度計算方法

### まえがき

本書は、工事計画認可申請書に添付する重大事故等クラス2管の強度計算について説明するものである。

本書は、添付書類「V-3-1-6 重大事故等クラス2機器及び重大事故等クラス2支持構造物の強度計算の基本方針」に基づき以下により構成される。

- 第一部 重大事故等クラス2管であってクラス2管の基本板厚計算方法
- 第二部 重大事故等クラス2管であってクラス2管の応力計算方法
- 第三部 重大事故等クラス2管であってクラス2管の規定によらない場合の強度計算方法
- 第四部 重大事故等クラス2管であってクラス1管の基本板厚計算方法
- 第五部 重大事故等クラス2管であってクラス1管の応力計算方法

第一部 重大事故等クラス2管であってクラス2管の基本板厚計算方法

# 目次

1	一般事項······ 1−1
1. 1	概要・・・・・・・・・・・・・・・・・・・・・・・・1-1
1.2	適用規格及び基準との適合性・・・・・・・・・・・・・・・・1-1
1.3	強度計算書の構成とその見方・・・・・・・・・・・・1-4
1.4	計算精度と数値の丸め方・・・・・・・・・1-5
1.5	材料の表示方法・・・・・・・・・・・・1-6
1.6	概略系統図の管継手及び仕様変更点の表示方法・・・・・・・・1-6
2. <u>Ī</u>	重大事故等クラス2管であってクラス2管の強度計算方法 · · · · · · · · · · · · · · · · · · ·
2. 1	共通記号・・・・・・・・・・・・・・・・1-7
2.2	管の板厚計算・・・・・・・・・・・・・・・1-8
2.3	平板の強度計算・・・・・・・・・・・・1-12
2.4	鏡板の強度計算・・・・・・・・・・・・1-23
2.5	レジューサの強度計算・・・・・・・・・1-26
2.6	管の穴と補強計算・・・・・・・・・・・1-29
2.7	フランジの強度計算・・・・・・・・・1-70
2.8	伸縮継手の強度計算・・・・・・・・・・・・・・・・・1-87
3. 責	<b>設計・建設規格における材料の規定によらない場合の評価・・・・・・・・・・・・・・・1-89</b>

#### 1. 一般事項

#### 1.1 概要

本書は、発電用原子力設備のうち重大事故等クラス2管であってクラス2管の基本板厚計算書(以下「基本板厚計算書」のことを「強度計算書」という。)について説明するものである。

#### 1.2 適用規格及び基準との適合性

(1) 強度計算は、発電用原子力設備規格(設計・建設規格(2005年版(2007年追補版含む。)) JSME S NC1-2005/2007) (日本機械学会 2007年9月) (以下「設計・建設規格」という。)及び昭和45年通商産業省告示第501号「発電用原子力設備に関する構造等の技術基準」(以下「告示第501号」という。)により行う。

設計・建設規格各規格番号及び告示第501号各条項と強度計算書との対応は、表1-1に示すとおりである。

(2) 設計・建設規格及び告示第501号に計算式の規定がないものについては、他の規格及び基準を適用して行う。

日本工業規格(以下「JIS」という。)と強度計算書との対応は、表1-2に示すとおりである。

- (3) 強度計算書で計算するもの以外の管継手は、以下に掲げる規格(形状及び寸法に関する部分に限る。)又は設計・建設規格 別表4に掲げるものとし、接続配管のスケジュール番号と同等以上のものを使用する。(設計・建設規格 PPC-3415)
  - a. JIS B 2312 (2001) 「配管用鋼製突合せ溶接式管継手」
  - b. JIS B 2313 (2001) 「配管用鋼板製突合せ溶接式管継手」
  - c. JIS B 2316 (1997) 「配管用鋼製差込み溶接式管継手」
- (4) 強度計算書で計算するもの以外のフランジ継手については、以下に掲げる規格(材料に関する部分を除く。)又は設計・建設規格 別表2に掲げるものを使用する。(設計・建設規格 PPC-3414)
  - a. JIS B 2238 (1996) 「鋼製管フランジ通則」
  - b. JIS B 2239 (1996) 「鋳鉄製管フランジ通則」
  - c. JIS B 8210 (1994) 「蒸気用及びガス用ばね安全弁」
- (5) 管の接続

管と管を接続する場合は、設計・建設規格より溶接継手、フランジ継手及び機械継手とする。

上記のうち機械継手は設計・建設規格 PPD-3430に記載されクラス3管として使用可能な継手であり、海水系配管のように重大事故等クラス2管として要求される機能が設計基準対象施設(クラス3管)と同じ機能である場合、強度に関する最高使用圧力及び最高使用温度が同じである事を確認し、機械継手を使用できるものとする。

なお、クラス2管とクラス3管に規定される計算上必要な厚さの規定は同様であり、機械 継手の強度評価は主要耐圧部材の厚さが計算上必要な厚さの規定以上であることを確認する。

表 1-1 設計・建設規格各規格番号及び告示第501号各条項と強度計算書との対応

카라. 7차하나비ሎ 4만ሎ죠.ㅁ	改年礼賞書の礼賞士	
設計・建設規格 規格番号 告示第501号 条項	強度計算書の計算式	備考
口小弟301万 未供	(章節番号)	
第 58 条	2. 2. 1	   管の板厚計算(告示第501号)
	2. 2. 1	官の似序計算(古小弟301万)
第 1 項第 1 亏 第 2 号		
第3号		
<del>対</del> 3 ク		
PPC-3411 (直管)	2. 2. 2	管の板厚計算(設計・建設規格)
PPC-3411(1)	2. 4	鏡板の強度計算(フランジ部)
PPC-3411 (2)	2. 5	レジューサの強度計算(フランジ)
PPC-3411 (3)		部)
PPC-3412 (曲げ管)		
PPC-3411 (直管) を準用する。		
PPC-3413(平板)	2. 3	平板の強度計算
PPC-3414 (フランジ)	2. 7	フランジの強度計算
PPC-3414(1)		(1.2(4) フランジ継手)
PPC-3414(2)		
PPC-3414(3)		
PPC-3415 (管継手)		1.2(3)管継手
PPC-3415(1)		
PPC-3415.1 (レジューサ)	2. 5	レジューサの強度計算
PPC-3415.1(1)		
PPC-3415. 1(2)		
PPC-3415.1(3)		
準用		
PVC-3124.2(外面に圧力を受ける円		レジューサの強度計算(円すい及
すい形の胴の厚さ)		びすその丸みの部分(外面に圧力
		を受けるもの))

設計・建設規格 規格番号	強度計算書の計算式	備考
告示第501号 条項	(章節番号)	
PPC-3415.2(鏡板)	2. 4	鏡板の強度計算
PPC-3415.2(1)		
PPC-3415. 2(2)		
PPC-3416 (伸縮継手)	2.8	伸縮継手の強度計算
	2. 6	
   第 60 条	2. 6. 1	   管の穴と補強計算(告示第501
準用	2. 0. 1	号)
第 31 条		,
第2項第2号イ,ハ		
第5項第1号		
第 2 号イ,口		
第6項第1号イ,ロ,ハ		
第2号イ,ロ,ハ		
第3号		
第4号		
第 5 号		
第6号イ,口		
第7号イ		
PPC-3420 (穴と補強)	2. 6. 2	管の穴と補強計算(設計・建設規
PPC-3421		格)
PPC-3422		
PPC-3423		
PPC-3424		
PPC-3422(3)	2. 3	平板の強度計算

表 1-2 JISと強度計算書との対応

JIS		強度計算書の計算式	備考
N o .	項	(章節番号)	佣石
J I S B 8 2 6 5 (2003)	2	2. 7	フランジの強度計算*
「圧力容器の構造ー一般事項」附	3		
属書 3(規定)「圧力容器のボルト	4		
締めフランジ」	5		

注記 \*:設計・建設規格 PPC-3414(2)により J I S B 8 2 6 5 (2003) 「圧力容器の構造 -一般事項」 (以下「 J I S B 8 2 6 5 」という。) の附属書 3 (規定) 「圧力 容器のボルト締めフランジ」を用いて計算を行う。

### 1.3 強度計算書の構成とその見方

- (1) 強度計算書は、本書と各配管の強度計算書からなる。
- (2) 各配管の強度計算書では、記号の説明及び計算式を省略しているので、本書によるものとする。
- (3) 各配管の強度計算書において、NO. の番号は概略系統図の丸で囲んだ番号を表す。

### 1.4 計算精度と数値の丸め方

計算の精度は6桁以上を確保する。

表示する数値の丸め方は表1-3に示すとおりとする。

表 1-3 表示する数値の丸め方

	数値の種類	単位	処理桁	処理方法	表示桁
圧	下記以外の圧力	MPa	小数点以下第3位	四捨五入	小数点以下第2位
	最高使用圧力	MPa	_	_	小数点以下第2位
力	外面に受ける最高	MPa	_		小数点以下第 2 位*2
//	の圧力	wir a			1.3X.W5V   24.2 LT
温度	# \$	$^{\circ}$	_	_	整数位
許容	序応力*1	MPa	小数点以下第1位	切捨て	整数位
算出	芯力	MPa	小数点以下第1位	切上げ	整数位
	下記以外の長さ	mm	小数点以下第3位	四捨五入	小数点以下第2位
長	計算上必要な厚さ	mm	小数点以下第3位	切上げ	小数点以下第2位
	最小厚さ	mm	小数点以下第3位	切捨て	小数点以下第2位
さ	ボルト谷径	mm	_	1	小数点以下第3位
	ガスケット厚さ	mm	_	1	小数点以下第1位
面積	Line.	mm <sup>2</sup>	有効数字 5 桁目	四捨五入	有効数字 4 桁*3
力		N	有効数字 5 桁目	四捨五入	有効数字 4 桁*3
モー	-メント	N•mm	有効数字 5 桁目	四捨五入	有効数字 4 桁*3
<del></del>	=	0	小数点以下第2位	四松工 7	小数点以下第1位
角度	<u> </u>		(小数点以下第1位)*4	四捨五入	(整数位)*4

注記 \*1: 設計・建設規格 付録材料図表及び告示第501号 別表に記載された温度の中間に おける許容引張応力及び設計降伏点は、比例法により補間した値の小数点以下第1位 を切り捨て、整数位までの値とする。(告示第501号は非SI単位をSI単位に換 算する。)

\*2:必要に応じて小数点以下第3位を用いる。

\*3:絶対値が1000以上のときは、べき数表示とする。

\*4:管の穴と補強計算の主管と分岐管とのなす角度に用いる。

#### 1.5 材料の表示方法

材料は次に従い表示するものとする。

(1) 設計・建設規格に定める材料記号を原則とする。

設計・建設規格に記載されていないが設計・建設規格に相当材が記載されている場合は, 次のように表示する。

相当材記号 相当(当該材記号)

(例1) SM400A 相当 (SMA400AP)

(例2) SCMV3-1 相当 (ASME SA387 Gr. 11Cl. 1)

(2) 管の強度計算書において管の製造方法の区別を表示するので、材料表示としては、製造方法の区別を特に表示しない。

(継目無管:S, 溶接管:W)

(3) 強度区分により許容引張応力の値が異なる場合、材料記号の後にJISで定める強度区分を付記する。

(例)

N 37		
設計	・建設規格の表示	計算書の表示
	/付録材料図表	
SCMV3	Part5 表5の許容	SCMV3-1
	く 引張応力の上段	
	(付録材料図表 )	
SCMV3	Part5 表5の許容	SCMV3-2
	く 引張応力の下段	

- (4) 使用する厚さ又は径等によって許容引張応力の値が異なる場合、材料記号の後に該当する 厚さ又は径等の範囲を付記して表示する。
  - (例) SS400 (16 mm<径≦40 mm)
- (5) ガスケット材料で非石綿の場合の表示は、各計算「記号の説明」の「計算書の表示」による。
  - (例) NON-ASBESTOS

なお、この場合のガスケット係数 (m) 及びガスケットの最小設計締付圧力 (y) は、 J I S B 8 2 6 5 附属書3 表2 備考3によりガスケットメーカ推奨値を適用する。

- 1.6 概略系統図の管継手及び仕様変更点の表示方法
  - (1) 管継手の表示方法

概略系統図において、計算対象となる管と管継手の区別をするために管継手のみの管番号に"\*"を付け、概略系統図中に"注記 \*:管継手"と表示する。

(2) 管の仕様変更点の表示方法

概略系統図中、管の途中において仕様変更が生じた場合は" ─● "のように表示する。

### 2. 重大事故等クラス2管であってクラス2管の強度計算方法

重大事故等クラス2管であってクラス2管の強度計算に用いる計算式と記号を以下に定める。

# 2.1 共通記号

特定の計算に限定せず、一般的に使用する記号を共通記号として次に掲げる。なお、以下に示す記号のうち、各計算において説明しているものはそれに従う。

設計・建設 規格又は 告示第501 号の記号	計算書の表示	表示内容	単位
	NO.	管, 平板, 鏡板, レジューサ, 管の穴, フラン	_
		ジ及び伸縮継手等の番号	
		数字のみ:管	
		B:平板	
		C:鏡板	
		R:レジューサ	
		T:管の穴	
		F:フランジ	
		E:伸縮継手	
		SP:穴あき管	
Р	Р	最高使用圧力 (内圧)	MPa
P e *	P <sub>e</sub>	外面に受ける最高の圧力	MPa
	Q	厚さの負の許容差	%, mm
η	η	継手の効率	_
		管及び鏡板は設計・建設規格 PVC-3130 によ	
		る。レジューサは設計・建設規格 PVC-3130 及	
		び PVC-3140 による。	
		告示第501号より計算を実施する場合、告示	
		第501号第31条第3項第1号による。	

注記 \*:告示第501号で使用されていない記号

### 2.2 管の板厚計算

管の板厚計算は、告示第501号第58条第1項又は設計・建設規格 PPC-3411を適用する。

# 2.2.1 管の板厚計算(告示第501号)

# (1) 記号の説明

告示第501 号の記号	計算書の表示	表示内容	単位
D 0	D o	管の外径	mm
S	S	最高使用温度における材料の許容引張応力	MPa
		告示第501号 別表第4及び別表第5によ	
		る。	
t	t	管の計算上必要な厚さ	mm
t	t op	管の計算上必要な厚さ	mm
	t r	管に必要な厚さ	mm
	t s	管の最小厚さ	mm
	t t	炭素鋼鋼管の告示第501号上必要な最小厚さ	mm
	算式	t rとして用いる値の算式	_
	製法		_
	S	継目無管	
	W	溶接管	

(2)	算式	
	管に必要な厚さは、次に掲げる値のいずれか大きい方の値とする。	
a.	内面に圧力を受ける管	
	告示第501号第58条第1項第1号により求めた値: t	
	$t = \frac{P \cdot D_{\circ}}{2 \cdot S \cdot \eta + 0.8 \cdot P} \qquad \dots$	(A)
b.	外面に圧力を受ける管	
	告示第501号第58条第1項第2号により求めた値: t。p	
		(B)
с.	炭素鋼鋼管の告示第501号上必要な最小厚さ: t t	
	告示第501号第58条第1項第3号により求めた値	(C)
(3)	評価	

- (4) 補足
  - a. 計算書中, 算式の項の文字は(2)a項, b項及びc項の文字A, B及びCに対応する。

管の最小厚さ  $(t_s)$  ≧管に必要な厚さ  $(t_r)$  ならば強度は十分である。

t, top又はttoいずれか大きい方の値をtrとする。

b. 曲げ管は、管に必要な厚さが確保されている場合は、直管と同等に考えるものとし、 表示はしないものとする。

# 2.2.2 管の板厚計算(設計・建設規格)

# (1) 記号の説明

設計・建設 規格の記号	計算書の表示	表示内容	単位
В	В	外面に圧力を受ける場合の計算に用いる係数	_
		設計・建設規格 付録材料図表 Part7 図 1~	
		図 20 により求めた値(Bを求める際に使用し	
		た板の厚さは繰返し計算により最終的にtopと	
		なる。)	
D 0	D <sub>o</sub>	管の外径	mm
$\ell$	$\ell$	管の座屈の長さ	mm
S	S	最高使用温度における材料の許容引張応力	MPa
		設計・建設規格 付録材料図表 Part5 表 5	
		による。	
t	t	管の計算上必要な厚さ	mm
t	t op	管の計算上必要な厚さ	mm
	t r	管に必要な厚さ	mm
	t s	管の最小厚さ	mm
	t t	炭素鋼鋼管の設計・建設規格上必要な最小厚さ	mm
	算式	t r として用いる値の算式	_
	製法		_
	S	継目無管	
	W	溶接管	

### (2) 算式

管に必要な厚さは、次に掲げる値のいずれか大きい方の値とする。

a. 内面に圧力を受ける管

設計・建設規格 PPC-3411(1)の式より求めた値: t

$$t = \frac{P \cdot D \circ}{2 \cdot S \cdot \eta + 0.8 \cdot P}$$
 (A)

b. 外面に圧力を受ける管

設計・建設規格 PPC-3411(2)の図PPC-3411-1より求めた値。ただし、図から求められない場合は次の式より求めた値: t 。p

$$t \circ p = \frac{3 \cdot P \cdot D \circ}{4 \cdot B}$$
 (B)

- c. 炭素鋼鋼管の設計・建設規格上必要な最小厚さ: t t
  - 設計・建設規格 PPC-3411(3)の表PPC-3411-1より求めた値 ……(C)
- (3) 評価

t,  $t_{op}$ 又は  $t_t$ のいずれか大きい方の値を  $t_r$ とする。 管の最小厚さ ( $t_s$ )  $\geq$ 管に必要な厚さ ( $t_r$ ) ならば強度は十分である。

- (4) 補足
  - a. 計算書中,算式の項の文字は(2)a項,b項及びc項の文字A,B及びCに対応する。
  - b. 曲げ管は、管に必要な厚さが確保されている場合は、直管と同等に考えるものとし、 表示はしないものとする。

# 2.3 平板の強度計算

平板の強度計算は、設計・建設規格 PPC-3413及び設計・建設規格 PPC-3422(3)を適用する。

# (1) 記号の説明

設計・建設			
規格又は	計算書の表示	表示内容	単位
JISの記号			
$A_b$	$A_{ m b}$	実際に使用するボルトの総有効断面積	$\text{mm}^2$
$A_{\mathrm{m}}$	$A_{\mathrm{m}}$	ボルトの総有効断面積	$\mathrm{mm}^2$
$A_{\mathrm{m}1}$	$A_{\mathrm{m}1}$	使用状態でのボルトの総有効断面積	$\mathrm{mm}^2$
$A_{\mathrm{m}2}$	$A_{\mathrm{m}2}$	ガスケット締付時のボルトの総有効断面積	$\mathrm{mm}^2$
b	b	ガスケット座の有効幅	mm
b <sub>o</sub>	b o	ガスケット座の基本幅(JIS B 8265	mm
		附属書3 表3による。)	
С	С	ボルト穴の中心円の直径	mm
d	d	設計・建設規格の表 PPC-3413-1 に規定する方	mm
		法によって測った平板の径又は最小内のり	
dь	dь	ボルトのねじ部の谷の径と軸部の径の最小部の	mm
		小さい方の径	
	d <sub>h</sub>	穴の径	mm
F	F	全体のボルトに作用する力	N
G	G	ガスケット反力円の直径	mm
	$G_s$	ガスケット接触面の外径	mm
Н	Н	内圧によってフランジに加わる全荷重	N
H <sub>Р</sub>	Н₽	気密を十分に保つためにガスケット又は継手接	N
		触面に加える圧縮力	
h g	h g	ボルトのピッチ円の直径とdとの差の2分の1	mm
K	K	平板の取付け方法による係数	_
$\ell$	$\ell$	フランジの長さ	mm
m	m	t <sub>r</sub> /t <sub>s</sub>	_
m	m g	ガスケット係数 (JIS B 8265 附属	_
		書3 表2による。)	
N	N	ガスケットの接触面の幅(JIS B 8265	mm
		附属書3 表3による。)	
n	n	ボルトの本数	_
r	r	すみの丸みの内半径	mm

⇒几⇒1。 Z井⇒几			
設計・建設 規格又は	   計算書の表示	表示内容	単位
JISの記号	可弄自少我//\	次为Y 1台	+117
S	S	最高使用温度における平板材料の許容引張応力	MPa
		設計・建設規格 付録材料図表 Part5 表 5	im a
		による	
			IID.
σа	S a	常温におけるボルト材料の許容引張応力	MPa
		設計・建設規格 付録材料図表 Part5 表 7	
		による	
σь	S <sub>b</sub>	最高使用温度におけるボルト材料の許容引張応	MPa
		カ	
		設計・建設規格 付録材料図表 Part5 表 7	
		による	
	S <sub>x</sub>	ボルトの許容引張応力(Sa又はSbのいずれか	MPa
		小さい方の値)	
	S 1	最高使用温度におけるねじ込み輪,分割リング	MPa
		   等の機械的装置の材料の許容引張応力	
		  設計・建設規格 付録材料図表 Part5 表 5	
		又は表 6 による	
t	t	平板の計算上必要な厚さ	mm
t c	t c	平板のすみ肉ののど厚 mm	
t <sub>f</sub> , t	t f	平板のフランジ部の厚さ	mm
t w	t i	平板ののど厚	mm
t n	t n	ガスケット溝を考慮した平板の厚さ	mm
t t	t p	平板の最小厚さ mm	
	t p o	平板の呼び厚さ	mm
t s	t s	管の最小厚さ	
t r	t r	継目のない管の計算上必要な厚さ	mm
		平板の溶接部の深さ	mm
tw, tw1	t w		mm
t <sub>w2</sub>	t <sub>w2</sub>	平板の溶接部の長さ	mm
W	W	パッキンの外径又は平板の接触面の外径内の面	N
***	***	積に作用する全圧力	NT.
W <sub>g</sub>	W <sub>g</sub>	ガスケット締付時のボルト荷重	N
W <sub>m 1</sub>	W <sub>m 1</sub>	使用状態での必要な最小ボルト荷重 N	
$W_{\mathrm{m}2}$	W <sub>m 2</sub>	ガスケット締付時に必要な最小ボルト荷重 N	
W <sub>o</sub>	W o	使用状態でのボルト荷重 N	
У	У	ガスケットの最小設計締付圧力	$N/mm^2$
		(JIS B 8265 附属書3 表2によ)	
		る。)	

設計・建設 規格又は JISの記号	計算書の表示	表示内容	単位
π	π	円周率	_
	σр	平板に作用する力によって生じる応力	MPa
	NON-ASBESTOS	非石綿ジョイントシート	_
	SUS-NON-	渦巻形金属ガスケット(非石綿)(ステンレス鋼)	_
	ASBESTOS		
	ガスケット座	JIS B 8265 附属書3 表2によ	_
	面の形状	る。	
	平板の取付け	平板の取付け方法で設計・建設規格 PPC-3413	_
	方法	の表 PPC-3413-1 による。	
$(a)\sim(n)$	2A~2N	取付け方法の表示区分	

# (2) 形状の制限

	取付け方法	形状の制限
(a)		無し
(b)	r≧0.25 · t <sub>f</sub>	$d \le 600$ mm, $d / 20 \le t_p < d / 4$ かつ, $r \ge 0.25 \cdot t_f$ であること。
(c)	$t_s t_f \qquad t_f \ge 2 \cdot t_s$ $t_p \qquad \qquad$	t f ≥2・t sかつ、r≥3・t f であること。
(d)	$\begin{array}{c} t_{f} \\ t_{f} \\ \end{array}$	$t_f \ge t_s$ かつ, $r \ge 1.5 \cdot t_f$ であること。
(e)	溶接部中心 t	r≧3・tfであること。

	取付け方法	形状の制限
(f)	<b>分割リング</b> カショウ	$0.8 \cdot S_1 \ge \sigma_p$ であること。
	ね じ込み 輪	
(g)		0.8・S <sub>x</sub> ≥ σ <sub>p</sub> であること。
(h)	t i t p 45 ° 以下	$t_i \ge 2 \cdot t_r$ かつ, $t_i \ge 1.25 \cdot t_s$ であること。
(i)	$\begin{array}{c ccccccccccccccccccccccccccccccccccc$	$t_w + t_{w2} \ge 2 \cdot t_s$ , $t_w \ge t_s$ かつ, $t_s \ge 1.25 \cdot t_r$ であること。

	取付け方法	形状の制限
(j)	t c  t c  t c  t c  t c  t c  t c  t c	<ul> <li>(1) 平板が鍛造品で、かつ、平板の面からの開 先角度が 45° 未満の場合</li> <li>tw≧Min (0.5・ts, 0.25・tp) かつ、 tc≧Min (0.7・ts, 6 mm) であること。</li> <li>(2) (1)以外の場合</li> <li>tw≧Min (ts, 0.5・tp) かつ、 tc≧Min (0.7・ts, 6 mm) であること。</li> </ul>
(k)	t c t s d	t c ≧ Min (0.7・t s, 6 mm) であること。
(1)	$t_{w}$ $t_{w}$ $t_{w}$ $t_{w}$	tw+tw2≧2・tsであること。

	取付け方法	形状の制限
(m)	t <sub>p</sub> p	無し
(n)	その他の場合	無し

# (3) 算式

平板の計算上必要な厚さは,次の式による値とする。

a. 平板に穴がない場合

$$t = d \cdot \sqrt{\frac{K \cdot P}{S}}$$

Kの値は以下による。

取付け方法	Kの値
(a)	0. 17
(b)	0.13
(c)	0.17
(d)	Max $(0.33 \cdot m, 0.2)$ $m = t_r / t_s$
(e)	0.17*1
	0.10
(f)	0. 20
(g)	0.20*2
(h)	Max $(0.33 \cdot m, 0.2)$ $m = t_r / t_s$
(i)	0. 33
(j)	
(k)	Max $(0.33 \cdot m, 0.2)$ $m = t_r / t_s$
$(\ell)$	
(m)	$0.20 + \frac{1.0 \cdot F \cdot h g}{W \cdot d}$
	ただし、 t nの厚さの場合は
	1.0 · F · h g *3
	W·d
(n)	0.50

# 注記 \*1:取付け方法(e)の場合

 $t_f$ から  $t_s$ へ移行するテーパが 1 対 4 又はそれより緩やかであり、かつ、以下の(a) 又は(b) いずれかの場合、K=0.10 とできる。

(a) 
$$\ell \ge \left(1.1 - 0.8 \cdot \frac{\mathsf{t} \cdot \mathsf{s}^2}{\mathsf{t} \cdot \mathsf{f}^2}\right) \cdot \sqrt{\mathsf{d} \cdot \mathsf{t} \cdot \mathsf{f}}$$
 の場合

(b) 管が
$$2 \cdot \sqrt{d \cdot t}$$
 以上の長さにわたって 
$$t s \ge 1.12 \cdot t f \cdot \sqrt{1.1 - \ell/\sqrt{d \cdot t} f}$$
 の場合

### 注記 \*2: 取付け方法 (g) の場合の $\sigma$ pは以下による。

(a) ガスケット座の有効幅及びガスケット反力円の直径

ガスケット座の有効幅(b)及びガスケット反力円の直径(G)は、ガスケット座の基本幅(b。)に従い以下のように求める。

$$b \circ \le 6.35 \text{ mm}$$
 の場合  $b = b \circ$   $G = G \circ N$   $b \circ > 6.35 \text{ mm}$  の場合  $b = 2.52 \cdot \sqrt{b \circ}$   $G = G \circ -2 \cdot b$ 

ただし、b。はJIS B 8265 附属書3 表3による。

$$d = G$$

- (b) 計算上必要なボルト荷重
  - イ. 使用状態で必要なボルト荷重

$$W_{m1} = H + H_{P}$$

$$H = \frac{\pi}{4} \cdot G^{2} \cdot P$$

$$W = H$$

$$H_{p} = 2 \cdot \pi \cdot b \cdot G \cdot m_{g} \cdot P$$

ただし、Pは2.7項(1)のフランジの強度計算の記号の説明による。

ロ. ガスケット締付時に必要なボルト荷重

$$W_{m2} = \pi \cdot b \cdot G \cdot y$$

(c) ボルトの総有効断面積及び実際に使用するボルトの総有効断面積

$$A_{m\,1} = \frac{W_{m\,1}}{S_b}$$
 (使用状態) 
$$A_{m\,2} = \frac{W_{m\,2}}{S_a}$$
 (ガスケット締付時) 
$$A_m = Max(A_{m\,1}, A_{m\,2})$$
  $A_b = \frac{\pi}{4} \cdot d_b^2 \cdot n$ 

(d) フランジの計算に用いるボルト荷重

$$W_o = W_{m1}$$
 (使用状態)
 $W_g = \left(\frac{A_m + A_b}{2}\right) \cdot S_a$  (ガスケット締付時)
 $F = Max(W_o, W_g)$ 

(e) 平板に作用する力によって生じるボルトの応力

$$\sigma_p = \frac{F}{A_p}$$

注記 \*3:取付け方法(m)の場合のF, hg, W及びdは以下による。

(a) ガスケット座の有効幅及びガスケット反力円の直径

ガスケット座の有効幅(b)及びガスケット反力円の直径(G)は,ガスケット座の基本幅(b。)に従い以下のように求める。

$$b \circ \le 6.35 mm$$
の場合  
 $b = b \circ$   
 $G = G \circ N$ 

$$b \circ > 6.35 mm$$
 の場合  
 $b = 2.52 \cdot \sqrt{b \circ}$   
 $G = G \circ -2 \cdot b$ 

ただし、b。はJIS B 8265 附属書3 表3による。

$$d = G$$

- (b) 計算上必要なボルト荷重
- イ. 使用状態で必要なボルト荷重

$$W_{m1} = H + H_{P}$$

$$H = \frac{\pi}{4} \cdot G^{2} \cdot P$$

$$W = H$$

$$H_P=2 \cdot \pi \cdot b \cdot G \cdot m_g \cdot P$$

ただし、Pは2.7項(1)のフランジの強度計算の記号の説明による。

ロ. ガスケット締付時に必要なボルト荷重

$$W_{m2} = \pi \cdot b \cdot G \cdot y$$

(c) ボルトの総有効断面積及び実際に使用するボルトの総有効断面積

$$A_{m1} = \frac{W_{m1}}{S_b}$$
 (使用状態)
 $A_{m2} = \frac{W_{m2}}{S_a}$  (ガスケット締付時)
 $A_{m} = Max(A_{m1}, A_{m2})$ 
 $A_{b} = \frac{\pi}{4} \cdot d_{b}^{2} \cdot n$ 

(d) フランジの計算に用いるボルト荷重

$$W_o = W_{m\,1}$$
 (使用状態) 
$$W_g = \left(\frac{A_m + A_b}{2}\right) \cdot S_a \quad (ガスケット締付時)$$
  $F = Max(W_o, W_g)$ 

- (e) 使用状態でのフランジ荷重に対するモーメントアーム  $h \ \mathbf{g} = \frac{\mathbf{C} \mathbf{G}}{2}$
- b. 平板に穴を設ける場合は、設計・建設規格 PPC-3422(3)により平板の計算上必要な厚さ を、次の式より計算した値とする。
  - (a) 穴の径( $d_h$ )が平板の径又は最小内のり(d)の値の2分の1以下の場合  $t=d\cdot\sqrt{\frac{2\cdot K\cdot P}{S}}$

ただし、Kの値は(m)の取付け方法を除き 0.375 以上とすることを要しない。

(b) 穴の径  $(d_h)$  が平板の径又は最小内のり (d) の値の2分の1を超える場合

$$t = d \cdot \sqrt{\frac{2.25 \cdot K \cdot P}{S}}$$

(4) 評価

平板の最小厚さ(t<sub>n</sub>)≧平板の計算上必要な厚さ(t)ならば強度は十分である。

- (5) 補足
  - a. 取付け方法は、設計・建設規格 PPC-3413の表PPC-3413-1の条件を満足するものとする。
  - b. スペクタクルフランジの取付け方法は(g)タイプとする。

# 2.4 鏡板の強度計算

鏡板の強度計算は、設計・建設規格 PPC-3415.2及び設計・建設規格 PPC-3411を適用する。

# (1) 記号の説明

設計・建設 規格の記号	計算書の表示	表示内容	単位
В	В	中高面に圧力を受ける場合の計算に用いる係数	_
		設計・建設規格 付録材料図表 Part7 図 1~	
		図 20 により求めた値	
		(Bを求める際に使用した板の厚さは繰返し計	
		算により最終的に t となる。)	
D	D	半だ円形鏡板の内面における長径	mm
D 0	D o	鏡板が取り付けられる管の外径	mm
		(フランジ部の外径に同じ。)	
	D <sub>oc</sub>	さら形鏡板の外径	mm
h	h	半だ円形鏡板の内面における短径の2分の1	mm
K	K	半だ円形鏡板の形状による係数	_
K	K <sub>K</sub>	半だ円形鏡板の中高面に圧力を受ける場合の計	_
		算に用いる係数	
		設計・建設規格 PPC-3415.2(2)f.の表 PPC-	
		3415.2-1 による。	
R	R	さら形鏡板の中央部における内半径又は全半球	mm
		形鏡板の内半径	
R	$R_{\mathrm{D}}$	さら形又は全半球形鏡板の中央部の外半径	mm
		R <sub>D</sub> =R+ (最小厚さ)	
R	R <sub>R</sub>	半だ円形鏡板の外面の長径	mm
		R <sub>R</sub> =D+2・(最小厚さ)	
r	r	さら形鏡板のすみの丸みの内半径	mm
S	S	最高使用温度における材料の許容引張応力	MPa
		設計・建設規格 付録材料図表 Part5 表 5	
		による。	
t	t	鏡板の鏡部及びフランジ部の計算上必要な厚さ	mm
	t c	鏡板の最小厚さ	mm
	t c o	鏡板の公称厚さ	mm
W	W	さら形鏡板の形状による係数	_
	形式	鏡板の形式及び計算箇所を示す名称	_
	算式	t として用いる値の算式	_

### (2) 算式

鏡板の計算上必要な厚さは、次に掲げる値とする。

a. さら形鏡板鏡部

形状は設計・建設規格 PPC-3415.2(1)a. により以下とする。

$$D \circ c \ge R$$

$$r \ge 3 \cdot t \cdot c \circ$$

$$r \ge 0.06 \cdot D \circ c$$

 $r \ge 50mm$ 

設計・建設規格 PPC-3415.2(2)a.の式PPC-1.12又は設計・建設規格 PPC-3415.2(2)b. の式PPC-1.14より求めた値

(a) 中低面に圧力を受けるもの

$$t = \frac{P \cdot R \cdot W}{2 \cdot S \cdot \eta - 0.2 \cdot P}$$
 (A)

ただし,

$$W = \frac{1}{4} \cdot \left( 3 + \sqrt{\frac{R}{r}} \right)$$

(b) 中高面に圧力を受けるもの

$$t = \frac{P \cdot R_D}{B} \qquad (A')$$

b. 全半球形鏡板鏡部

設計・建設規格 PPC-3415.2(2) c. の式PPC-1.15又は設計・建設規格 PPC-3415.2(2) d. の式PPC-1.16より求めた値

(a) 中低面に圧力を受けるもの

$$t = \frac{P \cdot R}{2 \cdot S \cdot \eta - 0.2 \cdot P}$$
 (B)

(b) 中高面に圧力を受けるもの

$$t = \frac{P \cdot R D}{B} \qquad (B')$$

c. 半だ円形鏡板鏡部

形状は設計・建設規格 PPC-3415.2(1)c. により以下とする。

$$2 \ge \frac{D}{2 \cdot h}$$

設計・建設規格 PPC-3415.2(2)e.の式PPC-1.17又は設計・建設規格 PPC-3415.2(2)f. より求めた値

(a) 中低面に圧力を受けるもの

$$t = \frac{P \cdot D \cdot K}{2 \cdot S \cdot n - 0.2 \cdot P} \qquad (C)$$

ただし

$$K = \frac{1}{6} \cdot \left\{ 2 + \left( \frac{D}{2 \cdot h} \right)^2 \right\}$$

(b) 中高面に圧力を受けるもの

$$t = \frac{P \cdot K_K \cdot R_R}{B} \qquad (C')$$

d. 鏡板のフランジ部

設計・建設規格 PPC-3411により求めた値

- (a) 内面に圧力を受ける管 ······ (D)
- (b) 外面に圧力を受ける管 ····· (D')
- (c) 炭素鋼鋼管の設計・建設規格上必要な最小厚さ .....(D'') (a), (b)又は(c)のいずれか大きい方の値とする。
- (3) 評価

鏡板の最小厚さ (t。) ≧鏡部 (上段) 及びフランジ部 (下段) の計算上必要な厚さ (t) ならば強度は十分である。

(4) 補足

計算書中,算式の項の文字は(2)a項,b項,c項及びd項の文字A,A',B,B',C,C',D,D'及びD''に対応する。

# 2.5 レジューサの強度計算

レジューサの強度計算は、設計・建設規格 PPC-3415.1 (設計・建設規格 PVC-3124.2準用) 及び設計・建設規格 PPC-3411を適用する。

# (1) 記号の説明

設計・建設 規格の記号	計算書の表示	表示内容	単位
В	В	外面に圧力を受ける場合の計算に用いる係数	_
		設計・建設規格 付録材料図表 Part7 図 $1\sim$	
		図 20 により求めた値	
		(Bを求める際に使用した板の厚さは繰返し計	
		算により最終的に t 3となる。)	
D i	D i	円すいの部分がすその丸みの部分に接続する部	mm
		分の軸に垂直な断面の内径	
Dо	D <sub>o</sub>	レジューサのフランジ部の外径	mm
	D o l	大径端側の外径	mm
K	K	設計・建設規格 PPC-3415.1(3)の図 PPC-	_
		3415.1-1 より求めた係数	
$r$ , $r_0$ , $r_s$	r	円すいのすその丸みの部分の内半径	mm
		(円すいの丸みの外半径)	
S	S	最高使用温度における材料の許容引張応力	MPa
		設計・建設規格 付録材料図表 Part5 表 5	
		又は表 6 による。	
S	S <sub>1</sub>	最高使用温度における設計・建設規格 付録材	MPa
		料図表 Part5 表 5 又は表 6 に定める値の 2	
		倍,又は設計・建設規格 付録材料図表	
		Part5 表 8 に定める値の 0.9 倍の値のいずれか	
		小さい方の値	
t	t	レジューサの計算上必要な厚さ	mm
	t 1	円すいの部分の計算上必要な厚さ	mm
	t 2	すその丸みの部分の計算上必要な厚さ	mm
	t 3	外面に圧力を受ける場合の計算上必要な厚さ	mm
	t s	レジューサの最小厚さ	mm
	t s l	大径端側の最小厚さ	mm
W	W	円すいの形状による係数	_
θ	θ	円すいの頂角の2分の1	0

設計・建設 規格の記号	計算書の表示	表示内容	単位
	算式	t として用いる値の算式(計算上必要な厚さが	1
		最大となる算式)	
	端部記号	大径端、小径端及びフランジ部を示す名称	_

#### (2) 算式

レジューサの計算上必要な厚さは、次に掲げる値とし、大径端側及び小径端側のそれぞれ について計算を行う。

a. 円すいの部分(内面に圧力を受けるもの)

設計・建設規格 PPC-3415.1(1)a.の式PPC-1.8より求めた値

$$t_{1} = \frac{P \cdot D_{i}}{2 \cdot \cos \theta \cdot (S \cdot \eta - 0.6 \cdot P)}$$
 (A)

b. すその丸みの部分(内面に圧力を受けるもの)

大径端側

設計・建設規格 PPC-3415.1(1)b.の式PPC-1.9より求めた値

$$t_{2} = \frac{P \cdot D_{i} \cdot W}{4 \cdot \cos \theta \cdot (S \cdot \eta - 0.1 \cdot P)} \qquad \dots$$

> (B)

ただし,

$$W = \frac{1}{4} \cdot \left( 3 + \sqrt{\frac{D i}{2 \cdot r \cdot \cos \theta}} \right)$$

小径端側

設計・建設規格 PPC-3415.1(3)の式PPC-1.11より求めた値

$$t_2 = \frac{K}{\eta} \cdot \frac{P \cdot D \cdot O}{2 \cdot S + 0.8 \cdot P}$$

ただし、Kは設計・建設規格 PPC-3415.1(3)の図PPC-3415.1-1より求めた値

c. レジューサのフランジ部

設計・建設規格 PPC-3411により求めた値

- (a) 内面に圧力を受ける管 .....(C)
- (b) 外面に圧力を受ける管 ····· (C')
- (c) 炭素鋼鋼管の設計・建設規格上必要な最小厚さ …………(C'')
  - (a), (b) 又は(c) のいずれか大きい方の値とする。

- d. 円すい及びすその丸みの部分(外面に圧力を受けるもの) 設計・建設規格 PVC-3124.2により求める。
  - (a) 円すいの頂角の2分の1が22.5°以下のもの
  - イ. 外面に圧力を受ける場合の計算上必要な厚さが外径の0.1倍以下の場合

$$t_{3} = \frac{3 \cdot P_{e} \cdot D_{o}}{4 \cdot B} \qquad (D)$$

ただし、D。=D。, 長さは円すい部の軸方向の長さとする。

ロ. 外面に圧力を受ける場合の計算上必要な厚さが外径の0.1倍を超える場合 次の2つの式より計算したいずれか大きい方の値

$$t_{3} = \frac{D_{o} \cdot (P_{e} / B + 0.0833)}{2.167}$$

$$t_{3} = \frac{D_{o}}{2} \cdot \left(1 - \sqrt{1 - \frac{2 \cdot P_{e}}{S_{1}}}\right)$$
(D')

ただし、D。=D。, 長さは円すい部の軸方向の長さとする。

- (b) 円すいの頂角の2分の1が22.5° を超え60°以下のもの
- イ. 外面に圧力を受ける場合の計算上必要な厚さが外径の0.1倍以下の場合

$$t_{3} = \frac{3 \cdot P_{e} \cdot (D_{o} - 2 \cdot t_{s})}{4 \cdot B} \qquad (D'')$$

ただし、 $D_o = D_{o_\ell}$ 、 $t_s = t_{s_\ell}$ 、長さは  $(D_{o_\ell} - 2 \cdot t_{s_\ell})$  とする。

ロ. 外面に圧力を受ける場合の計算上必要な厚さが外径の0.1倍を超える場合 次の2つの式より計算したいずれか大きい方の値

$$t_{3} = \frac{(D_{0} - 2 \cdot t_{s}) \cdot (P_{e} / B + 0.0833)}{2.167}$$

$$t_{3} = \frac{(D_{0} - 2 \cdot t_{s})}{2} \cdot \left(1 - \sqrt{1 - \frac{2 \cdot P_{e}}{S_{1}}}\right)$$
.....(D''')

ただし、 $D_o = D_{o\ell}$ 、 $t_s = t_{s\ell}$ 、長さは  $(D_{o\ell} - 2 \cdot t_{s\ell})$  とする。

(3) 評価

大径端側及び小径端側のそれぞれについて、レジューサの最小厚さ( $t_s$ )  $\geq \nu$ ジューサの計算上必要な厚さ(t) ならば強度は十分である。

- (4) 補足
  - a. 計算書中, NO. (レジューサの番号)に\*印の付いているものは, 偏心レジューサを示す。
  - b. 偏心レジューサの場合の θは、円すいの頂角をそのまま使用する。
  - c. 計算書中, 算式の項の文字は(2)a項, b項, c項及びd項の文字A, B, C, C', C'', D, D', D'', 及びD'''に対応する。

### 2.6 管の穴と補強計算

# 2.6.1 管の穴と補強計算(告示第501号)

管の穴と補強計算は、告示第501号第60条(第31条第2項、第5項及び第6項準用) を適用する。告示第501号に関する記載は、全て直管又は曲げ管の場合のみに限る。

### (1) 記号の説明

	告示第501 号の記号	計算書の表示	表示内容	単位
	В	В	外面に圧力を受ける場合の計算に用いる係数	_
			告示第501号 別図第1~第8により求めた値	
			(Bを求める際に使用した板の厚さは繰返し計算に	
			より最終的に t b r 及び t r r となる。)	
直	D, D <sub>0</sub>	D o r	主管の外径	mm
管	d	d	断面に現われる穴の径	mm
	d	$d_{\rm \ f\ r}$	補強を要しない穴の最大径	mm
又	K	K	穴の補強計算の係数	_
は			$\left(=\frac{P \cdot D \cdot r}{1.82 \cdot S \cdot r \cdot \eta \cdot t \cdot r}\right)$	
曲				
げ		$Q_r$	主管の厚さの負の許容差	%, mm
	S	S <sub>r</sub>	最高使用温度における主管の材料の許容引張応力	MPa
管			告示第501号 別表第4又は別表第5による。	
の	t s	t r	主管の最小厚さ	mm
記		t <sub>ro</sub>	主管の公称厚さ	mm
	t, t <sub>sr</sub>	t r r	主管の計算上必要な厚さ	mm
号	η	η	継手の効率	_
			穴が管の長手継手を通る場合	
			告示第501号第60条(第31条第3項第1号準	
			用)に規定する効率	
			その他の場合は 1.00 とする。	

•	告示第501 号の記号	計算書の表示	表示内容	単位
	A	$A_0$	穴の補強に有効な面積の総和	$\mathrm{mm}^2$
		$A_1$	穴の補強に有効な主管部の面積	$\mathrm{mm}^2$
		$A_2$	穴の補強に有効な管台部の面積	$\mathrm{mm}^2$
		$A_3$	穴の補強に有効なすみ肉部の面積	$\mathrm{mm}^2$
		$A_4$	穴の補強に有効な強め材部の面積	$\mathrm{mm}^2$
	A <sub>r</sub>	A <sub>r</sub>	穴の補強に必要な面積	$\mathrm{mm}^2$
		$A_{rD}$	大穴の補強に必要な面積	$\mathrm{mm}^2$
		$A_{0D}$	大穴の補強に有効な面積の総和	$\mathrm{mm}^2$
直		$A_{1D}$	大穴の補強に有効な主管部の面積	$\mathrm{mm}^2$
		$A_{2D}$	大穴の補強に有効な管台部の面積	$\mathrm{mm}^2$
管		$A_{3D}$	大穴の補強に有効なすみ肉部の面積	$\mathrm{mm}^2$
		$A_{4D}$	大穴の補強に有効な強め材部の面積	$\mathrm{mm}^2$
又	A s	A s r	2 つの穴の間の主管の必要な断面積	$\mathrm{mm}^2$
は		A s o	2 つの穴の間の主管の断面積	$\mathrm{mm}^2$
10		$A_{r\ i}$	2つの穴の補強に必要な面積	$\mathrm{mm}^2$
曲		$A_{ m o~i}$	2 つの穴の間にある補強に有効な面積	$\mathrm{mm}^2$
		$A_{r s}$	隣接する穴の補強に必要な面積	$\mathrm{mm}^2$
げ		$A_{2\ s}$	隣接する穴の補強に有効な管台部の面積	$\mathrm{mm}^2$
for for		$A_{3\ s}$	隣接する穴の補強に有効なすみ肉部の面積	$\mathrm{mm}^2$
管		$A_{4\ s}$	隣接する穴の補強に有効な強め材部の面積	$\mathrm{mm}^2$
<b>の</b>	D i	$D_{\ i\ b}$	管台の内径	mm
		D <sub>ir</sub>	主管の内径	mm
記		$\mathrm{D}_{\mathrm{o}\mathrm{b}}$	管台の外径	mm
		D o e	強め材の外径	mm
号	d	$d_{\mathrm{D}}$	断面に現われる隣接する穴の径	mm
		$d_{\ f\ r\ D}$	大穴の補強を要しない限界径	mm
		d <sub>r 1</sub>	補強を要しない穴の最大径	mm
		d <sub>r 2</sub>	補強を要しない穴の最大径	mm
	F	F	告示第501号第60条(第31条第6項第1号口	_
			(イ)準用) により求められる係数	
		F 1	すみ肉溶接のせん断応力係数	_
		F 2	突合せ溶接の引張応力係数	_
		Fз	突合せ溶接のせん断応力係数	_

	告示第501 号の記号	計算書の表示	表示内容	単位
		L	2つの穴の径の平均値の3分の4倍の値	mm
		LA	穴の中心線に平行な直線で区切られる補強に有効な	mm
			範囲	
		$L_{AD}$	穴の中心線に平行な直線で区切られる大穴の補強に	mm
			有効な範囲	
		L <sub>N</sub>	主管の面に平行な直線で区切られる補強に有効な範	mm
			囲	
-#-		$L_{ m ND}$	主管の面に平行な直線で区切られる大穴の補強に有	mm
直			効な範囲	
管	$\ell$	L s	2つの穴の中心間の距離	mm
		L 1	管台のすみ肉部の脚長 (A形, B形) 又は管台補強	mm
又			部の短辺長さ(C形)	
		L 2	強め材のすみ肉部の脚長	mm
は	Р	Р	最高使用圧力又は外面に受ける最高の圧力	MPa
		$Q_{\mathrm{b}}$	管台の厚さの負の許容差	%, mm
曲	S	S <sub>b</sub>	最高使用温度における管台の材料の許容引張応力	MPa
げ			告示第501号 別表第4及び別表第5による。	
管	S	S e	最高使用温度における強め材の材料の許容引張応力	MPa
			告示第501号 別表第4及び別表第5による。	
0				
≓⊐		$S_{w1}$	すみ肉溶接の許容せん断応力	MPa
記		S w 2	突合せ溶接の許容引張応力	MPa
号		S w 3	突合せ溶接の許容せん断応力	MPa
	t n	t <sub>b</sub>	管台の最小厚さ	mm
		t <sub>b n</sub>	管台の公称厚さ	mm
	t	t <sub>b r</sub>	管台の計算上必要な厚さ	mm
		t e	強め材の最小厚さ	mm
		W	溶接部の負うべき荷重	N
		W e 1	管台取付部すみ肉溶接部の許容せん断力	N
		W e 2	管台取付部突合せ溶接部の許容せん断力	N

	告示第501 号の記号	計算書の表示	表示内容	単位
		W e 3	管台取付部突合せ溶接部の許容せん断力	N
直		W e 4	強め材取付部突合せ溶接部の許容引張力	N
直管又は曲げ管の		W e 5	強め材取付部すみ肉溶接部の許容せん断力	N
うは出		W <sub>ebp1</sub>	予想される破断箇所の強さ	N
一世げ		W <sub>ebp2</sub>	予想される破断箇所の強さ	N
管の		W <sub>ebp3</sub>	予想される破断箇所の強さ	N
記号	θ	$\alpha$	分岐管の中心線と主管の中心線との交角	٥
万		π	円周率	_
		形式	管台の取付け形式	_

### (2) 計算手順及び算式

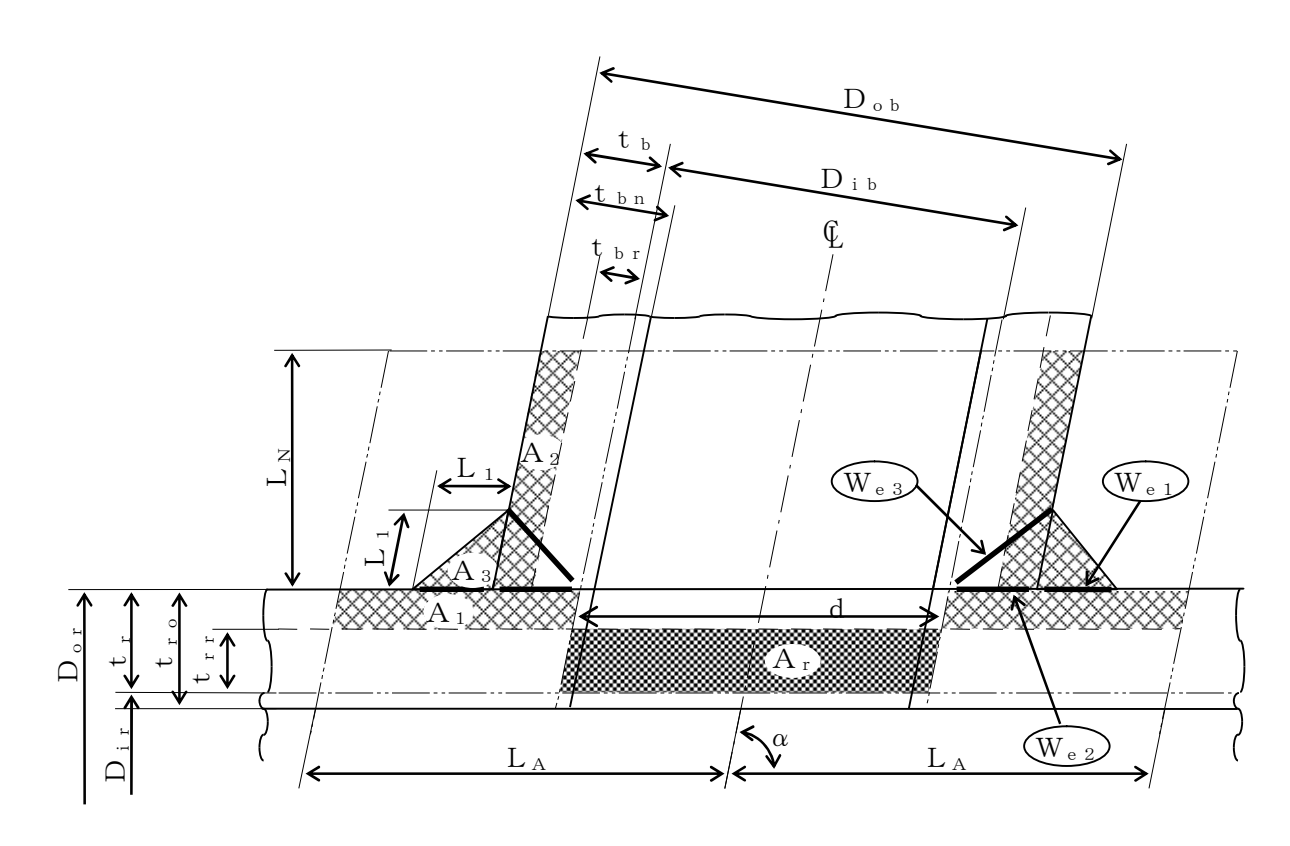
### a. 穴の形状

管に設ける穴は、告示第501号第60条(第31条第5項第1号準用)により円形又はだ 円形であること。

### b. 管台の取付け形式

図2-1~図2-3に管台の取付け形式及び予想される破断形式を示す。

ただし, すみ肉溶接部分の破断箇所については, 両方の脚長が等しいため, 片側の脚 長の破断形式のみを図示する。



補強に有効な面積

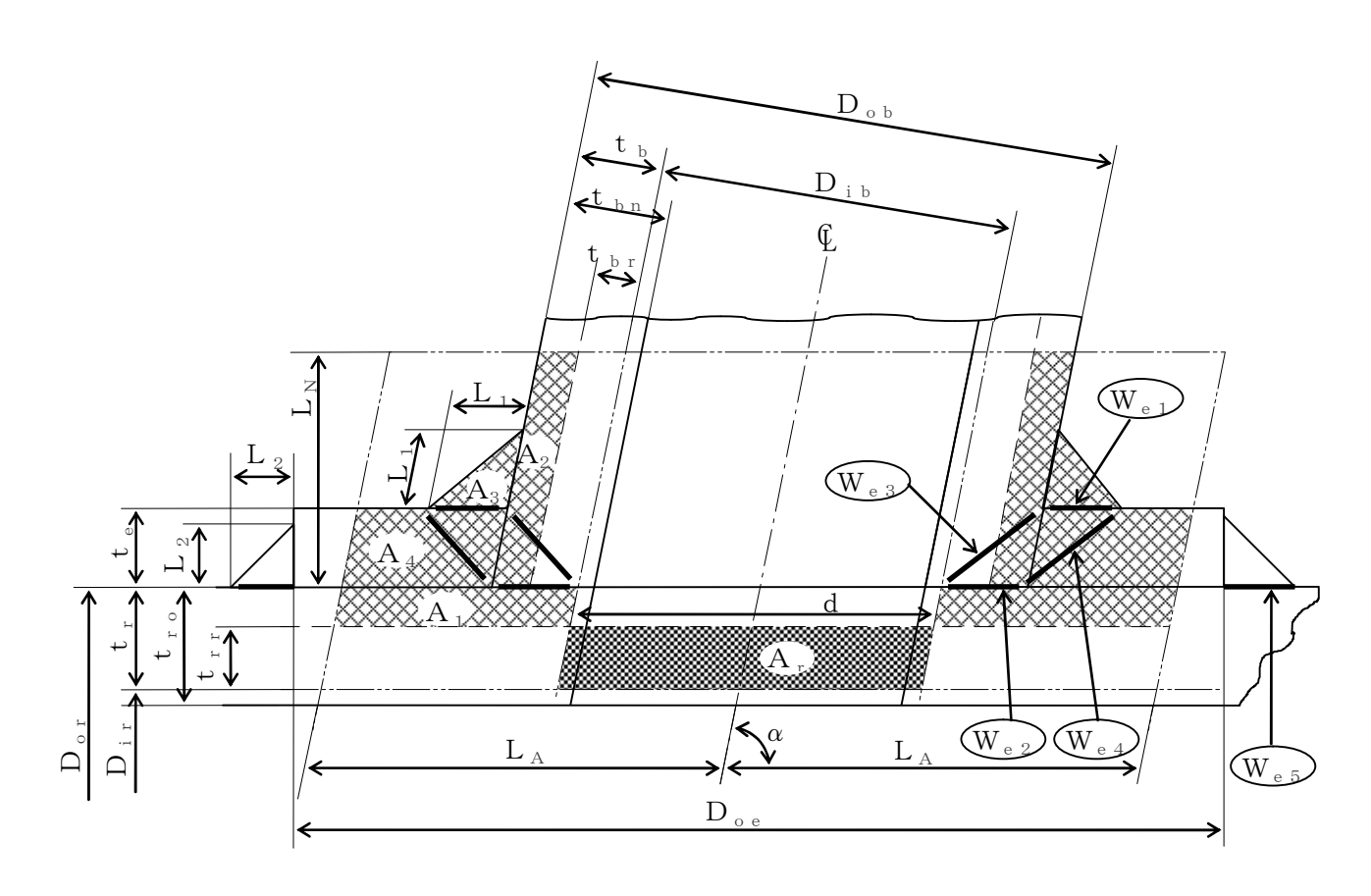
補強に必要な面積

予想される破断形式

・(W<sub>e3</sub>) を通る破断

(W<sub>e 1</sub>) (W<sub>e 2</sub>) を通る破断

図 2-1 A形 (強め材のない場合)

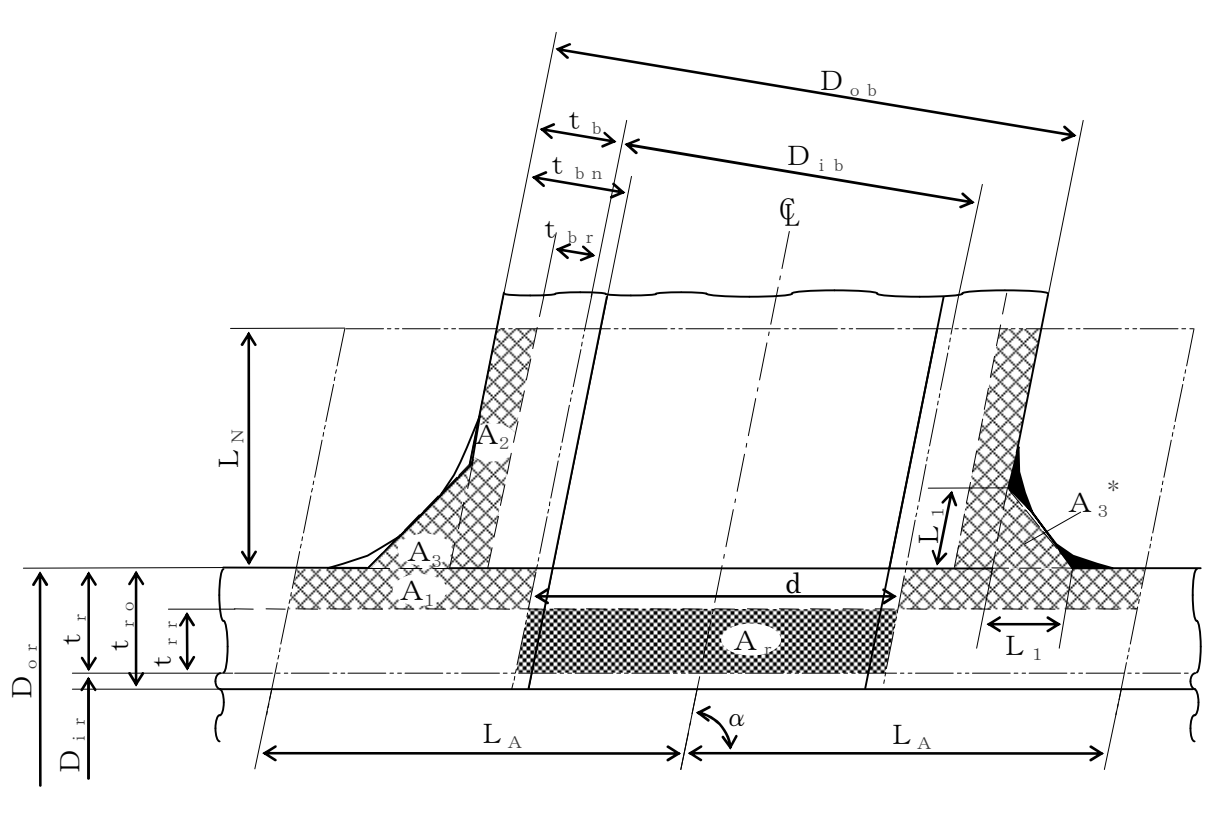


補強に必要な面積

# 予想される破断形式

- ・W<sub>e D</sub> W<sub>e 3</sub> を通る破断
- ・ W<sub>e 2</sub> W<sub>e 4</sub> を通る破断
- W<sub>e 2</sub> W<sub>e 5</sub> を通る破断

図 2-2 B形 (強め材のある場合)



補強に有効な面積 補強に必要な面積

注記 \*:本形式における補強に有効な面積 $A_3$ はA形及びB形と同様に $A_3 = (L_1)^2 \cdot \sin \alpha \cdot S_b / S_r$ (上記 ※※部)として算出するものとし、同補強部外側の余肉部(上記 部)は、補強面積評価上は考慮しない。

図 2-3 C形 (一体形で強め材のない場合)

c. 穴の補強の要否

穴の補強の要否は、告示第501号第60条(第31条第5項第2号イ、ロ準用)を適用する。

(a) 算式

補強を要しない穴の最大径は、次のイ項又はロ項で計算した値のいずれか大きい値  $(d_{fr})$  とする。

- イ. 管に設ける穴であって,穴の径が61 mm以下で,かつ,管の内径の4分の1以下の穴(d,1)
- ロ. 管に設ける穴であって、イ項に掲げるものを除き、穴の径が200 mm以下で、かつ、 告示第501号第60条(第31条第5項第2号ロ準用)により求めた値以下の穴( $d_{r2}$ )

$$d r_2 = 8.05 \cdot \sqrt[3]{D_0 r \cdot t_r \cdot (1 - K)}$$

ただし、Kの値は次の算式による。

$$K = \frac{P \cdot D \circ r}{1.82 \cdot S \cdot r \cdot \eta \cdot t r}$$

ただし、K>0.99の場合はK=0.99とする。

(b) 評価

補強を要しない穴の最大径 (d f r ) ≧断面に現われる穴の径 (d) ならば, 穴の補強計算及び溶接部の強度計算は必要ない。

必要な場合は、d項以降による。

d. 穴の補強に有効な範囲

穴の補強に有効な範囲は、告示第501号第60条(第31条第6項第1号イ準用)を適用する。

ただし、構造上計算した有効範囲が取れない場合は、構造上取り得る範囲とする。

(a) 穴の中心線に平行な直線で区切られる補強に有効な範囲 ( $L_A$ ) は、次の2つの式 より計算したいずれか大きい方の値

$$LA = d$$
 又は  $LA = \frac{d}{2} + t + t + t + t$ 

(b) 主管の面に平行な直線で区切られる補強に有効な範囲 ( $L_N$ ) は、次の2つの式より計算したいずれか小さい方の値

 $L_N=2.5 \cdot t_r$  又は  $L_N=2.5 \cdot t_b+t_e$ 

e. 主管の厚さの計算

主管の計算上必要な厚さ( $t_{rr}$ )は、告示第 5 0 1 号第60条(第31条第2項第2号イ並びにハ準用)を適用する。

$$t_{rr} = \frac{P \cdot D_{ir}}{2 \cdot S_{r} \cdot \eta^{-1} \cdot 2 \cdot P}$$
 (内圧)

$$t_{rr} = \frac{P \cdot D_{or}}{B}$$
 (外圧)

### f. 管台の厚さの計算

管台の計算上必要な厚さ (t<sub>br</sub>)は,告示第501号第60条 (第31条第6項第1号ロ(ロ)準用)を適用する。

$$t_{br} = \frac{P \cdot D_{ib}}{2 \cdot S_{b} - 1.2 \cdot P} \qquad (内E)$$

$$t_{br} = \frac{P \cdot D_{ob}}{B}$$
 (外圧)

### g. 穴の補強計算

穴の補強計算は、告示第501号第60条(第31条第6項準用)を適用する。

#### (a) 算式

#### イ. 補強に必要な面積

補強に必要な面積は、告示第501号第60条(第31条第6項第1号ハ準用)を適用する。

$$A_r = d \cdot t_{rr} \cdot F$$

### ロ. 補強に有効な面積

補強に有効な面積は、告示第501号第60条(第31条第6項第1号ロ、第4号及び第5号準用)を適用する。

$$A_{1} = (\eta \cdot t r - F \cdot t r r) \cdot (2 \cdot L_{A} - d)$$

$$A_{2} = 2 \cdot (t b - t b r) \cdot cosec\alpha \cdot L_{N} \cdot \frac{S b}{S r}$$

$$A_{3} = (L_{1})^{2} \cdot sin\alpha \cdot \frac{S b}{S r}$$

$$A_{4} = (D_{0} e - D_{0} b \cdot cosec\alpha) \cdot t e \cdot \frac{S e}{S r} + (L_{2})^{2} \cdot \frac{S e}{S r}$$

(強め材が有効範囲 L A 内にある場合)

$$A_4 = (2 \cdot L_A - D_o b \cdot coseca) \cdot t e \cdot \frac{Se}{Sr}$$

(強め材が有効範囲 L<sub>A</sub>の外まである場合)

$$A_0 = A_1 + A_2 + A_3 + A_4$$

#### (b) 評価

穴の補強に有効な面積  $(A_0)$  >穴の補強に必要な面積  $(A_r)$  ならば穴の補強は十分である。

### h. 大穴の補強の要否

大穴の補強の要否は、告示第501号第60条(第31条第6項第3号準用)を適用する。

#### (a) 算式

大穴の補強を要しない限界径(dfrD)

イ. D<sub>ir</sub>が1500 mm以下の場合

$$d_{frD} = D_{ir}/2$$

ただし,500 mmを超える場合500 mmとする。

ロ. D<sub>ir</sub>が1500 mmを超える場合

$$d_{frD} = D_{ir}/3$$

ただし, 1000 mmを超える場合1000 mmとする。

### (b) 評価

大穴の補強を要しない限界径( $d_{frD}$ )  $\geq$ 断面に現われる穴の径(d)ならば大穴の補強計算は必要ない。

必要な場合は, i 項以降による。

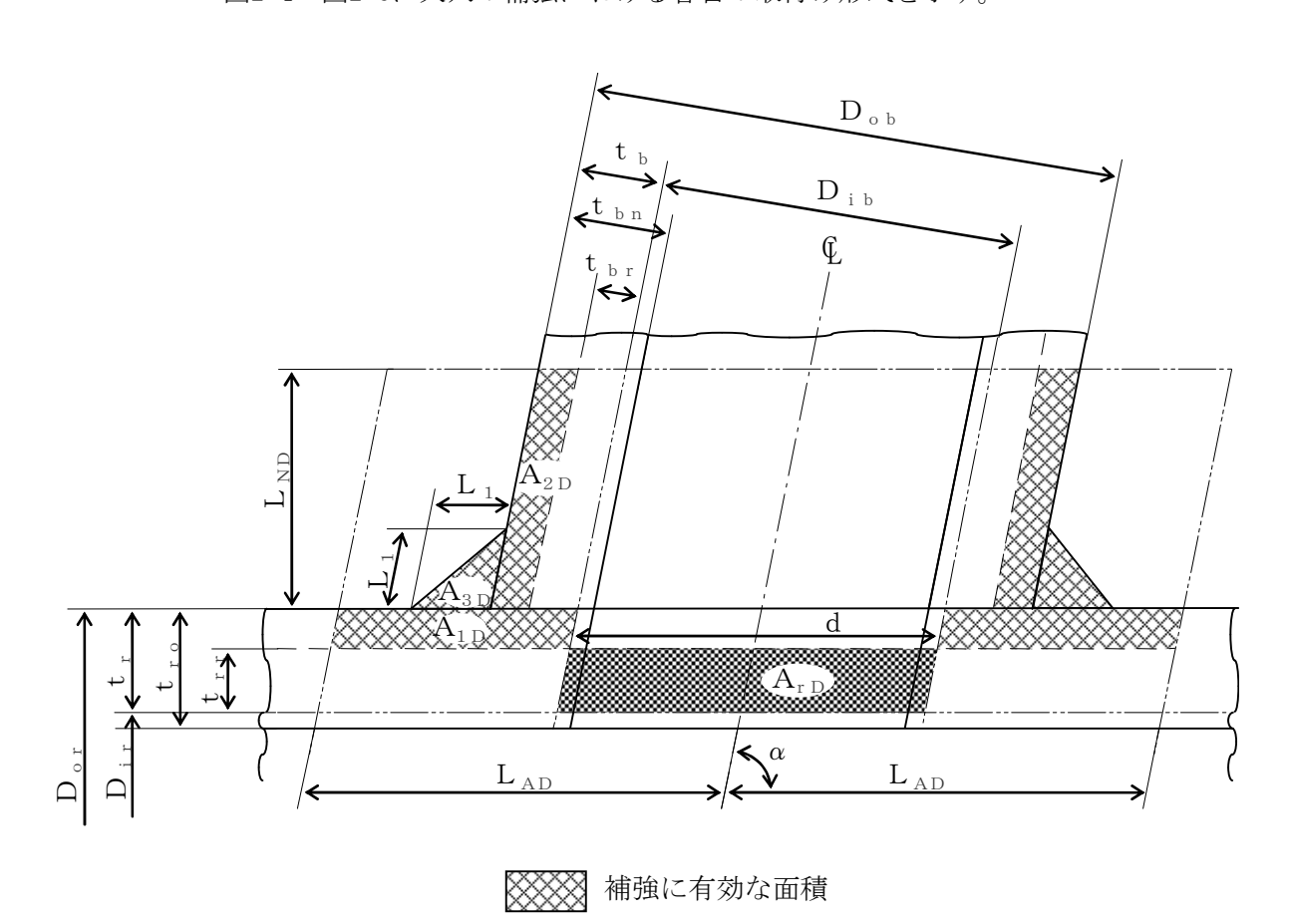
### i. 大穴の補強に有効な範囲

大穴の補強に有効な範囲は、告示第501号第60条(第31条第6項第1号イ準用)を適 用する。

ただし、構造上計算した有効範囲が取れない場合は、構造上取り得る範囲とする。

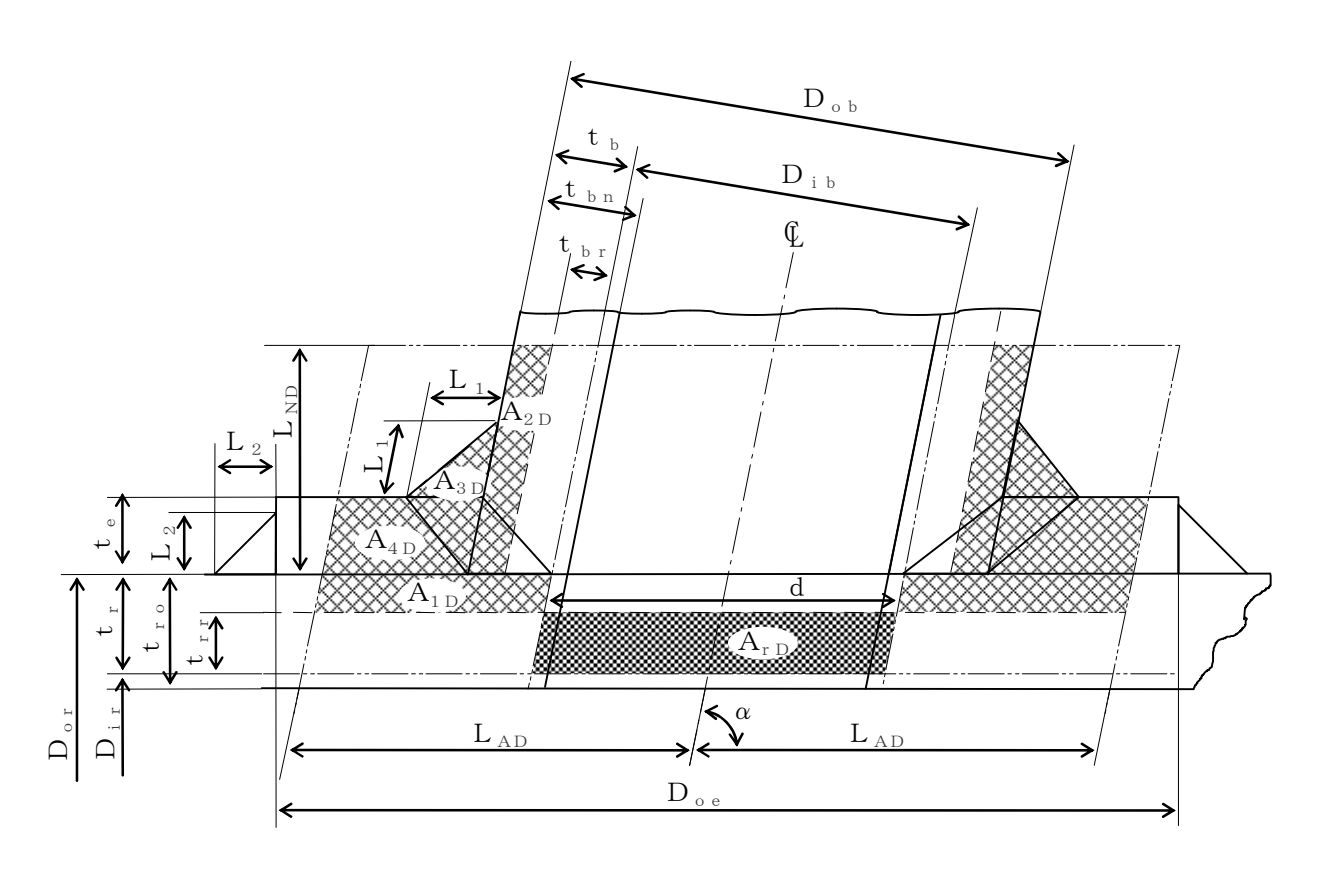
(a) 大穴の補強における管台の取付け形式

図2-4~図2-6に大穴の補強における管台の取付け形式を示す。



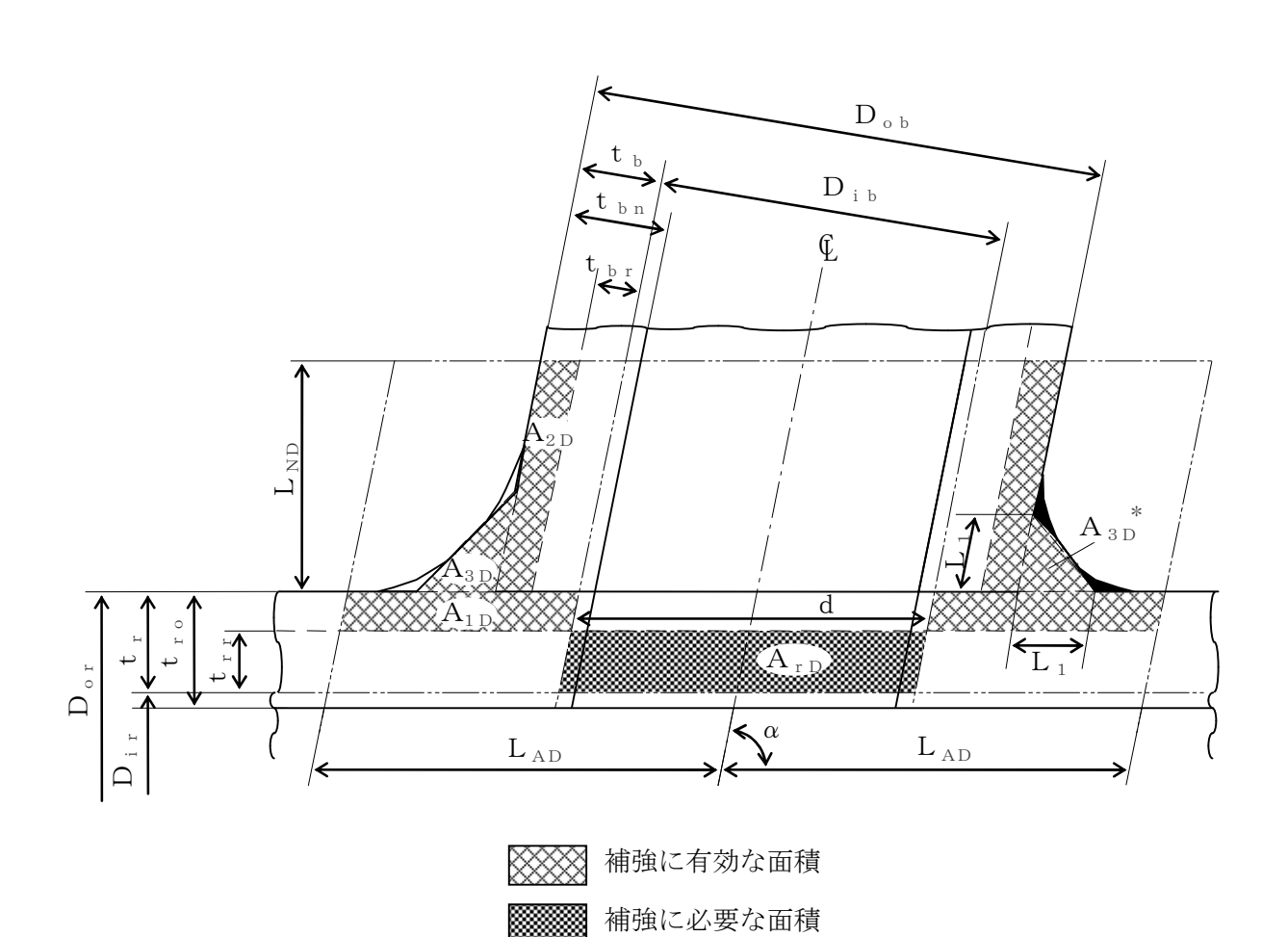
補強に必要な面積

図 2-4 A形 (強め材のない場合)



補強に必要な面積

図 2-5 B形 (強め材のある場合)



注記 \*:本形式における補強に有効な面積 $A_{3D}$ はA形及びB形と同様に  $A_{3D} = (L_1)^2 \cdot \sin\alpha \cdot S_b / S_r \text{ (上記 }$  部) として算出 するものとし,同補強部外側の余肉部 (上記 部) は,補強 面積評価上は考慮しない。

図 2-6 C形 (一体形で強め材のない場合)

(b) 穴の中心線に平行な直線で区切られる大穴の補強に有効な範囲

$$L_{AD} = \frac{d}{2} + \frac{d}{4}$$

(c) 主管の面に平行な直線で区切られる大穴の補強に有効な範囲

$$L_{\rm \ ND} = L_{\rm \ N}$$

j. 大穴の補強計算

大穴の補強計算は、告示第501号第60条(第31条第6項第3号準用)を適用する。

- (a) 算式
- イ. 大穴の補強に必要な面積

$$A r D = \frac{2}{3} \cdot A r$$

ロ. 大穴の補強に有効な面積

$$A_{1D} = (\eta \cdot t_r - F \cdot t_{rr}) \cdot (2 \cdot L_{AD} - d)$$

$$A_{2D} = A_2$$

(管台の外径が有効範囲 L<sub>AD</sub>内にある場合)

$$A_{2D}=2 \cdot \left(\frac{d}{4} - t b r \cdot cosec \alpha\right) \cdot L_{ND} \cdot \frac{S b}{S r}$$

(管台の外径が有効範囲 LADの外まである場合)

$$A_{3D} = A_{3}$$

(すみ肉部の脚長が有効範囲 LAD内にある場合)

$$A_{3D} = 0$$

(すみ肉部の脚長が有効範囲 L<sub>AD</sub>の外まである場合)

$$A_{4D} = A_4$$

(強め材が有効範囲 L<sub>AD</sub>内にある場合)

$$A_{4D} = \left(3 \cdot \frac{d}{2} - D_{ob} \cdot \csc \alpha\right) \cdot t_{e} \cdot \frac{S_{e}}{S_{r}}$$

(強め材が有効範囲 L<sub>AD</sub>の外まである場合)

$$A_{0D} = A_{1D} + A_{2D} + A_{3D} + A_{4D}$$

(b) 評価

大穴の補強に有効な面積( $A_{0D}$ ) $\geq$ 大穴の補強に必要な面積( $A_{rD}$ )ならば大穴の補強は十分である。

### k. 2つ穴の補強計算

2つ以上の穴の補強に有効な範囲が重なり合う場合の補強計算は、告示第501号第60条(第31条第6項第2号準用)を適用する。

以下, 直管の2つ穴の計算方法を示す。

### (a) 算式

イ. 2つの穴の間にある主管の必要な断面積

$$A_{sr} = 0.7 \cdot L_{s} \cdot t_{rr} \cdot F$$

ロ. 2つの穴の間にある主管の断面積

$$A s o = \left( L s - \frac{d + d D}{2} \right) \cdot t r$$

(b) 算式

2つの穴の径の平均値の3分の4倍の値

$$L = \frac{4}{3} \left( \frac{d + dD}{2} \right)$$

- (c) 算式
- イ. 2つの穴の補強に必要な面積

$$A_{ri} = A_r + A_{rs}$$

A<sub>r</sub>及びA<sub>r</sub>。は1つの穴の計算に準じる。

ロ. 2つの穴の間にある補強に有効な面積

$$A_{oi} = \left(L_s - \frac{d+d_D}{2}\right) \cdot (t_r - t_{rr}) + A_2 + A_{2s} + A_3 + A_{3s} + A_4 + A_{4s}$$

A<sub>2</sub>, A<sub>2s</sub>, A<sub>3</sub>, A<sub>3s</sub>, A<sub>4</sub>及びA<sub>4s</sub>は, 1つの穴の計算に準じる。

(d) 評価

穴の補強は,以下の条件を満足すれば十分である。

- イ. 2つの穴の間にある主管の断面積( $A_{so}$ ) $\geq$ 2つの穴の間にある主管の必要な断面積( $A_{sr}$ )
- ロ. 2つの穴の間にある補強に有効な面積  $(A_{oi}) \ge 2$ つの穴の補強に必要な面積  $(A_{ri})$
- ハ. 2つの穴の中心間の距離 (L<sub>s</sub>) ≥2つの穴の径の平均値の3分の4倍 (L)
- ニ. それぞれの穴に共通な強め材の断面積( $A_4$ ) $\geq 2$  つの穴の補強に必要な面積 ( $A_{r,i}$ )
- 1. 溶接部の強度計算

溶接部の強度計算は、告示第501号第60条(第31条第6項第6号、第7号準用)を適用する。

ただし、C形に関しては評価すべき溶接部がないため、強度計算は行わない。

### (a) 算式

イ. 溶接部の負うべき荷重

$$W = d \cdot t r r \cdot S r - (n \cdot t r - F \cdot t r r) \cdot (2 \cdot L_A - d) \cdot S r$$

ロ. 溶接部の許容応力

$$S_{W1} = S_r \cdot F_1$$
  
 $S_{W2} = S_r \cdot F_2$   
 $S_{W3} = S_r \cdot F_3$ 

ハ. 溶接部の破断強さ

$$W_{e 1} = \pi \cdot \left(\frac{d}{2} + t \ b \cdot cosec\alpha\right) \cdot L_{1} \cdot Sw_{1}$$

$$W_{e 2} = \pi \cdot d \cdot t \ b \cdot Sw_{3} \cdot cosec\alpha / 2$$

$$W_{e 3} = \pi \cdot d \cdot t \ b \cdot Sw_{3} \cdot cosec\alpha / 2$$

$$W_{e 4} = \pi \cdot \left(\frac{d}{2} + t \ b \cdot cosec\alpha\right) \cdot t \ e \cdot Sw_{2}$$

$$W_{e 5} = \pi \cdot D_{0} e \cdot L_{2} \cdot Sw_{1} / 2$$

- ニ. 予想される破断箇所の強さ
- (イ) A形の管台形式の場合

$$Webp1=We3$$
 を通る強さ $=We3$  を通る強さ $=We1+We2$ 

(ロ) B形の管台形式の場合

- (b) 評価
- イ. 溶接部の負うべき荷重 (W) が0以下の場合 溶接部の強度は十分とみなし、溶接部の強度計算は行わない。
- □. 溶接部の負うべき荷重(W)が0を超える場合
   溶接部の負うべき荷重(W)≦予想される破断箇所の強さ(Webp1,
   Webp2, Webp3)ならば溶接部の強度は十分である。
- (3) 補足
  - a. 穴の補強計算,大穴の補強計算及び2つ穴の補強計算において面積の計算をする際, $\frac{S_b}{S_r}$ , $\frac{S_b}{S_r}$  又は $\frac{S_e}{S_r}$ が1を超える場合は,値を1として計算する。
  - b. 断面が長手軸となす角度により求めた係数Fは、1として計算する。

- 2.6.2 管の穴と補強計算(設計・建設規格) 管の穴と補強計算は、設計・建設規格 PPC-3420 を適用する。
  - (1) 記号の説明

9	設計・建設 規格の記号	計算書の表示	表示内容	単位
	В	В	外面に圧力を受ける場合の計算に用いる係数	_
			設計・建設規格 付録材料図表 Part7 図 1~図	
			20 により求めた値	
			(Bを求める際に使用した板の厚さは繰返し計算に	
			より最終的に t b r 及び t r r となる。)	
	D	D o r	主管の外径	mm
直	d	d	断面に現われる穴の径	mm
ഥ	d	d <sub>f r</sub>	補強を要しない穴の最大径	mm
管				
_	K	K	穴の補強計算の係数	_
又			$\left(=\frac{P \cdot D_{or}}{1.82 \cdot S_{r} \cdot \eta \cdot t_{r}}\right)$	
は				
		$Q_{ m r}$	主管の厚さの負の許容差	%, mm
曲	S	Sr	最高使用温度における主管の材料の許容引張応力	MPa
げ			設計・建設規格 付録材料図表 Part5 表 5 によ	
			<b>3</b> .	
管	t s	t r	主管の最小厚さ	mm
の		t ro	主管の公称厚さ	mm
	t s r , t r 3	t r r	主管の計算上必要な厚さ	mm
記	η	η	継手の効率	_
号			穴が管の長手継手を通る場合	
			穴が鏡板を継ぎ合わせて作る場合の当該継手を通る	
			場合	
			合	
			日 設計・建設規格 PVC-3130 に規定する効率	
			その他の場合は 1.00 とする。	

	設計・建設 規格の記号	計算書の表示	表示内容	単位
	В	В	中高面に圧力を受ける場合の計算に用いる係数	_
			設計・建設規格 付録材料図表 Part7 図 1~図	
			20 により求めた値	
			(Bを求める際に使用した板の厚さは繰返し計算に	
			より最終的に t b r 及び t c r となる。)	
		D	鏡板の内面における長径	mm
鏡	D	D <sub>o</sub>	鏡板が取り付けられる管の外径	mm
奖			(フランジ部の外径に同じ。)	
	d	d	断面に現われる穴の径	mm
	d	$d_{\rm \ f\ r}$	補強を要しない穴の最大径	mm
板	K	K	穴の補強計算の係数	_
	$K_1$	K 1	半だ円形鏡板の中底面に圧力を受ける場合の計算に	_
			用いる係数	
Ø			設計・建設規格 PPC-3424(1)の表 PPC-3424-1 及び	
V			表 PPC-3424-2 による。	
	K	$K_K$	半だ円形鏡板の中高面に圧力を受ける場合の計算に	_
			用いる係数	
記			設計・建設規格 PPC-3415.2(2)f.の表 PPC-3415.2-	
			1による。	
	R	R	さら形鏡板の中央部における内面の半径又は全半球	mm
号			形鏡板の内半径	
,,	S	S	最高使用温度における鏡板の材料の許容引張応力	MPa
			設計・建設規格 付録材料図表 Part5 表 5 によ	
			る。	
	t s	t c	鏡板の最小厚さ	mm
		t c o	鏡板の公称厚さ	mm
	$t_{sr}$ , $t_{r1}$	t c r	鏡板の計算上必要な厚さ	mm
	W	W	さら形鏡板の形状による係数	_

	設計・建設 規格の記号	計算書の表示	表示内容	単位
	d	d	平板の径又は最小内のり	mm
	d	d <sub>H</sub>	断面に現われる穴の径	mm
平	K	K	平板の取付け方法による係数	_
1	S	S	最高使用温度における平板材料の許容引張応力	MPa
板			設計・建設規格 付録材料図表 Part5 表 5 によ	
			る。	
$\mathcal{O}$	t	t	補強を要しない平板の計算上必要な厚さ	mm
	t s	t c	平板の最小厚さ	mm
記		t c o	平板の呼び厚さ	mm
号	t <sub>sr</sub> , t <sub>r2</sub>	t c r	平板の計算上必要な厚さ	mm
7		取付け方法	平板の取付け方法で設計・建設規格 PPC-3413 の表	_
			PPC-3413-1 による。	
	$(a)\sim(n)$	2A~2N	取付け方法の表示区分	

	設計・建設	計算書の表示	表示内容	単位
	規格の記号		+ 0 1434) = + +1 1 7 7	2
	A	$A_0$	穴の補強に有効な面積の総和	$\text{mm}^2$
		$A_1$	穴の補強に有効な主管部の面積	$\text{mm}^2$
		$A_2$	穴の補強に有効な管台部の面積	$\text{mm}^2$
		$A_3$	穴の補強に有効なすみ肉部の面積	$\text{mm}^2$
		A 4	穴の補強に有効な強め材部の面積	$\text{mm}^2$
	Αr	Αr	穴の補強に必要な面積	$\mathrm{mm}^2$
		$A_{ m rD}$	大穴の補強に必要な面積	$\mathrm{mm}^2$
		$A_{0D}$	大穴の補強に有効な面積の総和	$\text{mm}^2$
共		$A_{ m 1D}$	大穴の補強に有効な主管部の面積	$\mathrm{mm}^2$
/ <del>ح</del>		$A_{2D}$	大穴の補強に有効な管台部の面積	$\mathrm{mm}^2$
通		$A_{3D}$	大穴の補強に有効なすみ肉部の面積	$\mathrm{mm}^2$
記		$A_{4\mathrm{D}}$	大穴の補強に有効な強め材部の面積	$\mathrm{mm}^2$
μЦ	$A_s$	A <sub>sr</sub>	2 つの穴の間の主管の必要な断面積	$\mathrm{mm}^2$
号		A <sub>so</sub>	2 つの穴の間の主管の断面積	$\mathrm{mm}^2$
		A <sub>ri</sub>	2つの穴の補強に必要な面積の2分の1の面積	$\mathrm{mm}^2$
(管		A o i	2 つの穴の間にある補強に有効な面積	$\mathrm{mm}^2$
		$A_{r}$ s	隣接する穴の補強に必要な面積	$mm^2$
0)		${ m A}_{ m 2\ s}$	隣接する穴の補強に有効な管台部の面積	$\mathrm{mm}^2$
穴		Аз s	隣接する穴の補強に有効なすみ肉部の面積	$\mathrm{mm}^2$
と		A 4 s	隣接する穴の補強に有効な強め材部の面積	$\mathrm{mm}^2$
補	$\mathrm{D}_{\mathrm{i}}$	D <sub>ib</sub>	管台の内径	mm
強	2 1	D <sub>ir</sub>	主管の内径	mm
		D <sub>ob</sub>	管台の外径	mm
計		D о в	強め材の外径	mm
算)	d	$_{ m D}$ $_{ m 0}$ $_{ m D}$	断面に現われる隣接する穴の径	mm
	ď	d <sub>frD</sub>	大穴の補強を要しない限界径	mm
		$d_{r1}$	補強を要しない穴の最大径	
		d <sub>r 1</sub>	補強を要しない穴の最大径	mm
	Б			mm
	F	F	設計・建設規格 PPC-3424(1)b. により求められる	_
		T.	係数	
		F <sub>1</sub>	すみ肉溶接のせん断応力係数	_
		F <sub>2</sub>	突合せ溶接の引張応力係数	_
		F <sub>3</sub>	突合せ溶接のせん断応力係数	_

	設計・建設 規格の記号	計算書の表示	表示内容	単位
		L	2 つの穴の径の平均値の 1.5 倍の値	mm
		L <sub>A</sub>	穴の中心線に平行な直線で区切られる補強に有効な	mm
			範囲	
		$L_{ m AD}$	穴の中心線に平行な直線で区切られる大穴の補強に	mm
			有効な範囲	
		$L_{N}$	主管の面に平行な直線で区切られる補強に有効な範	mm
			囲	
共		$L_{ m ND}$	主管の面に平行な直線で区切られる大穴の補強に有	mm
			効な範囲	
通	$\ell$	L s	2 つの穴の中心間の距離	mm
		L 1	管台のすみ肉部の脚長 (A形, B形) 又は管台補強	mm
記			部の短辺長さ (C形) *	
		L 2	強め材のすみ肉部の脚長*	mm
号	Р, Ре	Р	最高使用圧力又は外面に受ける最高の圧力	MPa
		$Q_{ m  b}$	管台の厚さの負の許容差	%, mm
管	S	S <sub>b</sub>	最高使用温度における管台の材料の許容引張応力	MPa
の			設計・建設規格 付録材料図表 Part5 表 5 によ	
穴			る。	
と	S	S e	最高使用温度における強め材の材料の許容引張応力	MPa
			設計・建設規格 付録材料図表 Part5 表 5 によ	
補			る。	
強		S w 1	すみ肉溶接の許容せん断応力	MPa
計		$S_{w2}$	突合せ溶接の許容引張応力	MPa
算		S w 3	突合せ溶接の許容せん断応力	MPa
	t n	t <sub>b</sub>	管台の最小厚さ	mm
		t <sub>b n</sub>	管台の公称厚さ	mm
	t n r	t <sub>b r</sub>	管台の計算上必要な厚さ	mm
		t e	強め材の最小厚さ	mm
		W	溶接部の負うべき荷重	N
		W e 1	管台取付部すみ肉溶接部の許容せん断力	N
		W e 2	管台取付部突合せ溶接部の許容せん断力	N

注記 \*:設計・建設規格の図 PPC-4010-4 による。

	設計・建設 規格の記号	計算書の表示	表示内容	単位
共通記号(管の穴と補強計算)		W e 3	管台取付部突合せ溶接部の許容せん断力	N
		W e 4	強め材取付部突合せ溶接部の許容引張力	N
		W e 5	強め材取付部すみ肉溶接部の許容せん断力	N
		W <sub>ebp1</sub>	予想される破断箇所の強さ	N
		W <sub>ebp2</sub>	予想される破断箇所の強さ	N
		W <sub>ebp3</sub>	予想される破断箇所の強さ	N
	$\theta$	$\alpha$	分岐管の中心線と主管の中心線との交角	0
		π	円周率	_
		形式	管台の取付け形式	_

### (2) 計算手順及び算式

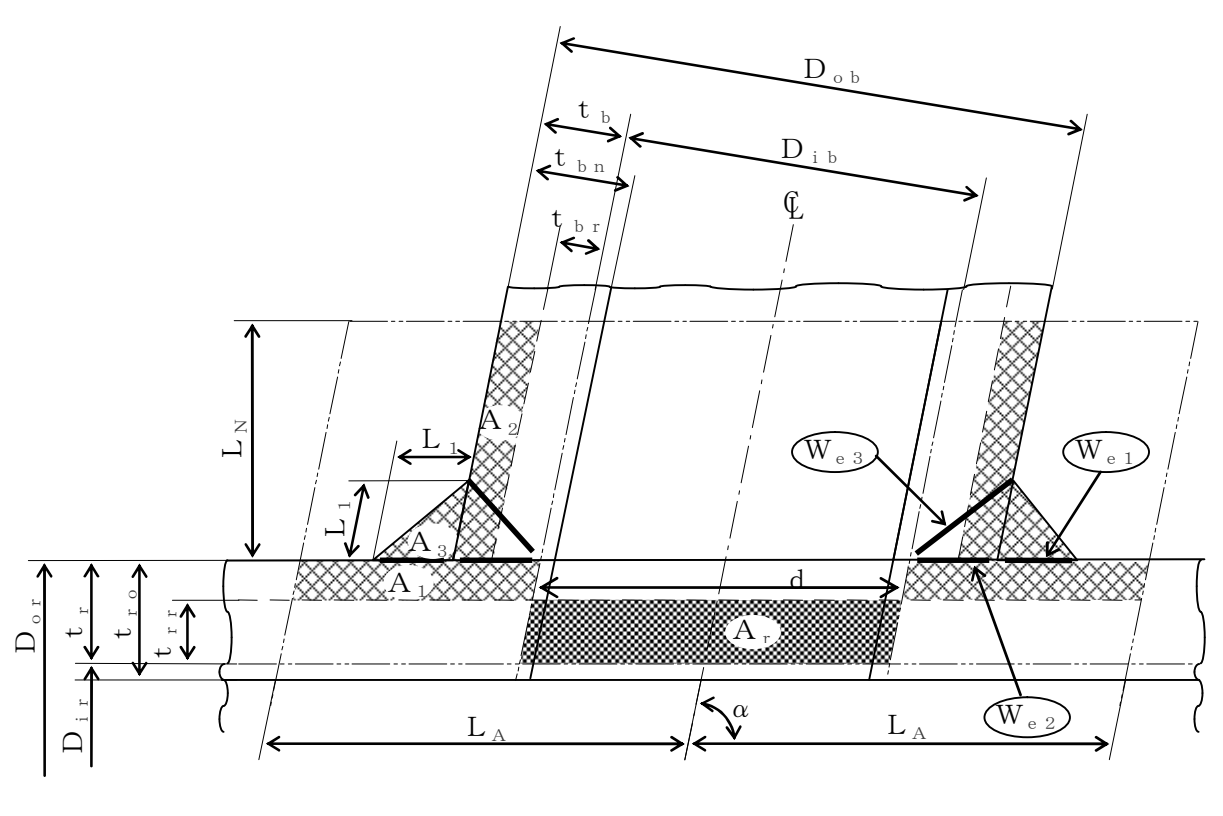
### a. 穴の形状

管に設ける穴は、設計・建設規格 PPC-3421(2)により円形又はだ円形であること。

### b. 管台の取付け形式

図 2-7~図 2-11 に管台の取付け形式及び予想される破断形式を示す。

ただし、すみ肉溶接部分の破断箇所については、両方の脚長が等しいため、片側の脚長 の破断形式のみを図示する。



補強に有効な面積

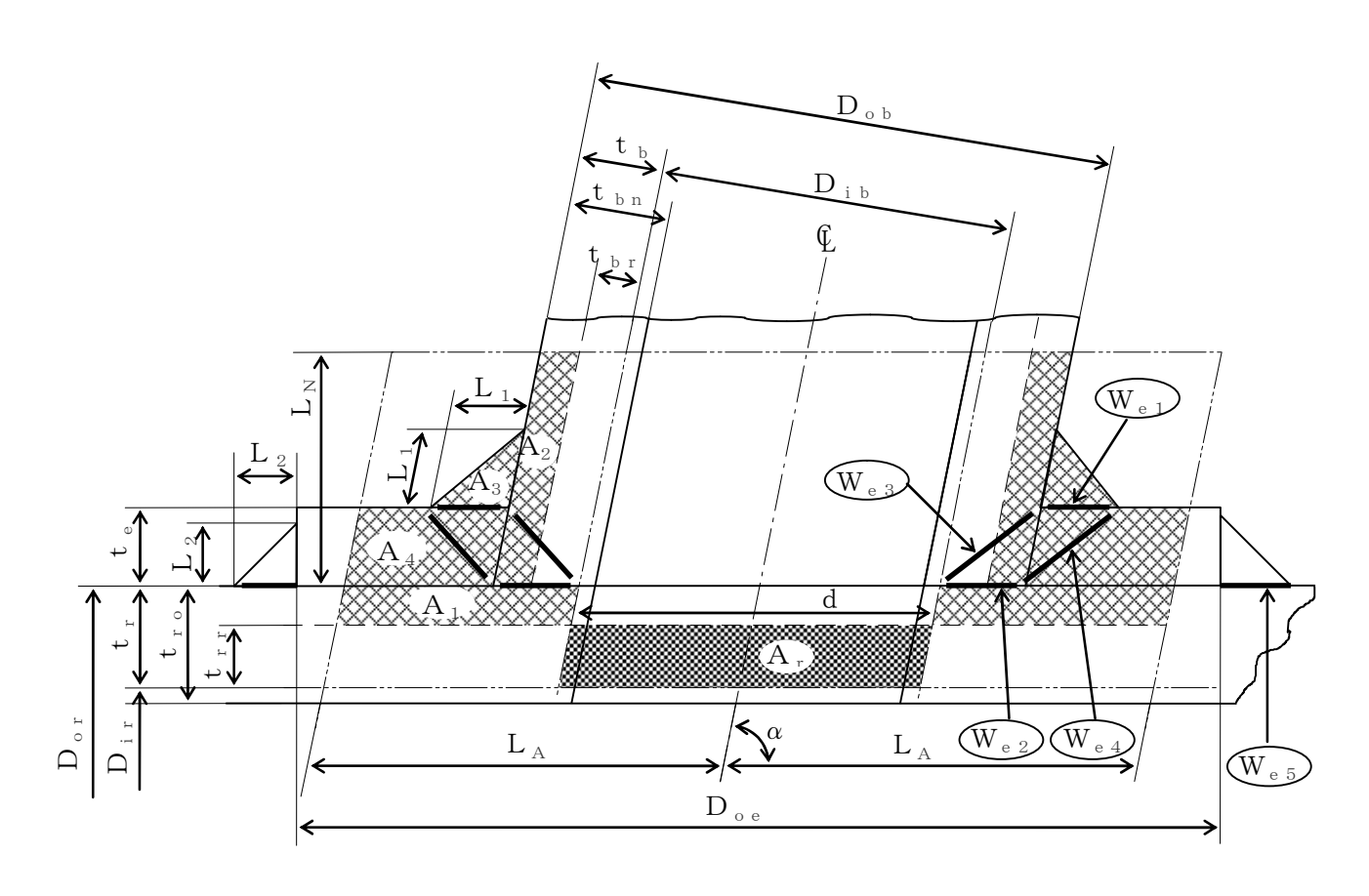
補強に必要な面積

予想される破断形式

・W<sub>e 3</sub> を通る破断

・W<sub>e 1</sub> W<sub>e 2</sub> を通る破断

図 2-7 A形 (強め材のない場合)

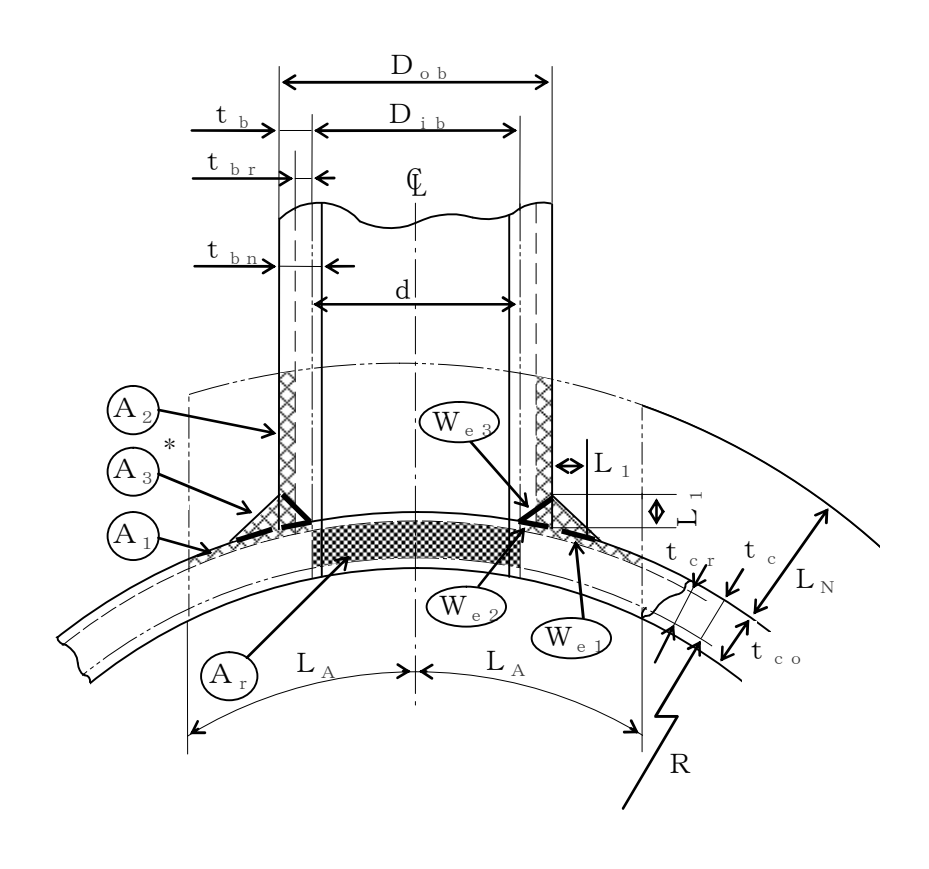


補強に必要な面積

# 予想される破断形式

- ・ $\overline{W_{e \, 1}}$  $\overline{W_{e \, 3}}$  を通る破断
- ・ W<sub>e 2</sub> W<sub>e 4</sub> を通る破断
- ・ W<sub>e 2</sub> W<sub>e 5</sub> を通る破断

図 2-8 B形 (強め材のある場合)



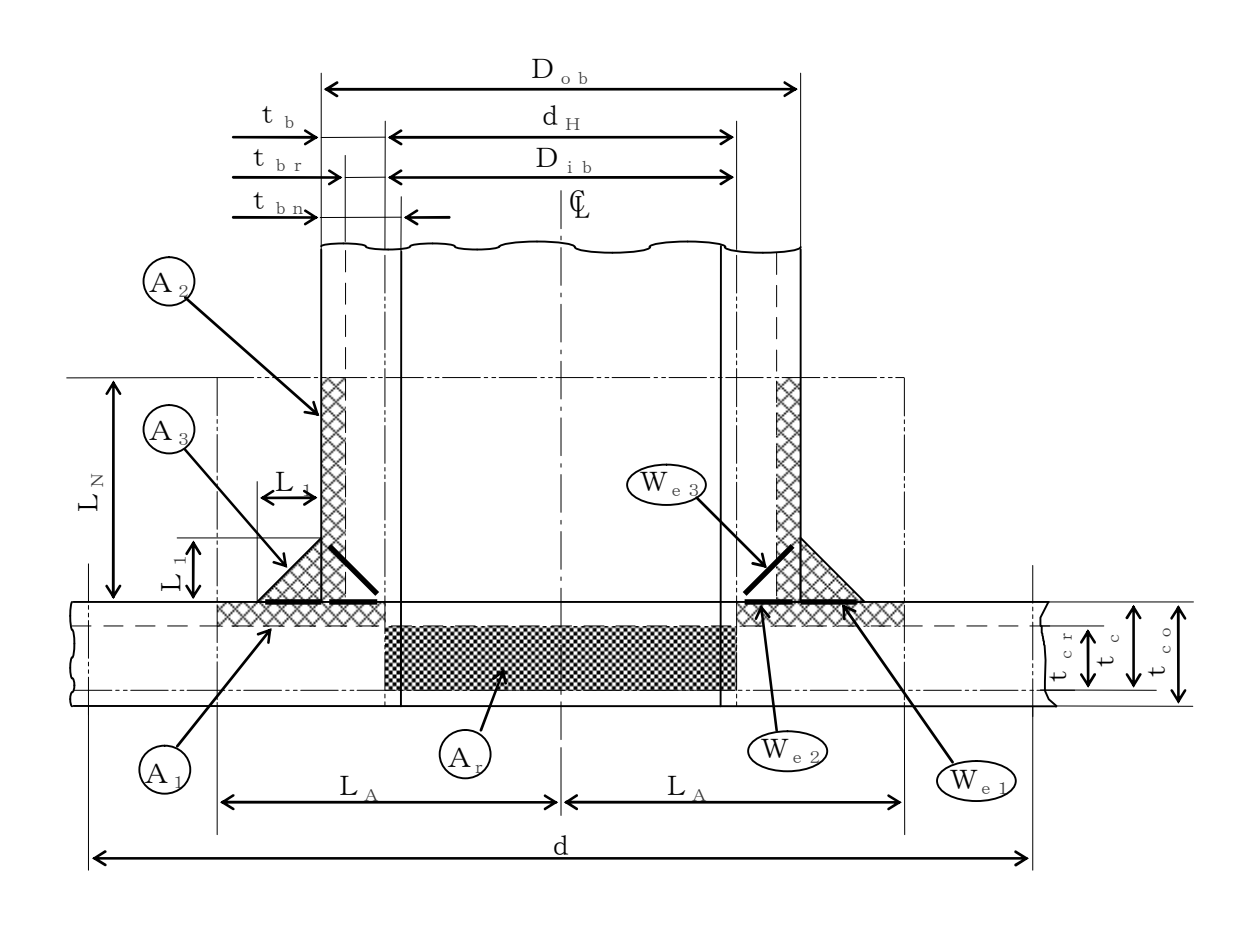
補強に必要な面積

予想される破断形式

- ・ W<sub>e 3</sub> を通る破断
- W<sub>e 1</sub> W<sub>e 2</sub> を通る破断

注記  $*: A_3$ の面積で $(L_1)^2$ 以外の部分は, 補強面積評価上は考慮しない。

図 2-9 A形 (鏡板で強め材のない場合)

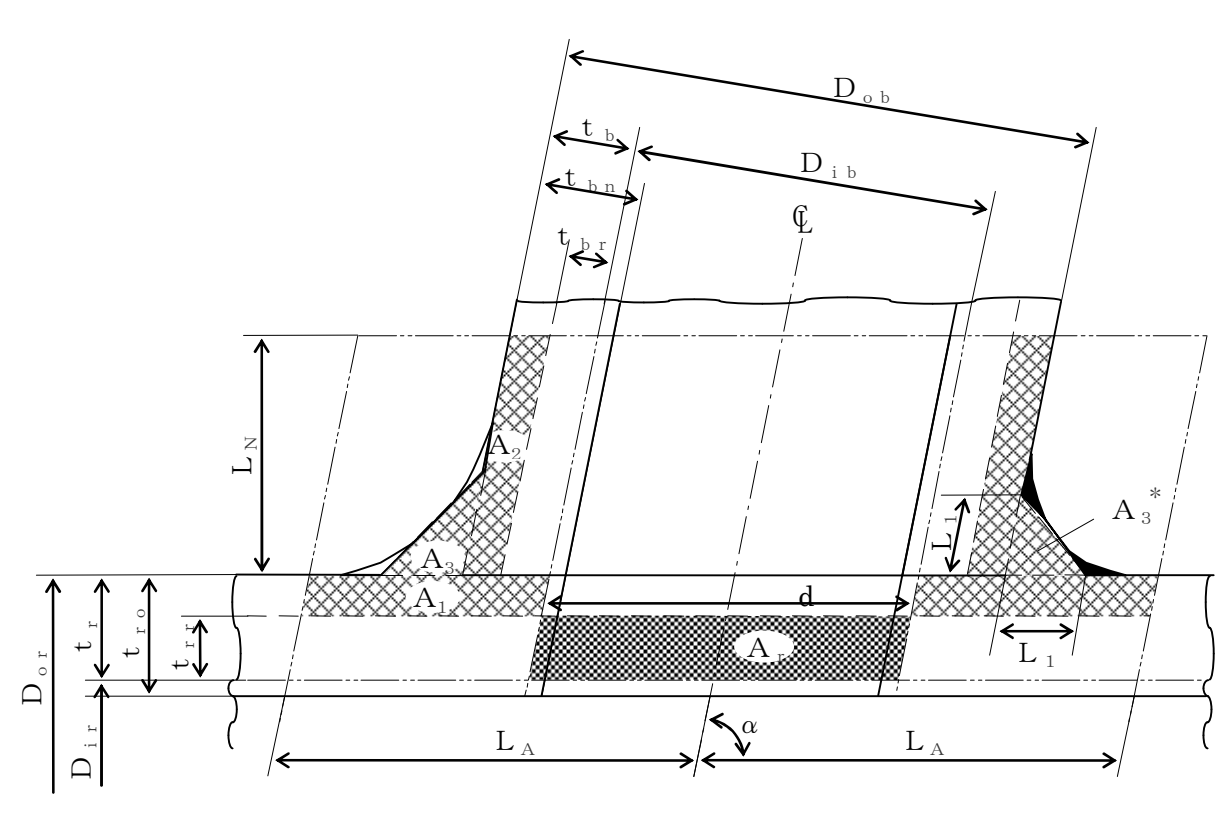


補強に必要な面積

予想される破断形式

・ (W<sub>e 3</sub>) を通る破断

図 2-10 A形 (平板で強め材のない場合)



補強に有効な面積 補強に必要な面積

注記 \*:本形式における補強に有効な面積 $A_3$ はA形及びB形と同様に $A_3 = (L_1)^2 \cdot \sin \alpha \cdot S_b / S_r$ (上記 部)として算出するものとし、同補強部外側の余肉部(上記 部)は、補強面積評価上は考慮しない。

図 2-11 C形 (一体形で強め材のない場合)

#### c. 穴の補強の要否

穴の補強の要否は、設計・建設規格 PPC-3422 を適用する。

#### (a) 算式

補強を要しない穴の最大径は、次のイ項又はロ項で計算した値のいずれか大きい値  $(d_{fr})$  とする。

- イ. 平板以外の管に設ける穴であって, 穴の径が 61 mm 以下で, かつ, 管の内径の 4分の1以下の穴(d<sub>r1</sub>)
- ロ. 平板以外の管に設ける穴であって、イ項に掲げるものを除き、穴の径が 200 mm 以下で、かつ、設計・建設規格の図 PPC-3422-1 及び図 PPC-3422-2 により求めた値以下の穴( $d_{r2}$ )

直管又は曲げ管の場合

d r<sub>2</sub>=8.05 
$$\cdot \sqrt[3]{D_{or} \cdot t_{r} \cdot (1-K)}$$

鏡板の場合

ただし、Kの値は次の算式による。

(イ) 直管又は曲げ管の場合

$$K = \frac{P \cdot D_{or}}{1.82 \cdot S_{r} \cdot n \cdot t_{r}}$$

(ロ) さら形鏡板又は半だ円形鏡板の場合

$$K = \frac{P \cdot D_{\circ}}{1.82 \cdot S \cdot \eta \cdot t_{\circ}}$$

(ハ) 全半球形鏡板の場合

$$K = \frac{P \cdot D_{\circ}}{3.64 \cdot S \cdot \eta \cdot t_{\circ}}$$

ただし、K>0.99の場合はK=0.99とする。

- ハ. 平板に穴を設ける場合であって、平板の最小厚さ(t。)が次の式により計算 した値以上のもの
  - (イ) 穴の径が平板の径又は最小内のりであるdの値の2分の1以下の場合

$$t = d \cdot \sqrt{\frac{2 \cdot K \cdot P}{S}}$$

ただし、Kの値は設計・建設規格 PPC-3413 の表 PPC-3413-1 中で(m)の取

付け方法を除き, 0.375以上とすることを要しない。

(ロ) 穴の径が平板の径又は最小内のりである d の値の 2 分の 1 を超える場合  $t=d \cdot \sqrt{\frac{2.25 \cdot K \cdot P}{S}}$ 

#### (b) 評価

補強を要しない穴の最大径( $d_{fr}$ )  $\geq$ 断面に現われる穴の径(d)又は平板の最小厚さ( $t_c$ )  $\geq$ 補強を要しない平板の計算上必要な厚さ(t)ならば,穴の補強計算及び溶接部の強度計算は必要ない。

必要な場合は、d項以降による。

d. 穴の補強に有効な範囲

穴の補強に有効な範囲は、設計・建設規格 PPC-3424(1)a. を適用する。 ただし、構造上計算した有効範囲が取れない場合は、構造上取り得る範囲とする。

- (a) 穴の中心線に平行な直線で区切られる補強に有効な範囲( $L_A$ )は、次の 2 つの式 より計算したいずれか大きい方の値
- イ. 直管又は曲げ管の場合

$$L_A = d \quad \text{Zit} \quad L_A = \frac{d}{2} + t_r + t_b$$

ロ. 鏡板の場合

$$L_A = d$$
  $Z i t$   $L_A = \frac{d}{2} + t_c + t_b$ 

ハ. 平板の場合

$$LA = dH$$
  $ZII$   $LA = \frac{dH}{2} + tc + tb$ 

- (b) 主管の面に平行な直線で区切られる補強に有効な範囲( $L_N$ )は、次の 2 つの式より計算したいずれか小さい方の値
- イ. 直管又は曲げ管の場合

ロ. 鏡板の場合

$$L_N=2.5 \cdot t_c$$
 又は  $L_N=2.5 \cdot t_b$ 

ハ. 平板の場合

$$L_N=2.5 \cdot t_c$$
  $Z$   $U_N=2.5 \cdot t_b$ 

#### e. 主管の厚さの計算

主管の計算上必要な厚さ(t<sub>rr</sub>又はt<sub>cr</sub>)は、設計・建設規格 PPC-3424(1)b. (a)を適用する。

(a) 直管又は曲げ管の場合

t r r = 
$$\frac{P \cdot D \circ r}{2 \cdot S r \cdot n + 0.8 \cdot P} \qquad (内圧)$$

ただし、
$$\eta = 1.00$$
  
 $t r r = \frac{3 \cdot P \cdot D \circ r}{4 \cdot B}$  (外圧)

- (b) 鏡板の場合
- イ. さら形鏡板

t c r = 
$$\frac{P \cdot R \cdot W}{2 \cdot S \cdot n - 0.2 \cdot P}$$
 (中低面)

ただし、W=1.00及び $\eta$ =1.00

$$t_{cr} = \frac{P \cdot (R + t_{c})}{B}$$
 (中高面)

ロ. 半だ円形鏡板

t c r = 
$$\frac{P \cdot K_1 \cdot D}{2 \cdot S \cdot \eta - 0.2 \cdot P} \qquad (中低面)$$

$$t c r = \frac{P \cdot K \kappa \cdot (D + 2 \cdot t c)}{B}$$
 (中高面)

ハ. 全半球形鏡板

t c r = 
$$\frac{P \cdot R}{2 \cdot S \cdot \eta - 0.2 \cdot P} \qquad (中低面)$$

$$t c r = \frac{P \cdot (R + t c)}{B}$$
 (中高面)

(c) 平板の場合

$$t_{cr} = d \cdot \sqrt{\frac{K \cdot P}{S}}$$

f. 管台の厚さの計算

管台の計算上必要な厚さ (tbr)は、設計・建設規格 PPC-3424(1)b.(b)を適用する。

t b r = 
$$\frac{P \cdot D i b}{2 \cdot S b - 1.2 \cdot P}$$
 (内圧)

### g. 穴の補強計算

穴の補強計算は、設計・建設規格 PPC-3424(1)を適用する。

- (a) 算式
- イ. 補強に必要な面積
  - (イ) 直管又は曲げ管の場合

$$A_r = 1.07 \cdot d \cdot t_{rr} \cdot (2 - \sin \alpha)$$

(ロ) 鏡板の場合

$$A r = d \cdot t c r$$

(ハ) 平板の場合

$$A r = 0.5 \cdot d H \cdot t cr$$

- ロ. 補強に有効な面積
- (イ) 直管又は曲げ管の場合

$$A_{1} = (\eta \cdot t_{r} - F \cdot t_{r}) \cdot (2 \cdot L_{A} - d)$$

$$A_{2} = 2 \cdot (t_{b} - t_{b}) \cdot \csc\alpha \cdot L_{N} \cdot \frac{S_{b}}{S_{r}}$$

$$A_{3} = (L_{1})^{2} \cdot \sin\alpha \cdot \frac{S_{b}}{S_{r}}$$

$$A_{4} = (D_{0} e - D_{0} b \cdot \csc\alpha) \cdot t_{e} \cdot \frac{S_{e}}{S_{r}} + (L_{2})^{2} \cdot \frac{S_{e}}{S_{r}}$$

(強め材が有効範囲 L A内にある場合)

$$A_4 = (2 \cdot L_A - D_o b \cdot coseca) \cdot t e \cdot \frac{Se}{Sr}$$

(強め材が有効範囲 L A の外まである場合)

$$A_0 = A_1 + A_2 + A_3 + A_4$$

(ロ) 鏡板の場合

$$A_{1} = (\eta \cdot t \cdot c - F \cdot t \cdot c \cdot r) \cdot (2 \cdot L_{A} - d)$$

$$A_{2} = 2 \cdot (t \cdot b - t \cdot b \cdot r) \cdot L_{N} \cdot \frac{S \cdot b}{S}$$

$$A_{3} = (L_{1})^{2} \cdot \frac{S \cdot b}{S}$$

$$A_0 = A_1 + A_2 + A_3$$

(ハ) 平板の場合

$$A_1 = (\eta \cdot t c - F \cdot t c r) \cdot (2 \cdot L_A - d_H)$$

$$A_2 = 2 \cdot (t b - t b r) \cdot L_N \cdot \frac{S b}{S}$$

$$A_3 = (L_1)^2 \cdot \frac{S b}{S}$$

$$A_0 = A_1 + A_2 + A_3$$

### (b) 評価

穴の補強に有効な面積( $A_0$ ) >穴の補強に必要な面積( $A_r$ )ならば穴の補強は十分である。

## h. 大穴の補強の要否

大穴の補強の要否は、設計・建設規格 PPC-3424(4)を適用する。

## (a) 算式

大穴の補強を要しない限界径 (dfrD)

イ. D<sub>ir</sub>が1500 mm以下の場合

$$d_{f r D} = D_{i r} / 2$$

ただし,500 mm を超える場合500 mm とする。

ロ. D<sub>ir</sub>が1500 mmを超える場合

$$d_{frD} = D_{ir}/3$$

ただし, 1000 mm を超える場合 1000 mm とする。

## (b) 評価

大穴の補強を要しない限界径( $d_{frD}$ )  $\geq$ 断面に現われる穴の径(d)ならば大穴の補強計算は必要ない。

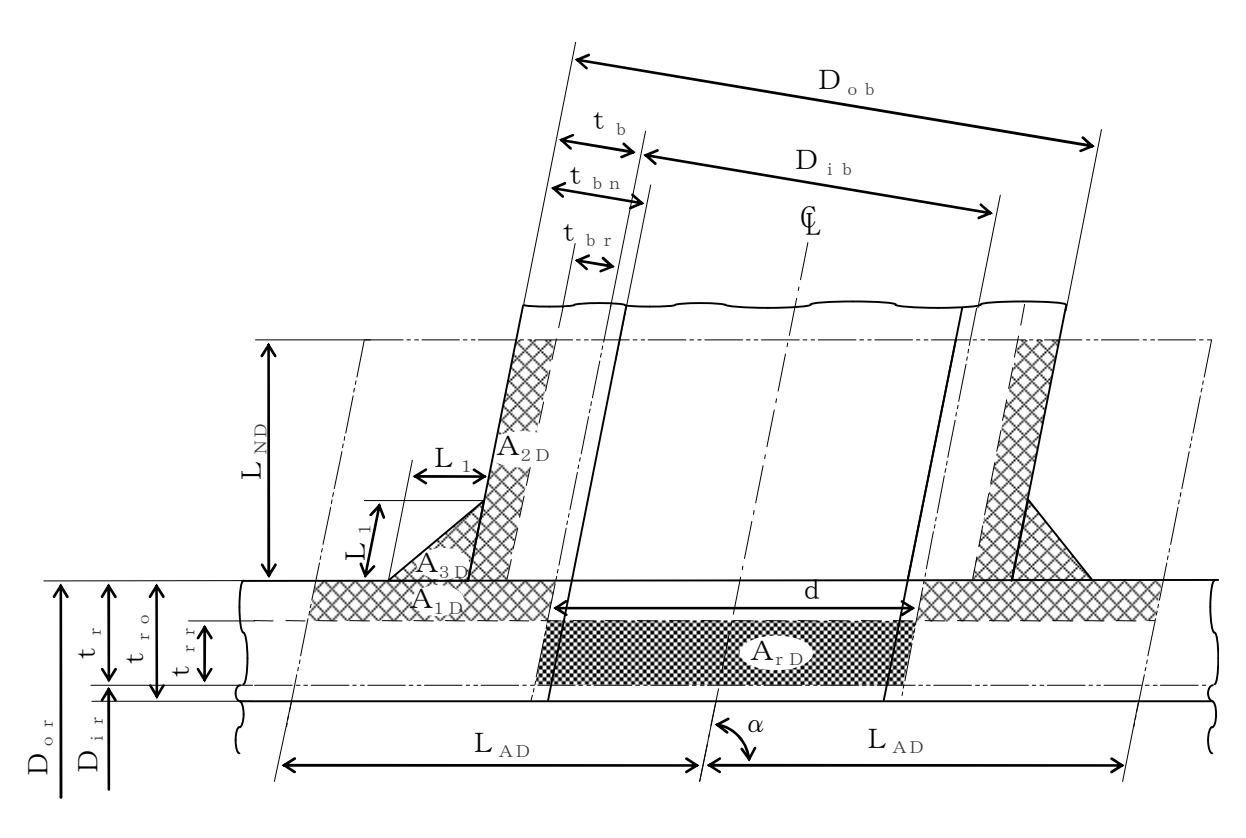
必要な場合は、 i 項以降による。

## i. 大穴の補強に有効な範囲

大穴の補強に有効な範囲は、設計・建設規格 PPC-3424(4)を適用する。 ただし、構造上計算した有効範囲が取れない場合は、構造上取り得る範囲とする。

(a) 大穴の補強における管台の取付け形式

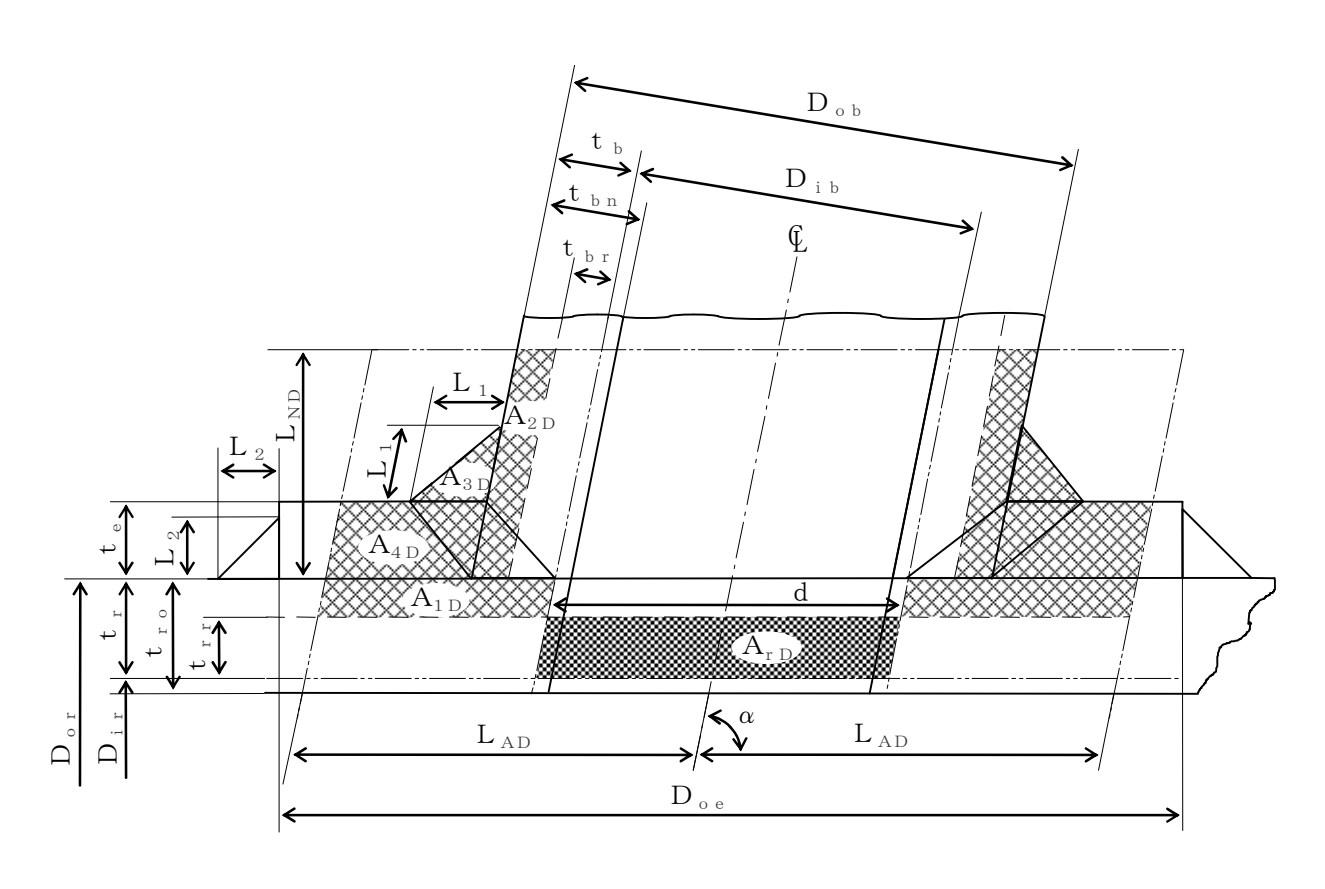
図2-12~図2-16に大穴の補強における管台の取付け形式を示す。



補強に有効な面積

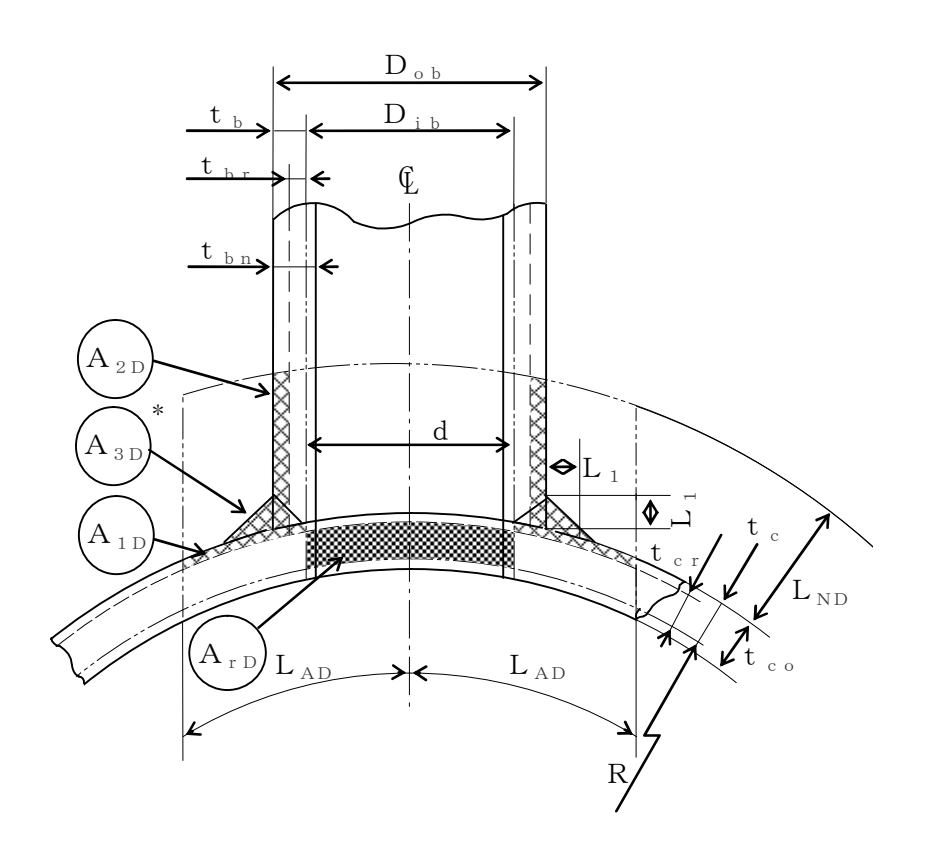
補強に必要な面積

図 2-12 A形 (強め材のない場合)



補強に必要な面積

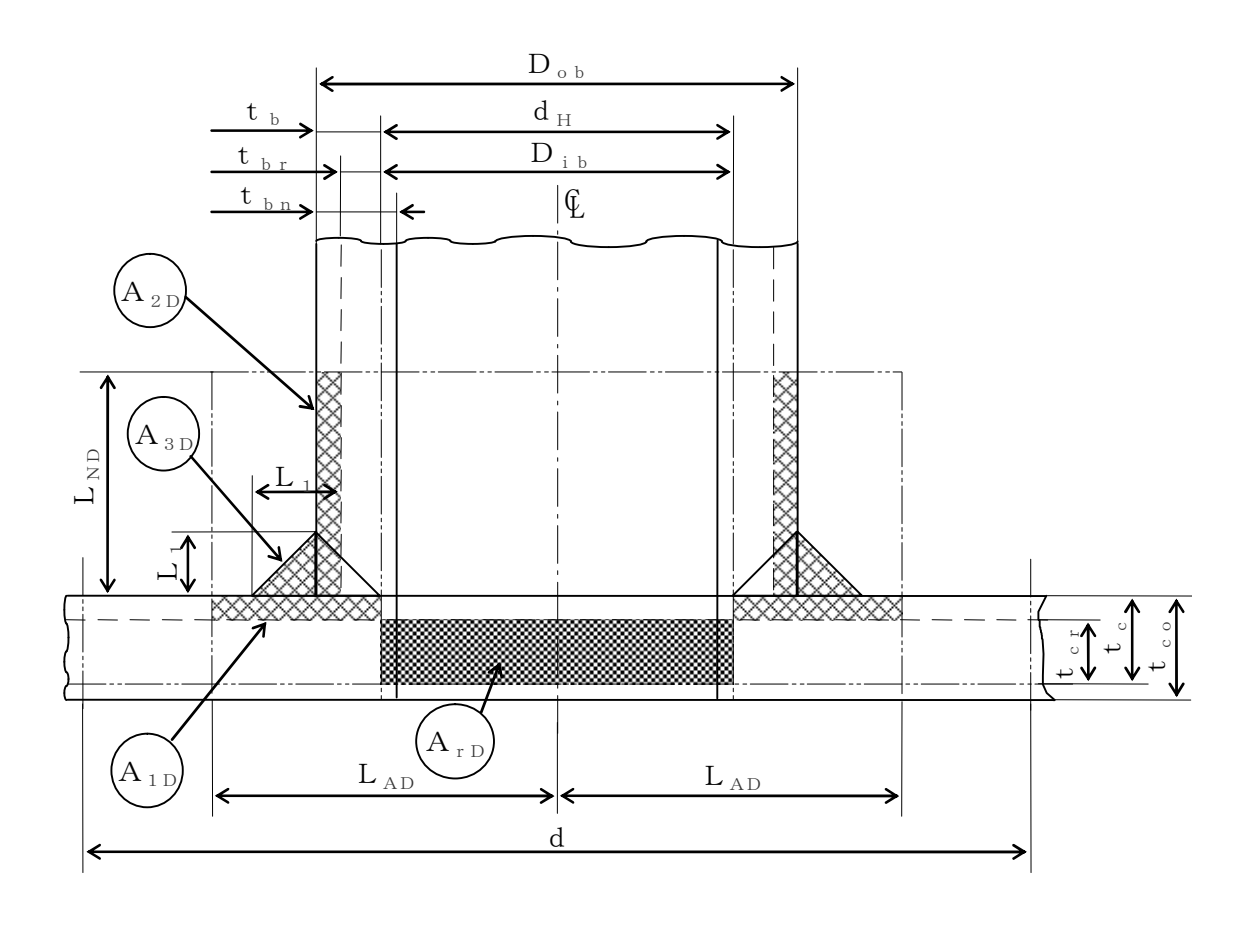
図 2-13 B形 (強め材のある場合)



補強に必要な面積

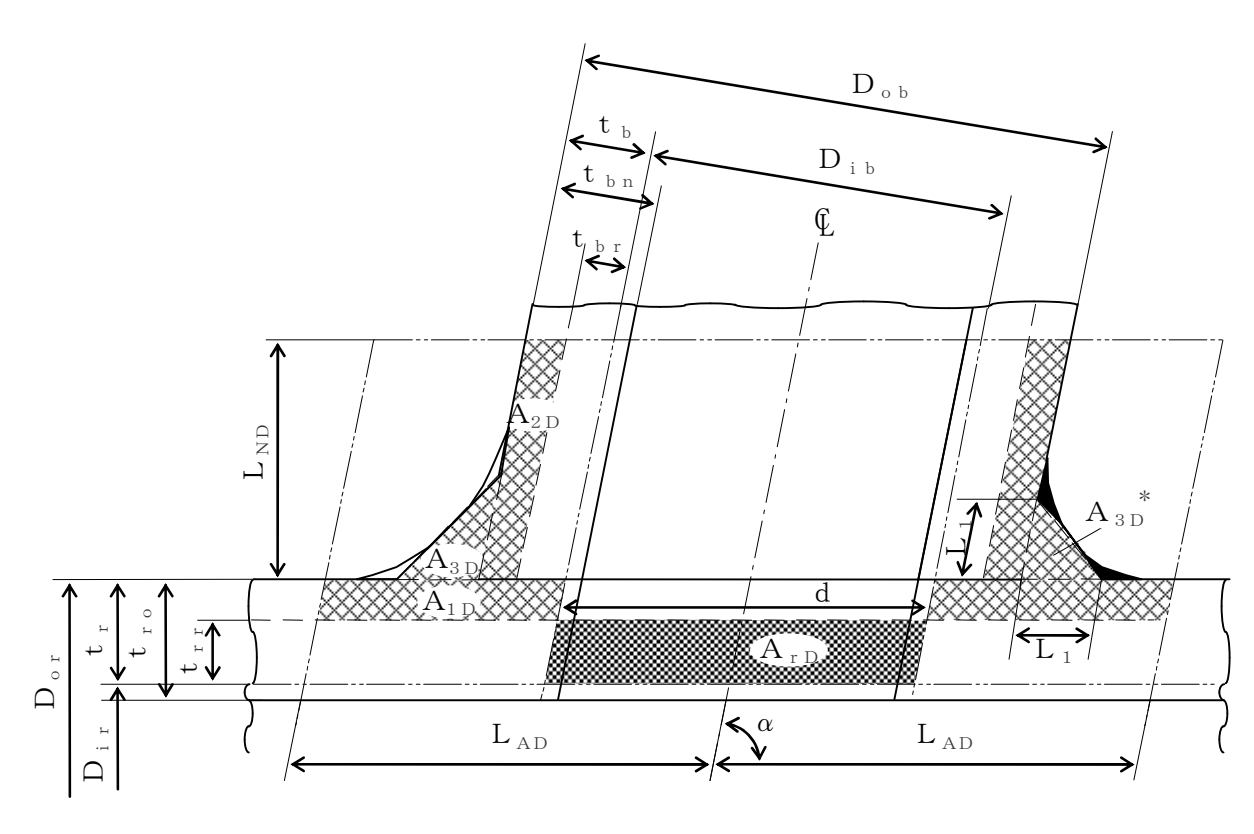
注記  $*: A_{3D}$ の面積で $(L_1)^2$ 以外の部分は, 補強面積評価上は考慮しない。

図 2-14 A形 (鏡板で強め材のない場合)



補強に必要な面積

図 2-15 A形 (平板で強め材のない場合)



補強に必要な面積

図 2-16 C形 (一体形で強め材のない場合)

(b) 穴の中心線に平行な直線で区切られる大穴の補強に有効な範囲

$$L_{AD} = \frac{d}{2} + \frac{d}{4}$$

(c) 主管の面に平行な直線で区切られる大穴の補強に有効な範囲

$$L_{ND} = L_{N}$$

j. 大穴の補強計算

大穴の補強計算は、設計・建設規格 PPC-3424(4)を適用する。

- (a) 算式
- イ. 大穴の補強に必要な面積

$$A r D = \frac{2}{3} \cdot A r$$

ロ. 大穴の補強に有効な面積

$$A_{1D} = (\eta \cdot t_r - F \cdot t_{rr}) \cdot (2 \cdot L_{AD} - d)$$

$$A_{2D} = A_2$$

(管台の外径が有効範囲 LAD内にある場合)

$$A_{2D}=2 \cdot \left(\frac{d}{4} - t b r \cdot cosec \alpha\right) \cdot L_{ND} \cdot \frac{S b}{S r}$$

(管台の外径が有効範囲 LADの外まである場合)

$$A_{3D} = A_3$$

(すみ肉部の脚長が有効範囲 LAD内にある場合)

$$A_{3D} = 0$$

(すみ肉部の脚長が有効範囲 L<sub>AD</sub>の外まである場合)

$$A_{4D} = A_4$$

(強め材が有効範囲 L<sub>AD</sub>内にある場合)

$$A_{4D} = \left(3 \cdot \frac{d}{2} - D_{ob} \cdot \csc \alpha\right) \cdot t \cdot \frac{Se}{Sr}$$

(強め材が有効範囲 L<sub>AD</sub>の外まである場合)

$$A_{0D} = A_{1D} + A_{2D} + A_{3D} + A_{4D}$$

(b) 評価

大穴の補強に有効な面積( $A_{0D}$ ) $\geq$ 大穴の補強に必要な面積( $A_{rD}$ )ならば大穴の補強は十分である。

## k. 2つ穴の補強計算

2つ以上の穴の補強に有効な範囲が重なり合う場合の補強計算は、設計・建設規格 PPC-3424(2)a., b.及びc.を適用する。

以下, 直管の2つ穴の計算方法を示す。

## (a) 算式

イ. 2つの穴の間にある主管の必要な断面積

$$A_{sr} = 0.7 \cdot L_{s} \cdot t_{rr} \cdot F$$

ロ. 2つの穴の間にある主管の断面積

$$A s o = \left( L s - \frac{d + d D}{2} \right) \cdot t r$$

ハ. 2つの穴の径の平均値の1.5倍の値

$$L=1.5 \cdot \left(\frac{d+dD}{2}\right)$$

ニ. 2つの穴の補強に必要な面積の2分の1

$$A_{r i} = \frac{A_{r} + A_{r s}}{2}$$

A<sub>r</sub>及びA<sub>r</sub>sは1つの穴の計算に準じる。

ホ. 2つの穴の間にある補強に有効な面積

$$A_{oi} = \left(L_{s} - \frac{d + d_{D}}{2}\right) \cdot (t_{r} - t_{rr}) + \frac{A_{2} + A_{2s}}{2} + \frac{A_{3} + A_{3s}}{2} + \frac{A_{4} + A_{4s}}{2}$$

A<sub>2</sub>, A<sub>2s</sub>, A<sub>3</sub>, A<sub>3s</sub>, A<sub>4</sub>及びA<sub>4s</sub>は, 1つの穴の計算に準じる。

(b) 評価

穴の補強は,以下の条件を満足すれば十分である。

- イ. 2つの穴の間にある主管の断面積( $A_{so}$ ) $\geq$ 2つの穴の間にある主管の必要な断面積( $A_{sr}$ )
- ロ. 2つの穴の間にある補強に有効な面積( $A_{oi}$ ) $\geq$ 2つの穴の補強に必要な面積の2分の1( $A_{ri}$ )
- ハ. 2つの穴の中心間の距離 (L.) ≥2つの穴の径の平均値の1.5倍 (L)

## 1. 溶接部の強度計算

溶接部の強度計算は、設計・建設規格 PPC-3424(8)及び(9)を適用する。 ただし、C形に関しては評価すべき溶接部がないため、強度計算は行わない。

- (a) 算式
- イ. 溶接部の負うべき荷重
  - (イ) 直管又は曲げ管の場合

$$W = d \cdot t r r \cdot S r - (\eta \cdot t r - F \cdot t r r) \cdot (2 \cdot L_A - d) \cdot S r$$

(ロ) 鏡板の場合

$$W = d \cdot t \cdot s - (\eta \cdot t \cdot s - F \cdot t \cdot s \cdot r) \cdot (2 \cdot L_A - d) \cdot S$$

(ハ) 平板の場合

$$W = d_H \cdot t_{cr} \cdot S - (\eta \cdot t_{c-F} \cdot t_{cr}) \cdot (2 \cdot L_A - d_H) \cdot S$$

- ロ. 溶接部の許容応力
- (イ) 直管又は曲げ管の場合

$$S_{\,W1} = S_{\,\,r}\, \boldsymbol{\cdot}\, F_{\,\,1}$$

$$Sw_2 = Sr \cdot F_2$$

$$Sw_3 = S_r \cdot F_3$$

(ロ) 鏡板又は平板の場合

$$Sw_1 = S \cdot F_1$$

$$Sw_2 = S \cdot F_2$$

$$Sw_3 = S \cdot F_3$$

- ハ. 溶接部の破断強さ
- (イ) 直管又は曲げ管の場合

$$W_{e_1} = \pi \cdot \left(\frac{d}{2} + t_b \cdot cosec\alpha\right) \cdot L_1 \cdot Sw_1$$

$$W_{e} = \pi \cdot d \cdot t \cdot Sw_3 \cdot cosec\alpha / 2$$

$$W_{e3} = \pi \cdot d \cdot t_b \cdot Sw_3 \cdot cosec\alpha / 2$$

$$W_{e 4} = \pi \cdot \left(\frac{d}{2} + t b \cdot cosec\alpha\right) \cdot t e \cdot Sw_2$$

$$W_{e 5} = \pi \cdot D_{o e} \cdot L_2 \cdot S_{W_1}/2$$

(ロ) 鏡板の場合

$$W_{e 1} = \pi \cdot \left(\frac{d}{2} + t b\right) \cdot L_{1} \cdot S_{W_{1}}$$

$$W_{e2} = \pi \cdot d \cdot t_b \cdot S_{W3}/2$$

$$W_{e3} = \pi \cdot d \cdot t_b \cdot S_{W3}/2$$

(ハ) 平板の場合

$$W_{e 1} = \pi \cdot \left(\frac{d_{H}}{2} + t_{b}\right) \cdot L_{1} \cdot S_{W1}$$

$$W_{e 2} = \pi \cdot d_{H} \cdot t_{b} \cdot S_{W3} / 2$$

$$W_{e 3} = \pi \cdot d_{H} \cdot t_{b} \cdot S_{W3} / 2$$

- ニ. 予想される破断箇所の強さ
- (イ) A形の管台形式の場合

(ロ) B形の管台形式の場合

- (b) 評価
- イ. 溶接部の負うべき荷重 (W) が0以下の場合 溶接部の強度は十分とみなし、溶接部の強度計算は行わない。
- □. 溶接部の負うべき荷重(W)が0を超える場合
   溶接部の負うべき荷重(W)≦予想される破断箇所の強さ(Webp1,
   Webp2, Webp3)ならば溶接部の強度は十分である。
- (3) 補足
  - a. 穴の補強計算,大穴の補強計算及び2つ穴の補強計算において面積の計算をする際,  $\frac{Sb}{Sr}$ ,  $\frac{Sb}{S}$  又は  $\frac{Se}{Sr}$  が1を超える場合は,値を1として計算する。
  - b. 断面が長手軸となす角度により求めた係数Fは、1として計算する。
  - c. 鏡板及び平板の補強計算は、本書では取付け角度が90°で1つ穴のものについての計算方法を示す。

# 2.7 フランジの強度計算

フランジの強度計算は、設計・建設規格 PPC-3414を適用する。

計算は、JIS B 8265 附属書3を適用する。

# (1) 記号の説明

設計・建設 規格又は JISの記号	計算書の表示	表示内容	単位
A	A	フランジの外径	mm
A <sub>b</sub>	Аь	実際に使用するボルトの総有効断面積	$\mathrm{mm}^2$
$A_{\mathrm{m}}$	$A_{\mathrm{m}}$	ボルトの総有効断面積	$\mathrm{mm}^2$
$A_{m1}$	$A_{\mathrm{m}1}$	使用状態でのボルトの総有効断面積	$\mathrm{mm}^2$
$A_{\mathrm{m}2}$	$A_{\mathrm{m}2}$	ガスケット締付時のボルトの総有効断面積	$\mathrm{mm}^2$
В	В	フランジの内径	mm
В 1	В 1	B + g <sub>0</sub> ( f ≥1 のときの一体形フランジの場	mm
		合)	
		B+g <sub>1</sub> (ルーズ形フランジ(差込み形フラン	
		ジ)及び一体形フランジで f の最小採用値は 1	
		であるが、JIS B 8265 附属書 3	
		図4より求まるfが1未満となる場合)	
b	b	ガスケット座の有効幅	mm
b 0	b o	ガスケット座の基本幅(JIS B 8265	mm
		附属書3 表3による。)	
С	С	ボルト穴の中心円の直径	mm

設計・建設 規格又は JISの記号	計算書の表示	表示内容	単位
d	d	係数	$\mathrm{mm}^3$
		$\left(=rac{U}{V} \cdot \mathbf{h} \circ \cdot \mathbf{g} \circ^2 (-$ 体形フランジの場合) $\right)$	
d <sub>b</sub>	dь	ボルトのねじ部の谷の径と軸部の径の最小部の	mm
		小さい方の径	
	d i	穴あきボルトの内径	mm
е	е	係数	$\mathrm{mm}^{-1}$
		$\left(=rac{\mathrm{F}}{\mathrm{h}_{\mathrm{o}}}  (一体形フランジの場合) ight)$	
		$\left(=rac{F_L}{h_o} (ルーズ形フランジ ( 差込)   か形フランジ) の場合 )$	
F	F	一体形フランジの係数 (JIS B 8265	_
		附属書3 図5又は表4による。)	
F <sub>L</sub>	F <sub>L</sub>	ルーズ形フランジの係数(JIS B 826	_
		5 附属書3 図6又は表4による。)	
f	f	ハブ応力修正係数(JIS B 8265 附	_
		属書3 図4又は表4による。)	
G	G	ガスケット反力円の直径	mm
	G s	ガスケット接触面の外径	mm
g 0	g o	ハブ先端の厚さ	mm
g <sub>1</sub>	g 1	フランジ背面のハブの厚さ	mm

設計・建設 規格又は JISの記号	計算書の表示	表示内容	単位
Н	Н	圧力によってフランジに加わる全荷重	N
$H_D$	$H_D$	圧力によってフランジの内径面に加わる荷重	N
HG, H <sub>G</sub>	$H_{\mathrm{G}}$	ガスケット荷重	N
НР	НР	気密を十分に保つためにガスケット又は継手接	N
		触面に加える圧縮力	
$H_{\mathrm{T}}$	Нт	圧力によってフランジに加わる全荷重とフラン	N
		ジの内径面に加わる荷重との差	
h	h	ハブの長さ	mm
h <sub>D</sub>	h D	ボルト穴の中心円からHp作用点までの半径方	mm
		向の距離	
h <sub>G</sub>	h <sub>G</sub>	ボルト穴の中心円からHg作用点までの半径方	mm
		向の距離	
h o	h o	√B • g ₀	mm
h T	h т	ボルト穴の中心円からHェ作用点までの半径方	mm
		向の距離	
K	K	フランジの内外径の比。	_
L	L	係数 $\left(=\frac{\mathbf{t} \cdot \mathbf{e} + 1}{T} + \frac{\mathbf{t}^3}{\mathbf{d}}\right)$	_

設計・建設 規格又は JISの記号	計算書の表示	表示内容	単位
$ m M_D$	$ m M_D$	内圧によってフランジの内径面に加わるモーメ	N•mm
		ント	
$ m M_{G}$	$ m M_{G}$	ガスケット荷重によるモーメント	N•mm
$M_{\mathrm{g}}$	$M_{\mathrm{g}}$	ガスケット締付時にフランジに作用するモーメ	N•mm
		ント	
$M_0$	${ m M}_{ m o}$	使用状態でフランジに作用するモーメント	N•mm
$M_{\mathrm{T}}$	$M_{\mathrm{T}}$	内圧によってフランジに加わる全荷重とフラン	N•mm
		ジの内径面に加わる荷重との差によるモーメン	
		<b>F</b>	
m	m g	ガスケット係数(JIS B 8265 附属	_
		書3 表2による。)	
N	N	ガスケットの接触面の幅(JIS B 8265	mm
		附属書3 表3による。)	
n	n	ボルトの本数	_
M	$M_{\mathrm{e}}$	フランジ部に作用するモーメント	N•mm
$P_{FD}$	Р	設計圧力	MPa
		応力計算に用いる設計圧力は最高使用圧力又は	
		外面に受ける最高の圧力にPeqを加えたもの	
		である。	
P <sub>eq</sub>	$P_{\ e\ q}$	管の自重及びその他の機械的荷重によりフラン	MPa
		ジ部に作用する曲げモーメントを圧力に換算し	
		た値	
		$P e q = \frac{16 \cdot M e}{\pi \cdot G^3}$	
	P o	最高使用圧力(内圧)	MPa
R	R	ボルトの中心円からハブとフランジ背面との交	mm
		点までの半径方向の距離	

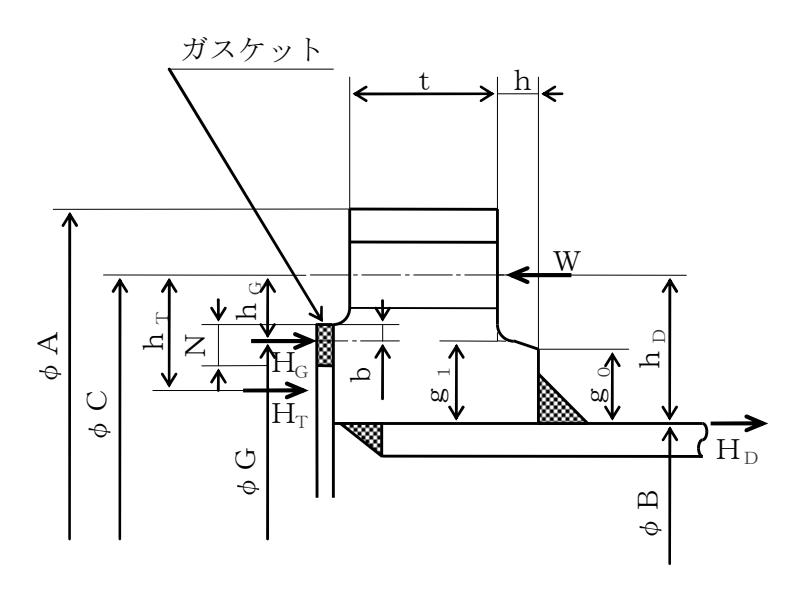
設計・建設 規格又は JISの記号	計算書の表示	表示内容	単位
Т	Т	$K = \left(\frac{A}{B}\right)$ の値によって定まる係数(JIS $B$	_
		8265 附属書3 図7による。)	
t	t	フランジの厚さ	mm
U	U	$K = \left(\frac{A}{B}\right)$ の値によって定まる係数(JIS B	_
		8265 附属書3 図7による。)	
V	V	一体形フランジの係数 (JIS B 8265	_
		附属書3 図8又は表4による。)	
$V_L$	V <sub>L</sub>	ルーズ形フランジの係数(JIS B 8265	_
		附属書3 図9又は表4による。)	
W, W <sub>g</sub>	W g	ガスケット締付時のボルト荷重	N
$W_{\mathrm{m}1}$	$W_{m1}$	使用状態での必要な最小ボルト荷重	N
$W_{m2}$	$W_{m2}$	ガスケット締付時に必要な最小ボルト荷重	N
$W_0$	W o	使用状態でのボルト荷重	N
Y	Y	$K = \left(\frac{A}{B}\right)$ の値によって定まる係数(JIS B	_
		8265 附属書3 図7による。)	
У	У	ガスケットの最小設計締付圧力(JIS B	$\mathrm{N/mm}^2$
		8265 附属書3 表2による。)	
Z	Z	$K = \left(\frac{A}{B}\right)$ の値によって定まる係数(JIS B	_
		8265 附属書3 図7による。)	
π	π	円周率	_
σа	σа	常温におけるボルト材料の許容引張応力	MPa
		設計・建設規格 付録材料図表 Part5 表 7	
		による。	

設計・建設 規格又は JISの記号	計算書の表示	表示内容	単位
<b>о</b> в	σь	最高使用温度におけるボルト材料の許容引張応力	MPa
		設計・建設規格 付録材料図表 Part5 表 7	
		による。	
σ <sub>f</sub>	O fa	常温におけるフランジ材料の許容引張応力	MPa
		設計・建設規格 付録材料図表 Part5 表 5	
		による。	
$\sigma_{ m f}$	σ <sub>fb</sub>	最高使用温度におけるフランジ材料の許容引張応	MPa
		カ	
		設計・建設規格 付録材料図表 Part5 表 5	
		による。	
σн	<b>о</b> Н в	ガスケット締付時のハブの軸方向応力	MPa*
σн	σнο	使用状態でのハブの軸方向応力	MPa*
σR	σ <sub>Rg</sub>	ガスケット締付時のフランジの径方向応力	MPa*
σR	σ <sub>Ro</sub>	使用状態でのフランジの径方向応力	MPa*
σт	<b>о</b> т в	ガスケット締付時のフランジの周方向応力	MPa*
σт	σтο	使用状態でのフランジの周方向応力	MPa*
	形式	フランジの形式	-
	NON-ASBESTOS	非石綿ジョイントシート	_
	SUS-NON-	渦巻形金属ガスケット(非石綿)(ステンレス鋼)	_
	ASBESTOS		

注記 \*: JIS B 8265は「N/mm<sup>2</sup>」を使用しているが、設計・建設規格に合わせ「MPa」に読み替えるものとする。

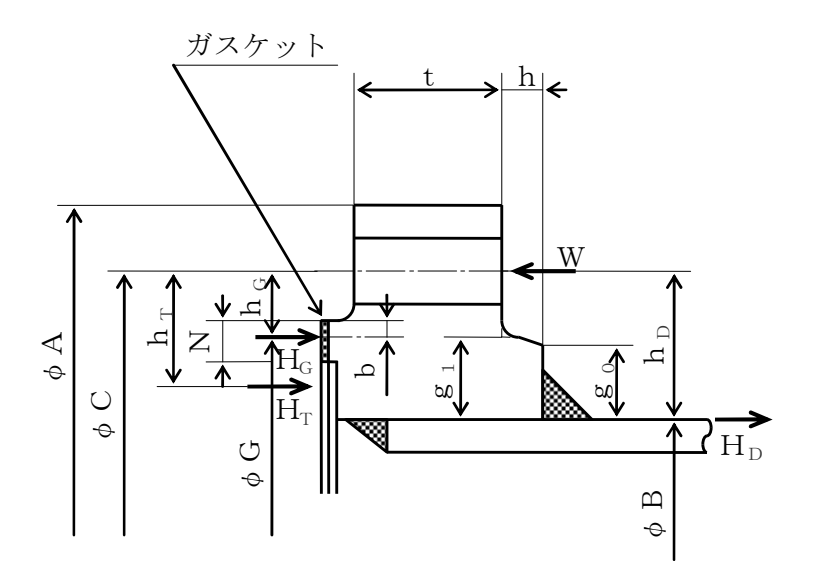
## (2) フランジの形式

フランジの形式及び各部の記号は、図2-17〜図2-21による。 ただし、Wは、 $W_g$ 、 $W_{m1}$ 、 $W_{m2}$ 及びW。のボルト荷重を表す。



注:ハブのテーパが6°以下のときは、 $g_0 = g_1$ とする。

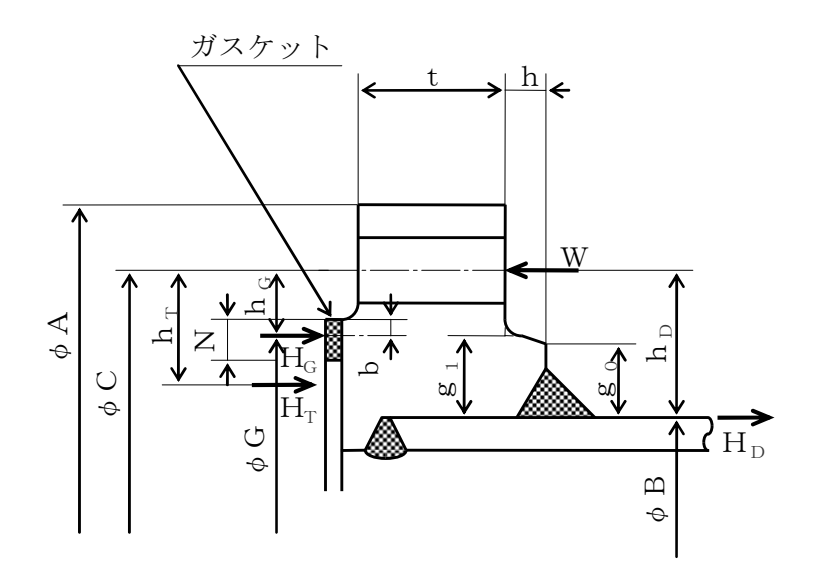
TYPE-1 JIS B 8265 附属書3 図2a)4)



注:ハブのテーパが6°以下のときは、go=g1とする。

TYPE-2 JIS B 8265 附属書3 図2a)4)

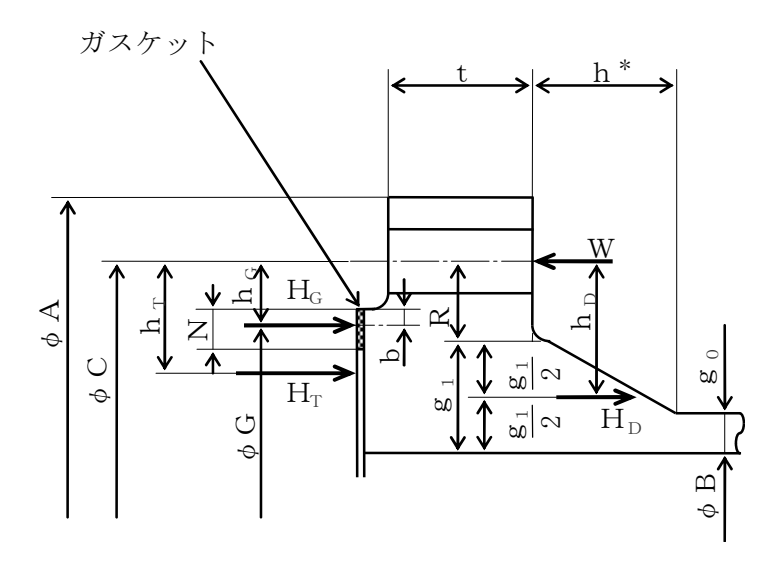
図 2-17 ルーズ形フランジ (差込み形フランジ)



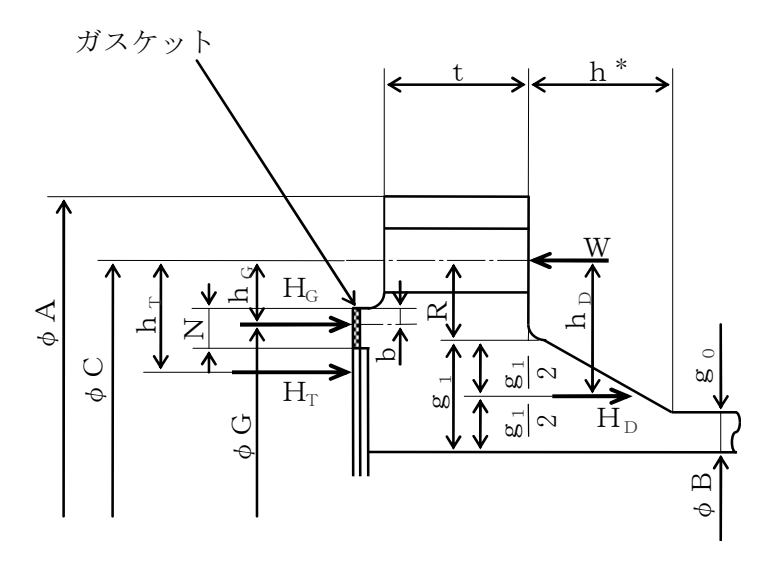
注:ハブのテーパが6°以下のときは、g0=g1とする。

TYPE-3 JIS B 8265 附属書3 図2a)5)

図 2-18 ルーズ形フランジ (差込み形フランジ)



TYPE-4 JIS B 8265 附属書3 図2b)8)



TYPE-5 JIS B 8265 附属書3 図2b)8)

注記\*:フランジに近いハブのこう配が1/3以下の場合は、hは下図に従う。

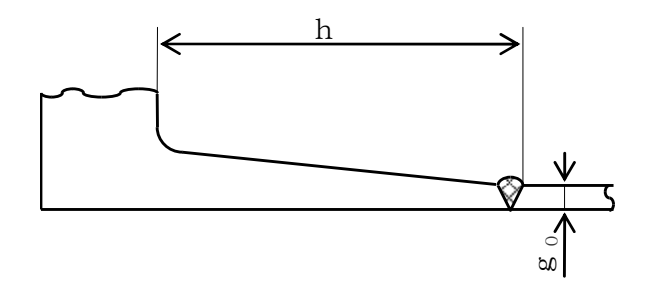
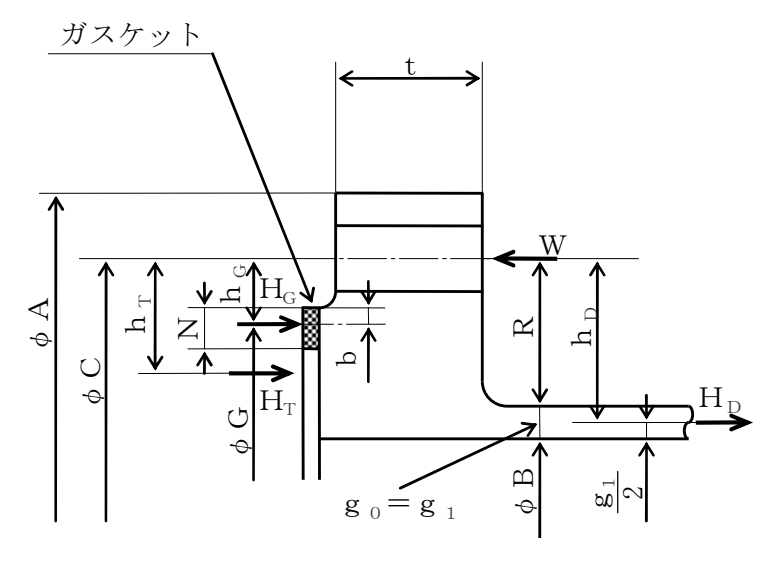
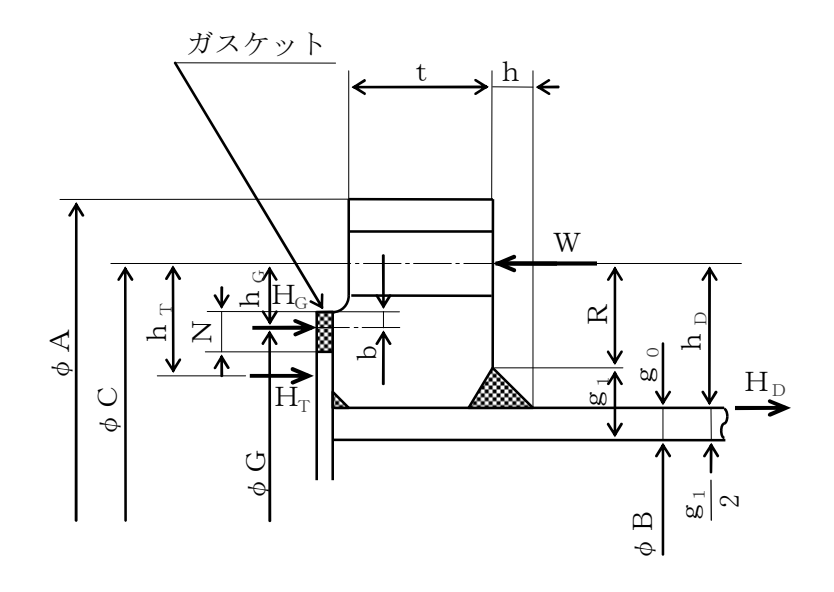


図 2-19 一体形フランジ

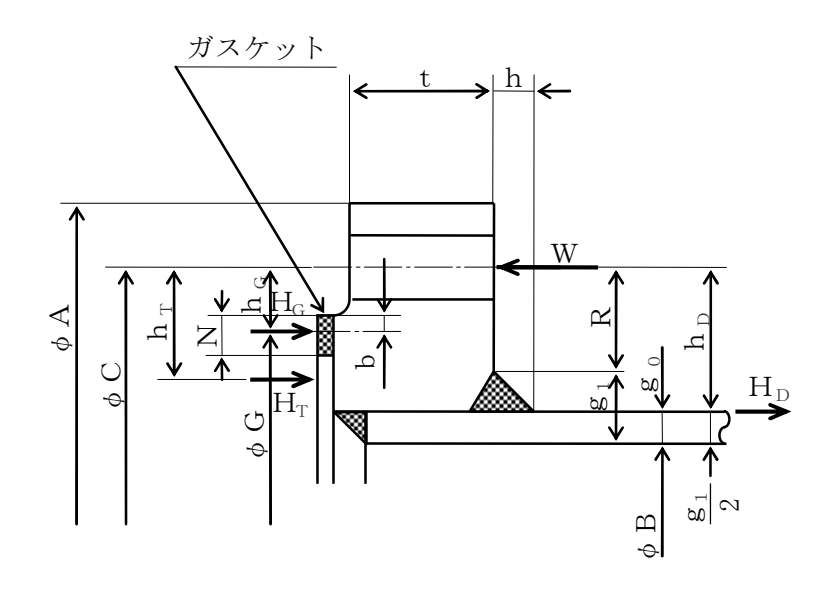


TYPE-6 JIS B 8265 附属書3 図2b)6)

図 2-20 一体形フランジ



TYPE-7 JIS B 8265 附属書3 図2c) 12) (一体形フランジとして計算)



TYPE-8 JIS B 8265 附属書3 図2c) 11) (一体形フランジとして計算)

図 2-21 任意形フランジ

## (3) 内圧計算手順及び算式

a. ガスケット座の有効幅及びガスケット反力円の直径

ガスケット座の有効幅(b)及びガスケット反力円の直径(G)は、ガスケット座の基本幅(b。)に従い以下のように求める。

b 。≦6.35 mm の場合

$$b = b_0$$

$$G = G_s - N$$

b。>6.35 mm の場合

$$b = 2.52 \cdot \sqrt{b_0}$$

$$G = G_s - 2 \cdot b$$

ただし、b。はJIS B 8265 附属書3 表3による。

- b. 計算上必要なボルト荷重
  - (a) 使用状態で必要なボルト荷重

$$W_{m1} = H + H_P$$

$$H = \frac{\pi}{4} \cdot G^2 \cdot P$$

$$H_P=2 \cdot \pi \cdot b \cdot G \cdot m_g \cdot P$$

(b) ガスケット締付時に必要なボルト荷重

$$W_{m2} = \pi \cdot b \cdot G \cdot y$$

c. ボルトの総有効断面積及び実際に使用するボルトの総有効断面積

$$A_{m1} = \frac{W_{m1}}{\sigma b}$$
 (使用状態) 
$$A_{m2} = \frac{W_{m2}}{\sigma a}$$
 (ガスケット締付時) 
$$A_{m} = Max (A_{m1}, A_{m2})$$
 
$$A_{b} = \frac{\pi}{4} \cdot (d b^{2} - d i^{2}) \cdot n$$

d. フランジの計算に用いるボルト荷重

$$W_o = W_{m \, 1}$$
 (使用状態) 
$$W_g = \left(\frac{A_m + A_b}{2}\right) \cdot \sigma_a \qquad (ガスケット締付時)$$

e. 使用状態でフランジに加わる荷重

$$H_D = \frac{\pi}{4} \cdot B^2 \cdot P$$

$$H_G = W_O - H$$

$$H_T = H - H_D$$

f. 使用状態でのフランジ荷重に対するモーメントアーム

フランジの形式	<b>h</b> D	h G	hт
一体形フランジ	R+0.5 • g <sub>1</sub>	$\frac{C-G}{2}$	$\frac{R+g_1+h_G}{2}$
ルーズ形フランジ (差込み形フランジ)	$\frac{C-B}{2}$	$\frac{C-G}{2}$	<u>h d + h g</u>

ただし、

$$R = \left(\frac{C - B}{2}\right) - g_{1}$$

g. 使用状態でフランジに作用するモーメント

$$M_D = H_D \cdot h_D$$

$$M_G = H_G \cdot h_G$$

$$M_T = H_T \cdot h_T$$

$$M_0 = M_D + M_G + M_T$$

h. ガスケット締付時にフランジに作用するモーメント

$$M_g = W_g \cdot \left(\frac{C - G}{2}\right)$$

- i. 一体形フランジ及びルーズ形フランジ(差込み形フランジ)の応力
  - (a) 使用状態でのフランジの応力

$$\sigma_{Ho} = \frac{f \cdot M_o}{L \cdot g_{1}^2 \cdot B} + \frac{P_o \cdot B}{4 \cdot g_o}$$

$$\sigma_{Ro} = \frac{(1.33 \cdot t \cdot e + 1) \cdot M_o}{L \cdot t^2 \cdot B}$$

$$\sigma_{To} = \frac{Y \cdot M_o}{t^2 \cdot B} - Z \cdot \sigma_{Ro}$$

(b) ガスケット締付時のフランジの応力

$$\sigma_{Hg} = \frac{f \cdot M_g}{L \cdot g_{1}^2 \cdot B}$$

$$\sigma_{Rg} = \frac{(1.33 \cdot t \cdot e + 1) \cdot M_g}{L \cdot t^2 \cdot B}$$

$$\sigma_{Tg} = \frac{Y \cdot M_g}{t^2 \cdot B} - Z \cdot \sigma_{Rg}$$

ただし,

$$\begin{split} L &= \frac{t \cdot e + 1}{T} + \frac{t^3}{d} \\ h_o &= \sqrt{B \cdot g_0} \\ d &= \frac{U}{V} \cdot h_o \cdot g_0^2 \qquad (-体形フランジ) \\ d &= \frac{U}{V_L} \cdot h_o \cdot g_0^2 \qquad (ルーズ形フランジ (差込み形フランジ)) \\ e &= \frac{F}{h_o} \qquad (-体形フランジ) \\ e &= \frac{F_L}{h_o} \qquad (ルーズ形フランジ (差込み形フランジ)) \end{split}$$

また、Bが20・g1より小さいときは、ハブの軸方向の応力( $\sigma$ H。)及び $\sigma$ Hgの計算式のBの代わりにB1を用いる。

## j. 評価

内圧を受けるフランジは、以下の条件を満足すれば十分である。

(a) ボルトの総有効断面積

$$A_m \le A_b$$

(b) ハブの軸方向応力

使用状態にあっては

$$\sigma_{Ho} \leq 1.5 \cdot \sigma_{fb}$$

ガスケット締付時にあっては

(c) フランジの径方向応力

使用状態にあっては

$$\sigma_{Ro} \leq 1.5 \cdot \sigma_{fb}$$

ガスケット締付時にあっては

$$\sigma_{Rg} \leq 1.5 \cdot \sigma_{fa}$$

(d) フランジの周方向応力

使用状態にあっては

$$\sigma_{To} \leq 1.5 \cdot \sigma_{fb}$$

ガスケット締付時にあっては

$$\sigma_{Tg} \leq 1.5 \cdot \sigma_{fa}$$

## (4) 外圧計算手順及び算式

a. ガスケット座の有効幅及びガスケット反力円の直径

ガスケット座の有効幅(b)及びガスケット反力円の直径(G)は、ガスケット座の基本幅(b。)に従い以下のように求める。

b。≦6.35 mm の場合

$$b = b_o$$

$$G = G_s - N$$

b。>6.35 mm の場合

$$b = 2.52 \cdot \sqrt{b_0}$$

$$G = G_s - 2 \cdot b$$

ただし、b。はJIS B 8265 附属書3 表3による。

b. 計算上必要なボルト荷重

$$W_{m2} = \pi \cdot b \cdot G \cdot y$$

c. ボルトの総有効断面積及び実際に使用するボルトの総有効断面積

$$A_{\,m\,2}\!=\!\frac{W_{\,m\,2}}{\sigma_{\,a}}$$

$$A_b = \frac{\pi}{4} \cdot (d_b^2 - d_i^2) \cdot n$$

d. フランジの計算に用いるボルト荷重

$$W_g = \left(\frac{A_{m2} + A_b}{2}\right) \cdot \sigma_a$$

e. 使用状態でフランジに加わる荷重

$$H = \frac{\pi}{4} \cdot G^2 \cdot P$$

$$H_D = \frac{\pi}{4} \cdot B^2 \cdot P$$

$$H_T = H - H_D$$

f. 使用状態でのフランジ荷重に対するモーメントアーム

フランジの形式	h D	h G	h T
一体形フランジ	$R+0.5 \cdot g_1$	$\frac{C-G}{2}$	$\frac{R+g_1+h_G}{2}$
ルーズ形フランジ (差込み形フランジ)	$\frac{C-B}{2}$	$\frac{C-G}{2}$	<u>h D + h G</u> 2

ただし

$$R = \left(\frac{C - B}{2}\right) - g_{1}$$

g. 使用状態でフランジに作用するモーメント

$$M_0 = H_D \cdot (h_D - h_G) + H_T \cdot (h_T - h_G)$$

h. ガスケット締付時にフランジに作用するモーメント

$$M_g = W_g \cdot h_G$$

- i. 一体形フランジ及びルーズ形フランジ(差込み形フランジ)の応力
  - (a) 使用状態でのフランジの応力

$$\sigma_{\text{ H o}} = \frac{f \cdot M_{\text{ o}}}{L \cdot g_{\text{ 1}}^{2} \cdot B} + \frac{P_{\text{ e}} \cdot B}{4 \cdot g_{\text{ o}}}$$

$$\sigma_{\text{ R o}} = \frac{(1.33 \cdot t \cdot e + 1) \cdot M_{\text{ o}}}{L \cdot t^{2} \cdot B}$$

$$\sigma_{\text{ T o}} = \frac{Y \cdot M_{\text{ o}}}{t^{2} \cdot B} - Z \cdot \sigma_{\text{ R o}}$$

(b) ガスケット締付時のフランジの応力

$$\sigma_{Hg} = \frac{f \cdot M_g}{L \cdot g_{1}^{2} \cdot B}$$

$$\sigma_{Rg} = \frac{(1.33 \cdot t \cdot e + 1) \cdot M_g}{L \cdot t^{2} \cdot B}$$

$$\sigma_{Tg} = \frac{Y \cdot M_g}{t^{2} \cdot B} - Z \cdot \sigma_{Rg}$$

ただし

$$\begin{split} L &= \frac{t \cdot e + 1}{T} + \frac{t^{3}}{d} \\ h_{0} &= \sqrt{B \cdot g_{0}} \\ d &= \frac{U}{V} \cdot h_{0} \cdot g_{0}^{2} \qquad (- 体 形 フランジ) \\ d &= \frac{U}{V_{L}} \cdot h_{0} \cdot g_{0}^{2} \qquad ( ル - ズ 形 フランジ \, ( 差込み形フランジ) \, ) \\ e &= \frac{F}{h_{0}} \qquad ( ル - ズ 形 フランジ \, ( 差込み形フランジ) \, ) \\ e &= \frac{F_{L}}{h_{0}} \qquad ( ル - ズ 形 フランジ \, ( 差込み形フランジ) \, ) \end{split}$$

また、Bが20・ $g_1$ より小さいときは、ハブの軸方向の応力( $\sigma_{Ho}$ )及び $\sigma_{Hg}$ の計算式のBの代わりに $B_1$ を用いる。

# j. 評価

外圧を受けるフランジは、以下の条件を満足すれば十分である。

(a) ボルトの総有効断面積	$A_{m2} < A_b$
----------------	----------------

(b) ハブの軸方向応力

使用状態にあっては	$\sigma_{\text{Ho}} \leq 1.5 \cdot \sigma_{\text{fb}}$
ガスケット締付時にあっては	$\sigma_{Hg} \leq 1.5 \cdot \sigma_{fa}$

(c) フランジの径方向応力

使用状態にあっては 
$$\sigma_{Ro} \leq 1.5 \cdot \sigma_{fb}$$
 ガスケット締付時にあっては  $\sigma_{Rg} \leq 1.5 \cdot \sigma_{fa}$ 

(d) フランジの周方向応力

使用状態にあっては	$\sigma_{To} \leq 1.5 \cdot \sigma_{fb}$
ガスケット締付時にあっては	σ <sub>Тg</sub> ≦1.5 · σ <sub>fa</sub>

# 2.8 伸縮継手の強度計算

伸縮継手の強度計算は、設計・建設規格 PPC-3416を適用する。

# (1) 記号の説明

設計・建設 規格の記号	計算書の表示	表示内容	単位
b	b	継手部の波のピッチの2分の1	mm
С	С	継手部の層数	_
Е	E	材料の縦弾性係数	MPa
		設計・建設規格 付録材料図表 Part6 表 1	
		による。	
h	h	継手部の波の高さ	mm
N	N	許容繰返し回数	_
	N r	実際の繰返し回数	_
n	n	継手部の波数の2倍の値	_
t	t	継手部の板の厚さ	mm
	U	実際の繰返し回数(N r)/許容繰返し回数(N)	_
δ	δ	全伸縮量	mm
σ	σ	継手部応力	MPa
	算式		_
	A	調整リング無しの場合	
	В	調整リング付きの場合	

# (2) 継手部の形状

継手部の形状を図2-16に示す。

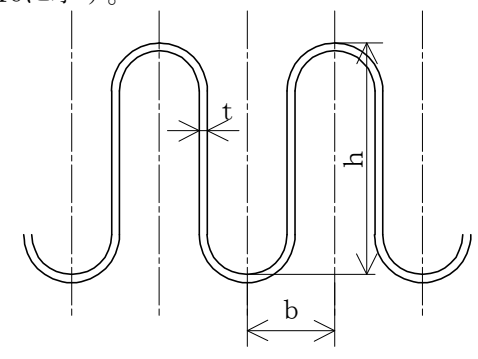


図 2-16 継手部の形状

## (3) 算式

伸縮継手の許容繰返し回数は

$$N = \left(\frac{11031}{\sigma}\right)^{3.5}$$

ただし、材料がステンレス鋼及び高ニッケル合金のものに限る。

a. 調整リングが付いていない場合の継手部応力

度りフタが行いていない場合の魅力部心力
$$\sigma = \frac{1.5 \cdot E \cdot t \cdot \delta}{n \cdot \sqrt{b \cdot h^3}} + \frac{P \cdot h^2}{2 \cdot t^2 \cdot c} \qquad (A)$$

b. 調整リングが付いている場合の継手部応力

$$\sigma = \frac{1.5 \cdot E \cdot t \cdot \delta}{n \cdot \sqrt{b \cdot h^3}} + \frac{P \cdot h}{t \cdot c} \qquad (B)$$

### (4) 評価

実際の繰返し回数  $(N_r)$  と許容繰返し回数 (N) の比  $(U=N_r/N)$  が $U \le 1$ であれば、伸縮継手の強度は十分である。

実際の繰返し回数が2種類以上の場合は,実際の繰返し回数と許容繰返し回数の比を加えた値( $U=\sum_{i}$  ( $N_{r}$  i /  $N_{i}$ ))がU  $\leq$  1 であれば,伸縮継手の強度は十分である。

## 3. 設計・建設規格における材料の規定によらない場合の評価

重大事故等クラス2管及び重大事故等クラス2支持構造物の材料について,「実用発電用原子炉及びその附属施設の技術基準に関する規則」(平成25年6月28日 原子力規制委員会規則第6号)(以下「技術基準規則」という。)施行前に工事着手又は完成したものであって設計・建設規格における材料の規定によらない場合の評価については、以下の方針にしたがって、重大事故等対処設備として使用される圧力、温度、荷重その他の使用条件に対して適切な材料であることを確認する。

### (1) 機械的強度及び化学的成分

設計・建設規格においてクラス2管及びクラス2支持構造物に使用可能な材料として規定されていない材料を使用している場合は、機械的強度及び化学的成分について、使用材料とクラス2管に使用可能な材料として規定されている材料との比較又は求められる機能を考慮し、使用材料が重大事故等対処設備として使用される圧力、温度、荷重その他の使用条件に対して適切な材料であることを確認する。

### a. 機械的強度

#### (a) 評価項目の選定

機械的強度については、使用材料と比較対象となるクラス2管に使用可能な材料として規定されている材料の材料規格であるJIS等に規定されている機械的性質のうち、機械的強度の評価について必要な項目の選定を行う。表 3-1「機械的強度における評価項目の選定結果」に選定結果を示す。

表 3-1 機械的強度における評価項目の選定結果

	1	:3-1 機械的強度における評価項目の選定結果 
機械的性質*	選定 結果	選定理由
引張強さ		引張強さ,降伏点又は耐力については,強度評価に用いる設計許容応
降伏点	0	力を算出するために必要であるため確認を実施する。
又は耐力		力を昇山するために必安とめるため惟祕を天旭する。 
	×	伸びについては、材料の延性の評価に用いる値であるが、重大事故等
		クラス2管の強度評価においては、全体的な変形を弾性域に抑えるこ
伸び		とが要求されていることから今回評価を省略する。また, 一般的に伸
140,		びが大きいほど塑性加工の際の加工量を大きくとれるものの, 対象と
		なる重大事故等クラス2管は既に施設された設備であるため、今回評
		価を省略する。
	×	絞りについては、材料の延性の評価に用いる値であるが、重大事故等
		クラス2管については、塑性変形する領域では使用しないことから今
絞り		回評価を省略する。また、一般的に絞りが大きいほど深しぼり加工な
		どの成型性が良くなるものの、対象となる重大事故等クラス2管は既
		に施設された設備であるため、今回評価を省略する。
	×	曲げ性については、材料の加工性を示す値であるが、一般的に曲げ性
JL ). 18 ld.		が大きいほど曲げ加工性など成型性が良くなるものの, 対象となる重
曲げ性		大事故等クラス2管は既に施設された設備であるため、今回評価を省
		略する。
シャルピー		シャルピー衝撃値については、材料の靭性の評価に用いられる値であ
衝撃値	×	るが、靭性については「(2) 破壊靭性」において確認を実施するた
		め、今回評価を省略する。
	×	硬さについては、耐磨耗性を示す値であり、硬いほど耐摩耗性が強く
硬さ		なるが、引張強さと相関関係がある値であり、引張強さについて確認
		を実施するため、今回評価を省略する。

注記 \*: JIS等に機械的性質として規定されている項目を示す。

#### (b) 機械的強度の適切性の確認

評価項目として選定された引張強さ及び降伏点又は耐力について,使用材料と設計・ 建設規格においてクラス2管に使用可能な材料として規定された材料との比較又は求め られる機能を考慮し,使用条件に対して適切な機械的強度を有していることを確認する。

## b. 化学的成分

### (a) 評価項目の選定

化学的成分の評価項目は、使用材料と比較対象となるクラス2管に使用可能な材料と して規定されている材料の材料規格であるJIS等に記載されている化学的成分とする。

## (b) 化学的成分の適切性の確認

評価項目として設定された化学的成分について、使用材料と設計・建設規格において クラス2管に使用可能な材料として規定されている材料との比較を行い、化学的成分規 定値に差異があった場合は、化学的成分ごとの影響を確認し、使用条件において材料に 悪影響を及ぼす差異でないことを確認する。あるいは、求められる機能を考慮し、使用 条件に対して適切な材料であることを確認する。なお、各化学的成分の影響については、 表 3-2 「化学的成分が材料に及ぼす影響整理表」のとおり整理する。

丰 3-9	化学的成分が材料に及ぼす影響整理表	
$A \times D^- A$		

公 0 2 旧于印放为"特种飞灰区												
		С	Si	Mn	Р	S	Cu	Ni	Cr	Мо	V	影響の確認方法
機械的強度		向上	向上	向上	向上	_	向上	向上	向上	向上	向上	機械的強度に影響を及ぼす化学的成分に差異がある場合は、材料の 機械的性質である引張強さ、降伏点又は耐力が同等であることを確 認する。
高温強度		向上	_	_	_	_	_	_	_	向上	_	高温強度に影響を及ぼす化学的成分に差異がある場合は、高温域 (設計・建設規格 PVB-3312) で使用されないことを確認する。
ì	容接性	低下	_	ı	ı			l	_	_	_	溶接性に影響を及ぼす化学的成分に差異がある場合は、溶接規格*にて定められた数値 0.35 %以下であることを確認する。
	靭性	低下	_	向上	低下	低下		向上	_	_	_	靭性については,「(2) 破壊靭性」において確認する。なお,靭性に影響を及ぼす不純物である P,S の化学的成分に差異がある場合は,成分値が影響を与えるレベル以下であることを確認する。
耐食性	応力 腐食 割れ	低下		1	l			向上	向上		_	耐食性のうち、応力腐食割れに影響を与える化学的成分には、C、Ni、Cr があるが、Ni、Cr については応力腐食割れを防ぐために添加されるものであり考慮は不要であることから、悪影響を与える C の含有量が過剰でないことを確認する。全面腐食に影響を与える化学
	全面腐食	_	_		_	_	向上	向上	向上	向上	向上	的成分に差異がある場合は、悪影響を与える差異が無いことを確認 する。なお、耐食性に関しては使用環境に対して適切な水質管理や ライニング処理が行われていることも確認する。

注 : 表中は化学的成分を添加した場合の影響を示す。

注記 \*:「溶接規格」とは、発電用原子力設備規格(溶接規格 JSME S NB1-2007)(日本機械学会 2007年11月)をいう。

#### (2) 破壊靭性

a. 破壊靭性試験不要となる材料の規定

破壊靭性については、設計・建設規格に規定されている破壊靭性試験不要となる材料の 規定に該当する材料であることを確認する。

破壊靭性試験不要となる材料の規定\*

- ・厚さが 16 mm 未満の材料
- ・断面積が 625 mm<sup>2</sup>未満の棒の材料
- ・呼び径が 25 mm 未満のボルト等の材料
- 外径が 169 mm 未満の管の材料
- ・厚さが 16 mm または外径が 169 mm 未満の管に接続されるフランジの材料および管継手の材料
- ・オーステナイト系ステンレス鋼および高ニッケル合金 注記 \*:クラス2配管の除外規定(設計・建設規格 PPC-2310)を記載している。

## b. 破壊靭性の確認

破壊靭性試験不要となる材料の規定に該当しない配管の破壊靭性については、施設時の 要求を考慮し、以下のとおりとする。

(a) 施設時に破壊靭性が要求されていた配管

該当配管は、施設時の規格の要求に基づき十分な破壊靭性を有していることを確認している。また、材料の破壊靭性値は、一般的に温度が低くなるにつれて低下することから、脆性破壊に対して影響を与える最低使用温度について、重大事故等対処設備として使用される値が設計基準対象施設としての値を有意に下回らないこと又は使用条件を考慮して影響がないことを確認する。

(b) 施設時に破壊靭性が要求されていなかった配管

対象配管は、技術基準規則で規定している機器クラスのうち、クラス3管(工学的安全施設を除く。)、クラス4管及びNonクラス\*に該当する配管(支持構造物を含む。)であり、施設時における破壊靭性に対する要求がないことから、材料の靭性は確認されていないが、設計基準の使用条件に応じた材料が選定されている。重大事故等対処設備としての使用条件と設計基準対象施設としての条件が大きく変わらないことを確認することで、使用条件下での脆性破壊に対する靭性は同じであるとみなせることから、脆性破壊に対して影響を与える最低使用温度について、重大事故等対処設備としての値が設計基準対象施設としての値を有意に下回らないこと又は使用条件を考慮して影響のないことを確認する。

注記 \*:技術基準規則第2条第2項第32号,第33号,第34号及び第35号に規定する。「クラス1管」,「クラス2管」及びこれらを支持する構造物,「クラス3管」及び「クラス4管」並びに発電用火力設備に関する技術基準を定める省令の規定を準用するもの以外の管又は支持構造物

上述の(a)項,(b)項において比較対象となる設計基準対象施設としての最低使用温度は原子炉格納容器,格納容器バウンダリ及び屋外に施設される配管においては気象観測記録における最低温度である-12.7  $^{\circ}$   $^{\circ}$  屋内に設置される配管においては建屋の最低温度である4.4  $^{\circ}$   $^{\circ}$ 

重大事故等時において屋外の最低気温が変わることはないため,原子炉格納容器,格納容器バウンダリ及び屋外に施設される配管の最低使用温度は設計基準対象施設として設定された値と変わらない。屋内に施設される配管のうち,重大事故等時において通水される内部流体が高温流体の場合は,設計基準対象施設として設定されている最低使用温度 4.4  $\mathbb{C}$  を下回ることはなく,原子炉冷却材圧力バウンダリを構成する配管については,重大事故等時において原子炉冷却材圧力バウンダリは高温状態となるため,設計基準対象施設としての最低使用温度を下回ることはない。また,屋内に施設される配管のうち,重大事故等時において通水される内部流体が海水の場合は,最低海水温度が7.0  $\mathbb{C}$  であり,設計基準対象施設として設定されている最低使用温度 4.4  $\mathbb{C}$  を有意に下回ることはない。

以上より、(a)項に該当する施設時に破壊靭性が要求されていた配管において、材料の破壊靭性に影響を与える最低使用温度が設計基準対象施設として設定されている値を重大事故等対処設備としての値が下回らない配管については、施設時に確認した破壊靭性が重大事故等対処設備としての材料に要求される破壊靭性を包絡しており、重大事故等対処設備としての評価は省略する。最低使用温度が設計基準対象施設として設定されている値を重大事故等対処設備としての値が下回る配管については、使用条件を考慮して問題のない材料であることを確認する。

(b)項に該当する施設時に破壊靭性が要求されていなかった配管において,設計基準対象施設としての最低使用温度と重大事故等対処設備としての最低使用温度とを比較し,使用条件に応じた材料が規格に適合していること若しくは使用条件を考慮して問題のない材料であることを確認する。

#### (3) 非破壊試験

a. 非破壊試験の実施確認

**重大事故等クラス2に属する鋳造品については、非破壊試験の実施の有無を確認する。** 

b. 非破壊試験の実績の考慮

強度計算に用いる許容値に,非破壊試験実施の有無による品質係数を適用することで, 材料の品質を適切に考慮した強度評価を実施する。 別紙1 基本板厚計算書の概略系統図記載要領

基本板厚計算書の概略系統図記載要領については、添付書類「IV-3-2-2 クラス1管の強度計算方法 別紙1 基本板厚計算書の概略系統図記載要領」による。

別紙2 管の基本板厚計算書のフォーマット

管の基本板厚計算書のフォーマットについては、添付書類「IV-3-2-2 クラス 1 管の強度計算方法 別紙 2 管の基本板厚計算書のフォーマット」による。